

Rapport

Oppdragsgiver: **Flatanger kommune**
 Oppdrag: **Vurdering av områdestabilitet, Lauvsnes**
 Emne: **Geoteknisk vurdering.**
Stabilitet og fundamentering.
 Dato: **5. november 2010**
 Rev. - Dato **10. mars 2011, 20. juni 2011**
 Oppdrag- /
 Rapportnr. **413941 – 2**

Oppdragsleder: **Erling Romstad** Sign.:
 Saksbehandlere: **Rolf Sandven, Erik Schiøtz** Sign.:

Kontaktperson
 hos Oppdragsgiver: **Hans Petter Haukø**

Sammendrag:

Etter oppdrag fra Flatanger kommune har Multiconsult AS utført grunnundersøkelser på Lauvsnes for kartlegging av grunnforholdene på land og i sjøen, med spesiell vekt på forekomst og mektighet av kvikkleire i grunnen. Lauvsnes sentrum er foreslått inndelt i fire delområder på bakgrunn av grunnforholdene med omfang av kvikkleire, bebyggelsesgrad og beliggenhet i forhold til videre utvikling. Grunnundersøkelsene har gitt grunnlag for en vurdering av lokal- og områdestabilitet i utvalgte profiler, samt for vurdering av stabiliserende tiltak.

Denne reviserte rapporten oppsummerer resultater fra stabilitetsberegninger med basis i data fra grunnundersøkelsen. Stabilitetsberegningene viser at udrenert korttidsstabilitet i området ved SPAR-butikken (Faresone 1) er meget dårlig, og at det er behov for sikring av dette området før det tillates nye tiltak. Sikkerheten blir gradvis bedre sørover langs stranden, men også her kan korttidsstabiliteten lokalt være for dårlig slik at sikringstiltak må gjennomføres.

I revisjonen er sentrumsområdet delt inn i 5 faresoner med separat klassifisering av faregrad, skadekonsekvens- og risikoklasse for hver sone. Hensikten er å tydeliggjøre områdene med høyest faregrad og risiko for bruk i kommunens plan- og byggesaksbehandling. Faregraden i de fem faresonene varierer mellom Lav og Middels, skadekonsekvensklassen mellom Alvorlig og Mindre alvorlig, mens høyeste Risikoklasse er 4.

Revisjonen omfatter også forslag til sikringstiltak for reduksjon av skredrisiko, og det er gjort orienterende stabilitetsanalyser for å vurdere gjennomførbarhet og effekt av tiltakene. Aktuelle tiltak inkluderer blant annet utlegging av støttefylling i strandsonen og lokal terregnavlastning i de mest skredutsatte områdene. Beregningene viser at det kan være mulig å gjennomføre sikringstiltak i de mest skredutsatte områdene, men at dette krever detaljerte analyser og tett oppfølging av geotekniker i byggefasesen. Undersøkelser og vurderinger er ikke knyttet opp mot konkrete byggeprosjekter, men skal gi utbyggere og beslutningstakere et sikrere grunnlag for utvikling av reguleringsplaner og håndtering av byggesaker innenfor det aktuelle området.

2	20.06.11	Revisjon 2	rols/eris	err	oaa
1	10.03.11	Revisjon 1	rols/eris	err	oaa
0	05.11.10	Utsendt for tredjepartskontroll, 1.gang	rols/eris	err	oaa
Utg.	Dato	Tekst	Utarb.av	Kontr.av	Godkj.av

Innholdsfortegnelse

1.	Innledning	6
2.	Grunnlag.....	6
3.	Topografi og grunnforhold.....	7
3.1	Generelt	7
3.1.1	Terrengforhold på land	7
3.1.2	Sjøbunnstopografi.....	8
3.1.3	Grunnforhold	8
3.2	Delområde A.....	8
3.2.1	Topografi og grunnforhold	8
3.2.2	Rutinedata og lagdeling	9
3.2.3	Grunnvann	9
3.3	Delområde B.....	10
3.3.1	Topografi og grunnforhold	10
3.3.2	Rutinedata og lagdeling	11
3.3.3	Grunnvann	11
3.4	Delområde C.....	11
3.4.1	Topografi og grunnforhold	11
3.4.2	Rutinedata og lagdeling	11
3.4.3	Grunnvann	12
3.5	Delområde D.....	12
3.5.1	Topografi og grunnforhold	12
3.5.2	Rutinedata og lagdeling	12
3.5.3	Grunnvann	12
3.6	Utbredelse av kvikkleire	13
4.	Faregradsevaluering	13
4.1	Generelt	13
4.2	Inndeling i faresoner	14
4.3	Evaluering av skadekonsekvens	15
4.4	Evaluering av risiko.....	16
4.5	Bestemmelse av tiltakskategori	17
5.	Skredtype og maksimal utbredelse av skred	18
5.1	Generelt	19
5.2	Beregningssprofiler	18
5.3	Skredtype	19
5.4	Utbredelse av skred	19
6.	Sikkerhetsprinsipper.....	20

6.1	Geotekniske problemstillinger.....	20
6.2	Geoteknisk prosjektklasse	21
6.3	Dimensjonerende laster og lastfaktorer	21
6.3.1	Nytte laster.....	21
7.	Valg av materialparametre	22
7.1	Tolkning av beregningsparametre	22
7.1.1	Kvalitet av undersøkelser	22
7.1.2	Bestemmelse av tyngdetetthet	22
7.1.3	Poretrykksvurderinger i tolkning av CPTU	22
7.1.4	Bestemmelse av udrenerte skjær fasthetsparametre	23
7.1.5	Bestemmelse av deformasjonsegenskaper.....	25
7.1.6	Bestemmelse av anisotropiforhold	26
7.1.7	Bestemmelse av effektive skjær fasthetsparametre	27
8.	Stabilitetsberegninger.....	28
8.1	Beregningsverktøy	28
8.2	Utførte beregninger, kritisk profil CC-1	30
8.3	Utførte beregninger, kritisk profil CC-2	30
8.4	Utførte beregninger, kritisk profil DD-1	30
8.5	Utførte beregninger, kritisk profil EE-1	31
9.	Vurdering av områdestabilitet med anbefalte tiltak	31
9.1	Generell stabilitetsvurdering.....	31
9.1.1	Stabilitet i Faresone 1	31
9.1.2	Stabilitet i Faresone 2	31
9.1.3	Stabilitet i Faresone 3	31
9.1.4	Stabilitet i Faresone 4	31
9.1.5	Stabilitet i Faresone 5	31
9.2	Anbefalte retningslinjer for behandling av nye tiltak	32
9.2.1	Tiltak i Faresone 1	32
9.2.2	Tiltak i Faresone 2	33
9.2.3	Tiltak i Faresone 3	33
9.2.4	Tiltak i Faresone 4	33
9.2.5	Tiltak i Faresone 5	34
9.3	Prinsipper for stabilitetsforbedring	34
9.3.1	Motfyllinger i strandsonen.....	35
9.3.2	Lokal grunnforsterkning	35
9.3.3	Vurdering av gjennomførbarhet og effekt av tiltak	36
9.3.4	Behov for supplerende grunnundersøkelser	38
9.4	Anbefalt utførelse av bygge- og anleggsarbeider	38
9.4.1	Fundamentering av byggverk	38
9.4.2	Oppbygging og fundamentering av fyllinger.....	38

9.4.3	Utførelse av skjæringer og ledningsgrøfter	39
9.4.4	Mellomlagring av masse.....	40
10.	Kritiske momenter.....	40
11.	Referanser	42

Tegninger

- 413941 -0 Oversiktskart
-1 Borplan med nye og tidligere borer
-2 Sjøbunnskart for sjøområdet utenfor Lauvsnes sentrum
-3 Situasjonsplan med markering av kvikkleiresoner og delområder
-4 Situasjonsplan med inndeling av faresoner 1-5
-5 Situasjonsplan med klassifisering av Faregrad, faresoner 1-5
-6 Situasjonsplan med inndeling av Skadekonsekvensklasse, faresoner 1-5
-7 Situasjonsplan med inndeling av Risikoklasse, faresoner 1-5
-40.8 CPTU, borpunkt BP206, designverdier for aktiv udrenert skjærfasthet, s_{uA}
-40.9 CPTU, borpunkt BP206, prekonsolideringsspenning, p_c'
-40.10 CPTU, borpunkt BP206, overkonsolideringsgrad, *OCR*
-40.11 CPTU, borpunkt BP206, friksjonsvinkel, ϕ_k
-41.8 CPTU, borpunkt BP214, designverdier for aktiv udrenert skjærfasthet, s_{uA}
-41.9 CPTU, borpunkt BP214, prekonsolideringsspenning, p_c'
-41.10 CPTU, borpunkt BP214, overkonsolideringsgrad, *OCR*
-41.11 CPTU, borpunkt BP214, friksjonsvinkel, ϕ_k
-42.8 CPTU, borpunkt BP215, designverdier for aktiv udrenert skjærfasthet, s_{uA}
-42.9 CPTU, borpunkt BP215, prekonsolideringsspenning, p_c'
-42.10 CPTU, borpunkt BP215, overkonsolideringsgrad, *OCR*
-42.11 CPTU, borpunkt BP215, friksjonsvinkel, ϕ_k
-76 Kontinuerlig ødometerforsøk, borpunkt BP219, d=6,25 m
-77 Trinnvis ødometerforsøk, borpunkt BP204, d= 8,45 m
-78 Trinnvis ødometerforsøk, borpunkt BP214, d= 7,20 m
-79 Samleplott treaksialforsøk, spenningssti
-80 Samleplott treaksialforsøk, arbeidskurve
-81 Treaksialforsøk, borpunkt BP204, d= 8,55 m, spenningssti med tolket skjærfasthet, NTNU-plott
-82 Treaksialforsøk, borpunkt BP204, d=8,55 m, spenningssti med tolket skjærfasthet, NGI-plott
-83 Treaksialforsøk, borpunkt BP204, d= 8,55 m, arbeidskurve
-84 Treaksialforsøk, borpunkt BP204, d= 8,55 m, utpresset porevann og volumtøyning
-85 Treaksialforsøk, borpunkt BP214, d=5,30 m, spenningssti med tolket skjærfasthet, NTNU-plott

- 86 Treaksialforsøk, borpunkt BP214, d=5,30 m, spenningssti med tolket skjærfasthet, NGI-plott
- 87 Treaksialforsøk, borpunkt BP214, d= 5,30 m, arbeidskurve
- 88 Treaksialforsøk, borpunkt BP214, d= 5,30 m, utpresset porevann og volumtøyning
- 89 Treaksialforsøk, borpunkt BP219, d=6,05 m, spenningssti med tolket skjærfasthet, NTNU-plott
- 90 Treaksialforsøk, borpunkt BP219, d=6,05 m, spenningssti med tolket skjærfasthet, NGI-plott
- 91 Treaksialforsøk, borpunkt BP219, d= 6,05 m, arbeidskurve
- 92 Treaksialforsøk, borpunkt BP219, d= 6,05 m, utpresset porevann og volumtøyning
- 150 Beregningsprofil CC-2, tolket lagdeling med boreresultater
- 151 Beregningsprofil DD-1, tolket lagdeling med boreresultater
- 152 Beregningsprofil EE-1, tolket lagdeling med boreresultater
- 153 Beregningsprofil CC-3, tolket lagdeling med boreresultater
- 310 Beregningsprofil CC-2, stabilitetsberegnning, dagens situasjon, ADP-analyse
- 311 Beregningsprofil CC-2, stabilitetsberegnning, dagens situasjon, $a\phi$ -analyse
- 312 Beregningsprofil DD-1, stabilitetsberegnning, dagens situasjon, ADP-analyse
- 313 Beregningsprofil DD-1, stabilitetsberegnning, dagens situasjon, $a\phi$ -analyse
- 314 Beregningsprofil EE-1, stabilitetsberegnning, dagens situasjon, ADP-analyse
- 315 Beregningsprofil EE-1, stabilitetsberegnning, dagens situasjon, $a\phi$ -analyse
- 316 Beregningsprofil CC-2, stabilitetsvurdering land/sjø, situasjon med støttefylling i strandsonen, ADP-analyse.
- 317 Beregningsprofil CC-2, stabilitetsvurdering land, situasjon med omlegging av veg og lokal terrengavlastning, ADP-analyse
- 318 Beregningsprofil DD-1, stabilitetsvurdering land/sjø, situasjon med støttefyllinger i strandsonen, ADP-analyse
- 319 Beregningsprofil DD-2, stabilitetsvurdering land/sjø, referanseprofil Faresone 2, ADP-analyse
- 320 Beregningsprofil CC-3, stabilitetsvurdering land/sjø, referanseprofil Faresone 1, ADP-analyse

Vedlegg

1. Utvalgte resultater fra tidligere grunnundersøkelser i området.
2. Tabeller for evaluering av Faregrad – Faresone 1-5
3. Tabeller for evaluering av Skadekonsekvensklasse – Faresone 1-5
4. Sluttrapport fra uavhengig kontroll, NGI 20100105-00-6-TN og videre aksjoner planlagt av Multiconsult.

1. Innledning

Etter oppdrag fra Flatanger kommune har Multiconsult AS utført grunnundersøkelser på Lauvsnes for kartlegging av grunnforholdene, med spesiell vekt på forekomst og mektighet av kvikkleire i grunnen. Det er også utført tilsvarende undersøkelser med borefartøyet Frøy i sjøbunnen utenfor Lauvsnes sentrum. Undersøkelsene har sitt tyngdepunkt innenfor sentrumsbebyggelsen og langs strandlinjen, men det er også plassert noen borpunkter utenfor disse områdene, blant annet i området sør for broen og i boligområdet langs fylkesvegen. De fleste borpunkter er avsluttet mot berg eller i fast grunn. Resultater fra disse undersøkelsene er presentert i rapport r413941-1 /14/. Tolkning av geotekniske parametere for stabilitetsberegningene er gitt i vårt notat n413941-1 /15/.

Da det er påtruffet kvikkleire i deler av det undersøkte området må skredfaren utredes iht. NVE's Retningslinjer nr. 1/2008 *"Planlegging og utbygging i fareområder langs vassdrag"* /7/.

Utredning av skredfaren utføres stevvis iht. følgende punkter:

1. Faregradsevaluering

Faregradsevalueringen omfatter identifikasjon av fareutsatt areal med utstrekning av faresone (r), samt en vurdering av sannsynlighet for skred for hver sone.

2. Vurdering av bruddtype og maksimal utbredelse av skred

Vurdering av skreddtype og utløsende skredfaktor, for eksempel initialskred og progressiv utvikling av skredforløp (retrogressivt skred) eller flaskred utløst ved omfattende bruddutvikling i sprøbruddmateriale. Utredningen omfatter videre vurdering av både løsneområder og potensielle utløpsområder for skredmassene.

3. Stabilitetsanalyser

Beregning av sikkerheten mot utglidning, både for dagens situasjon og etter eventuell utbygging.

4. Eventuell utredning av stabilitetsforbedrende tiltak

Utredning og analyse av stabiliserende tiltak som eventuelt må gjennomføres i og utenfor planområdet for å oppnå tilfredsstillende sikkerhet.

Grunnundersøkelsene har samlet gitt grunnlag for en oversikt over kvikkleireforekomster i området og en vurdering av lokal- og områdestabiliteten med fokus på tettbebyggelsen og området langs stranden. Undersøkelsene og utredningen som er beskrevet i denne rapporten er imidlertid ikke knyttet opp mot konkrete byggeprosjekter, men skal gi utbyggere, planleggere og beslutningstakere et sikkert grunnlag for håndtering av byggesaker innenfor det aktuelle området.

Sentrums og nærområdene er inndelt i 5 ulike faresoner med individuell fastsettelse av faregrad, skadekonsekvens- og risikoklasse. Forslag til generelle tiltak for reduksjon av skredrisiko er også foreslått og vurdert med hensyn på gjennomførbarhet og effekt på stabiliteten. Dette inkluderer blant annet utlegging av støttefylling i strandsonen og lokal terrengavlastning i de mest skredutsatte områdene.

2. Grunnlag

Det er tidligere utført flere grunnundersøkelser i Lauvsnes sentrum i forbindelse med utarbeidelse av reguleringsplan og for enkeltbygg, hovedsakelig i tettbebyggelsen nede ved stranden. Kummeneje AS har undersøkt grunnforholdene for regulering av et område som ligger på utsiden av hovedvegen gjennom sentrum. Området strekker seg fra det tidligere banklokalet i sør til ca. 50 m nord for kaien. Kummeneje AS har i tillegg utført

enkeltundersøkelser for Miljøbygg Lauvsnes, Alfred Sørgaard eftf., Aakervik overnatningsbygg og Flatanger sparebank i strandområdet. Samme firma har undersøkt grunnforholdene for Nord-Trøndelag E-verk og Lauvsnes syke- og aldersheim øst for strandområdet. Rambøll AS har utført grunnundersøkelser og geoteknisk prosjektering for Flatangerhallen på høydedraget ved Lauvsnes skole.

Resultater fra de tidligere grunnundersøkelsene i området er oppsummert i *Tabell 2.1*.

Tabell 2.1 Tidligere grunnundersøkelser i området.

Rapport nr.	Firma	År	Oppdragsgiver	Oppdragsnavn
O6060415-1	Rambøll AS	2006	Flatanger kommune	Flatangerhallen.
O.6445-1	Kummeneje AS	1988	Pål Aakervik, Lauvsnes	Tomt for overnatningsbygg. Poretrykksmåling. Grunnundersøkelser. Geoteknisk vurdering.
O.6445	Kummeneje AS	1987	Flatanger kommune	Reguleringsplan. Stranda.
O.3202-2	Kummeneje AS	1983	Flatanger kommune	Syke- og aldersheim.
O.3202-3	Kummeneje AS	1983	Flatanger kommune	Syke- og aldersheim.
O.3786	Kummeneje AS	1982	Alfred Sørgaards Eftf., Lauvsnes	Geoteknisk undersøkelse for nytt forretningsbygg.
O.3200	Siv.ing. Ottar Kummeneje AS	1979	Nord-Trøndelag Elektrisitetsverk	Nybygg på Lauvsnes.

Resultater fra disse undersøkelsene er delvis innarbeidet i datarapport nr. 413941-1, men utvalgte resultater er også vedlagt denne rapporten (vedlegg 1). Tabell 2.2 oppsummerer dokumenter/tegninger benyttet som grunnlag:

Tabell 2.2 Grunnlagsdokumenter.

Nr.	Tegning/dokument	Tittel/Kommentar	Mottatt dato
1	100415	Aqua kompetanse, transformert bunnkotekart	20.01.2010
2	Lauvsnes1.sos	Digitalt kart, Lauvsnesodden	07.12.2009
3	GRBORLauvsns.kof	Koordinater og høyder for innmålte borpunkt	27.05.2010
4	1749-191899	Kabelkart Lauvsnes sentrum	22.12.2009

Som høydereferanse i beregninger og på tegninger benyttes NGOs høydesystem.

3. Topografi og grunnforhold

3.1 Generelt

3.1.1 Terrengforhold på land

Lauvsnes ligger på en terrengrygg av løsmasse og berg, Lauvsnesodden, som heller ned mot sjøen på begge sider. Bebyggelsen i Lauvsnes sentrum er konstruert langs stranden av odden i

vest og oppover mot toppen av terrengryggen i øst. For øvrig er det spredt eller klyngevis bebyggelse i området, men store deler er også dekket av kulturlandskap og friareal. Terrenget langs strandlinjen ligger hovedsakelig mellom kote +2+3, med lokale høyere og lavere partier. Den høyeste del av ryggen ligger på ca. kote +36 sør for Kleppan.

I området ved Lauvsnes kai og utenfor SPAR-butikken/postkontoret er det tidligere fylt masse utover i strandsonen og ut i sjøen, delvis avsluttet med bratt skrånning. For tiden pågår det også noe utfylling sør for broen (ved borpunkt BP 203). Dette er av spesiell interesse ved vurdering av nye sikringstiltak i området, se kap. 9.3.

3.1.2 Sjøbunnstopografi

Sjøbunnen faller slakt utover nær land med helning 1:10 og 1:20. Nord for kaien faller sjøbunnen brattere, og det er her påvist berg i dagen. Nord for tettbebyggelsen er det et grunnere parti, der sjødybden på det grunneste bare er ca. 2 m. Det er påvist flere grunne partier med sjødybde ned mot 0,1 m lengre sør, og ved skjæret ligger terrenget over vann ved lavvann. De grunne partiene ligger omtrent midtveis ute i sjøen.

De flatere partier av sjøbunnen tilsvarer sjødybder mellom 13 m og 34 m, mens sjødybder ned mot 100 m er registrert i en dypål mot Sjøvika i nordvest.

Leira er stedvis kvikk, og områder med påvist kvikkleire er vist på situasjonsplan i tegning 413941-4.

3.1.3 Grunnforhold

For beskrivelse av grunnforhold, spesielt med hensyn på forekomst av kvikkleire og omfang av bebyggelse er Lauvsnes sentrum foreslått inndelt i 4 delområder:

- **Delområde A:** Området strekker seg fra bebyggelsen like nord for postkontoret/SPAR-butikken langs stranden og frem til krysset mellom fylkesvegen og veien østover mot skolen og Flatangerhallen. Dette utgjør ca. 570 m langs strandlinjen, mens bredden er ca. 120-170 m, smalest i nord.
- **Delområde B:** Området strekker seg fra søndre avgrensning av Delområde A, forbi brosteden med østre landkar og videre sørover langs stranden. Delområdet inneholder også en kile oppover mot fjellet sør for Kleppan.
- **Delområde C:** Dette delområdet omfatter området ved skolen/Flatangerhallen og nordøstover mot Nordheim og sjøen. Området er ca. 300-350 m i diameter
- **Delområde D:** Dette området omfatter den resterende del av sentrumsområdet på Lauvsnes og avgrenser dagens bebyggelse mot nord/nordøst.

Figur 3.1 viser flyfoto over det aktuelle området der delområdene A-D er tegnet inn. Det presiseres at delområdene primært beskriver geologiske forhold og forekomst av kvikkleire i grunnen. De er ikke vurdert med hensyn på faregrad, skadekonsekvens- eller Risikoklasse, se faresoneinndeling i kap.4.2.

3.2 Delområde A

3.2.1 Topografi og grunnforhold

Delområdet er dominert av fylkesvegen og bebyggelsen langs stranden, men også noe dyrket mark/kulturlandskap, se figur 3.1. Terrenget i delområdet heller svakt i vestlig/sørvestlig retning ned mot sjøen. Skråningshelningen varierer mellom ca. 1: 9 og 1:12.

Løsmassetykkelsen varierer mellom 3 m og 15 m, men ligger gjennomgående i underkant av 10 m. Det er påvist bart fjell i strandsonen, både sør og nord for flytebryggen ved Zanzibar Inn.

Kvikkleiremektigheten er generelt størst innenfor dette delområdet, men viser en variasjon mellom ca. 2,5 m og 12 m. Delområdet må likevel antas å ha kontinuerlige, og delvis mektige kvikkleirelag som stedvis strekker seg fra nær overflaten og ned til fast grunn.

3.2.2 Rutinedata og lagdeling

Prøvetakingen i hull 214 i delområdet viser at løsmassene i hovedsak består av 0-3 m tørrskorpeleire over leire, til dels sensitiv og kvikk leire. Mot berg er det påvist grovere masser med morenekarakter. Vanninnholdet i både tørrskorpeleiren og leiren varierer mellom ca. 20 og 25 %, som indikerer en forholdsvis grov leire. Udrenert skjærfasthet varierer mellom 12 og 41 kN/m², noe økende med dybden. Densiteten ligger mellom 2,08 og 2,22 g/cm³. Omrørt skjærfasthet varierer mellom 0,3 kN/m² og 0,8 kN/m² i de sensitive/kvikke lagene, for øvrig er variasjonen mellom 2 kN/m² og 16 kN/m².

Løsmassene kan deles inn i tre lag:

- Lag 1: Tørrskorpeleire
- Lag 2: Middels fast, lite sensitiv leire
- Lag 3: Kvikkleire

3.2.3 Grunnvann

Det er satt ned to hydrauliske poretrykksmålere i BP 212. Disse er satt ned til dybder 3,0 m og 5,5 m under terrenget. Tabell 3.1 viser målt poretrykk og tilsvarende grunnvannsnivå. Målt poretrykk fram til 30.05.2010, samt valgt designlinje for poretrykket, er inntegnet på relevante beregningsprofiler. Det antas tilnærmet hydrostatisk poretrykksfordeling, men med en svak artesisk komponent med dybden.

Tabell 3.1 Poretrykksavlesning for poretrykksmålere i borpunkt BP 212.

Borpunkt Dybde (m)	Kote terreng (moh)	Kote piezometerspiss (moh)	Løsmasser ved pz- spiss	Høyeste avlest poretrykk (kPa)	Grunnvannsnivå fra poretrykk [kote]* (moh)
212 3,0	+0,97	-2,03	Leire	18,6	-0,17
212 5,5	+0,97	-4,53	Leire	49,9	+0,46

* Hydrostatisk poretrykksfordeling

Grunnvannstanden varierer normalt med årstid og nedbør. Erfaringsmessig kan grunnvannsnivåetstå vesentlig høyere i perioder med nedbør og/eller snøsmelting.

Poretrykksmålingene bør videreføres for å dokumentere poretrykksvariasjoner over tid.



Figur 3.1 Flyfoto over utbyggingsområdet med inntegnet forslag til delområder (kilde: www.finn.no)

Etter at notat n413941-1 med forslag til parametervalg /15/ var gitt ut ble det besluttet å ikke utføre stabilitetsanalyser for profil CC-1. Dette skyldes at CC-1 er det profilet med færrest sonderinger, samt at både profil CC-2 og DD-1 er vurdert til å være mer ugunstig med tanke på mektighet av kvikkleire. For å dekke et større område ble det videre besluttet å analysere profil EE-1. Designparametere for dette profilet er ikke inkludert i n413941-1 /15/ men vurdert i etterkant. Designparameter for samtlige profiler er gitt i kapittel 7. Samtlige profiler er vist i Figur 8.1.

3.3 Delområde B

3.3.1 Topografi og grunnforhold

I nord er også dette området dominert av fylkesvegen og noe bebyggelse, se figur 3.1. Denne delen omfatter også en løsmassekile med kulturmark som strekker seg opp mot fjellet i øst, sør for Kleppan. For øvrig består området av kulturlandskap/friland uten nevneverdig bebyggelse. Terrenget innenfor delområdet heller svakt i vestlig/sørvestlig retning ned mot sjøen. Skråningshelningen er i gjennomsnitt ca. 1:10. I løsmassekilen opp mot fjellet har terrenget en gjennomsnittlig helning på ca. 1:12,5.

Løsmasseoverdekningen varierer mellom 4 m og 24 m, men ligger gjennomgående i overkant av 10 m. Det er påvist bart fjell i området ved østre landkar på brostedet. Kvikkleiremektigheten er generelt mindre enn for Delområde A, og er stort sett begrenset til tynnere lag med mektighet mellom 2 m og 5 m. Delområdet må likevel antas å ha kontinuerlige kvikkleirelag som kan strekke seg over store deler av området.

3.3.2 Rutinedata og lagdeling

Prøvetakingen i borpunkt BP 204 i delområdet viser at løsmassene i hovedsak består av 0-3 m tørskorpeleire over vekslende lag med silt og leire, som i tynnere lag kan være sensitiv eller kvikk. Mot berg er det påvist grovere masser med morenekarakter. Vanninnholdet i både tørskorpeleiren og leiren varierer mellom ca. 20 og 25 %, som indikerer en forholdsvis grov leire. Vanninnholdet ligger ned mot 15 % i siltlagene. Udreneret skjærfasthet er målt mellom 20 og 35 kN/m², noe økende med dybden og større i siltlagene. Densiteten ligger mellom 2,10 og 2,14 g/cm³. Omrørt skjærfasthet varierer mellom 1,9 og 5 kN/m² i de mest sensitive lagene, for øvrig er variasjonen mellom 5 og 13 kN/m².

Løsmassene kan deles inn i to lag:

Lag 1: Tørskorpeleire

Lag 2: Middels fast, lite sensitiv leire, lagdelt med siltlag og enkelte grove korn

3.3.3 Grunnvann

Det er ikke utført poretrykksmålinger i noen borpunkt innenfor dette delområdet. Det antas imidlertid at poretrykksmålingene i borpunkt BP 212 fra Delområde A også er representative for dette punktet.

Grunnvannstanden varierer normalt med årstider og nedbør. Erfaringsmessig kan grunnvannsnivået stå vesentlig høyere i perioder med nedbør og/eller snøsmelting.

3.4 Delområde C

3.4.1 Topografi og grunnforhold

Området består av et relativt flatt platå mellom ca. kote +35 og +40 på toppen av løsmasseryggen ved skolen og Flatangerhallen, se figur 3.1. Området brer seg videre nordøstover mot utløpet av Lauvsneselva. I sørvestre del er delområdet dominert av skole med idrettsanlegg og åpne plasser, mens det øvrige arealet for det meste består av dyrket mark og kulturlandskap. Terrenget innenfor delområdet heller svakt i nordlig/nordøstlig retning. Skråningshelningen er i gjennomsnitt ca. 1:34 fra toppen av platået og ned til delområdets begrensning i nordøst. Fra platået ved skolen er gjennomsnittlig terrenghelning ned mot stranden i vest ca. 1:23.

Løsmasseoverdekningen varierer mellom 10 m og 15 m, mens kvikkleiremektigheten varierer mellom 5 m og 10 m og ser ut til å avta mot delområdets begrensning i nord/nordøst. Kvikklemektigheten antas generelt å være mindre enn for Delområde A, men større enn for Delområde B. Delområdet må antas å ha kontinuerlige kvikkleirelag som strekker seg over store deler av delområdet. Det synes imidlertid ikke å være direkte sammenheng mellom kvikkleiren i dette området og kvikkleiresonen nede ved stranden, men dette kan ikke helt utelukkes. Det eksisterer imidlertid få borpunkter innenfor dette området og vurderingene er derfor noe mer usikre enn for de øvrige delområdene.

3.4.2 Rutinedata og lagdeling

Det er ikke tatt uforstyrrede prøver fra borhull i dette området. Det antas omrent tilsvarende grunnforhold og egenskaper som for Delområde A.

Løsmassene kan deles inn i tre lag:

Lag 1: Tørskorpeleire

Lag 2: Middels fast, lite sensitiv leire

Lag 3: Kvikkleire

3.4.3 Grunnvann

Det er ikke satt ned poretrykksmålere i dette delområdet. Basert på observasjoner og befaring forut for grunnundersøkelsene vurderes grunnvannstanden å ligge noe lavere oppå platået sammenlignet med de øvrige delområdene.

Grunnvannstanden varierer normalt med årstid og nedbørsmengde. Erfaringsmessig kan grunnvannsnivået stå vesentlig høyere i perioder med mye nedbør og/eller snøsmelting.

3.5 Delområde D

3.5.1 Topografi og grunnforhold

Delområdet er i nordre del dominert av bebyggelse og infrastruktur langs stranda og et stykke oppover i skråningen, se figur 3.1. I midtre del, nord for sekundærvegen opp mot skolen, består området av kulturmark, mens det i søndre del i hovedsak består av småkupert, delvis skogkledd terreng med berg i dagen. Løsmasseoverdekningen er således liten (< 5 m), mens den i midtre del ligger mellom 9 m og 11 m. I denne del av området domineres løsmassene av ikke-sensitiv leire med siltlag ned til fast grunn.

I den midtre del av sonen, som har forekomster av leire, heller terrenget innenfor delområdet svakt i vestlig/sørvestlig retning ned mot stranden. Skråningshellingen varierer mellom ca. 1:9 og 1:12.

Det er ikke påvist mektige kvikkleirelag innenfor området, men det kan forekomme tynne, ikke-sammenhengende lag med kvikk eller sensitiv leire lokalt.

I den nordre delen av sonen er det i hovedsak bart fjell eller fjell i liten dybde. Dette gjelder også for den søndre delen av sonen.

3.5.2 Rutinedata og lagdeling

Prøvetakingen i borpunkt BP 219 i delområdet viser at løsmassene i hovedsak består av 0-3 m sandig tørrskorpeleire over lite sensitiv leire. Mot berg er det påvist grovere masser med morenekarakter. Vanninnholdet i leiren varierer mellom ca. 20 og 25 %, som indikerer en forholdsvis grov leire. Udrynert skjærfasthet er målt mellom 10 kN/m² og 40 kN/m² mens densiteten varierer mellom 2,08 g/cm³ og 2,18 g/cm³. Omrørt skjærfasthet varierer mellom 2,5 kN/m² og 5,0 kN/m² i de mest sensitive lagene, men kan stige opp mot 10 kN/m² i det faste topplaget.

Løsmassene kan deles inn i to lag:

Lag 1: Tørrskorpeleire

Lag 2: Middels fast, lite sensitiv leire

3.5.3 Grunnvann

Det er ikke satt ned poretrykksmålere i dette delområdet, men forholdene i nedre del av området antas å tilsvare forholdene i borpunkt BP 212 i Delområde A. Basert på observasjoner og befaring forut for grunnundersøkelsene vurderes grunnvannstanden å ligge noe lavere i den delen av området som ligger oppå platået.

Grunnvannstanden varierer normalt med årstid og nedbørsmengde. Erfaringsmessig kan grunnvannsnivået stå vesentlig høyere i perioder med mye nedbør og/eller snøsmelting.

3.6 Utbredelse av kvikkleire

Basert på utførte grunnundersøkelser, registrert berg i dagen og topografiske forhold, er det gjort en vurdering av kvikkleirens utbredelse. Forslaget til kvikkleireavgrensning med tilhørende 4 delområder er vist i figur 3.1, mens forslag til inndeling av faresoner er vist på tegning 413941-4.

Følgende vurderinger ligger til grunn for bestemmelse av delområdene:

- Alle kjente grunnundersøkelser i området er tatt med i vurderingen. Plassering av alle borpunkt er vist på borplanen i tegning 413941-1.
- Boringer der det er antatt eller påvist kvikkleire eller sprøbruddsmaterialer er vist med rød farge, mens borer uten slike materialer er vist med grønn farge, se tegning 413941-4.
- Grenser mellom delområder og faresoner er trukket på bakgrunn av mektighet og kontinuitet av kvikkleire innenfor området, graden av bebyggelse og topografiske forhold.

Videre er delområdene avgrenset mot områder med oppstikkende berg og områder med liten løsmasseoverdekning. De foreslalte kvikkleiresonene definerer grensene for potensielle løsneområder for mulige kvikkleireskred innenfor det undersøkte området.

4. Faregradsevaluering

4.1 Generelt

NVEs retningslinjer /7/ krever at det foretas en faregradsevaluering av områder der det er påvist kvikkleire i grunnen. Faregradsevalueringen gjennomføres etter anbefalte retningslinjer utarbeidet av Norges Geotekniske Institutt, se tabell 4.1. Tabellen er hentet fra NGI-rapport 20001008-2, rev. 3 datert 08.10.2008 ”*Vurdering av risiko for skred. Metode for klassifisering av faresoner, kvikkleire*” som beskriver detaljerte retningslinjer for evalueringen.

Tabell 4.1 Grunnlag for evaluering av faregrad.

Faktorer	Vekt-tall	Faregrad, score				
		3	2	1	0	
Tidl. Skredaktivitet	1	Høy	Noe	Lav	Ingen	
Skråningshøyde, meter	2	> 30	20 – 30	15 – 20	< 15	
Tidligere/ nåværende terrengnivå (OCR)	2	1,0 – 1,2	1,2 – 1,5	1,5 – 2,0	> 2,0	
Poretrykk	Overtrykk, kPa	+3	> + 30	10 – 30	0 – 10	Hydrostatisk
	Undertrykk, kPa	-3	> -50	- (20 – 50)	- (0 – 20)	
Kvikkleiremektighet	2	> H/2	H/2 – H/4	< H/4	Tynt lag	
Sensitivitet	1	> 100	30 – 100	20 – 30	< 20	
Erosjon	3	Aktiv/glidning	Noe	Lite	Ingen	
Inngrep	Forverring	+3	Stor	Noe	Liten	Ingen
	Forbedring	-3	Stor	Noe	Liten	
Sum poeng		51	34	16	0	
% av maksimal poengsum		100 %	67 %	33 %	0 %	

Etter dette inndeles klassifiseringen av faregrad etter følgende poengsummer:

Lav faregrad:	0-17 poeng
Middels faregrad:	18-25 poeng
Høy faregrad:	26-51 poeng

4.2 Inndeling i faresoner

Det er tidligere ikke gjennomført faresonekartlegging med faregradsevaluering av Lauvsnes sentrum. På grunn av topografiske og geologiske forhold anses det imidlertid som usannsynlig at alle delområdene med forekomst av kvikkleire kan rase ut i ett og samme skred. Det er derfor hensiktsmessig å dele inn området i ulike faresoner, der en faresone i prinsippet gjenspeiler maksimal lokal utbredelse av ett enkeltstående skred. Lauvsnes sentrum er etter dette inndelt i fem faresoner, se tegning 413941-4, der det er utført klassifisering av Faregrad, Skadekonsekvens- og Risikoklasse for alle faresonene, se tegningene 413941-5 - -7. Inndeling av faresonene er basert på forekomst av kvikkleire, barrierer i form av oppstikkende berg eller bergterskler, raviner, terregnformasjoner o.l. Klassifisering av sonene med hensyn på faregrad, skadekonsekvens- og risikoklasse er utført for hver sone etter prinsippene beskrevet i tabellene 4.1 (faregrad), 4.3 (skadekonsekvens) og 4.5 (risiko), med referanse til NGI rapport 20001008-2 /12/.

Uttrekning av faresonene kan beskrives som følger:

Faresone 1: Strekker seg som en ca. 120 m bred sone fra nordre begrensning av Delområde A i sørvestlig retning langs stranden, bort til kaiutstikkeren og sekundærvegen opp mot Nordheim.

Faresone 2: Faresonen defineres som området på vestsiden av høydedraget mellom hovedvegen, sekundærvegen opp mot Nordheim og sekundærvegen opp mot skolen lenger sør.

Faresonen inneholder et belte der det ikke er påvist kvikkleire i boringer (Delområde D), se område med grønn skravur i tegning 413941-4. Det kan imidlertid ikke utelukkes at det finnes isolerte lag eller lommer med kvikkleire i dette beltet, som eventuelt kan forbinde kvikkleirelagene innenfor delområdene A og D.

Faresone 3: Sonen ligger på nordsiden av sekundærvegen opp mot Nordheim og øst for bebyggelsen her. Faresonen går ikke helt ned til Lauvsneselven på nordsiden av åsryggen, da det er påvist en barriere i form av en oppstikkende bergterskel ned mot elven.

Faresone 4: Sonen strekker seg fra strandlinjen på sørsiden av vegen opp mot skolen bort til vegen mot brostedet over til Nyrud. Sonen strekker seg oppover i østlig retning, på sørsiden av en fremstikkende bergrygg som skiller Faresone 2 og 4 i området ved skolen.

Faresone 5: Gjenstående faresone ligger på begge sider av hovedvegen syd for vegen over til Nyrud. Faresonen omfatter boligfeltet på østsiden av hovedvegen, men begrenses av berg i dagen øst for dette.

Forslaget til faresoneinndeling er ment som et internt redskap for kommunens byggesaksbehandling. Faresonene vil kunne endre faregrad som følge av utbygging og eventuelle stabiliserende tiltak i området, først og fremst gjennom effekten av stabiliserende eller drivende inngrep i området, se kap.9. for ny vurdering etter foreslått tiltak.

Tabell 4.2 Faregradsvurdering for Faresone 1-5, Lauvsnes sentrum.

Faresone	Poengscore F	Prosentscore F%	Klassifisering Faregrad	Merknad
1	21	41	Middels	
2	19	37	Middels	
3	13	25	Lav	
4	21	41	Middels	
5	13	25	Lav	Ikke utført spesialundersøkelser i felt/lab.

Tabell 4.2 viser oppnådd klassifisering for de 5 faresonene, se tegning 413941-5 og vedlegg 2 for detaljerte resultater.

Ingen av faresonene klassifiseres med høy faregrad, selv om stabiliteten synes å være anstrengt. Ved Middels faregrad vil sonen, relativt sett, ha middels sannsynlighet for at skred skal inntrefte. Det presiseres at sonen vil kunne endre faregrad ved gjennomføring av tiltak i området.

4.3 Evaluering av skadekonsekvens

Det er tilsvarende gjennomført utført en vurdering av Skadekonsekvensklasse for alle fem faresonene etter retningslinjer utarbeidet av NGI /12/, se tabell 4.3.

Resultatene av evalueringen viser som forventet at Skadekonsekvensklassen er høyest i Faresone 1 lengst mot nord, der oppnådd skadekonsekvensklasse er i kategorien **Meget alvorlig**. For de øvrige faresonene er Skadekonsekvensklassen klassifisert som **Alvorlig** eller **Mindre alvorlig**, se tabell 4.4, tegning 413941-6 og vedlegg 3 for detaljerte resultater.

Tabell 4.3 Evaluering av skadekonsekvensklasse – generelt grunnlag.

Faktorer	Vekttall	Konsekvens, score			
		3	2	1	0
Boligheter, antall	4	Tett > 5	Sprett > 5	Sprett < 5	Ingen
Næringsbygg, personer	3	>50	10-50	<10	Ingen
Annен bebyggelse, verdi	1	Stor	Betydelig	Begrenset	Ingen
Vei, ÅDT	2	>5000	1001-5000	100-1000	<100
Toglinje, baneprioritet	2	1-2	3-4	5	Ingen
Kraftnett	1	Sentral	Regional	Distribusjon	Lokal
Oppdemming, flom	2	Alvorlig	Middels	Liten	Ingen
Sum poeng		45	30	15	0
% av maksimal poengsum		100	67	33	0
Klassifisering		Meget alvorlig	Alvorlig	Mindre alvorlig	Ingen

Etter /12/ inndeles klassifiseringen av skadekonsekvens etter følgende poengsummer:

- Mindre alvorlig: 0-6 poeng
- Alvorlig: 7-22 poeng
- Meget alvorlig: 23-45 poeng

Tabell 4.4 Vurdering av Skadekonsekvensklasse for dagens situasjon, Faresone 1-5, Lauvsnes sentrum.

Faresone	Poengscore K	Prosentscore K%	Klassifisering Skadekonsekvensklasse	Merknad
1	23	51	Meget alvorlig	
2	11	24	Alvorlig	
3	5	11	Mindre alvorlig	
4	8	18	Alvorlig	
5	11	24	Alvorlig	

Konsekvensklasse Meget alvorlig er soner hvor det oppholder seg et betydelig antall personer, permanent eller regelmessig, mens det i soner med konsekvensklasse Mindre alvorlig er få eller ingen fastboende.

4.4 Evaluering av risiko

Avhengig av skadekonsekvensklasse og faregrad skal en faresone også plasseres i en av fem Risikoklasser, der risiko = faregrad x skadekonsekvens, se NGI /12/. Risikoklassene er ment å være et hjelpemiddel i arealplanleggingen og ved prioritering av sikringsarbeid, se tabell 4.6.

Tabell 4.5 Vurdering av Risikoklasse for dagens situasjon, Faresone 1-5, Lauvsnes sentrum.

Faresone	Faregrad F %	Klassifisering Skadekonsekvens K %	Antall poeng	Klassifisering Risikoklasse
1	41	51	2091	4
2	37	24	888	3
3	25	11	275	2
4	41	18	738	3
5	25	24	600	2

Klassifiseringen av risikoklasse inndeles etter følgende prosentvise summer:

- Risikoklasse 1: 0-170 poeng
- Risikoklasse 2: 171-630 poeng
- Risikoklasse 3: 631-1900 poeng
- Risikoklasse 4: 1901-3200 poeng
- Risikoklasse 5: 3201-10000 poeng

Resultatene fra vurderingene for Lauvsnes er vist i tabell 4.5 og tegning 413941-7.

Fra disse vurderingene, samt generelle anbefalinger for gjennomføring av sikringstiltak i tabell 4.6, kan det slås fast at sikringstiltak innenfor Faresone 1 bør prioriteres, ettersom risikonivået er høyest i denne sonen. Deretter vil det være fornuftig å gjennomføre sikringstiltak i Faresone 2.

Tabell 4.6 Prioritering av sikringsarbeid for ulike risikoklasser.

Risikoklasse 1	Områder hvor det normalt ikke vil være aktuelt å foreta noen form for videre evaluering eller tiltak. Ved et eventuelt anleggsmessig inngrep vil det kreves dokumentasjon på at sikkerheten er tilfredsstillende etter NVEs retningslinjer.
Risikoklasse 2	Områder hvor det normalt ikke vil være aktuelt å foreta noen form for videre evaluering eller tiltak. Ved et eventuelt anleggsmessig inngrep vil det kreves dokumentasjon på at sikkerheten er tilfredsstillende etter NVEs retningslinjer.
Risikoklasse 3	Omfatter soner med til dels tett bebyggelse. Må gis prioritet i det videre arbeidet med sikring mot skred.
Risikoklasse 4	Omfatter for det meste soner med tett bebyggelse. Må gis høy prioritet i det videre arbeidet med sikring mot skred.
Risikoklasse 5	Omfatter soner med høyeste skadekonsekvens og høyeste faregrad. Må gis høy prioritet i det videre arbeidet med sikring mot skred.

Faresone 4 har tilsvarende risikoklasse, men her ikke sikringstiltak så aktuelt på grunn av akseptabelt sikkerhetsnivå. Sikringstiltak i Faresone 3 og 5 bør prioriteres lavt, men det bør gjennomføres ordinær geoteknisk vurdering ved nye tiltak som beskrevet i kap. 9.3.

4.5 Bestemmelse av tiltakskategori

Tiltakskategori 1-3 må vurderes særskilt for hver enkelt byggesak/tiltak innenfor området i henhold til tabell 4.7.

Kategorien bestemmes på bakgrunn av tiltakets størrelse og funksjon, påvirkning på stabilitetsforholdene og eventuell tilflytting av personer i forbindelse med tiltaket. Aktuell tiltakskategori og faregradsklasse for sonen definerer så kravene til stabilitetsanalyse og kontroll av prosjekteringen, se tabell 4.7.

Mest alvorlig vil være tiltak som medfører tilflytning av mennesker til området, inkludert en forventet økning av antall personer i nærliggende uteområder. Slike prosjekter vil uten unntak plasseres i tiltakskategori **K3**, se tabell 4.8 for tilhørende krav.

Dette viser at tiltak som medfører tilflytning av mennesker innenfor Faresonene 1, 2 og 4 med **Middels** faregrad vil kreve en vesentlig forbedring av sikkerheten, i tilfelle denne ikke er bedre enn $\gamma > 1,4$ i utgangspunktet. Ved en beregningsmessig sikkerhet på 1,0 før stabiliseringstiltak, må sikkerheten gjennom sikringstiltaket forbedres 15 %. For Faresonene 3 og 5 med lav faregrad er det tilstrekkelig med en forbedring på ca. 8 % i denne situasjonen.

Tabell 4.7 Evaluering av tiltakskategori – generelt grunnlag.

Tiltakskategori	Faregradsklasse før utbygging		
	Lav	Middels	Høy
K1. Små tiltak uten tilflytting av personer. Ingen negativ påvirkning på stabilitetsforholdene: Garasjer, mindre tilbygg, mindre terrenginngrep	Veiledning, små inngrep i kvikkleiresoner	Veiledning, små inngrep i kvikkleiresoner	Faregradevaluering Stabilitetsanalyse: a) $\gamma_m \geq 1,4$ eller b) Ikke forverring Vanlig kontroll (Prosj.klasse 2 NS3480)
K2. Tiltak av begrenset omfang uten tilflytting av personer. Negativ påvirkning på stabilitetsforholdene: Private og kommunale veger, grøfter, planeringer, oppfyllinger o.l.	Faregradevaluering Stabilitetsanalyse: a) $\gamma_m \geq 1,4$ eller b) Ikke forverring Vanlig kontroll (Prosj.klasse 2 NS3480) eller Skjerpet kontroll (Prosj.klasse 3 NS3480)	Faregradevaluering Stabilitetsanalyse: a) $\gamma_m \geq 1,4$ eller b) Forbedring Vanlig kontroll (Prosj.klasse 2 NS3480) eller Skjerpet kontroll (Prosj.klasse 3 NS3480)	Faregradevaluering Stabilitetsanalyse: a) $\gamma_m \geq 1,4$ eller b) Forbedring Vanlig kontroll (Prosj.klasse 2 NS3480) eller Skjerpet kontroll (Prosj.klasse 3 NS3480)
K3. Tiltak som innebærer tilflytting av mennesker. Viktige samfunns-funksjoner: Boliger, institusjoner, skoler, næringsbygg, VAR-anlegg, kraftnett o.l.	Faregradevaluering Stabilitetsanalyse: a) $\gamma_m \geq 1,4$ eller b) Forbedring Skjerpet kontroll (Prosj.klasse 3 NS3480)	Faregradevaluering Stabilitetsanalyse: a) $\gamma_m \geq 1,4$ eller b) Vesentlig forbedring Skjerpet kontroll (Prosj.klasse 3 NS3480)	Faregradevaluering Stabilitetsanalyse: a) $\gamma_m \geq 1,4$ eller b) Vesentlig forbedring Skjerpet kontroll (Prosj.klasse 3 NS3480)

Tabell 4.8. Krav til geoteknisk utredning/stabilitet ved tiltak som medfører tilflytting av mennesker.

Faregrad	Lav	Middels	Høy
Evaluering	Krav til evaluering før og etter tiltaket		
Stabilitetsanalyse Krav til sikkerhet	$\gamma_m > 1,4$, eventuelt prosentvis forbedring av sikkerheten	$\gamma_m > 1,4$, eventuelt <u>vesentlig</u> prosentvis forbedring av sikkerheten	
Kontrollnivå	Skjerpet kontroll i henhold til NS 3480		

5. Skredtype og maksimal utbredelse av skred

5.1 Generelt

Formålet med å vurdere skredtype og utbredelse av skred er å belyse hvilken utstrekning et eventuelt skred utløst i sonen kan få, og hvilken risiko for skader på bebyggelsen nedstrøms skadestedet et skred kan medføre.

5.2 Beregningsprofiler

Beregningssprofilene CC-1, CC-2 og DD-1 ligger i hovedsak innenfor Faresonene 1 og 2, mens beregningssprofilen EE-1 ligger innenfor Faresone 4. I tillegg benyttes profilene CC-3 og DD-2 som referanseprofilene. Det vurderes som mest interessant å fokusere på stabilitetsforholdene innenfor faresonene med høyest faregrad og skadekonsekvens, og i tillegg har mest kvikkleire i grunnen.

Plassering av profilene er vist på henholdsvis tegning 413491-2, med laggrenser, jordart og parametervalg for hvert enkelt profil i henhold til tegningene 413941-150 til -153. For referanseprofil DD-2 tilsvarer lagdeling og grunnforhold situasjonen i Profil DD-1 og det er ikke laget egen tegning for dette profilet.

Det er ikke valgt ut egne beregningssprofiler innenfor Faresonene 3 og 5, der faregraden er lav og skadekonsekvensen er mindre alvorlig. Det er utført få eller ingen spesialforsøk i felt eller laboratorium for disse sonene, noe som medfører særlig usikre parametervurderinger.

For sjøbunnsedimentene er det konservativt antatt at hele leirlaget er kvikt i stabilitetsberegningene.

5.3 Skredtype

Basert på topografi og grunnforhold finner vi at den mest sannsynlige skredtypen for hele området betraktet er et retrogressivt skred. Et slikt skred karakteriseres ved en serie av hurtig bakovergripende partialskred, utløst med utgangspunkt i et forholdsvis beskjedent initialskred. Dette skredet kan bli utløst av byggetekniske inngrep eller naturlige prosesser, som for eksempel erosjon. Kvikkleireskredet vil gradvis forplante seg bakover til det treffer en barriere i form av et ikke-sensitivt lag, topografiske forhold eller en oppstikkende bergterskel.

En mulig skredhendelse kan for eksempel utløses ved et skred i marbakken, utløst av erosjon, fylling eller rystelser fra anleggsvirksomhet. Initialskredet kan bløttlegge kvikkleirelagene som er påvist i deler av sjøbunnen utenfor Lauvsnes og sette i gang en bakovergripende skredutvikling i de kontinuerlige kvikkleirelagene. På grunn av en oppstikkende bergterskel langs stranden midt i delområdet, er et slikt forløp mest aktuelt i nordre del av området nært SPAR-butikken og postkontoret (Faresone 1), men antas også å kunne inntrefte nær søndre begrensning av området i Faresone 2 og 4. Et tilsvarende skredforløp kan også utløses fra et initialskred på land.

5.4 Utbredelse av skred

Det foreligger lite erfearingsmateriale og beregningsmodeller for å vurdere utbredelse av skred. I NGI publikasjon nr. 158 /8/ er det gitt en sammenstilling av skredvolum, skråningshøyde og utbredelse av skred. Figuren er gjengitt i Figur 5.1. Disse erfearingsdataene kan benyttes for å estimere utbredelse av et eventuelt skred fra de 5 faresonene i Lauvsnes sentrum:

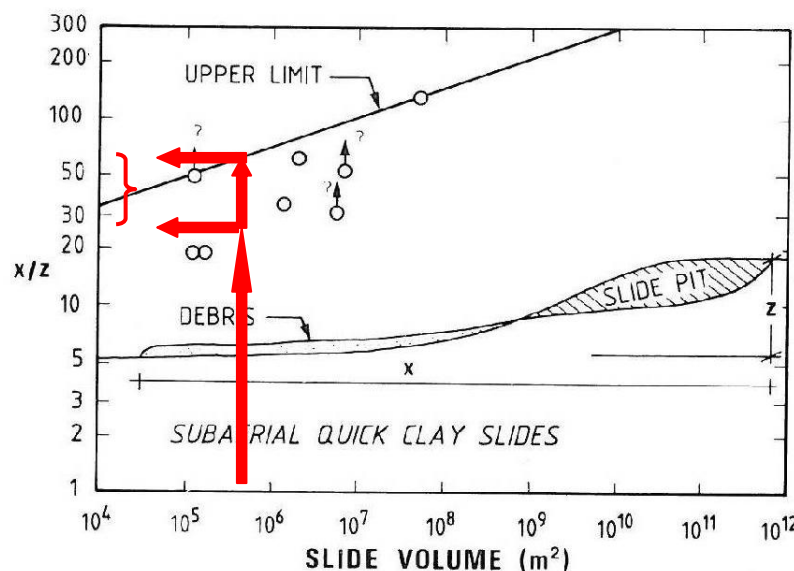
- **Skredvolum**

Maksimalt skredvolum er estimert til 700 000 m³. Det stipulerte volumet er basert på at ca.

80 % av Delområde A raser ut med en gjennomsnittlig løsmassetykkelse på 8,0 m. Dette omfanget vurderes som ”verste tilfelle”, og er trolig vesentlig større enn det som kan inntrefte i virkeligheten.

- **Skråningshøyde**

Total høydeforskjell fra østre begrensning av Delområde A til strandlinjen på kote 0 er ca.15 m.



Figur 5.1 Normalisert utløpsdistanse fra norske kvikkleireskred i forhold til totalt skredvolum (fra NGI publikasjon nr. 158, 1985)

Et skredvolum på ca. 700 000 m³ ($0.7 \cdot 10^6$) og skrāningshøyde, z, på 15 m gir et forholdstall (x/z) på utbredelse av skred (x) på skrāningshøyde (z) på ca.25-60, se figur 5.1. Det vil si at utløpsstrekningen av et skred er i størrelsesorden 375- 900 m regnet fra bakre skredkant. Dette vil si at all skredmassen fra et eventuelt kvikkleireskred teoretisk vil kunne strømme ut i sjøen og i verste fall kunne forårsake en flodbølge som kan true strandnær bebyggelse, spesielt på vestsiden av skadestedet ut mot Sjøvika, Stamnes og Nyrud.

Tilsvarende skjedde blant annet i innsjøen Botn som følge av Rissaskredet (1978), men i dette tilfellet var skredvolumet om lag 8-10 ganger så stort. En slik hendelse forutsetter imidlertid at skredmassen sklir ut i ett stort skred (flakskred), noe vi ikke finner særlig sannsynlig for de aktuelle forholdene.

Det er knyttet stor usikkerhet til anslaget av utløpsdistanse, og skredvolumet er beregnet meget konservativt. Blant annet vil avskjermende terrengformasjoner og bygg i skredbanen bidra til å redusere utløpsdistanse. Det understrekkes at vurderingene gitt i dette kapittelet er basert på ”verste tilfelle” og viser **potensiell** skredkonsekvens. Beregning av **reell** sikkerhet er gjennomgått i kapittel 8.

6. Sikkerhetsprinsipper

6.1 Geotekniske problemstillinger

De aktuelle geotekniske problemstillingene for kommende utbyggingsprosjekter i Lauvsnes sentrum er hovedsakelig relatert til:

- Lokal og global stabilitet i forbindelse med etablering av boliger, næringsbygg og infrastruktur, både i anleggsfasen og permanent fase.

- Valg av fundamentteringsløsninger for samme.
- Setninger av oppførte byggverk, inklusive setninger som følge av midlertidige eller permanente grunnvannsendringer.
- Kontroll med erosjon i strandsonen og i forbindelse med håndtering av overvann.

6.2 Geoteknisk prosjektklasse

Sikkerhetsnivå mot utglidning representeres ved en materialkoeffisient γ_M . Krav til sikkerhetsnivå er satt til $\gamma_M \geq 1,4$ for både anleggsfasen og permanenttilstanden i henhold til krav i NVEs retningslinjer. Dersom dette sikkerhetsnivået ikke oppnås stilles det krav til reell forbedring av stabiliteten, avhengig av områdets faregrad.

Delområde A

I Delområde A har grunnundersøkelser og stabilitetsberegninger påvist sammenhengende og til dels mektige kvikkleirelag i grunnen, med lav sikkerhet mot skred. Skadekonsekvensklassen defineres som meget alvorlig og vanskelighetsgraden som høy, noe som tilsvarer Geoteknisk prosjektklasse 3.

Delområdene B og C

I Delområdene B og C er det påvist antatt kontinuerlige, men tynne lag med kvikkleire eller andre sprøbruddsmaterialer. Kvikk eller sensitiv leire kan også finnes i lokale lommer.

I disse områdene vurderes skadekonsekvensklassen som alvorlig og vanskelighetsgraden som middels, noe som gir Geoteknisk prosjektklasse 2.

Delområde D

I Delområde D er det ikke påvist kontinuerlige lag med kvikkleire eller andre sprøbruddsmaterialer, men kvikk eller sensitiv leire kan finnes i lommer eller lag lokalt.

I dette området vurderes skadekonsekvensklassen som alvorlig og vanskelighetsgraden som middels, noe som gir Geoteknisk prosjektklasse 2.

6.3 Dimensjonerende laster og lastfaktorer

6.3.1 Nyttelaster

I stabilitetsberegningene er det benyttet dimensjonerende laster og lastfaktorer i henhold til tabell 6.1.

Tabell 6.1 Last og lastfaktorer for eksisterende infrastruktur og bebyggelse.

Lasttilstand	Dimensjonerende last	Lastfaktor		Kommentar
		Bruddgrense-tilstand	Ulykkes- og bruksgrensetilstand	
Trafikklast, q_d	10 kPa	$\gamma_{QI} = 1,3$	$\gamma_{QI} = 1,0$	Trafikkareal veg
Terrenglast, q_d	10 kPa	$\gamma_{QI} = 1,3$	$\gamma_{QI} = 1,0$	Generell terrenglast for å ta høyde for anleggstrafikk.
Bygningslast, q_d	7,7 kPa	$\gamma_{QI} = 1,3$	$\gamma_{QI} = 1,0$	Bygningslast er vurdert til å være 7,7 kPa per etasje.

Som bakgrunn for valg av lastfaktorer og lastkombinasjoner er tillegg E i NS 3490 benyttet. Ettersom prosjektet ble igangsatt før Eurokode 7, del 1 (1997) ble formelt innført som eneste

prosjekteringsstandard, refereres det her fortsatt til tidligere standardverk. Av den grunn er effekt av jordskjelv heller ikke inkludert i stabilitetsvurderingene.

Ved stabilitetsberegningene er det forutsatt en jevnt fordelt trafikklast på $q_d = 10$ kPa for hele vegens planeringsbredde, inkludert vegskuldrer.

7. Valg av materialparametre

7.1 Tolkning av beregningsparametre

Tolkning av parametre er utført på basis av CPTU-målinger og opptatte 54 mm prøveserier. Det er spesielt lagt vekt på treaksial- og ødometerforsøk i laboratoriet, samt tolkning av skjærfasthets- og stivhetsparametere fra CPTU-målingene. I noen grad er også rutinedata som plastisitetsindeks, densitet og udrenert skjærfasthet fra konus og enaksielle trykkforsøk benyttet i vurderingene.

7.1.1 Kvalitet av undersøkelser

Prøvetaking av sensitiv eller kvikk leire med 54 mm stempelprøvetaker vurderes å ligge i Kvalitetsklasse 1–2 i henhold til Eurokode 7, del 2 (1997). Prøvekvalitet på utførte treaksialforsøk er gjengitt i tabell 7.1.

Vurdering av prøvekvalitet er blant annet basert på målt volumtøyning i konsolideringsfasen i treaksialforsøk, i henhold til tabell 5.1 i /7/.

Utførte CPTU-målinger vurderes generelt å være av god kvalitet og klassifiseres i Anvendelsesklasse 2, bortsett fra CPTU i borpunkt BP 212. Denne klassifiseres i Anvendelsesklasse 4 på grunn av manglende poretrykkrespons, sannsynligvis på grunn av sterkt kulde ved utførelsen. Nullpunktssavvikene er lave og tolererbare og registrert maksimal helning er 2–3°, som er tilfredsstillende.

Tabell 7.1 Prøvekvalitet på utførte treaksialforsøk.

Borpunkt	Dybde (m)	Volumtøyning (%)	Kvalitet
204	8,55	1,6	Akseptabel
214	5,30	4,2	Forstyrret
219	6,05	2,5	Akseptabel

7.1.2 Bestemmelse av tyngdetetthet

Målt tyngdetetthet på opptatte prøver er i hovedsak benyttet som grunnlag. En konstant tyngdetetthet på 21,0 kN/m³ for samtlige lag er benyttet i stabilitetsanalysene. Se tegningene 413941-10 t.o.m. -12 i rapport r413941-1 /14/ for en fullstendig oversikt over geotekniske rutinedata.

7.1.3 Poretrykksvurderinger i tolkning av CPTU

For tolkning av CPTU-målingene er in situ poretrykk tilnærmet til hydrostatisk poretrykk ut i fra de foreliggende terrengforholdene. Det er ikke forventet store artesiske trykk i området, selv om poretrykksmålingene i borpunkt BP 212 indikerer et lite poreovertrykk med dybden.

Følgende betingelser er lagt til grunn for alle profiler:

- Borpunktene **BP206, BP214 og BP215**: Hydrostatisk poretrykk fra grunnvannstand. Grunnvannstanden er antatt å følge bunn av tørrskorpelaget, som varierer mellom 1-3 m dybde under terrenngoverflaten.
- Borpunkt **BP212**: CPTU er ikke tolket på grunn av dårlig poretrykksrespons.

7.1.4 Bestemmelse av udrenerte skjærfasthetsparametre

s_u fra enaks og konus

Verdier for s_u fra rutineundersøkelser på opptatte prøver (enaks og konus) er i våre vurderinger benyttet som verdier for direkte skjærfasthet s_{uD} . Selv om ikke disse parametrene nødvendigvis representerer en direkte skjærfasthet, er Multiconsult's erfaringer at verdier fra rutineforsøkene normalt er i samme størrelsesorden som direkte skjærfasthet målt med egnet utstyr (direkte skjær rigg).

Rutineundersøkelsene viser imidlertid store variasjoner i målt udrenert skjærfasthet og indikerer varierende prøvekvalitet.

s_{uA} fra treaksialforsøk

Karakteristiske verdier (s_{uA}) er tatt ut ved brudd, tilsvarende ca. 2 % aksiell tøyning i ikke-sensitive materialer og ca. 1,5 % i sensitive/kvikke masser. Skjærfasthetsverdier fra aktive treaksialforsøk er ikke korrigert for sprøbruddseffekt da bruddoppførsele ikke antyder dette.

s_{uA} fra CPTU

Det er benyttet forskjellig korrelasjon på leire og kvikkleire/sprøbruddmaterialer ($S_t > 15$), differensiert i forhold til lagdeling og målt sensitivitet.

s_{uA} fra CPTU - Metode basert på poretrykk, Δu

$$s_{uA} = \frac{\Delta u}{N_{\Delta u}}$$

der, $\Delta u = u_2 - u_0$, registrert poreovertrykk i CPTU

$N_{\Delta u}$ = tolkningsfaktor på poretrykksbasis

Tolknings av CPTU er basert på $N_{\Delta u}$ bestemt ut fra korrelasjoner mot $B_q = \Delta u/q_n$ (Karlsrud et al (1996) /13/), samt korrelasjoner mot OCR , S_t og I_p (Karlsrud et al (2005) /11/). Begge metoder er basert på korrelasjoner med skjærfasthet fra aktive treaksialforsøk på blokkprøver, og designverdier for aktiv skjærfasthet skal derfor justeres ned med 15 %.

Følgende sammenhenger er benyttet:

Materiale	Empirisk middelvariasjon i B_q	Empirisk middelvariasjon i OCR, S_t og I_p
Leire ($S_t < 15$)	$N_{\Delta u} = 1,8 + 7,25 \cdot B_q$	$N_{\Delta u} = 6,9 - 4,0 \cdot \log OCR + 0,070 \cdot I_p$
Kvikkleire/sprøbrudd-materiale ($S_t > 15$)	$N_{\Delta u} = 1,8 + 7,25 \cdot B_q$	$N_{\Delta u} = 9,8 - 4,5 \cdot \log OCR + 0,0 \cdot I_p$

S_{uA} fra CPTU - Metode basert på spissmotstand, q_t

For sammenligning er det tatt med tolkning av CPTU på spissmotstandsbasis. På spissmotstandsbasis bestemmes s_{uA} som:

$$s_{uA} = \frac{q_t - \sigma_{vo}}{N_{kt}} = \frac{q_n}{N_{kt}}$$

der, q_t = korrigert spissmotstand

σ_{vo} = in situ vertikalt totalt overlagringstrykk

N_{kt} = bæreevnefaktor/konfaktor

N_{kt} er bestemt ut i fra følgende sammenhenger:

Materiale	Empirisk middelvariasjon i B_q	Empirisk middelvariasjon i OCR, S_t og I_p
Leire ($S_t < 15$)	$N_{kt} = 18,7 - 12,5 \cdot B_q$	$N_{kt} = 7,8 + 2,5 \cdot \log OCR + 0,082 \cdot I_p$
Kvikkleire/sprøbruddmateriale ($S_t > 15$)	$N_{kt} = 18,7 - 12,5 \cdot B_q$	$N_{kt} = 8,5 + 2,5 \cdot \log OCR + 0,0 \cdot I_p$

Designverdiene for aktiv udrenert skjærfasthet er redusert med 15 % i stabilitetsberegningene iht. NVEs retningslinjer /7/, der skjærfastheten er basert på blokkprøvekorrelasjoner fra CPTU. Direkte (s_{uD}) og passiv (s_{uP}) skjærfasthet er ikke korrigert, med verdier henholdsvis $s_{uD} = 0,6 * s_{uA}$ og $s_{uP} = 0,3 * s_{uA}$. Der det er aktuelt er det antatt en glidende overgang mellom leire (ingen reduksjon) og kvikkleire (15 % reduksjon) for å unngå en unaturlig reduksjon i skjærfasthetsprofilen.

Profil CC-2

Bestemmelse av udrenert skjærfasthet for profil CC-2 er hovedsakelig basert på BP 214 (CPTU og prøveserie). Tegning 413941-41.8 viser designprofil for udrenert aktiv skjærfasthet hentet fra notat n413941-1. Parametervalg /15/ inkluderer 15 % reduksjon i aktiv skjærfasthet på grunn av kvikkleire og bruk av blokkprøvekorrelasjoner. Både BP 213 og 214 viser kvikkleire fra tørrskorpeleiren og ned til berg, bortsett fra de øverste 3 m. Ettersom kritisk glideflate er antatt å gå gjennom dette partiet er skjærfasthetsprofilen ekstrapolert til resten av profil CC-2.

I korrigerte analyser er det tatt hensyn til NGIs anmerkning om at de øverste 3 m for CPTU 214 viser ikke-sensitiv oppførsel, og at det derfor ikke er nødvendig å redusere skjærfastheten i dette dybdeintervallset. I nye analyser er det derfor benyttet et noe oppjustert s_u -profil for Profil CC-2, der de øverste 3 m av leirlaget ikke er sensitivt på landsiden. For sjøsiden er det imidlertid konservativt antatt at hele leirlaget er kvikt, ettersom det her ikke finnes gode borerresultater som kan bekrefte ikke-sensitiv leire.

Profil DD-1

Bestemmelse av udrenert skjærfasthet for profil DD-1 er hovedsakelig basert på BP 206 (CPTU) og BP 219 (prøveserie). Tegning 413941-40.8 viser designprofil for udrenert skjærfasthet hentet fra notat n413941-1. Parametervalg /15/ inkluderer 15 % reduksjon i aktiv

skjærfasthet på grunn av kvikkleire og bruk av blokkprøvekorrelasjoner. Skjærfasthetsprofilet er ekstrapolert til å representere resten av profil DD-1.

Profil EE-1

Bestemmelse av udrenert skjærfasthet for profil EE-1 er hovedsakelig basert på BP 204 (prøveserie). Vi har ingen nærliggende CPTU-sonderinger ettersom BP 206 er for langt unna til å være representativ. Treaksialprøven i BP 204 (dybde 8,55 m) viser en udrenert skjærfasthet på ca. 46 kPa. Ettersom denne skjærfastheten ekstrapoleres over et stort område, og det ikke finnes nærliggende CPTU-målinger, er en konservativ verdi på 42 kPa benyttet. Designprofilet er antatt å følge en linje tilsvarende $0,28 \cdot \sigma_{v0}'$ over og under dette punktet. Ytterligere 15 % skjærfasthetsreduksjon på grunn av kvikkleire er anvendt i henhold til lagdelingen vist i tegning 413941-152.

Udrenert skjærfasthet modellert etter SHANSEP-prinsippet

Udrenert skjærfasthet er nært relatert til in-situ effektivspenninger og leirens overkonsolideringsgrad. Udrenert skjærfasthet øker med økning i effektivspenning, og denne økningen er avhengig av overkonsolideringsgraden. Denne avhengigheten kan modelleres etter SHANSEP-prinsippet, se /5/ og /6/:

$$s_{uA} = \alpha \cdot OCR^m \cdot p_0'$$

der, α = Normalisert skjærfasthet av helt ung leire ($OCR = 1,0$)

OCR = Overkonsolideringsgrad = σ_c' / σ_{v0}'

m = Eksponent som for norske leirer typisk har vist seg å variere mellom ca. 0,6 og 0,9 avhengig av leiren og forsøkstypen.

σ_{v0}' = In situ vertikalt effektivt overlagringstrykk

σ_c' = Prekonsolideringsspenning

I beregningene er det valgt å bruke:

$$\alpha = 0,30$$

$$m = 0,70$$

Det er tatt utgangspunkt i at grunnen er overkonsolidert tilsvarende en tilleggspanning som angitt i tabell 7.2.

7.1.5 Bestemmelse av deformasjonsegenskaper

Ødometerforsøk

Ødometerforsøk utført på opptatte prøver viser at grunnen er svakt overkonsolidert, se tegningene 413941-76 til -78, samt tabell 7.2 for resultater fra ødometerforsøk.

Tabell 7.2 Tolkede parametre fra trinnvise (BP 204, BP 214) og kontinuerlige (BP 219) ødometerforsøk.

BP (nr)	Kote (moh)	Dybde (m)	σ_{v0}' (kPa)	Tolket fra ødometer				Valgt POP= $\Delta\sigma_c'$ (kPa)
				σ_c' (kPa)	POP= $\Delta\sigma_c'$ (kPa)	M_{OC} (MPa)	M_{NC} (MPa)	
219	16,01	6,25	73,6	140	40	15	7	40
204	7,83	8,45	95,6	150	54	5	4,5	50
214	6,13	7,20	83,1	?	?	3,5	2,5	50

Forsøket i BP 204 er sannsynligvis noe forstyrret og er vanskelig å tolke med hensyn på prekonsolideringsspenning og modul i prekonsolidert spenningsområde.

Basert på ødometerforsøkene vurderes materialene å være svakt overkonsoliderte med en maksimal tilleggsspenning på 50-60 kPa. Dette kan være en tilsynelatende overkonsolidering og trenger ikke representere et tidligere høyere terrengnivå.

Prekonsolideringsspenning σ_c' og OCR fra CPTU

Prekonsolideringsforhold og grunnens deformasjonsegenskaper er også bestemt fra CPTU for sammenligning med data fra ødometerforsøk. CPTU-resultatene er tolket både på spissmotstands- og poretrykksbasis.

For spissmotstand er følgende forhold benyttet i tolkningen:

$$OCR = \frac{\sigma_{cq}'}{\sigma_{v0}'}$$

$$\sigma_{cq}' = \frac{q_n}{\alpha \cdot N_{kt}} - a$$

der, α = normalkonsolideringsforhold; $\alpha=0,25$ er benyttet
 N_{kt} = spissmotstandsfaktor; $N_{kt} = 10$ er benyttet

OCR fra registrert poretrykk er tolket som:

$$OCR = \frac{\sigma_{cu}'}{\sigma_{v0}'}$$

$$\sigma_{cu}' = \frac{\Delta u}{\alpha \cdot N_{\Delta u}} - a$$

der, α = normalkonsolideringsforhold; $\alpha= 0,25$ er benyttet
 $N_{\Delta u}$ = poretrykksfaktor; $N_{\Delta u} = 8$ er benyttet

Tolkning av prekonsolideringsspenning, σ_c' , er vist på tegningene 413941-40.9 (BP 206), -41.9 (BP 214) og -42.9 (BP 215) både på spissmotstands- og poretrykksbasis. Tegningene 413941-40.10, -41.10 og -42.10 viser tilhørende overkonsolideringsgrad (OCR), også på spissmotstands- og poretrykksbasis. De to metodene gir relativt godt samsvar og indikerer at leira er noe overkonsolidert nær terrengoverflaten med avtakende overkonsolidering i dybden.

7.1.6 Bestemmelse av anisotropiforhold

Dersom det ikke er utført laboratorieundersøkelser for å fastlegge forholdet mellom aktiv, passiv og direkte udrenert skjærfasthet kan skjærfasthetsforholdene i henhold til håndbok 016 /3/, kapittel 3.4 anslagsvis settes til:

$$s_{uA} = 1,5 \cdot (a_u + p_0') \cdot \tan \theta_u$$

$$s_{uD} = 1,0 \cdot (a_u + p_0') \cdot \tan \theta_u$$

$$s_{uA} = 0,5 \cdot (a_u + p_0') \cdot \tan \theta_u$$

Dette gir følgende anisotropiforhold:

$$\frac{s_{uD}}{s_{uA}} = 0,67$$

$$\frac{s_{uP}}{s_{uA}} = 0,33$$

Valgte skjærfasthetsprofiler er i hovedsak basert på aktiv udrenert skjærfasthet s_{uA} fra tolkede aktive treaksialforsøk og CPTU, med noe hensyn tatt til rutinedata for vurdering av skjærfastheten i direkte skjær-sonen. I de opprinnelige analysene ble den reduserte aktive skjærfastheten benyttet som utgangspunkt for bestemmelse av direkte skjær og passiv skjærfasthet. Dette er sannsynligvis for konservativt og verdier for direkte og passiv skjærfasthet er i revidert rapport derfor ikke korrigert for sprøbruddseffekt. Dette er i henhold til krav i NVEs retningslinjer. I henhold til dette er designverdier på 0,6 og 0,3 benyttet i kvikkleirelagene i henhold til notat for parametervalg n413941-1 /15/. For ikke-sensitiv leire (øverste 3 m) er tilsvarende forhold 0,70 og 0,35.

7.1.7 Bestemmelse av effektive skjærfasthetsparametere

For effektivspenningsparametere på leira og kvikkleira er det tatt ut a - ϕ parametere fra de udrenerte treaksialforsøkene og CPTU sonderingene. For de andre materialene er det benyttet erfaringsverdier.

Tabell 7.3 Valg av effektive materialparametere for stabilitetsanalyser.

Materiale/Profil	Tyngdetetthet, γ (kN/m ³)	Friksjon, $\tan \phi_k$ (-)	Attraksjon, a (kPa)
Tørrskorpeleire	21,0	0,65 ($\phi_k = 33,0^\circ$)	0
Leire profil CC-2 profil DD-1 profil EE-1	21,0	0,41 ($\phi_k = 22^\circ$) 0,45 ($\phi_k = 24^\circ$) 0,47 ($\phi_k = 25^\circ$)	10
Kvikkleire profil CC-2 profil DD-1 profil EE-1	21,0	0,41 ($\phi_k = 22^\circ$) 0,45 ($\phi_k = 24^\circ$) 0,47 ($\phi_k = 25^\circ$)	10
Sand/grus	21,0	0,70 ($\phi_k = 35,0^\circ$)	0

Tørrskorpe

Tolket fra CPTU, karakteristisk friksjonsvinkel vurderes til å være $\phi_k = 33,0^\circ$ ($\tan \phi_k = 0,65$) og attraksjon $a = 0$ kPa.

Leire og kvikkleire

Bruddfastheten er tatt ut ved 1,5 % tøyning. Fra treaksialforsøkene vurderes karakteristisk friksjonsvinkel til å være $\phi_k = 22^\circ$ ($\tan \phi_k = 0,41$) for BP 214 (Profil CC-1 og CC-2), $\phi_k = 24^\circ$ ($\tan \phi_k = 0,45$) for BP 219 (Profil DD-1) og $\phi_k = 25^\circ$ ($\tan \phi_k = 0,47$) for BP 204 (Profil EE-1). Attraksjonen a er satt lik 10 kPa.

Tolket effektiv friksjonsvinkel fra CPTU er vist på tegningene 413941-40.11 (BP 206), -41.11 (BP 214) og -42.11 (BP 215).

Resultater fra treaksialforsøkene med tolkning av skjærfasthetsparametere er vist i tegningene 413941-79 til -92.

Valgte skjærfasthetsparametere benyttet ved beregningene er angitt i tabell 7.3.

I profil EE-1 viser treaksialforsøket (BP 204, dybde 8,55 m) en friksjonsvinkel på cirka 27°. Som for udrenert skjærfasthet ekstrapoleres denne verdien over et stort område. En konservativ verdi på 25° er derfor benyttet i stabilitetsberegnene.

8. Stabilitetsberegninger

8.1 Beregningsverktøy

Stabilitetsberegnene er utført med beregningsprogrammet GeoSuite Stability, versjon 4.1.0.13, med beregningsmetode Beast 2003. Beregningsmetoden er basert på en grenselikevektsmetode, og anvender en versjon av lamellemetoden som tilfredsstiller både kraft- og momentlikevekt. Programmet søker selv etter kritisk, sirkulærsylindrisk glideflate for definerte variasjonsområder av sirkelsentrums. Det er også mulig å definere egne glideflater i programmet.

I denne fasen er det utført beregninger for dagens tilstand i utvalgte kritiske profiler. Korttidstilstanden er beregnet ved udrenert totalspenningsanalyse (ADP-analyse), og vil være aktuell ved en hurtig udrenert belastningstilstand. For disse beregningene er det benyttet en anisotrop jordmodell med valgte forhold mellom aktiv, direkte skjær og passiv skjærfasthet.

Stabiliteten i permanent langtidstilstand er beregnet med drenert effektivspenningsanalyse ($a\phi$ -analyse). I en detaljprosjekteringsfase for et byggeprosjekt må det utføres beregninger for endelig geometri og belastningstilstand.

Det er utført beregninger for fire utvalgte profiler samt to referanseprofiler, se situasjonsplanen i Figur 8.1.

- Beregningsprofil CC-1

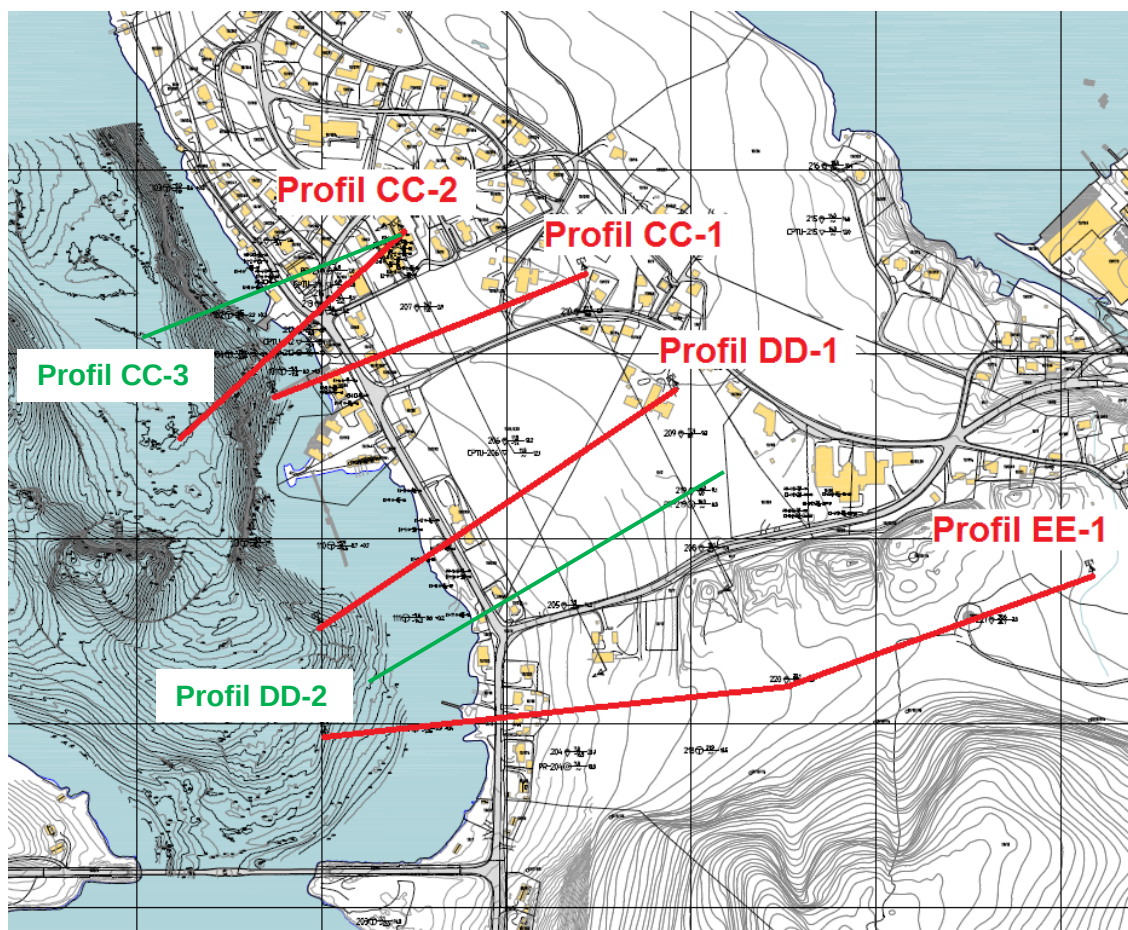
Som nevnt under punkt 0 så er det ikke utført stabilitetsberegninger for profil CC-1. Dette skyldes at CC-1 er det profilet med færrest sonderinger, samt at både profil CC-2 og DD-1 er vurdert til å være mer ugunstig med tanke på mektighet av kvikkleire og terregnforhold.

- Beregningsprofil CC-2

Profilen har utgangspunkt i strandområdet nært Profil CC-1, men fokuserer på lokalstabilitet i området ved SPAR-butikken for å kontrollere stabiliteten her. Det er planlagt utvidelse av butikken, og stabiliteten i Profil CC-2 vil være relevant for dette prosjektet. Beregningene er kjørt både med og uten stabiliserende veglast. Det må imidlertid utføres mer detaljerte og omfattende analyser for utvidelse av SPAR-butikken, og de oppnådde sikkerheter må kun betraktes som orienterende i forhold til dette prosjektet.

- Beregningsprofil DD-1

Profilen strekker seg fra marbakken gjennom strandområdet, oppover skråningen sør for kaien og opp til grensen mellom Delområde C og D. Hovedfokus i profilet legges imidlertid på nedre del i Delområde A.



Figur 8.1 Valg av kritiske profiler (rød strek) og referanseprofiler (grønn strek) for stabilitetsberegning.

• Beregningsprofil EE-1

Profilen befinner seg i nordlige del av Delområde B og strekker seg gjennom en løsmassekile med kulturmark opp mot fjellet i øst, sør for Kleppan.

• Referanseprofil CC-3

Profilen har utgangspunkt i strandområdet nord for Profil CC-2 og går gjennom SPAR-butikken ned mot strandsonen. Referanseprofil etter tiltak i Faresone 1.

• Referanseprofil DD-2

Profilen strekker seg fra marbakken gjennom strandområdet sør for profil DD-1, oppover skråningen sør for kaien og opp til grensen mellom Delområde C og D. Profilen går videre ut i sjøen og ligger utenfor eventuell støttefylling for Profil DD-1. Referanseprofil etter tiltak i Faresone 2.

Disse profilene er antatt å være mest kritiske på bakgrunn av grunnforhold og topografi.

Profilene CC-3 og DD-2 er introdusert som referanseprofiler ved vurdering av sikringstiltak som for eksempel støttefylling i strandsonen, se kap.9.3. Stabiliteten i disse og andre relevante profiler innenfor området må også være tilfredsstillende etter gjennomføring av lokale sikringstiltak.

Det er tatt utgangspunkt i middelvannstand i alle beregningene, noe som vil gi en marginalt høyere sikkerhetsfaktor enn ved valg av laveste vannstand.

8.2 Utførte beregninger, kritisk profil CC-1

Som nevnt i kapittel 0 er det ikke utført stabilitetsanalyser for profil CC-1. Dette skyldes at CC-1 er det profilet med færrest sonderinger, samt at både profil CC-2 og DD-1 er vurdert til å være mer ugunstig med tanke på mektighet av kvikkleire.

8.3 Utførte beregninger, kritisk profil CC-2

Beregnet sikkerhetsfaktor mot utglidning for de forskjellige beregningene er oppsummert i tabell 8.1. Det er utført beregninger der kun aktiv skjærfasthet er redusert med 15 % i blokkprøverelasjoner (²), samt for 15 % reduksjon også av direkte og passiv skjærfasthet som er en mer konservativ antagelse.

Profiler for stabilitetsberegningsene med korrigerte anisotropi- og skjærfasthetsforhold i topplaget er vist på tegning 413941-310 for udrenert korttidsanalyse. Resultater fra drenert effektivspenningsanalyse er vist på tegning 413941-311.

Tabell 8.1 Sikkerhetsfaktor for kritisk skjærflate i profil CC-2.

Tegning nr.	Beregning	Analyse	Sikkerhetsfaktor γ_M for kritisk sirkulær skjærflate	Sikkerhetsfaktor γ_M for kritisk sammensatt skjærflate
413941-310	CC-2, flate 1, dagens situasjon, korttid	ADP-analyse	0,68 (l*) 0,74 (l*) ²	0,70 (g*) 0,86 (g*) ¹ 0,78 (g*) ²
413941-311	CC-2, flate 2, dagens situasjon, langtid	aφ-analyse	1,86 (g*)	2,07 (g*)

*g=globalt brudd, l=lokalt brudd

1) Resultat fra beregning med noe høyere designstyrke, der treaksialforsøk er veklagt.

2) Resultat fra beregning der kun aktiv skjærfasthet er redusert med 15 %. Skjærfasthet ikke redusert i ikke-sensitivt topplag.

Det ble kjørt en tilleggsanalyse for kritisk glideflate uten stabiliserende belastning fra vegen. Dette viste seg kun å ha neglisjerbar effekt på oppnådd sikkerhetsfaktor.

8.4 Utførte beregninger, kritisk profil DD-1

Beregnet sikkerhetsfaktor mot utglidning for de forskjellige beregningene er oppsummert i tabell 8.2. Det er utført beregninger der kun aktiv skjærfasthet er redusert med 15 % i blokkprøverelasjoner (²), samt for 15 % reduksjon også av direkte og passiv skjærfasthet som er en mer konservativ antagelse. Profiler for stabilitetsberegningsene er vist på tegningene 413941-312 og -313.

Tabell 8.2 Sikkerhetsfaktor for kritisk skjærflate i profil DD-1.

Tegning nr.	Beregning	Analyse	Sikkerhetsfaktor γ_M for kritisk sirkulær skjærflate	Sikkerhetsfaktor γ_M for kritisk sammensatt skjærflate
413941-312	DD-1, flate 1, dagens situasjon, korttid	ADP-analyse	1,13 (l*) 1,21(l*) ²	1,49 (l*)
413941-313	DD-1, flate 2, dagens situasjon, langtid	aφ-analyse	2,09 (l*)	4,86 (g*)

*g=globalt brudd, l=lokalt brudd

2) Resultat fra beregning der kun aktiv skjærfasthet er redusert med 15 %. Skjærfasthet ikke redusert i ikke-sensitivt topplag.

8.5 Utførte beregninger, kritisk profil EE-1

Beregnet sikkerhetsfaktor mot utglidning for de forskjellige beregningene er oppsummert i tabell 8.3. Profiler for stabilitetsberegningene er vist på tegningene 413941-314 og -315.

Tabell 8.3 Sikkerhetsfaktor for kritisk skjærflate i profil EE-1.

Tegning nr.	Beregning	Analyse	Sikkerhetsfaktor γ_M for kritisk sirkulær skjærflate	Sikkerhetsfaktor γ_M for kritisk sammensatt skjærflate
413941-314	EE-1, flate 1, dagens situasjon, korttid	ADP-analyse	1,45 (g*)	1,58 (g*)
413941-315	EE-1, flate 2, dagens situasjon, langtid	aφ-analyse	3,20 (g*)	3,72 (g*)

*g=globalt brudd, l=lokalt brudd

9. Vurdering av områdestabilitet med anbefalte tiltak

9.1 Generell stabilitetsvurdering

9.1.1 Stabilitet i Faresone 1

Faresone 1 inkluderer beregningsprofil CC-2. Stabilitetsberegningene for dette profilet viser at beregnet sikkerhet for skråningen er for lav for korttids udrenert tilstand, $\gamma_M \leq 1,0$, se tegning 413941-310. Sikkerhet i drenert, langtids effektivspenningstilstand er imidlertid tilfredsstillende med $\gamma_M \geq 1,4$, se tegning 413941-311. Dette vil si at området slik det ligger i dag, i fravær av udrenerte lastsituasjoner på grunnen, kan betraktes som forholdsvis trygt. Stabilitetsforholdene i sonen vil bli nærmere utredet i forbindelse med utvidelse av SPAR-butikken, se nærmere handlingsplan i vedlegg 4.

9.1.2 Stabilitet i Faresone 2

Faresone 2 inkluderer beregningsprofil DD-1. Glideflater som går gjennom faresonen har en beregnet sikkerhet i korttidstilstand på $1,4 > \gamma_M > 1,0$, se tegning 413941-312. Lokal stabilitet for korttids udrenert tilstand for kritisk profil nær strandsonen er for lav i forhold til NVEs retningslinjer $1,0 \leq \gamma_M \leq 1,4$. Sikkerheten for langtids, drenert effektivspenningstilstand er også her tilfredsstillende med $\gamma_M \geq 1,4$, se tegning 413941-313. Stabilitetsforholdene og forslag til tiltak vil bli nærmere utredet i deler av sonen i forbindelse med utvidelse av SPAR-blikken, se vedlegg 4.

9.1.3 Stabilitet i Faresone 3

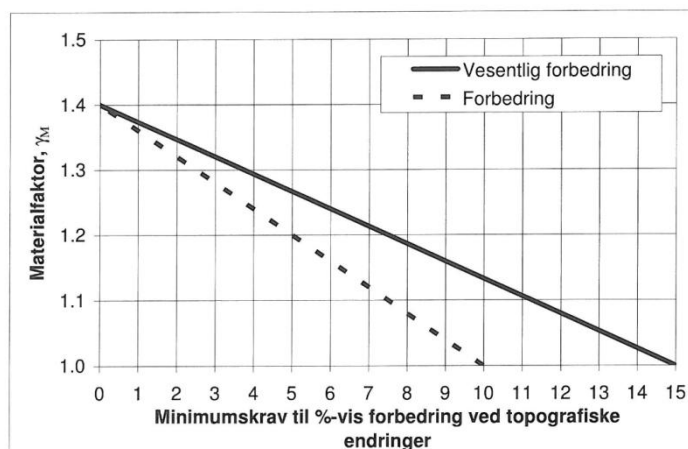
Det er ikke gjort stabilitetsberegninger i Faresone 3.

9.1.4 Stabilitet i Faresone 4

Faresone 4 inkluderer beregningsprofil EE1. Glideflater som går gjennom faresonen har en beregnet sikkerhet på $\gamma_M > 1,4$, se tegningene 413941-314 og -315, noe som er tilfredsstillende i forhold til NVEs krav, både for korttids og langtids belastningssituasjoner.

9.1.5 Stabilitet i Faresone 5

Det er ikke gjort stabilitetsberegninger i Faresone 5.



Figur 9.1 Krav til nødvendig forbedring ved gjennomføring av tiltak.

9.2 Anbefalte retningslinjer for behandling av nye tiltak

Et generelt prinsipp for utbygging i områder med kvikkleire i grunnen er at stabilitetsforholdene ikke bør forverres ved gjennomføring av inngrep. Utbygging som medfører endringer av stabiliteten i negativ retning frarådes, med mindre det kan dokumenteres at sikkerheten er tilfredsstillende i henhold til NVEs krav etter utbygging. Spesielt må gravedybder, fyllingsnivåer og metoder, mellomlagring av masser og skråningshelninger i anleggsfasen ha stort fokus i områder med kvikkleire.

Anbefalte utredninger og sikkerhetsnivå for nye tiltak i de ulike faresonene følger av plassering i Tiltakskategori, se tabell 4.7. Klassifiseringen er i prinsippet avhengig av tiltakets størrelse, tilflytting av personer og faregradsklasse før utbygging. Krav til sikkerhetsnivå og eventuell nødvendig forbedring påvirkes av tiltakskategori og beregnet sikkerhet før utbygging, se Figur 9.1.

I det følgende er det gitt anbefalte retningslinjer for behandling av nye tiltak i de 5 foreslårte faresonene, i tråd med bestemmelsene gitt i NVEs kvikkleireveileder.

9.2.1 Tiltak i Faresone 1

Sonen har **Middels** faregrad, **Meget alvorlig** skadekonsekvens og Risikoklasse **4**. For nye tiltak i dette området kreves følgende utredningsnivå:

- Tiltakskategori K1: Veiledning for små inngrep i kvikkleiresoner.
- Tiltakskategori K2: Faregradevaluering. Stabilitetsanalyser med $\gamma_m > 1,4$ eller **Forbedring**. Vanlig (klasse 2) eller Skjerpet kontroll (klasse 3).
- Tiltakskategori K3: Faregradevaluering. Stabilitetsanalyser med $\gamma_m > 1,4$ eller **Vesentlig forbedring**. Skjerpet kontroll (klasse 3).

For utførelse av stabilitetsanalyser kreves supplerende grunnundersøkelser med presis kartlegging av kvikkleirens utstrekning og mektighet. Bestemmelse av beregningsparametre av høy kvalitet i tråd med NVEs retningslinjer kreves. Geoteknisk kontroll i byggefase er påkrevet.

I nordre del av faresonen, der denne overlapper med Delområde 1, vil grunnforholdene i sjøen være bedre enn på land, og det er grunt til fjell. Her vil det trolig ikke være fare for

retrogressivt (bakovergripende) skred utløst i marbakken. Det kan her følges en noe enklere saksgang ved nye tiltak, men det bør ved nye tiltak dokumenteres at det ikke er kvikkleire på tomten, og at stabiliteten er tilfredsstillende ivaretatt etter NVEs retningslinjer, se prinsippene for Faresone 5.

Stabilitetsforholdene og forslag til tiltak vil bli nærmere utredet i forbindelse med utvidelse av SPAR-btikken, se vedlegg 4.

9.2.2 Tiltak i Faresone 2

Sonen har **Middels** faregrad, **Alvorlig** skadekonsekvens og Risikoklasse 3.

For nye tiltak i dette området kreves følgende utredningsnivå:

- Tiltakskategori K1: Veiledning for små inngrep i kvikkleiresoner.
Tiltakskategori K2: Faregradevaluering. Stabilitetsanalyser med $\gamma_m > 1,4$ eller **Forbedring**. Vanlig (klasse 2) eller Skjerpet kontroll (klasse 3).
Tiltakskategori K3: Faregradevaluering. Stabilitetsanalyser med $\gamma_m > 1,4$ eller **Vesentlig forbedring**. Skjerpet kontroll (klasse 3).

For utførelse av stabilitetsanalyser kreves supplerende grunnundersøkelser med presis kartlegging av kvikkleirens utstrekning og mektighet. Bestemmelse av beregningsparametre av høy kvalitet i tråd med NVEs retningslinjer kreves. Geoteknisk kontroll i byggefasesen er påkrevet ved forekomst av kvikkleire i grunnen. Et tiltaket plassert i Delområde D uten påvist kvikkleire i grunnen, kan en enklere saksgang følges, se prinsippene for Faresone 5.

Stabilitetsforholdene og forslag til tiltak vil bli nærmere utredet i deler av sonen i forbindelse med utvidelse av SPAR-btikken, se vedlegg 4.

9.2.3 Tiltak i Faresone 3

Sonen har **Lav** faregrad, **Mindre alvorlig** skadekonsekvens og Risikoklasse 2. For nye tiltak i dette området kreves følgende utredningsnivå:

- Tiltakskategori K1: Veiledning for små inngrep i kvikkleiresoner.
Tiltakskategori K2: Faregradevaluering. Stabilitetsanalyser med $\gamma_m > 1,4$ eller **Ikke forverring**. Vanlig (klasse 2) eller Skjerpet kontroll (klasse 3).
Tiltakskategori K3: Faregradevaluering. Stabilitetsanalyser med $\gamma_m > 1,4$ eller **Forbedring**. Skjerpet kontroll (klasse 3).

For utførelse av stabilitetsanalyser kreves supplerende grunnundersøkelser med presis kartlegging av kvikkleirens utstrekning og mektighet. Bestemmelse av beregningsparametre av høy kvalitet i tråd med NVEs retningslinjer kreves. Geoteknisk kontroll i byggefasesen er påkrevet ved forekomst av kvikkleire i grunnen (Delområde C).

Ved enklere tiltak og mindre inngrep uten påvisning av kvikkleire kan en intern vurdering av kompetent kommunal saksbehandler være tilstrekkelig.

9.2.4 Tiltak i Faresone 4

Sonen har **Middels** faregrad, **Alvorlig** skadekonsekvens og Risikoklasse 3. For nye tiltak i dette området kreves følgende utredningsnivå:

- Tiltakskategori K1: Veiledning for små inngrep i kvikkleiresoner.
Tiltakskategori K2: Faregradevaluering. Stabilitetsanalyser med $\gamma_m > 1,4$ eller **Forbedring**. Vanlig (klasse 2) eller Skjerpet kontroll (klasse 3).

Tiltakskategori K3: Faregradevaluering. Stabilitetsanalyser med $\gamma_m > 1,4$ eller
Vesentlig forbedring. Skjerpet kontroll (klasse 3).

For utførelse av stabilitetsanalyser kreves supplerende grunnundersøkelser med presis kartlegging av kvikkleirens utstrekning og mektighet. Bestemmelse av beregningsparametre av høy kvalitet i tråd med NVEs retningslinjer kreves. Geoteknisk kontroll i byggefasen er påkrevet for kategori K2 og K3.

9.2.5 Tiltak i Faresone 5

Sonen har **Lav** faregrad, **Alvorlig** skadekonsekvens og Risikoklasse 2. For nye tiltak i dette området kreves følgende utredningsnivå hvis det påtrefges kvikkleire i grunnen:

- Tiltakskategori K1: Veileddning for små inngrep i kvikkleiresoner.
Tiltakskategori K2: Faregradevaluering. Stabilitetsanalyser med $\gamma_m > 1,4$ eller
Ikke forverring. Vanlig (klasse 2) eller Skjerpet kontroll (klasse 3).
Tiltakskategori K3: Faregradevaluering. Stabilitetsanalyser med $\gamma_m > 1,4$ eller
Forbedring. Skjerpet kontroll (klasse 3).

For utførelse av stabilitetsanalyser kreves supplerende grunnundersøkelser med presis kartlegging av kvikkleirens utstrekning og mektighet. Bestemmelse av beregningsparametre av høy kvalitet i tråd med NVEs retningslinjer kreves. Geoteknisk kontroll i byggefasen er påkrevet ved forekomst av kvikkleire i grunnen.

Ved enklere tiltak og mindre inngrep uten påvisning av kvikkleire kan en intern vurdering av kompetent kommunal saksbehandler være tilstrekkelig.

9.3 Prinsipper for stabilitetsforbedring

Gjennom utredningen i denne rapporten er fareutsatt areal med utstrekning av faresoner angitt. For hver faresone er faregrad, skadekonsekvens- og risikoklasse vurdert i nå-situasjonen. I forhold til de ulike plannivåer i kommunal saksbehandling er følgende oppgaver beskrevet i rapporten:

Kommuneplan: Områder med mulig skredfare er identifisert, blant annet gjennom grunnundersøkelser, inndeling og klassifisering av faresoner og stabilitetsvurderinger.

Reguleringsplan/bebyggelsesplan: Skredfare i forhold til NVEs krav, samt prinsipiell gjennomførbarhet av stabiliserende tiltak er utredet gjennom stabilitetsvurderinger. Dette er vurdert og beskrevet i dette kapittelet.

Byggesak: Denne rapporten inneholder ikke dokumentasjon av tilstrekkelig sikkerhet for nødvendige sikringstiltak eller konkrete prosjekter innenfor de behandlede områder. Dette må gjennomføres i forbindelse med detaljprosjektering av nye tiltak.

I det etterfølgende er prinsipper for stabiliserende tiltak, samt utredninger og vurderinger som anbefales gjennomført i forbindelse med nye tiltak i de mest skredutsatte områdene diskutert. Det er også utført orienterende beregninger for stabiliteten for å kunne vurdere effekt og gjennomførbarhet av aktuelle sikringstiltak, blant annet støttefylling i strandsonen og lokal avlastning ved nedtaking av terren.

Stabilitetsforholdene og forslag til tiltak vil bli nærmere utredet i deler av Faresone 1 og 2 i forbindelse med detaljprosjektering av tilbygg for SPAR-butikken, se vedlegg 4. Det vil også bli gjennomført supplerende grunnundersøkelser for å fremskaffe et bedre og bredere parametergrunnlag.

9.3.1 Motfyllinger i strandsonen

Skråningene opp fra strandsonen på Lauvsnes har for lav beregningsmessig sikkerhet på udrenert totalspenningsbasis. Sikkerheten på drenert langtids effektivspenningsbasis er imidlertid tilfredsstillende, og det er på denne bakrunnen liten umiddelbar fare for at det skal gå et skred, uten en provoserende årsak. Uforutsette menneskelige inngrep eller endringer i de naturlige forhold kan imidlertid utløse et skred i de bratteste deler av skråningen, slik det er vist langs profil CC-1 og delvis DD-1.

Det er derfor nødvendig å gjennomføre stabilisende tiltak i de mest påkjente områdene slik at nye tiltak kan iverksettes på en forsvarlig måte. En aktuell mulighet er å anlegge motfyllinger nede ved stranden for å øke motvekten mot utglidninger i skråningen opp fra strandsonen. Dette vil isolert sett bedre sikkerheten langs glideflater på landsiden, men det er samtidig en viss risiko for at motfyllingene vil redusere sikkerheten mot utglidninger i sjøen ved at kritisk glideflate flyttes utover mot marbakken. Sikkerheten må derfor dokumenteres for begge disse situasjonene.

I denne rapporten er det derfor gjennomført orienterende analyser for å kunne vurdere gjennomførbarhet og effekt av motfyllingstiltak i strandsonen. Følgende situasjoner er vurdert:

1. Utlegging av motfylling i strandsonen ved SPAR-butikken i Faresone 1, kombinert med omlegging av veglinje og terregnavlastning i skråningen opp mot sykeheimen.
 - a. Sikkerhetsforbedring for profil CC-2 gjennom byggeområdet ved støttefylling i strandsonen, inkludert lokal sikkerhetsvurdering for marbakken med motfylling i strandsonen. Se Profil CC-2 i tegning 413941-316.
 - b. Sikkerhetsforbedring for profil CC-2 gjennom byggeområdet ved flytting av veglinje kombinert med terregnavlastning og bruk av støttekonstruksjoner mot eksisterende bebyggelse. Se Profil CC-2 i tegning 413941-317.
 - c. Sikkerhetsvurdering for referanseprofil utenfor byggeområde med motfylling i faresone 1. Se Profil CC-3 i tegning 413941-320.
2. Utlegging av motfylling i strandsonen mellom kaiutstikkeren og sekundærvegen opp mot Nordheim.
 - a. Sikkerhetsforbedring for profil DD-1 gjennom området etter utlegging av motfylling, inkludert lokal sikkerhetsvurdering for marbakken med motfylling i strandsonen. Se tegning 413941-318.
 - b. Sikkerhetsvurdering for referanseprofil utenfor motfyllingsområdet i Faresone 2. Se profil DD-2 i tegning 413941-319.

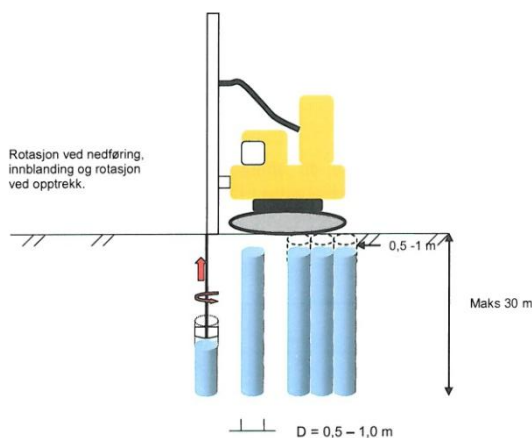
Vurderingene er ikke å betrakte som en detaljert utredning av sikkerheten etter tiltak, men skal kunne gi grunnlag for å vurdere om de foreslalte stabiliseringstiltakene gir tilstrekkelig potensial for stabilitetsforbedring i henhold til NVE-veilederens krav. Dette vil bli fulgt opp i forbindelse med dwetaljprosjektering av tilbygg for SPAR-butikken.

I praksis må utlegging av eventuelle fyllinger skje på en kontrollert måte med lagvis utlegging over lang tid. Det må installeres poretrykksmålere på flere nivåer for å kunne overvåke poretrykket under utlegging av fyllingene, helst kontinuerlig ved hjelp av fjernmåling.

9.3.2 Lokal grunnforsterkning

Der det av ulike årsaker kan være vanskelig å finne plass til et nødvendig motfyllingsvolum kan man alternativt vurdere å forbedre grunnens fasthetsegenskaper, for eksempel ved installasjon av kalk/sement ribber som vist i figur 9.2. Ribbene kan legges i et mønster som bedrer grunnens stabilitet på strategiske steder, i henhold til en nærmere detaljert plan. Ved for eksempel å legge disse kalk-/sement ribbene i egnet mønster fra stranden og oppover i

skråningen, kan man oppnå bedre sikkerhet mot at bebyggelsen blir berørt av skred som måtte utløses i nederste del av skråningen.



Figur 9.2. Prinsipp for kalk-/sement stabilisering.

Dog skal denne type stabiliseringstiltak gjennomføres med aktsomhet, da sikkerheten vil kunne svekkes lokalt og midlertidig ved installasjon av kalk/sement-pelene. Hvis en slik stabiliseringsmetode skulle velges må den kombineres med installasjon og oppfølging av poretrykksmålere, samt god planlegging av installasjonssekvens og stabiliseringsmønster, slik at installasjonseffektene blir redusert mest mulig.

9.3.3 Vurdering av gjennomførbarhet og effekt av tiltak

Området ved SPAR-butikken – Faresone 1

Resultater fra nye stabilitetsanalyser viser at effekten av korrigerte anisotropiforhold og skjærfasthetsvurderinger bedrer beregningsmessig sikkerhet noe, men at stabiliteten fremdeles er svært dårlig i området ved SPAR-butikken. De to kritiske glideflatene i opprinnelig analyse viste sikkerheter på 0,68 og 0,70, mens oppjusterte anisotropi-forhold ga en sikkerhet på 0,74 og 0,78. Utlegging av en svært moderat støttefylling fra strandlinjen og utover i sjøen viser bare marginal forbedring av sikkerheten. Økes mektigheten av støttefyllingen opp til nivå med veggen reduseres sikkerheten mot sjøen betydelig (0,9 til ca. 0,75 i utført men ikke rapportert beregning), ettersom kritisk glideflate flyttes utover mot marbakken. Dette viser at sikring ved støttefyllinger i strandsonen neppe er realiserbart for å oppnå tilstrekkelig stabilitet i området ved SPAR-butikken.

Alternativet er å vurdere hvilken stabiliseringseffekt som kan oppnås ved nødvendig omlegging av veggen sammen med lokal terrengavlastning i området mellom SPAR-butikken og sykehjemmet/NTE. Dette ble vurdert i en analyse der man graver seg inn i skråningen for ny plassering av veggen. Det ble videre introdusert en jevnt fordelt last som representerer utvidelsen av SPAR-butikken. Av plasshensyn er det sannsynligvis ikke mulig å opprettholde samme helning på den naturlige skråningen som i dag, og i beregningene har den anlagte skråningen for lav sikkerhet. Graveskråningen må derfor oppstøttes inn mot eksisterende bebyggelse, for eksempel med bruk av støttemurer og/eller armert jord konstruksjoner slik at graveskråningen kan etableres brattest mulig og gi størst mulig terrengavlastning.

En slik strategi synes å kunne gi en tilfredsstillende forbedring av sikkerheten for skråningen i permanenttilstanden ($\gamma_m \sim 1,0$), med en antydet prosentvis forbedring på 40 % i forhold til nå-tilstanden. Dette vil være vesentlig over kravet på 15 % forbedring. Det må bemerkes at

byggetilstanden vil ha marginalt lavere sikkerhet på grunn av utgraving av tomten, noe som delvis kan kompenseres med fornuftig plassering av gravemassene.

Tabell 9.1 Effekt av sikringstiltak i området ved SPAR-butikken (profil CC-2).

Tegning nr.	Beregning	Sikkerhetsfaktor γ_M for kritisk sirkulær skjærflate	Forbedring fra nå-situasjon
413941-310	CC-2. Referanse til dagens situasjon. Korttid ADP-analyse.	0,74 (l*) ²	-
413941-316	CC-2. Tiltak: støttefylling i strandsone. Korttid ADP-analyse. Stabilitet marbakke.	0,75 ² 0,90	1 % -
413941-317	CC-2. Tiltak: omlegging av veg og terregavlastning. Korttid ADP-analyse.	1,01 ²	36 %
413941-320	CC-3. Referanseprofil i Faresone 1. Korttid ADP-analyse. Stabilitet marbakke.	0,93 1,06 0,90	-

*g=globalt brudd, l=lokalt brudd

2) Resultat fra beregning der kun aktiv skjærfasthet er redusert med 15 %. Skjærfasthet ikke redusert i ikke-sensitivt topplag.

Det presiseres at geometri for fyllinger og terregavlastning er overslagsmessig anslått og kun ment til å vurdere den generelle gjennomførbarheten av tiltaket. Prinsippene bør likevel være retningsgivende for videre utredning for dette området, men må utredes nærmere som del av detaljprosjekteringen for tilbygget til SPAR-butikken.

Området sør for Zanzibar Inn/skjæret – Faresone 2

Stabiliteten i dette området er i utgangspunktet bedre enn lengre nord, og det kreves nødvendig forbedring mellom 6 og 9,5 %, avhengig av tiltaksklasse. I Profil DD-1 er det aktuelt med en moderat utfylling i strandsonen for å oppnå denne forbedringen, noe som i prinsippet er mulig ved en utlegging fra strandlinjen og et stykke ut i sjøen, se tegning 413941-318.

Tabell 9.2 Effekt av sikringstiltak i området sør for kai-utstikkeren (profil DD-1).

Tegning nr.	Beregning	Sikkerhetsfaktor γ_M for kritisk sirkulær skjærflate	Forbedring fra nå-situasjon
413941-312	DD-1. Referanse til dagens situasjon. Korttid ADP-analyse.	1,21 (l*) ²	-
413941-318	DD-1. Tiltak: støttefylling i strandsone. Korttid ADP-analyse. Utfylling fra strandlinje kote 0. Utfylling fra terregnivå kote 5.	1,30 0,71	7,5 % -70 %
413941-319	DD-2. Referanseprofil i Faresone 2. Korttid ADP-analyse.	1,80 (l*) 2,23 (g*)	- -

*g=globalt brudd, l=lokalt brudd

2) Resultat fra beregning der kun aktiv skjærfasthet er redusert med 15 %. Skjærfasthet ikke redusert i ikke-sensitivt topplag.

Opprinnelig kritisk glideflate i strandsonen ga en udrenert sikkerhetsfaktor på 1,14, mens oppjusterte anisotropi-forhold ga en sikkerhet på 1,21. To ulike støttefyllinger i strandsonen er vurdert, der den laveste ga sikkerhet på 1,30, mens en noe høyere fylling i nivå med vegnivå

ga sikkerhet på 0,83 med en glideflate lenger ut i sjøen. Dette viser at en nødvendig forbedring kan oppnås med en moderat utfylling i strandsonen. Imidlertid er det grunn til å påpeke at en større fylling vil kunne gi betydelig lavere sikkerhet for glideflater ut mot marbakken. Stabiliseringsarbeidene må derfor utredes detaljert før gjennomføring, og anleggsarbeidet må følges opp med kontinuerlige poretrykksmålinger for å overvåke stabiliteten.

Stabiliteten i naboprofilet DD-2 lenger sør og utenfor antatt motfyllingsområde er vesentlig bedre og tilfredsstiller kravene i retningslinjene med god margin, se tabell 9.2.

Det presiseres at fyllinger og terregnavlastning som ble vurdert er overslagsmessige og kun ment til å vurdere den generelle gjennomførbarheten.

9.3.4 Behov for supplerende grunnundersøkelser

I forbindelse med nye tiltak i tiltakskategori K2 og K3 vil det være behov for detaljerte stabilitetsanalyser og dokumentasjon av tilstrekkelig sikkerhet mot skred. For utførelse av stabilitetsanalyser kreves supplerende grunnundersøkelser med presis kartlegging av kvikkleirens utstrekning og mektighet. Bestemmelse av beregningsparametre av høy kvalitet i tråd med NVEs retningslinjer kreves også. Det anbefales spesielt å utføre aktive og passive treaksialforsøk, eventuelt også direkte skjær forsøk, for sikrere bestemmelse av anisotropiforholdene i leiren. Disse forholdene har betydelig innflytelse på beregnet sikkerhet og bør bestemmes ved målinger på prøver med god prøvekvalitet.

Geoteknisk kontroll i byggefasesen er påkrevet ved forekomst av kvikkleire i grunnen. Det bør utføres poretrykksmålinger i byggefasesen for å kontrollere at poretrykket ikke overstiger kritisk nivå ved pålastning på grunnen.

9.4 Anbefalt utførelse av bygge- og anleggsarbeider

9.4.1 Fundamentering av byggverk

Vanlige småhus kan fundamenteres på såler på avrettet grunn. Tyngre bygg og bygg med stor utstrekning må vurderes spesielt ut i fra risiko for lokal og global stabilitet, bæreevne og setningsproblematikk.

Ettersom grunnforholdene i området varierer betydelig kan nybygg delvis bli fundamentert på løsmasser og delvis på berg. Dette er uheldig og kan medføre risiko for skadelige differansesetninger. Oppstikkende berg må undersprenges minimum 0,5 m under underkant fundament, og slik at det blir en kile (myk overgang) med kilens største åpning mot størst løsmassemektighet. Boliger som fundamenteres på nedsprenget berg må enten i sin helhet fundamenteres direkte på berg eller på fylling av sprengstein på undersprengt berg.

Grunnen er meget telefarlig. Frostsikring er derfor påkrevd både i byggefasesen ved vinterbygging og i permanentfasen. Ved vinterarbeid må snø og tele fjernes, og arealer som blir stående åpne må tildekkes/isoleres for å hindre frostnedtrengning og innblanding av snø eller oppbløting fra overvann.

Under alle gulv på grunnen må det legges et kapillærerbrytende lag av pukk. Det foreslås videre å anvende fiberduk der det skal legges sprengstein/pukk på original grunn.

All torv og humusholdig jord må fjernes innenfor byggelinjen.

9.4.2 Oppbygging og fundamentering av fyllinger

Alle fyllinger må bygges opp lagvis og komprimeres iht. normal komprimering etter tabell 2 i NS 3458. Alle vegfyllinger antas lagt ut med sprengstein, og utlegging av sprengstein må starte fra **laveste terregnivå**. Videre må all torv og humusholdig jord fjernes før utlegging av

sprengstein. Mellom stedlige løsmasser og sprengstein legges separasjonsduk for å hindre inntrengning av finstoff i sprengsteinsmassene, noe som kan gi økte setninger.

Oppfyllingsarbeider må ikke utføres med brattere skråningshelning enn 1:3 ved fylling på mineralsk grunn. All oppfylling må utføres på telefri grunn, eventuelt må telelag fjernes. Fyllinger som legges ut direkte på berg kan anlegges med brattere skråningshelning.

Det må påregnes initial- og egensemtinger i fyllmassene i størrelsesorden 1 % av fyllingsmektigheten. Det forventes at mesteparten av disse setningene vil være unnagjort i løpet av anleggsperioden. Videre vil fylling på bløt leire medføre setninger som utvikles over lang tid. Da løsmassemektigheten varierer mye, kan det oppstå differansesetninger i utlagte fyllinger hvis det ikke treffes tiltak mot dette.

Ved terrengeinngrep i form av utfylling og terreggarrondering må det legges drenering i bunn av alle ravinedaler, slik at drenasjen av omkringliggende skråninger ikke reduseres. Hvis det forekommer eksisterende jordbruksdrenering må denne videreføres og kobles til nye anlegg.

Matjord og humusholdige masser under fyllingene må fjernes og det bør etableres en horizontal fyllingsfot i skrånende terrenget som bør dreneres. Manglende fyllingsfot vil medføre dårlig kontakt med underliggende masser og gi dårlig støtte for komprimering ved oppbygging av fyllingen.

9.4.3 Utførelse av skjæringer og ledningsgrøfter

Skjæringer

Permanente skjæringer i løsmasser må etableres med helning 1:3 eller slakere. Dersom brattere skråninger kreves for å gjennomføre utbyggingen, må det vurderes særskilte tiltak. Dette gjelder også hvis det påtreffes vannførende lag.

Ledningsgrøfter - generelt

Det gis her kun generelle retningslinjer for etablering av grøfter. Endelige planer i konkrete prosjekter må forelegges geotekniker for kontroll.

Alle grøftearbeider må utføres iht. *Forskrift om graving og avstivning av grøfter*.

Graving for grøfter vil stedvis komme i konflikt med berget. Etablering av grøfter vil derfor kunne medføre behov for sprengning. Dette må utføres skånsomt nær områder med sensitive masser i grunnen.

Det må tas hensyn til setninger ved dimensjonering av ledninger. Det vil si at ledninger må legges med noe større fall enn minimumsfall. For å redusere risikoen for setningsskader på ledningsanlegg (motfall og lignende) bør ledninger legges sent i anleggsperioden. Setninger som følge av oppfyllingsarbeider får da tid til å utvikle seg.

Grøfter i sand og silt

Generelt vil graveskråninger i sand og silt være stabile ved graving over grunnvannsnivået, mens det under grunnvannsnivået kan forventes problemer med innrasing i grøftene.

Der grunnvannsstanden står dypere enn gravedybden, kan følgende graveskråninger benyttes:

- For grøfter med mindre dybde enn 1,5 m, må det benyttes maksimal skråningshelning 1:1.
- Grøfter mellom 1,5 og 2,5 m dybde må graves med maksimal skråningshelning 1:1,5.
- Grøfter mellom 2,5 og 3,5 m dybde må graves med maksimal skråningshelning 1:2. Dersom det ikke er plass til dette, må det benyttes grøftekasser til oppstøtting. Åpne graveskråninger over topp grøftekasse må slakes ut til maksimal helning 1:1,5.

Når grunnvannsstanden er høyere enn bunnen av grøfta, må graveskråningene slakes ut til akseptabel skråningshelning, eller det må benyttes grøftekasser. Maksimal skråningshelning under grunnvannsstanden forventes å være ca. 1:2,5.

Grøfter i leire

Grøfter i ikke-sensitiv leire må etableres med helning 1:3 eller slakere. Dersom brattere skråninger kreves for å gjennomføre utbyggingen, må det vurderes særskilte tiltak. Dette gjelder også hvis det påtreffes vannførende lag.

Grøfter i områder med kvikkleire

I områder med kvikkleire skal graving av grøfter med dybder over 1,5 m utføres med seksjonsvis graving og tilbakefylling med korte seksjonslengder, tilpasset en rørlengde. Endelig omfang av seksjonsutførelse er avhengig av forholdene og må vurderes underveis. For alle ledningsarbeider i områder med kvikkleire må grøftene fylles igjen ved arbeidsdagens slutt. Oppstøtting med bruk av grøftekasser kan være aktuelt.

Mellomlagrede gravemasser må plasseres minimum 2 m på nedsiden av grøftekanten og med maksimal 1 m fyllingshøyde.

9.4.4 Mellomlagring av masse

I forbindelse med byggeaktivitet kan det være ønskelig og mellomlagre masser for kortere eller lengre tid. Da stabilitetsforholdene er kritiske i deler av utbyggingsområdet, er det avgjørende at mellomlagring av masser ikke utføres ukritisk. Plassering av massene må avklares i samråd med geotekniker.

Vi tilrår følgende retningslinjer for mellomlagring av masser:

- Mellomlagring bør generelt utføres der grunnforholdene er gunstige, det vil si der løsmassemektigheten er liten eller det er bart berg.
- Det skal ikke forekomme mellomlagring på toppen av skråninger/skjæringer.
- Det må ikke legges ut masser langs strandlinjen i Delområde 1 og Delområde 2, da dette kan føre til utglidninger i strandsone/marbakke. Dette kan igjen føre til en ukontrollert, bakovergripende skredutvikling i kvikkleiren innover land.
- Øvrig utlegging av masse innenfor Delområdene 1, 2 og 3 må avklares med geotekniker før utførelse.

10. Kritiske momenter

Stabilitetsforholdene i området er krevende på grunn av forekomster av kvikkleire over store deler av området. Spesielt gjelder dette området langs stranden i Faresonene 1 og 2. Tiltak som igangsettes her vil være svært følsomme for avvik i forhold til anbefalt utførelse.

De største risikomomentene knyttet til utførelsen av grunnarbeidene er:

- Unøyaktig grave- og fyllingsarbeid i strid med forutsetningene
- Utilsiktet mellomlagring av masser
- Totalsetninger og differansesetninger av nye og eksisterende bygg
- Poretrykksoppbygning i grunnen på grunn av bygge- og anleggsarbeider
- Kontroll med overvann og erosjon og utfylling i strandsonen.
- Lite informasjon om grunnforholdene i strandsonen

Innenfor kvikkleiresonen må alle tiltak som medfører en endring av stabilitetsforholdene

vurderes av geotekniker. Særlig gjelder dette innenfor områder med forventet høy faregrad, der det må utvises stor aktsomhet ved planlegging og prosjektering av tiltak. Innføring av faresoner med retningslinjer for kommunal byggesaksbehandling vil være et viktig bidrag for å sikre optimal byggesaksbehandling ved tiltak innenfor kvikkleireområdene.

Aktuelle sikringstiltak for bedring av stabiliteten i de mest skredutsatte områdene er foreslått, og det er utført orienterende beregninger for å vurdere gjennomførbarhet og effekt av tiltakene. Disse viser at det er praktisk mulig å sikre områdene med terrenginngrep som støttefyllinger og terregnavlastning, men dette krever detaljerte utredninger og tett oppfølging i byggefase. Supplerende grunnundersøkelse vil kunne gi sikrere vurderingsgrunnlag ved detaljering av tiltakene.

11. Referanser

- /1/ NBR (Standard Norge) (1988) *NS3480 Geoteknisk prosjektering*
- /2/ NBR (1989) *Veiledning til NS3480 geoteknisk prosjektering.* NBR-publikasjon 296
- /3/ Statens Vegvesen (2009). *Håndbok 016 – Geoteknikk i vegbygging*
- /4/ Norsk Standard (2004) *NS 3490 Prosjektering av konstruksjoner. Krav om pålitelighet.*
- /5/ Karlsrud, K. (2003). *Tolkning og fastlegging av jordparametere. Karakteristisk jordprofil.* NGF-kurs. Stabilitetsanalyser av skråninger, skjæringer og fyllinger, innlegg 4.1. 20-22 mai 2003, Hell.
- /6/ Ladd, C.C., and Foot, R. (1974). *New design procedure for stability of soft clays.* J. of the Geotech. Eng. Div., 100 (GT7), 763-786.
- /7/ NVE (2009). *Retningslinjer for planlegging og utbygging i fareområder langs vassdrag.*
- /8/ Karlsrud, K. , Aas, G. and Gregersen, O. (1984). *Can we predict landslides hazards in soft sensitive clays? Summary of Norwegian Practice and Experiences.* Proceedings of the 4th International Symposium on Landslides, Toronto, Vol I, p. 107-130. Også publisert i NGI publikasjon nr. 158.
- /9/ CPTU EXTRA. *Regneark for avansert tolkning av CPTU.* Brukermanual utviklet av Rolf Sandven. Datert 06.10.2009.
- /10/ Lunne, T., Robertson, P.K. og Powell, J.J.M. (1997). *Cone Penetration Testing in Geotechnical Practice.* Blackie Academic & Professional.
- /11/ Karlsrud, K. et al. (2005). *CPTU correlations for clays.* Proceedings, ICSMGE, Osaka s 693 - 702.
- /12/ NGI-rapport 20001008-2 Rev. 3 (2008). *Program for økt sikkerhet mot leirskred. Metode for kartlegging og klassifisering av faresoner, kvikkleire.*
- /13/ Karlsrud K. Lunne T. & Brattlien K. (1996) *Improved CPTU correlations based on block samples.* Proceedings, NGM 1996, Reykjavik
- /14/ Multiconsult AS (2010). Flatanger kommune. Datarapport grunnundersøkelser. Beskrivelse av grunnforhold. Rapportnr. 413941 – 1
- /15/ Multiconsult AS (2010). Flatanger kommune. Parametervalg til stabilitetsberegninger på Lauvsnes. Notat 1

Arkivreferanser:

Fagområde:	Geoteknikk		
Stikkord:	Kvikkleire, stabilitet		
Land/Fylke:	Nord-Trøndelag	Kartblad:	1624 II
Kommune:	Flatanger	UTM koordinater, Sone:	32V
Sted:	Lauvsnes	Øst:	5909 Nord: 71541

Distribusjon:

- Begrenset (Spesifisert av Oppdragsgiver)
 Intern
 Fri

Dokumentkontroll:

		Dokument		Revisjon 1		Revisjon 2		Revisjon 3	
		Dato	Sign	Dato	Sign	Dato	Sign	Dato	Sign
Forutsetninger	Utarbeidet	05.11.10	rols	10.03.11	rols				
	Kontrollert	05.11.10	err	10.03.11	err				
Grunnlags-data	Utarbeidet	05.11.10	rols	10.03.11	rols				
	Kontrollert	05.11.10	err	10.03.11	err				
Teknisk innhold	Utarbeidet	05.11.10	rols	10.03.11	rols				
	Kontrollert	05.11.10	err	10.03.11	err				
Format	Utarbeidet	05.11.10	rols	10.03.11	rols				
	Kontrollert	05.11.10	err	10.03.11	err				
Anmerkninger									
Godkjent for utsendelse (Oppdragsansvarlig)					Dato:	Sign.:			

VEDLEGG

1. Utvalgte resultater fra tidligere grunnundersøkelser i området.
2. Tabeller for evaluering av Faregrad – Faresone 1-5
3. Tabeller for evaluering av Skadekonsekvensklasse – Faresone 1-5
4. Sluttrapport fra uavhengig kontroll, NGI 20100105-00-6-TN og videre aksjoner planlagt av Multiconsult.

Vedlegg 1

Utvilgte resultater fra tidligere grunnundersøkelser i området.

Vedlegg 2

Tabeller for evaluering av Faregrad – Faresone 1-5

Tabell A2.1 Faregradsevaluering av Faresone 1.

Faktorer	Vekttall	Score	Produkt	Merknad/vurdering
Tidl. skredaktivitet	1	0	0	Tidligere skredaktivitet er ikke kjent for oss innenfor det aktuelle området. Videre viser kvartærgelogisk kart og www.skrednett.no angir ingen skredgropar eller skredhendelser i nærheten.
Skråningshøyde	2	1	2	Total høydeforskjell fra øverste begrensning av delområdet (ca. kote +15) til strandsonen på ca. kote 0 er ca. 15 m. Score 1 tilsvarer høydeforskjell 15 til 20 m, det er antatt inntil 5 meter dybde i sjøen.
OCR	2	1	2	Basert på tolking av CPTU-sonderinger og ødometerforsøk vurderes området å være svakt overkonsolidert, med σ'_c ca. 50 kPa høyere enn dagens effektivspenninger. <i>OCR</i> vurderes å ligge i området 1-3, avtagende med dybden.
Poretrykk	3/-3	1	3	Poretrykksmålinger indikerer et svakt poreovertrykk med dybden, i størrelsesorden 5-10 kPa.
Kvikkleiremektighet	2	3	6	I borpunkt BP 214 er største mektighet av kvikke/sensitive masser vurdert å være ca. 8 m. Dette er større enn $H/2 = 7,5$ m, regnet fra øverste begrensning av faresonen.
Sensitivitet	1	2	2	Målt sensitivitet for enkeltpørver er relativt lav pga prøveforstyrrelse og for lav intakt udrenert skjærstyrke. Sensitivitetsverdier mellom 30-100 antas representative for den noe grove kvikkleiren.
Erosjon	3	1	3	Det største erosjonspotensialet forekommer langs strandlinjen, selv om denne er godt beskyttet gjennom plastring. Det er ikke påvist bekker eller øvrige erosjonskilder på land innenfor de delområder som inneholder kvikkleire. Erosjonsaktivitet settes til score 1 som en antatt konservativ antakelse.
Inngrep	3/-3	1	3	Det har vært og pågår fortsatt enn viss fyllingsaktivitet i strandsonen innenfor Faresone 1. For å ta hensyn til dette velger vi å være konservative og legge inn score 1 som representerer en svak forverring av strandsonestabiliteten.
Poengverdi			21	Score gir faregradsklasse "Middels"

Tabell A2.2 Faregradsevaluering av Faresone 2.

Faktorer	Vekttall	Score	Produkt	Merknad/vurdering
Tidl. skredaktivitet	1	0	0	Tidligere skredaktivitet er ikke kjent for oss innenfor det aktuelle området. Videre viser kvartærgеологisk kart og www.skrednett.no angir ingen skredgropar eller skredhendelser i nærheten.
Skråningshøyde	2	1	2	Total høydeforskjell fra øverste begrensning av delområdet (ca. kote +18) til strandsonen på ca. kote 0 er ca. 18 m. Score 1 tilsvarer høydeforskjell 15 til 20 m, det er antatt inntil 5 meter dybde i sjøen.
OCR	2	1	2	Basert på tolking av CPTU-sonderinger og ødometerforsøk vurderes området å være svakt overkonsolidert, med σ'_c ca. 50 kPa høyere enn dagens effektivspenninger. <i>OCR</i> vurderes å ligge i området 1-3, avtagende med dybden.
Poretrykk	3/-3	1	3	Poretrykksmålinger indikerer et svakt poreovertrykk med dybden, i størrelsesorden 5-10 kPa.
Kvikkleiremektighet	2	2	4	I borpunkt BP 205 er største mektighet av kvikke/sensitive masser vurdert å være ca. 12 m. Dette er mindre enn $H/2 = 9$ m, regnet fra øverste begrensning av faresonen.
Sensitivitet	1	2	2	Målt sensitivitet for enkeltpørver er relativt lav pga prøveforstyrrelse og for lav intakt udrenert skjærstyrke. Sensitivitetsverdier mellom 30-100 antas representative for den noe grove kvikkleiren.
Erosjon	3	1	3	Det største erosjonspotensialet forekommer langs strandlinjen, selv om denne er godt beskyttet gjennom plastring. Det er ikke påvist bekker eller øvrige erosjonskilder på land innenfor de delområder som inneholder kvikkleire. Erosjonsaktivitet settes til score 1 som en antatt konservativ antakelse.
Inngrep	3/-3	1	3	Det har vært og pågår fortsatt enn viss fyllingsaktivitet i strandsonen innenfor Faresone 2. For å ta hensyn til dette velger vi å være konservative og legge inn score 1 som representerer en svak forverring av strandsonestabiliteten.
Poengverdi			19	Score gir faregradsklasse "Middels"

Tabell A2.3 Faregradsevaluering av Faresone 3.

Faktorer	Vekttall	Score	Produkt	Merknad/vurdering
Tidl. skredaktivitet	1	0	0	Tidligere skredaktivitet er ikke kjent for oss innenfor det aktuelle området. Videre viser kvartærgеologisk kart og www.skrednett.no angir ingen skredgropar eller skredhendelser i nærheten.
Skråningshøyde	2	0	0	Total høydeforskjell fra øverste begrensning av delområdet (ca. kote +18) til nedre del av sonen på ca. kote 10 er ca. 8 m. Score 1 tilsvarer høydeforskjell 15 til 20 m, det er antatt inntil 5 meter dybde i sjøen.
OCR	2	1	2	Basert på tolking av CPTU-sonderinger og ødometerforsøk vurderes området å være svakt overkonsolidert, med σ'_c ca. 50 kPa høyere enn dagens effektivspenninger. <i>OCR</i> vurderes å ligge i området 1-3, avtagende med dybden.
Poretrykk	3/-3	1	3	Poretrykksmålinger indikerer et svakt poreovertrykk med dybden, i størrelsesorden 5-10 kPa.
Kvikkleiremektighet	2	3	6	I borpunkt BP 215 er største mektighet av kvikke/sensitive masser vurdert å være ca. 10 m. Dette er større enn $H/2 = 4$ m, regnet fra øverste begrensning av delområdet.
Sensitivitet	1	2	2	Målt sensitivitet for enkeltprøver er relativt lav pga prøveforstyrrelse og for lav intakt udrenert skjærstyrke. Sensitivitetsverdier mellom 30-100 antas representative for den noe grove kvikkleiren.
Erosjon	3	0	0	Det kan ikke sies å være erosjonspotensiale innenfor denne faresonen. Det er ikke påvist bekker eller øvrige erosjonskilder på land innenfor de delområder som inneholder kvikkleire. Erosjonsaktivitet settes til score 0 som er en realistisk antakelse.
Inngrep	3/-3	0	0	Faresonen utgjøres av jordbruksland. Det er neppe aktuelt å gjøre inngrep for å endre terrenget med hensyn på utvinning av større areal til jordbruksformål. Dreneringstiltak synes heller ikkå være aktuelle.
Poengverdi			13	Score gir faregradsklasse "Lav"

Tabell A2.4 Faregradsevaluering av Faresone 4.

Faktorer	Vekttall	Score	Produkt	Merknad/vurdering
Tidl. skredaktivitet	1	0	0	Tidligere skredaktivitet er ikke kjent for oss innenfor det aktuelle området. Videre viser kvartærgеологisk kart og www.skrednett.no angir ingen skredgropar eller skredhendelser i nærheten.
Skråningshøyde	2	3	6	Total høydeforskjell fra øverste begrensning av delområdet (ca. kote +30) til strandsonen på ca. kote 0 er ca. 30 m. Score 1 tilsvarer høydeforskjell 30 til 35 m, det er antatt inntil 5 meter dybde i sjøen.
OCR	2	1	2	Basert på tolking av CPTU-sonderinger og ødometerforsøk vurderes området å være svakt overkonsolidert, med σ'_c ca. 50 kPa høyere enn dagens effektivspenninger. <i>OCR</i> vurderes å ligge i området 1-3, avtagende med dybden.
Poretrykk	3/-3	1	3	Poretrykksmålinger indikerer et svakt poreovertrykk med dybden, i størrelsesorden 5-10 kPa.
Kvikkleiremektighet	2	1	2	I borpunkt BP 220 er største mektighet av kvikke/sensitive masser vurdert å være ca. 4 m. Dette er mindre enn $H/4 = 7,5$ m, regnet fra øverste begrensning av delområdet.
Sensitivitet	1	2	2	Målt sensitivitet for enkeltpørver er relativt lav pga prøveforstyrrelse og for lav intakt udrenert skjærstyrke. Sensitivitetsverdier mellom 30-100 antas representative for den noe grove kvikkleiren.
Erosjon	3	1	3	Det største erosjonspotensialet forekommer langs strandlinjen, selv om denne er godt beskyttet gjennom plastring. Det er ikke påvist bekker eller øvrige erosjonskilder på land innenfor de delområder som inneholder kvikkleire. Erosjonsaktivitet settes til score 1 som en antatt konservativ antakelse.
Inngrep	3/-3	1	3	Det har vært og pågår fortsatt enn viss fyllingsaktivitet i strandsonen innenfor Faresone 4. For å ta hensyn til dette velger vi å være konservative og legge inn score 1 som representerer en svak forverring av strandsonestabiliteten.
Poengverdi			21	Score gir faregradsklasse "Middels"

Tabell A2.2 Faregradsevaluering av Faresone 5.

Faktorer	Vekttall	Score	Produkt	Merknad/vurdering
Tidl. skredaktivitet	1	0	0	Tidligere skredaktivitet er ikke kjent for oss innenfor det aktuelle området. Videre viser kvartærgelogisk kart og www.skrednett.no angir ingen skredgropar eller skredhendelser i nærheten.
Skråningshøyde	2	1	2	Total høydeforskjell fra øverste begrensning av delområdet (ca. kote +20) til strandsonen på ca. kote 0 er ca. 15 m. Score 1 tilsvarer høydeforskjell 15 til 20 m, det er antatt inntil 5 meter dybde i sjøen.
OCR	2	1	2	Basert på tolking av CPTU-sonderinger og ødometerforsøk vurderes området å være svakt overkonsolidert, med σ'_c ca. 50 kPa høyere enn dagens effektivspenninger. <i>OCR</i> vurderes å ligge i området 1-3, avtagende med dybden.
Poretrykk	3/-3	1	3	Poretrykksmålinger indikerer et svakt poreovertrykk med dybden, i størrelsesorden 5-10 kPa.
Kvikkleiremektighet	2	0	0	I borpunkt BP 217 er det mulighet for kun et tynt lag med kvikkleire. Dette tilsier ingen score på dette punktet.
Sensitivitet	1	0	0	Det er ikke utført sensitivitetsmålinger på oppatte prøver innenfor denne faresonen. Det antas sensitivitetsverdier < 20 for de noe grove massene her, dvs. score = 0.
Erosjon	3	1	3	Det største erosjonspotensialet forekommer langs strandlinjen, selv om denne er godt beskyttet gjennom plastring. Det er ikke påvist bekker eller øvrige erosjonskilder på land innenfor de delområder som inneholder kvikkleire. Erosjonsaktivitet settes til score 1 som en antatt konservativ antakelse.
Inngrep	3/-3	1	3	Det har vært og pågår fortsatt enn viss fyllingsaktivitet i strandsonen innenfor Faresone 5, spesielt i nordre del. For å ta hensyn til dette velger vi å være konservative og legge inn score 1 som representerer en svak forverring av strandsonestabiliteten.
Poengverdi			13	Score gir faregradsklasse "Lav"

Vedlegg 3

Tabeller for evaluering av Skadekonsekvensklasse – Faresone 1-5

Tabell A3.1 Evaluering av Skadekonsekvensklasse. Faresone 1.

Skadekonsekvensklasse – Lauvsnes sentrum. Faresone 1.						
Faktorer	Vekt	Score	Vurdering			
			3	2	1	0
Boligheter, antall	4	12	Tett > 5	Spredt > 5	Spredt < 5	Ingen
Næringsbygg, personer	3	6	>50	10-50	<10	Ingen
Annen bebyggelse, verdi	1	2	Stor	Betydelig	Begrenset	Ingen
Vei, ÅDT	2	2	>5000	1001-5000	100-1000	<100
Toglinje, baneprioritet	2	0	1-2	3-4	5	Ingen
Kraftnett	1	1	Sentral	Regional	Distribusjon	Lokal
Oppdemning, flom	2	0	Alvorlig	Middels	Liten	Ingen
Sum poeng		23	45	30	15	0
% av maksimal poengsum		51	100	67	33	0
Klassifisering		Alvorlig	Meget alvorlig	Alvorlig	Mindre alvorlig	Ingen

Tabell A3.2 Evaluering av Skadekonsekvensklasse. Faresone 2.

Skadekonsekvensklasse – Lauvsnes sentrum. Faresone 2.						
Faktorer	Vekt	Score	Vurdering			
			3	2	1	0
Boligheter, antall	4	4	Tett > 5	Spredt > 5	Spredt < 5	Ingen
Næringsbygg, personer	3	3	>50	10-50	<10	Ingen
Annen bebyggelse, verdi	1	1	Stor	Betydelig	Begrenset	Ingen
Vei, ÅDT	2	2	>5000	1001-5000	100-1000	<100
Toglinje, baneprioritet	2	0	1-2	3-4	5	Ingen
Kraftnett	1	1	Sentral	Regional	Distribusjon	Lokal
Oppdemning, flom	2	0	Alvorlig	Middels	Liten	Ingen
Sum poeng		11	45	30	15	0
% av maksimal poengsum		24	100	67	33	0
Klassifisering		Mindre Alvorlig	Meget alvorlig	Alvorlig	Mindre alvorlig	Ingen

Tabell A3.3 Evaluering av Skadekonsekvensklasse. Faresone 3.

Skadekonsekvensklasse – Lauvsnes sentrum. Faresone 3.						
Faktorer	Vekt	Score	Vurdering			
			3	2	1	0
Boligheter, antall	4	4	Tett > 5	Spredt > 5	Spredt < 5	Ingen
Næringsbygg, personer	3	0	>50	10-50	<10	Ingen
Annen bebyggelse, verdi	1	0	Stor	Betydelig	Begrenset	Ingen
Vei, ÅDT	2	0	>5000	1001-5000	100-1000	<100
Toglinje, baneprioritet	2	0	1-2	3-4	5	Ingen
Kraftnett	1	1	Sentral	Regional	Distribusjon	Lokal
Oppdemning, flom	2	0	Alvorlig	Middels	Liten	Ingen
Sum poeng		5	45	30	15	0
% av maksimal poengsum		11	100	67	33	0
Klassifisering		Mindre alvorlig	Meget alvorlig	Alvorlig	Mindre alvorlig	Ingen

Tabell A3.4 Evaluering av Skadekonsekvensklasse. Faresone 4.

Skadekonsekvensklasse – Lauvsnes sentrum. Faresone 4.						
Faktorer	Vekt	Score	Vurdering			
			3	2	1	0
Boligheter, antall	4	4	Tett > 5	Spredt > 5	Spredt < 5	Ingen
Næringsbygg, personer	3	1	>50	10-50	<10	Ingen
Annen bebyggelse, verdi	1	0	Stor	Betydelig	Begrenset	Ingen
Vei, ÅDT	2	2	>5000	1001-5000	100-1000	<100
Toglinje, baneprioritet	2	0	1-2	3-4	5	Ingen
Kraftnett	1	1	Sentral	Regional	Distribusjon	Lokal
Oppdemning, flom	2	0	Alvorlig	Middels	Liten	Ingen
Sum poeng		8	45	30	15	0
% av maksimal poengsum		18	100	67	33	0
Klassifisering		Mindre Alvorlig	Meget alvorlig	Alvorlig	Mindre alvorlig	Ingen

Tabell A3.5 Evaluering av Skadekonsekvensklasse. Faresone 5.

Skadekonsekvensklasse – Lauvsnes sentrum. Faresone 5.						
Faktorer	Vekt	Score	Vurdering			
			3	2	1	0
Boligheter, antall	4	8	Tett > 5	Spredt > 5	Spredt < 5	Ingen
Næringsbygg, personer	3	0	>50	10-50	<10	Ingen
Annen bebyggelse, verdi	1	0	Stor	Betydelig	Begrenset	Ingen
Vei, ÅDT	2	2	>5000	1001-5000	100-1000	<100
Toglinje, baneprioritet	2	0	1-2	3-4	5	Ingen
Kraftnett	1	1	Sentral	Regional	Distribusjon	Lokal
Oppdemning, flom	2	0	Alvorlig	Middels	Liten	Ingen
Sum poeng		11	45	30	15	0
% av maksimal poengsum		24	100	67	33	0
Klassifisering		Mindre Alvorlig	Meget alvorlig	Alvorlig	Mindre alvorlig	Ingen

Vedlegg 4

**Sluttrapport fra uavhengig kontroll, NGI 20100105-00-6-TN og videre
aksjoner planlagt av Multiconsult.**

Dokumentliste for oppdrag 413941: Teknisk beregning 1: Stabilitetsberegninger

Dokumentliste	Utarbeidet			Kontrollert			Godkient
	Revision	Dato	Sign	Dato	Sign	Dato	
Rapport							
413941 - 2 Geoteknisk vurdering, Stabilitet og fundamentering	1	10.03.11	<i>JL</i>	10.03.11	<i>TR.</i>	10.03.11	<i>OP</i>
Tegninger							
413941-0 Oversiktskart	05.11.10	JMD	10.03.11	<i>Dk.</i>	10.03.11	<i>OP</i>	
413941-1 Borplan	05.11.10	JMP	10.03.11	<i>Dk.</i>	u.	<i>OP</i>	
413941-2 Sjøbunnskart	05.11.10	JMF	10.03.11	<i>Dk.</i>	u.	<i>OP</i>	
413941-4 Situasjonsplan med inndeling av faresoner 1 – 5.	1	07.03.11	JMP	10.03.11	<i>Dk.</i>	<i>OP</i>	
413941-5 Situasjonsplan med klassifisering av Faregrad, faresoner 1 – 5.	07.03.11	JMF	10.03.11	<i>Dk.</i>	u.	<i>OP</i>	
413941-6 Situasjonsplan med klassifisering av Skadekonsekvens, faresoner 1 – 5.	07.03.11	JMP	10.03.11	<i>Dk.</i>	u.	<i>OP</i>	
413941-7 Situasjonsplan med inndeling i Risikoklasse, faresoner 1 – 5.	07.03.11	JMF	10.03.11	<i>Dk.</i>	u.	<i>OP</i>	
413941-40.8 CPTU, borpunkt BP206, designverdier for aktiv udrenet skjærstyrke, s_{uA}	05.11.10	ES	10.03.11	<i>Dk.</i>	u.	<i>OP</i>	
413941-40.9 CPTU, borpunkt BP206, prekonsolidérinsspenning, p'_c	05.11.10	ES	10.03.11	<i>Dk.</i>	u.	<i>OP</i>	
413941-40.10 CPTU, borpunkt BP206, overkonsolidéringsgrad, OCR	05.11.10	ES	10.03.11	<i>Dk.</i>	u.	<i>OP</i>	
413941-40.11 CPTU, borpunkt BP206, friksjonsvinkel, ϕ_k	05.11.10	ES	10.03.11	<i>Dk.</i>	u.	<i>OP</i>	
413941-41.8 CPTU, borpunkt BP214, designverdier for aktiv udrenet skjærstyrke, s_{uA}	05.11.10	ES	10.03.11	<i>Dk.</i>	u.	<i>OP</i>	
413941-41.9 CPTU, borpunkt BP214, prekonsolidérinsspenning, p'_c	05.11.10	ES	10.03.11	<i>Dk.</i>	u.	<i>OP</i>	
413941-41.10 CPTU, borpunkt BP214, overkonsolidéringsgrad, OCR	05.11.10	ES	10.03.11	<i>Dk.</i>	u.	<i>OP</i>	

413941-41.11 CPTU, borpunkt BP214, friksjonsvinkel, Φ_k	.	05.11.10	ES	10.03.11	ES								
413941-42.8 CPTU, borpunkt BP219, designverdier for aktiv udeneint skjærstyrke, s_{uA}	.	05.11.10	ES	10.03.11	PS	"	PS	"	PS	"	PS	"	PS
413941-42.9 CPTU, borpunkt BP219, prekonsolidertressspennin, p_c'	.	05.11.10	ES	10.03.11	PS	"	PS	"	PS	"	PS	"	PS
413941-42.10 CPTU, borpunkt BP219, overkonsolideringsgrad, OCR	.	05.11.10	ES	10.03.11	PS	"	PS	"	PS	"	PS	"	PS
413941-42.11 CPTU, borpunkt BP219, friksjonsvinkel, Φ_k	.	05.11.10	ES	10.03.11	PS	"	PS	"	PS	"	PS	"	PS
413941-76 Kontinuerlig ødometerforsøk, borpunkt BP219, d=6,25 m	.	05.11.10	ES	10.03.11	PS	"	PS	"	PS	"	PS	"	PS
413941-77 Trinnvis ødometerforsøk, borpunkt BP204, d= 8,45 m	.	05.11.10	ES	10.03.11	PS	"	PS	"	PS	"	PS	"	PS
413941-78 Trinnvis ødometerforsøk, borpunkt BP214, d= 7,20 m	.	05.11.10	ES	10.03.11	PS	"	PS	"	PS	"	PS	"	PS
413941-79 Samleplott treaksialforsøk, spenningsstti	.	05.11.10	ES	10.03.11	PS	"	PS	"	PS	"	PS	"	PS
413941-80 Samleplott treaksialforsøk, arbeidskurve	.	05.11.10	ES	10.03.11	PS	"	PS	"	PS	"	PS	"	PS
413941-81 Treaksialforsøk, borpunkt BP204, d= 8,55 m, spenningsstti med tolket styrke, NTN- plott	.	05.11.10	ES	10.03.11	PS	"	PS	"	PS	"	PS	"	PS
413941-82 Treaksialforsøk, borpunkt BP204, d=8,55 m, spenningsstti med tolket styrke, NGI-plott	.	05.11.10	ES	10.03.11	PS	"	PS	"	PS	"	PS	"	PS
413941-83 Treaksialforsøk, borpunkt BP204, d= 8,55 m, arbeidskurve	.	05.11.10	ES	10.03.11	PS	"	PS	"	PS	"	PS	"	PS
413941-84 Treaksialforsøk, borpunkt BP204, d= 8,55 m, utpresset porevann og volumtøyning	.	05.11.10	ES	10.03.11	PS	"	PS	"	PS	"	PS	"	PS
413941-85 Treaksialforsøk, borpunkt BP214, d=5,30 m, spenningsstti med tolket styrke, NTN- plott	.	05.11.10	ES	10.03.11	PS	"	PS	"	PS	"	PS	"	PS
413941-86 Treaksialforsøk, borpunkt BP214, d=5,30 m, spenningsstti med tolket styrke, NGI- plott	.	05.11.10	ES	10.03.11	PS	"	PS	"	PS	"	PS	"	PS
413941-87 Treaksialforsøk, borpunkt BP214, d= 5,30 m, arbeidskurve	.	05.11.10	ES	10.03.11	PS	"	PS	"	PS	"	PS	"	PS
413941-88 Treaksialforsøk, borpunkt BP214, d= 5,30 m, utpresset porevann og volumtøyning	.	05.11.10	ES	10.03.11	PS	"	PS	"	PS	"	PS	"	PS
413941-89 Treaksialforsøk, borpunkt BP219, d=6,05 m, spenningsstti med tolket styrke, NTN- plott	.	05.11.10	ES	10.03.11	PS	"	PS	"	PS	"	PS	"	PS
413941-90 Treaksialforsøk, borpunkt BP219, d=6,05 m, spenningsstti med tolket styrke, NGI- plott	.	05.11.10	ES	10.03.11	PS	"	PS	"	PS	"	PS	"	PS

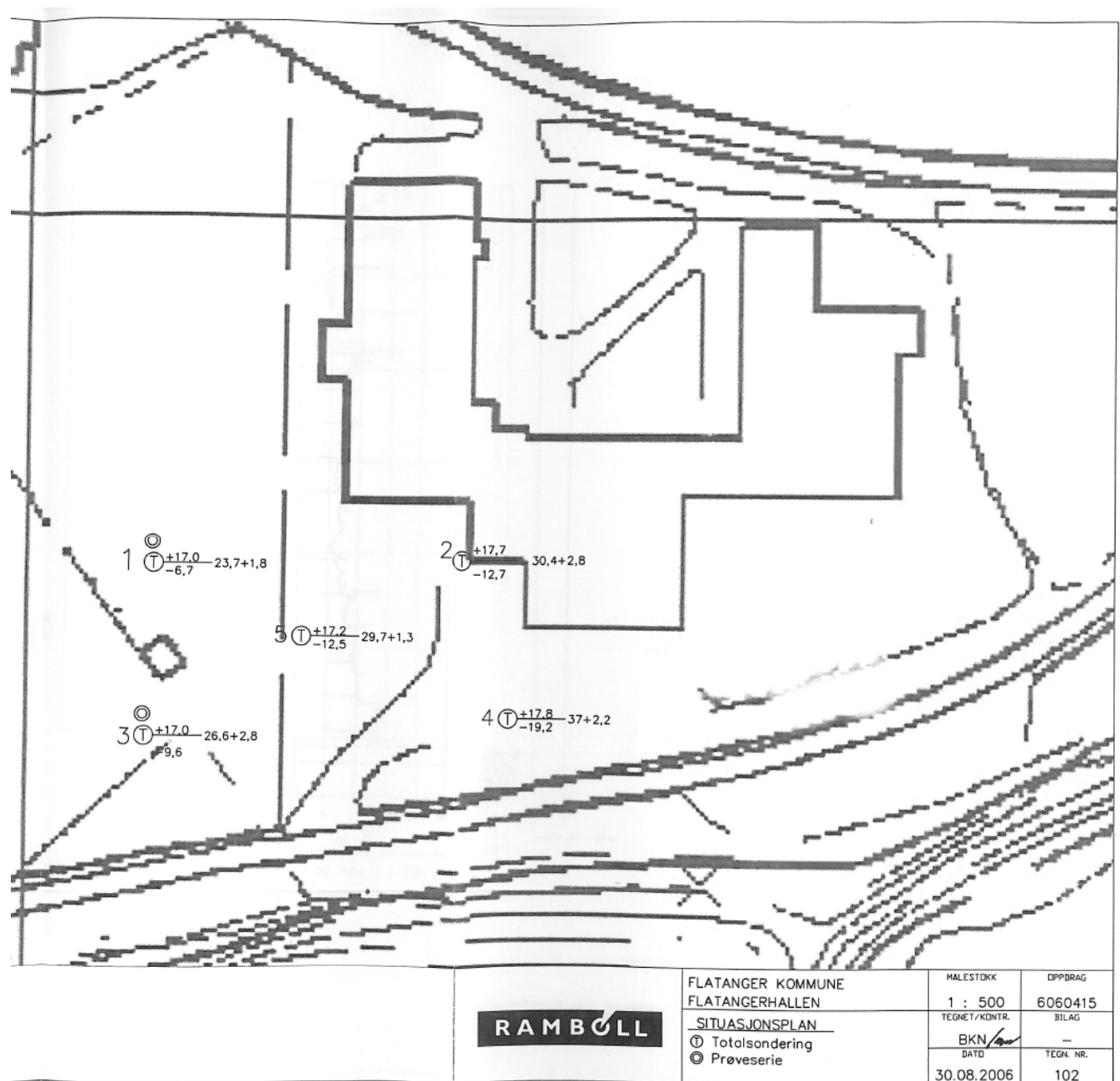
413941-91 Treaksialforsøk, borpunkt BP219, d= 6,05 m, arbeidskurve		05.11.10	ES	10.03.11	ES	10.03.11	ES
413941-92 Treaksialforsøk, borpunkt BP219, d= 6,05 m, utpresset porevann og volumtøyning		05.11.10	ES	10.03.11	ES	10.03.11	ES
413941-150 Beregningsprofil CC-2, tolket lagdeling med boreresultater		05.11.10	ES	10.03.11	ES	10.03.11	ES
413941-151 Beregningsprofil DD-1, tolket lagdeling med boreresultater		05.11.10	ES	10.03.11	ES	10.03.11	ES
413941-152 Beregningsprofil EE-1, tolket lagdeling med boreresultater		05.11.10	ES	10.03.11	ES	10.03.11	ES
413941-153 Beregningsprofil CC-3, tolket lagdeling med boreresultater		08.03.11	ES	10.03.11	ES	10.03.11	ES
413941-310 Beregningsprofil CC-2, stabilitetsberegning, dagens situasjon, flate 1, ADP-analyse, korrigerte anisotropiforhold	1	24.02.11	ES	10.03.11	ES	10.03.11	ES
413941-311 Beregningsprofil CC-2, stabilitetsberegning, dagens situasjon, flate 2, aφ-analyse		05.11.10	ES	10.03.11	ES	10.03.11	ES
413941-312 Beregningsprofil DD-1, stabilitetsberegning, dagens situasjon, flate 1, ADP-analyse, korrigerte anisotropiforhold	1	24.02.11	ES	10.03.11	ES	10.03.11	ES
413941-313 Beregningsprofil DD-1, stabilitetsberegning, dagens situasjon, flate 2, aφ-analyse		05.11.10	ES	10.03.11	ES	10.03.11	ES
413941-314 Beregningsprofil EE-1, stabilitetsberegning, dagens situasjon, flate 1, ADP-analyse		05.11.10	ES	10.03.11	ES	10.03.11	ES
413941-315 Beregningsprofil EE-1, stabilitetsberegning, dagens situasjon, flate 2, aφ-analyse		05.11.10	ES	10.03.11	ES	10.03.11	ES
413941-316 Beregningsprofil CC-2, stabilitetsvurdering land/sjø, situasjon med støttefylling i strandsonen, ADP-analyse		25.02.11	ES	10.03.11	ES	10.03.11	ES
413941-317 Beregningsprofil CC-2, stabilitetsvurdering land/sjø, situasjon med omlegging av veg og lokal terregnawlastning, ADP-analyse		25.02.11	ES	10.03.11	ES	10.03.11	ES
413941-318 Beregningsprofil DD-1, stabilitetsvurdering land/sjø, situasjon med støttefylling i strandsonen, ADP-analyse		24.02.11	ES	10.03.11	ES	10.03.11	ES
413941-319 Beregningsprofil DD-2, stabilitetsvurdering land/sjø, referanseprofil Faresone 2, ADP-analyse		28.02.11	ES	10.03.11	ES	10.03.11	ES
413941-320 Beregningsprofil CC-3, stabilitetsvurdering land/sjø, referanseprofil Faresone 1, ADP-analyse		01.03.11	ES	10.03.11	ES	10.03.11	ES

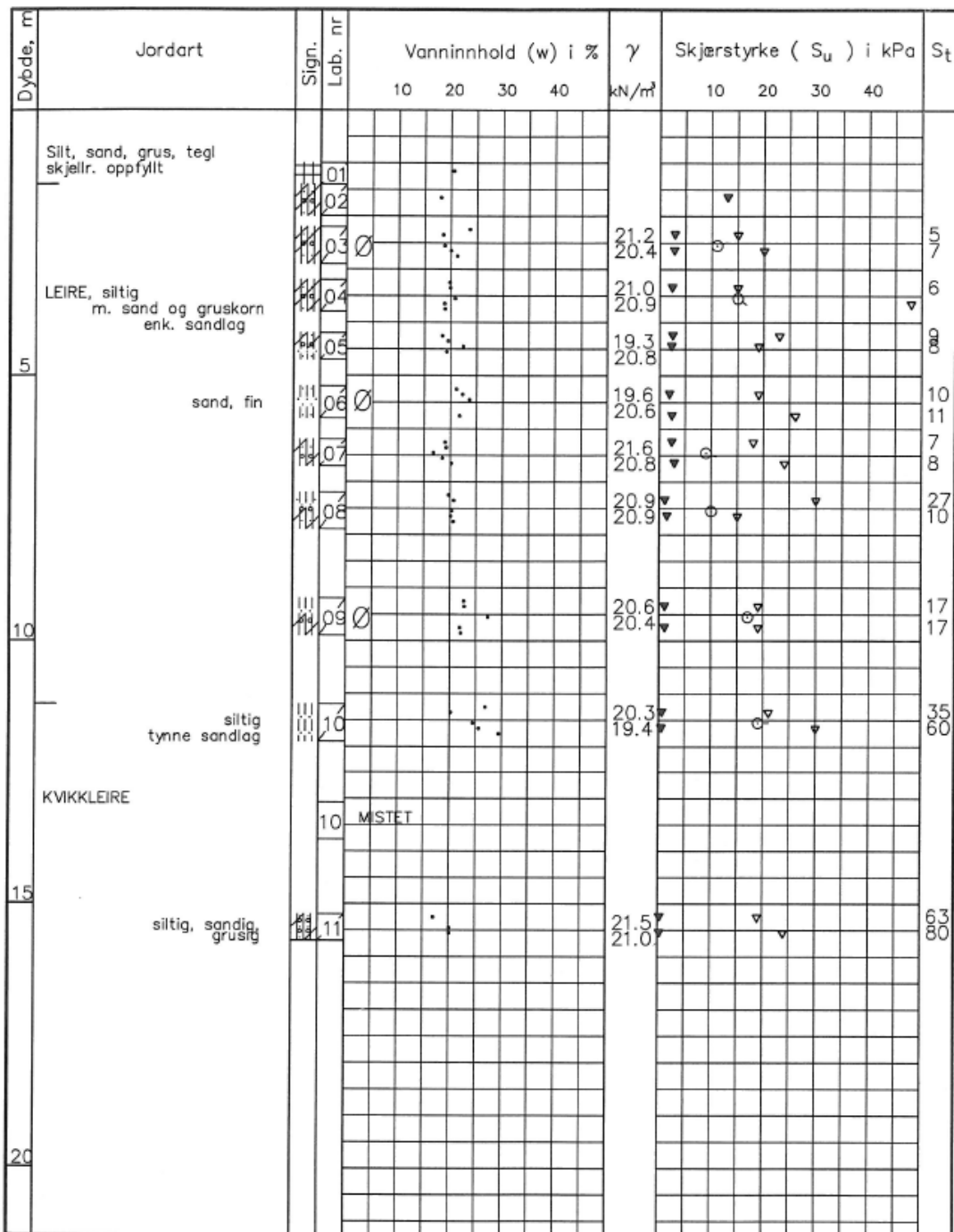
Denne dokumentasjonen forutsettes etablert for hvert oppdrag når elektroniske dokumenter lagres/oversendes uten fysisk signatur. Matrisen scannes og legges på oppdraget i MIA. Det refereres til matrise for kontroll av dokumenter Geofag.

VEDLEGG 1

**Utvalgte resultater fra tidligere
undersøkelser i området**

(17 sider)



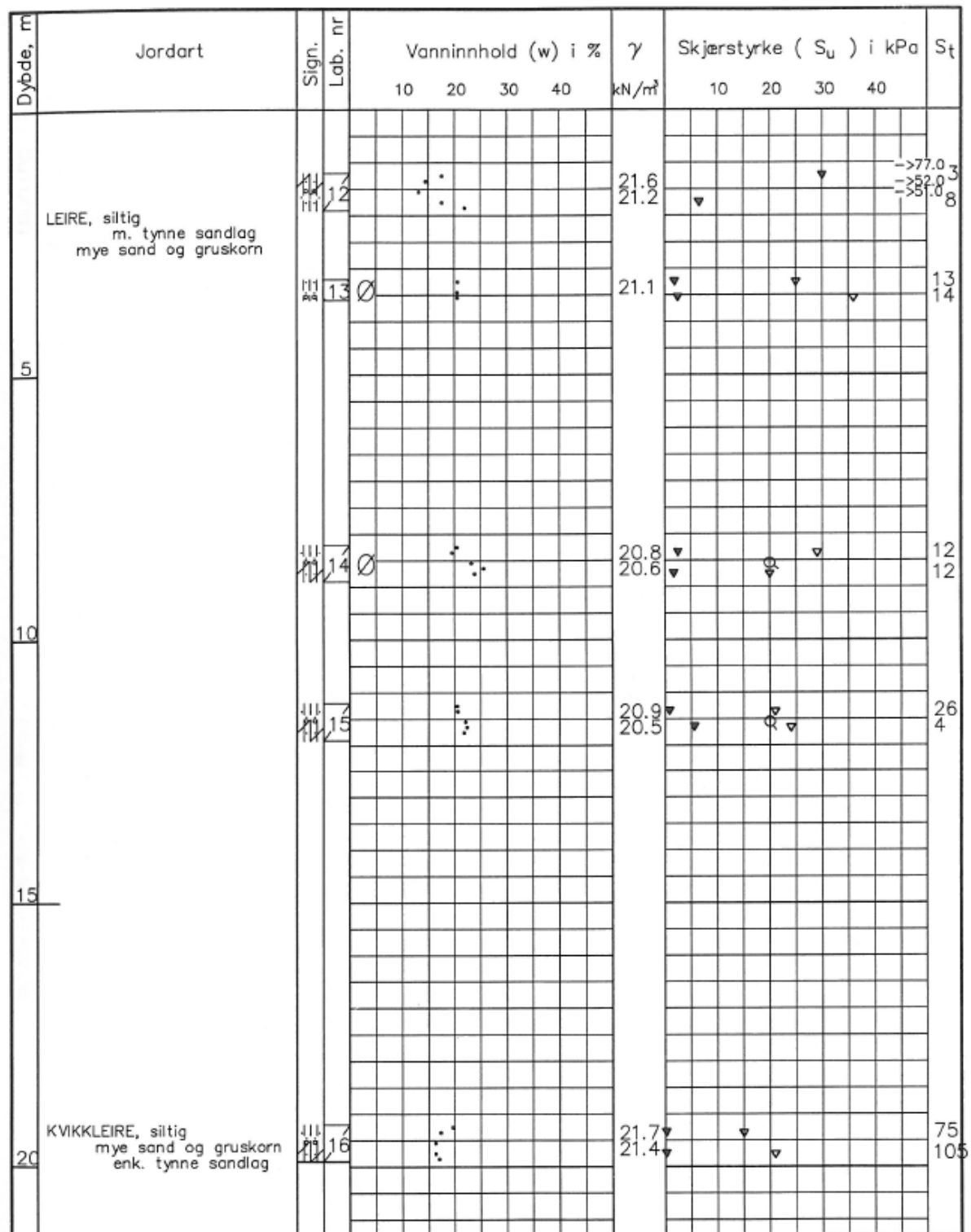


Enkelt trykkforsøk :  (strek angir def.% v/ brudd) Konusforsøk - Ømhart/Uforstyrret : ▼ / ▽

Penetrometerforsøk : Konsistensgrense : Wp  Andre forsøk :

T = Treksialforsøk Ø = Ødometerforsøk K = Kornfordeling

RAMBOLL	FLATANGER KØMMUNE FLATANGERHALLEN	DATO 29.08.06	OPPDRAG 6060415
	BØRPROFIL HULL: 1 Terr.høyde +17,0 Prøve Ø 54mm Skovl	TEGNET AV Ehh/BKN	BILAG
		KONTR 	TEGN. NR. 105



Enkelt trykkforsøk :  (strek angir def. % v/ brudd) Konusforsøk - Ømårt/Uforstyrret : ▼ / ▽

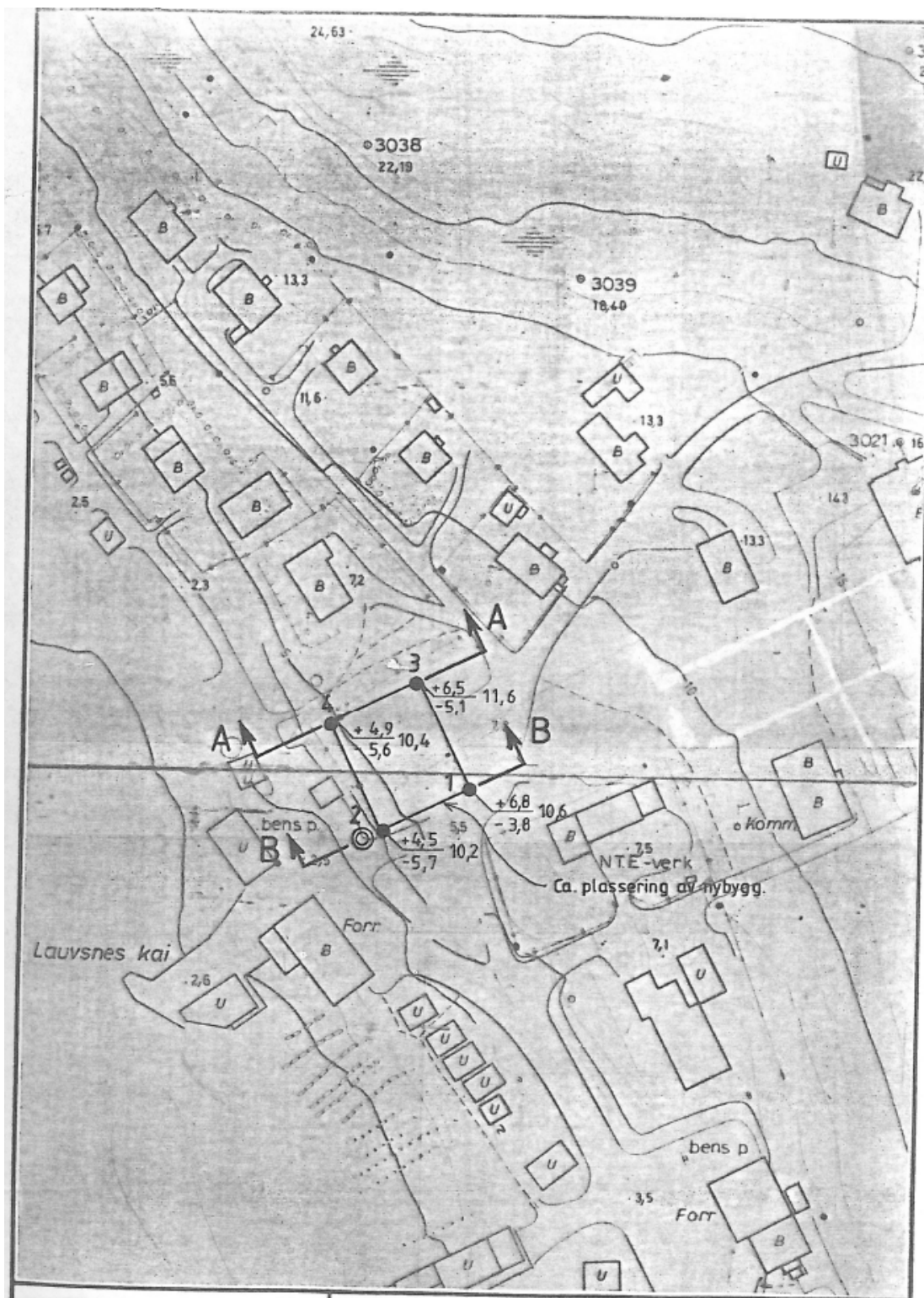
Penetrometerforsøk : Konsistensgrense : W_p ——— WL Andre forsøk :

T = Treksløfforsøk

B = Ødmeterforsøk K = Kornfordeling

RAMBOLL	FLATANGER KOMMUNE FLATANGERHALLEN	DATO 29.08.06	OPPDRAG 6060415
	BØRPROFIL HULL: 3	TEGNET AV Ehh/BKN	BILAG
	Terr.høyde: +17,0 Prøve ø: 54mm	KONTR 	TEGN. NR. 106

Kummeneje AS (1982). Alfred Sørgaards Eftf. Geoteknisk undersøkelse for nytt forretningsbygg, Lauvsnes. O.3786.



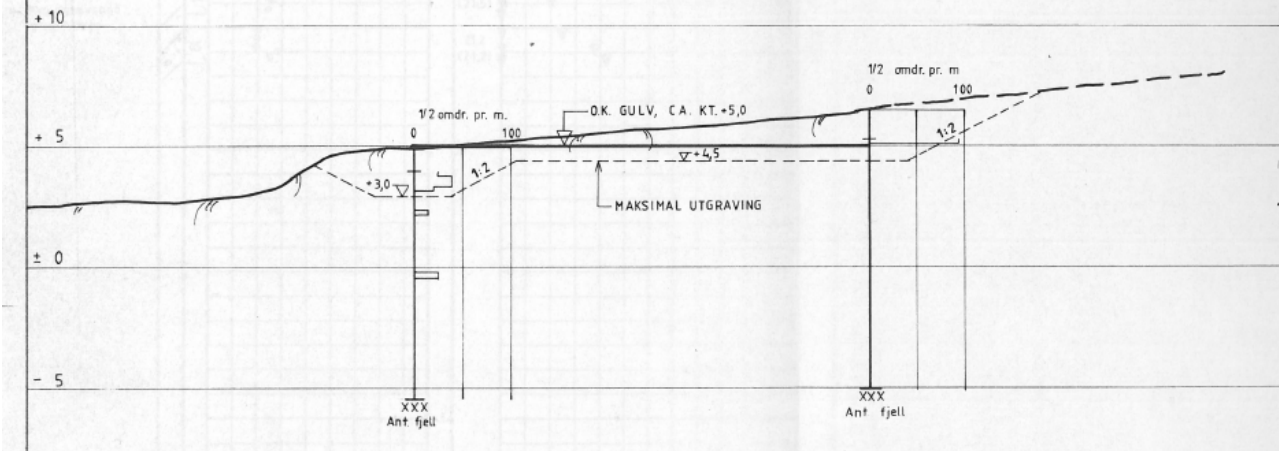
Kummeneje Sivilingeniør Ottar Kummeneje	ALFRED SØRGAARD EFTF. FORRETNINGSBYGG , LAUVSNES	MÅLESTOKK 1:1 000	OPPDRAg 3786
RIF TRONDHEIM GJØVIK BODØ TROMSØ	SITUASJONSPLAN	TEGNET AV TE	BILAG 1
	● Dreiesondring ○ Prøvetaking	DATO 23.02.82	TEGN. NR. 01

PROFIL A.

BORING:

4

3

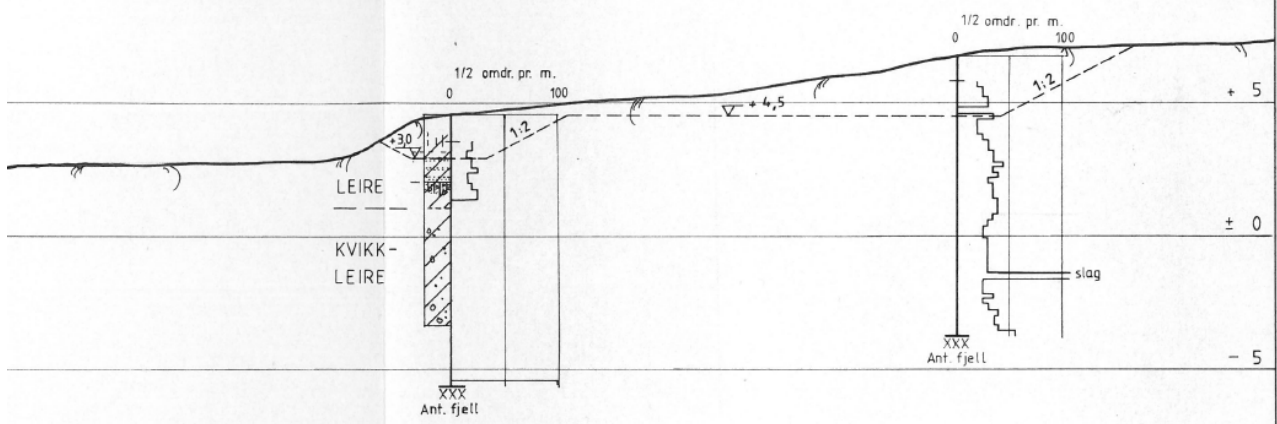


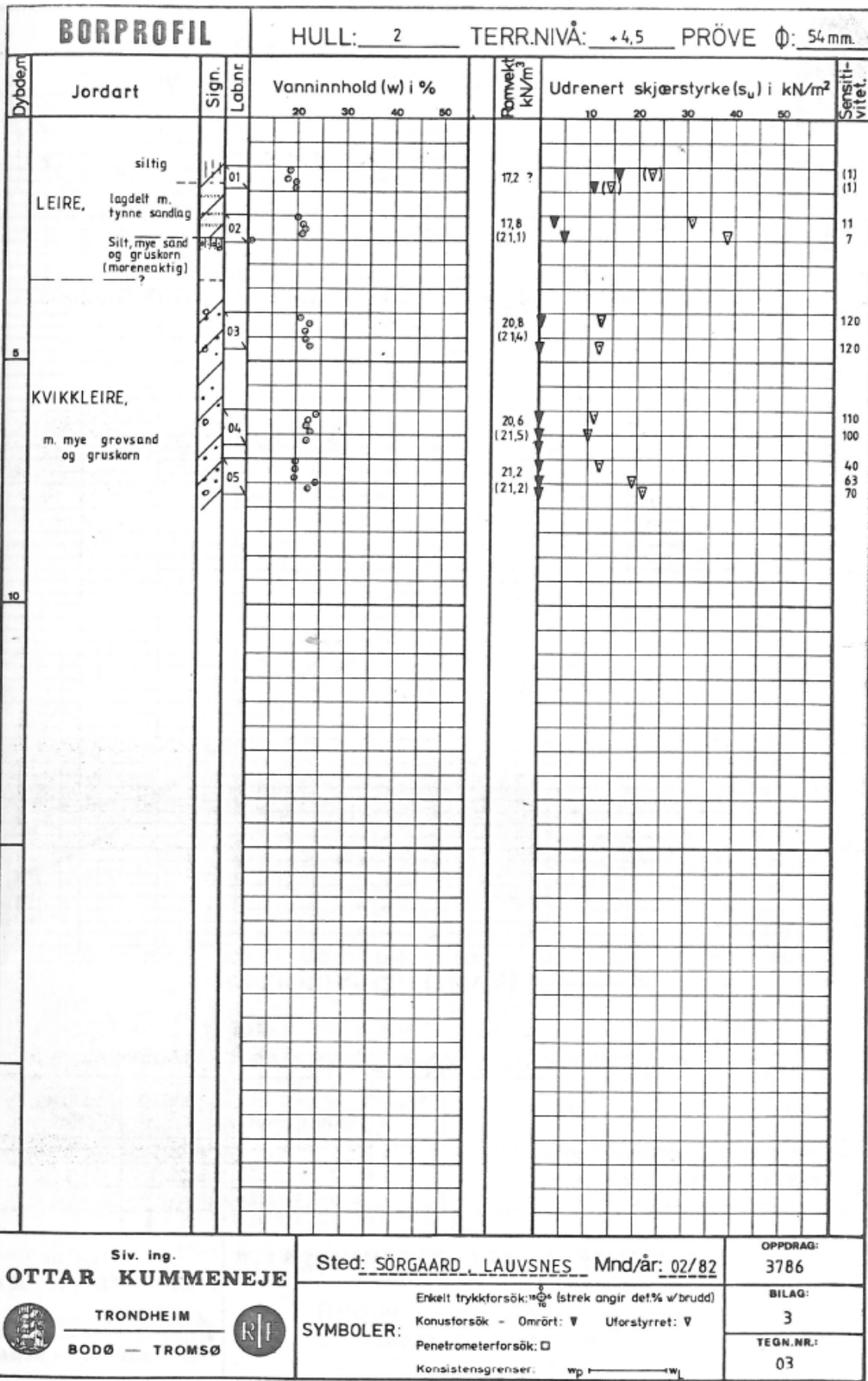
PROFIL B.

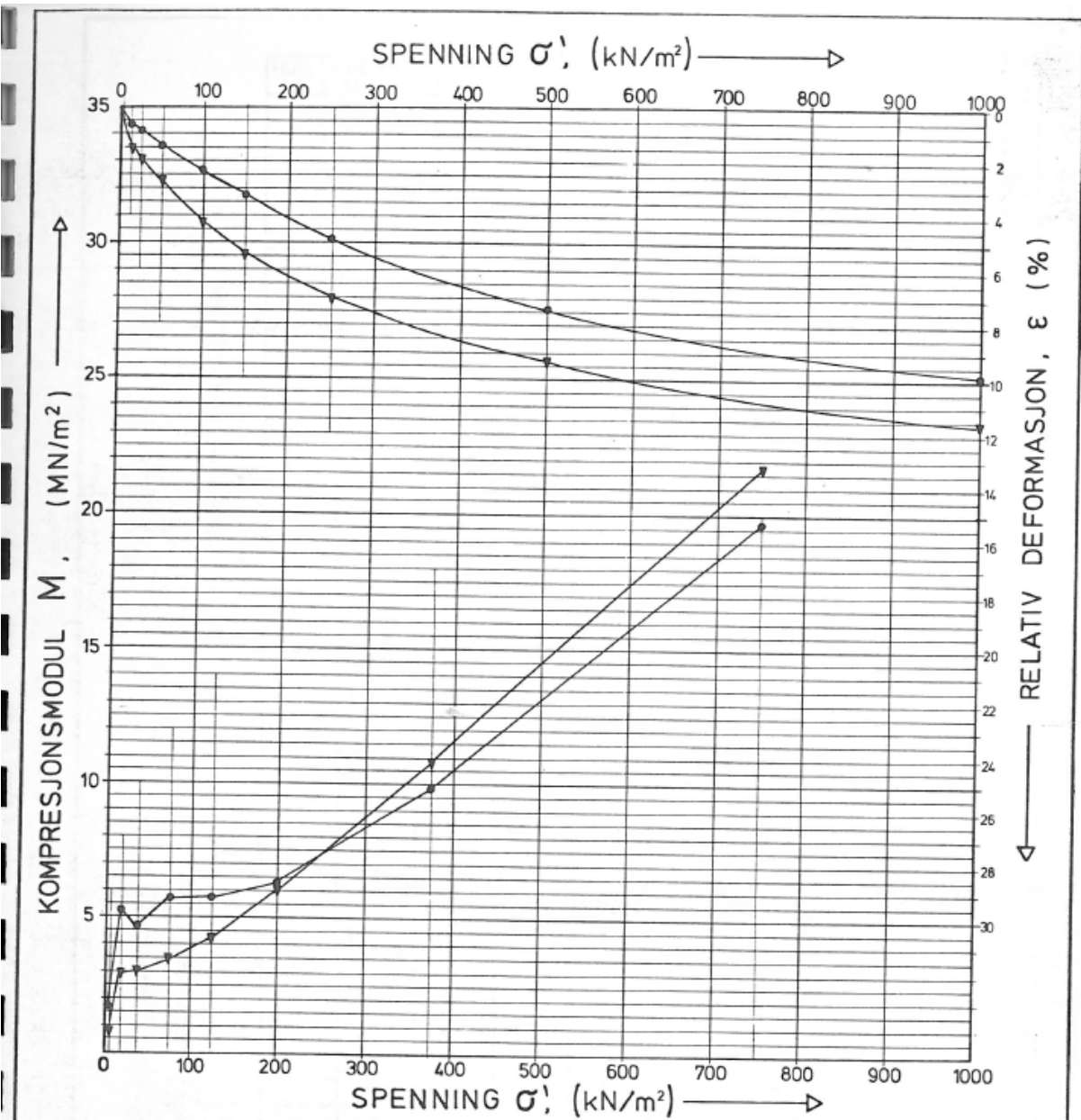
2

1

+ 10





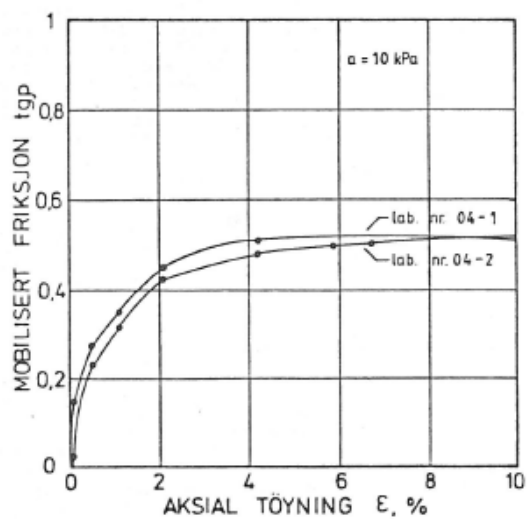
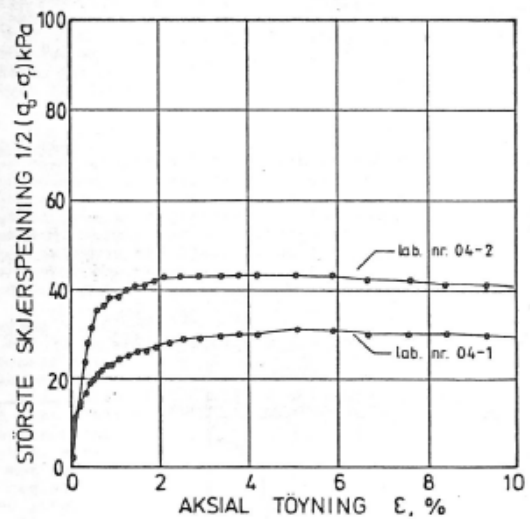
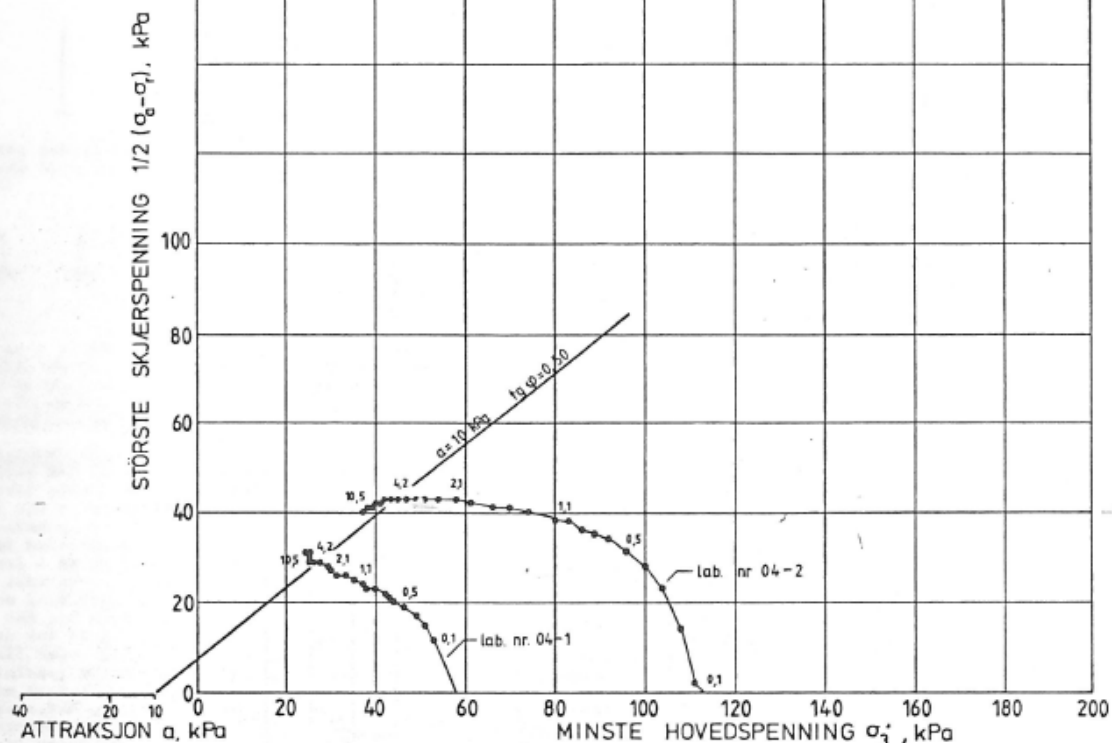


PRØVEDATA, Sted: SØRGAARD LAUVSNES Mnd/år: 02/82

LAB. NR :	HULL NR :	DYBDE: m	P_o' (kN/m^2)	P_c' (kN/m^2)	OCR	JORDART	ANM.
02	2	2,20				LEIRE, lagdelt m. sandlag	●
03	2	4,30				LEIRE, m. sand og gruskorn	▼
						-	
						-	

Siv. ing. OTTAR KUMMENEJE TRONDHEIM BODØ — TROMSØ	BELASTNINGSFORSØK I ØDOMETER Relativ deformasjon og kompresjonsmodul	OPPDAG: 3786 BILAG: 4 TEGN.NR: 04
---	---	--

HULL NR	LAB NR	PRØVE NR	DYBDE m	EFFOVERLAG SPENN, kPa	FORKONS SPENN, kPa	ANM.
2	04	1	6,15			
		2	6,25			



Kummeneje
Sivilingeniør Ottar Kummeneje



TRONDHEIM
GÅRDEN BEATE TRONDHEIM



Sted: SØRGAARD, LAUVSNES Mnd./år: 02 / 82

TREAKSIALFORSØK

OPPDAG

3786

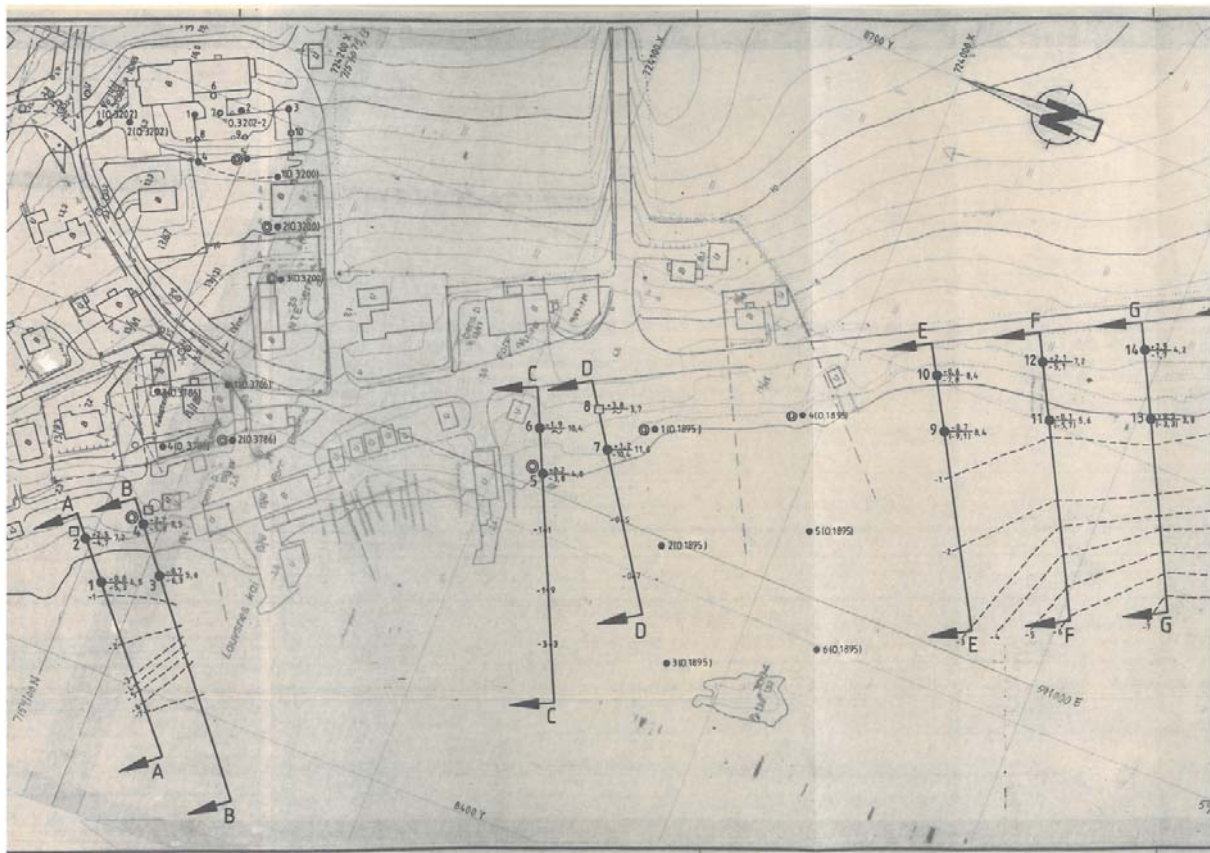
BILAG

5

TEGN. NR

05

Kummeneje AS (1987). Flatanger kommune. Reguleringsplan. Stranda. Kummeneje. Oppdrag O.6445.



Dybde/m	Jordart	Sign.	Lab nr.	Vanninnhold (w) i %				γ kN/m ³	Udrenert skjærstyrke (s_u) i kN/m ²					St
				20	40	60	80		10	20	30	40	50	
	FYLLMASSE (spengstein med noe humus, sand og silt)													
	SAND/GRUS steinig													
	LEIRE, m. gruskorn			01	0									
				Avsl. graving										
5														
10														
15														
20														

Enkelt trykkforsök: Istrek angir def% w/brudd) Konusforsök - Omrdrag/Uforstyrret: ✓/✓

Penetrometerforsök: □ Konsistensgrenser: Wp → WL Andre forsök:

T = Treaksialforsök Ø = Ødometerforsök K = Kornfordeling



Rådgivende ingeniører i
Geoteknikk og Ingeniørgeologi

FLATANGER KOMMUNE
REGULERINGSPLAN STRANDA

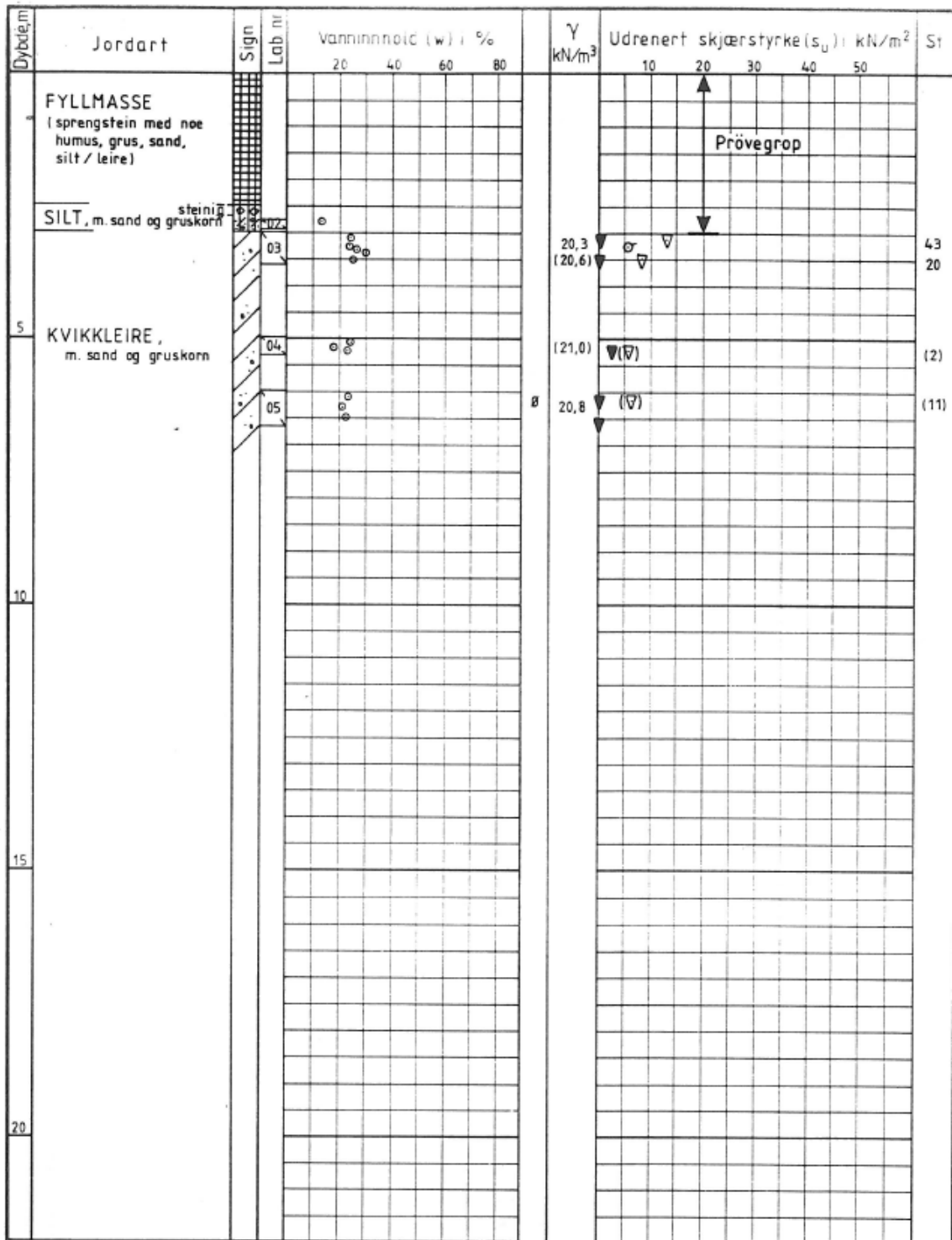
BORPROFIL HULL: 2

Terr.høyde: Prove: Graving

DATO
05 / 87
OPPDRAG
6445

TEGNET AV
KSt / SW
BILAG
7

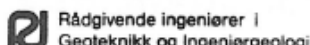
KONTR
TEGN-NR
07

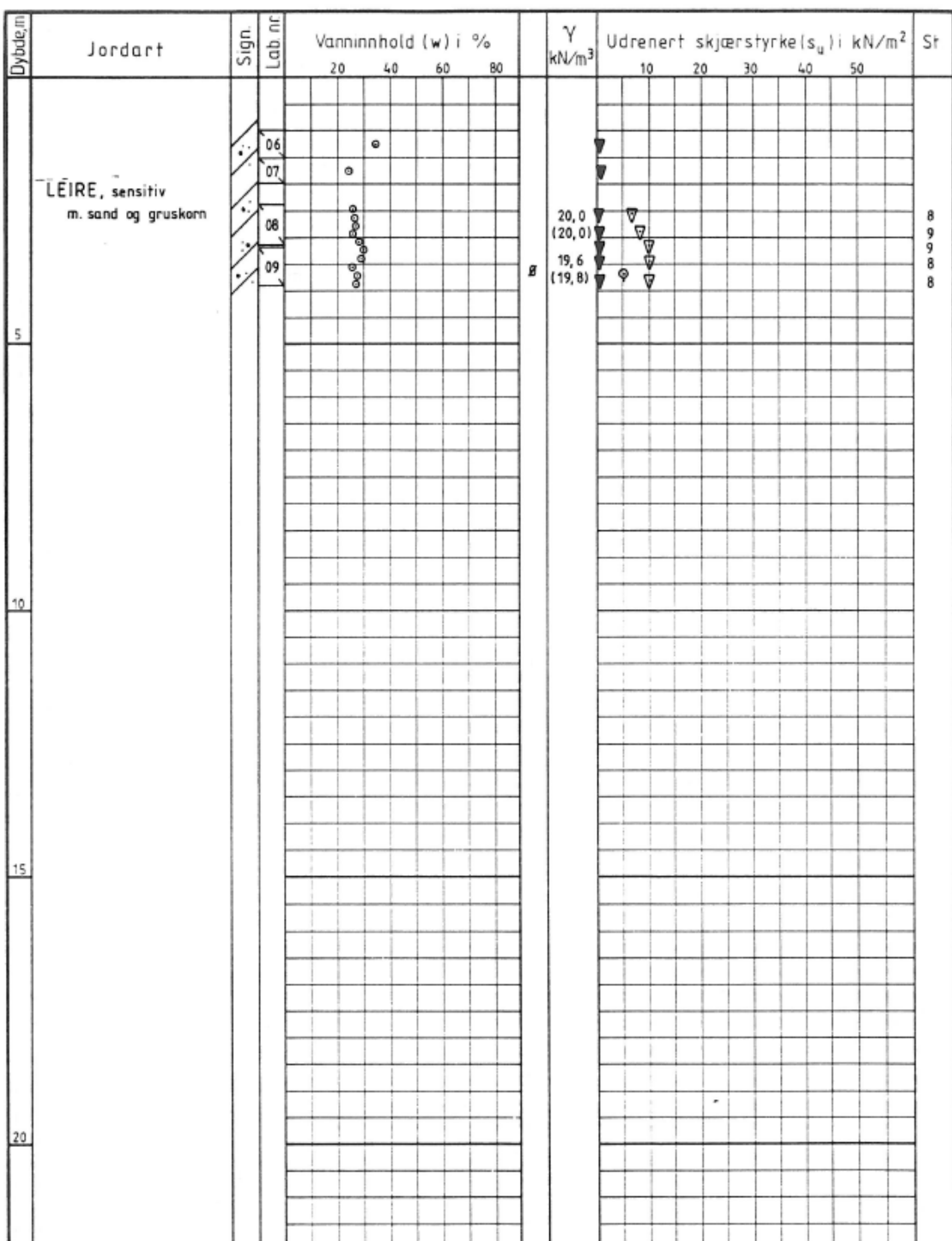


Enkelt trykkforsök: $\frac{\circ}{\square}$ (strekk angir def% v/brudd) Konusforsök - Omrört/Uforstyrret: ∇/∇

Penetrometerforsök: \square Konsistensgrenser: $W_p \longrightarrow W_L$ Andre forsök:

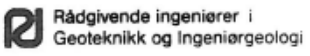
T = Treaksialforsök Ø = Ødometerforsök K = Kornfordeling

  Rådgivende ingenierer i Geoteknikk og Ingeniørgeologi	FLATANGER KOMMUNE REGULERINGSPLAN STRANDA	DATO 05/87	OPPDRAG 6445
	BORPROFIL HULL: 4 Terr.høyde: _____ Prøve ø: 54 mm	TEGNET AV KST / SW Prøvegrop	BILAG 8 KONTR TEGN NR 08



Enkelt trykkforsök: $\frac{0}{10}$ (strek angir def% v/brudd) Konusforsök - Omrent/Uforstyrret: ▼/▼

Penetrometerforsök: □ Konsistensgrenser: $W_p \rightarrow W_L$ Andre forsök:
 T = Treaksialforsök Ø = Ødometerforsök K = Kornfordeling

 	FLATANGER KOMMUNE REGULERINGSPLAN STRANDA	DATO 05/87	OPPDAG 6445
	BORPROFIL HULL: 5	TEGNET AV KSt/SW	BILAG 9
	Terr. høyde: _____ Prøve Ø: 54 mm	KONTR	TEGN. NR. 09

Dybde/m	Jordart	Sign.	Lab nr:	Vanninnhold (w) i %				γ kN/m ³	Udrenert skjærstyrke (s_u) i kN/m ²					St
				20	40	60	80		10	20	30	40	50	
5	LEIRE, siltig, tørskorpe, m. sand og gruskorn god fasthet (Ant. oppfyllt)													
10														
15														
20														

Enkelt trykkforsøk: $\frac{0}{10}$ (strek angir def% v/brudd) Konusforsøk - Omvort/Uforstyrret: ∇/∇
 Penetrometerforsøk: Konsistensgrenser: $W_p \rightarrow W_L$ Andre forsøk:
 T = Treaksialforsøk $\emptyset = \emptyset$ dometerforsøk K = Kornfordeling
 TEGNET AV: _____



Rådgivende ingeniører i
Geoteknikk og Ingeniørgeologi

FLATANGER KOMMUNE

REGULERINGSPLAN STRANDA

BORPROFIL HULL: 8

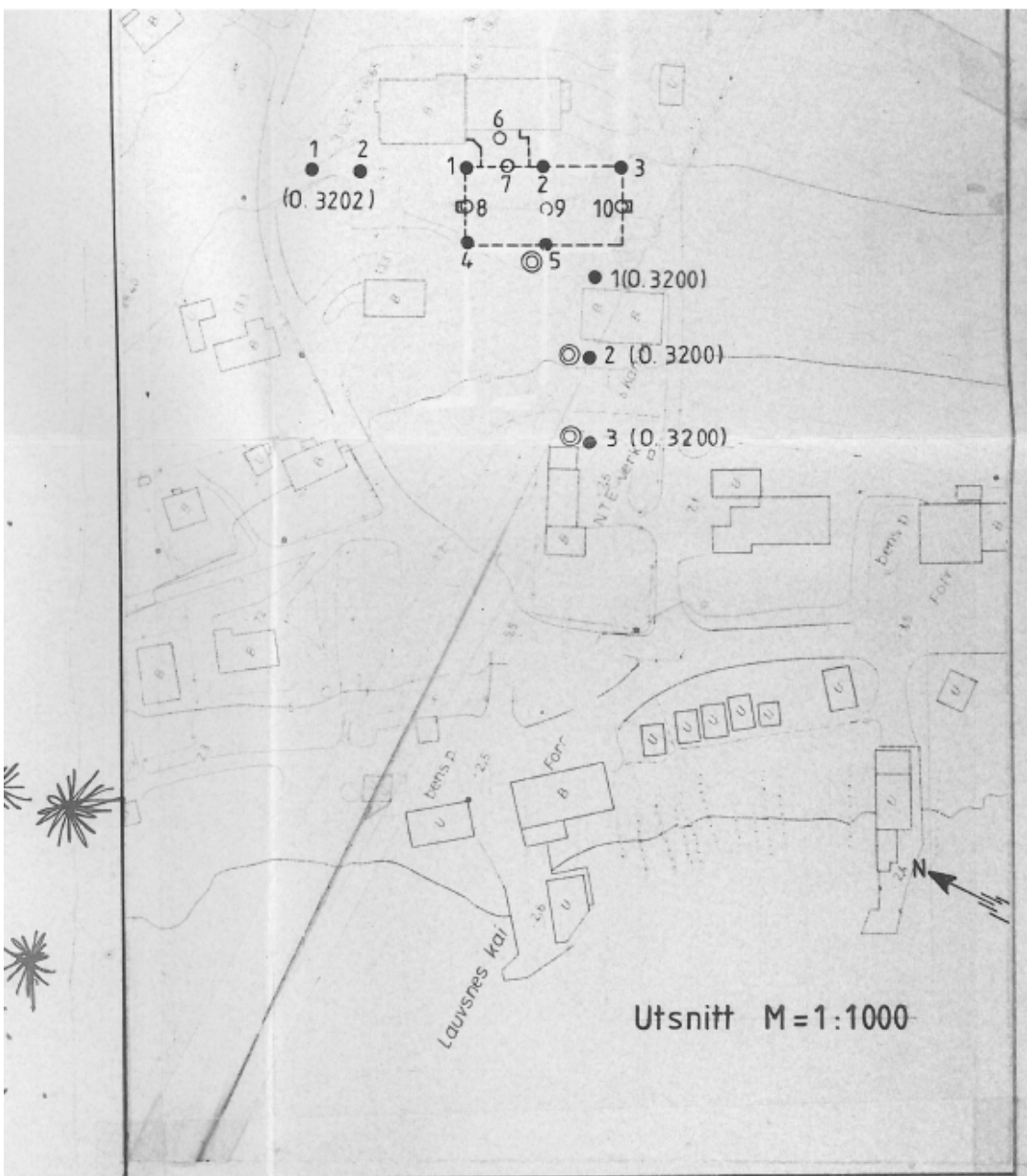
Terr.høyde: _____ Prøve #: Graving

DATO	OPPDAG
05/87	6445

TEGNET AV	BILAG
KSt/SW	10

KONTR	TEGN. NR.
	10

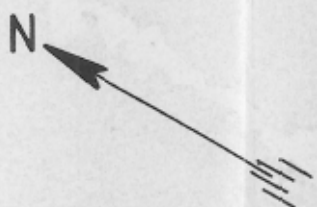
Kummeneje AS (1983). Flatanger kommune. Syke- og aldersheim, Lauvsnes. Grunnundersøkelse.
Vurdering av fundamentering. Oppdrag O.3202-2.



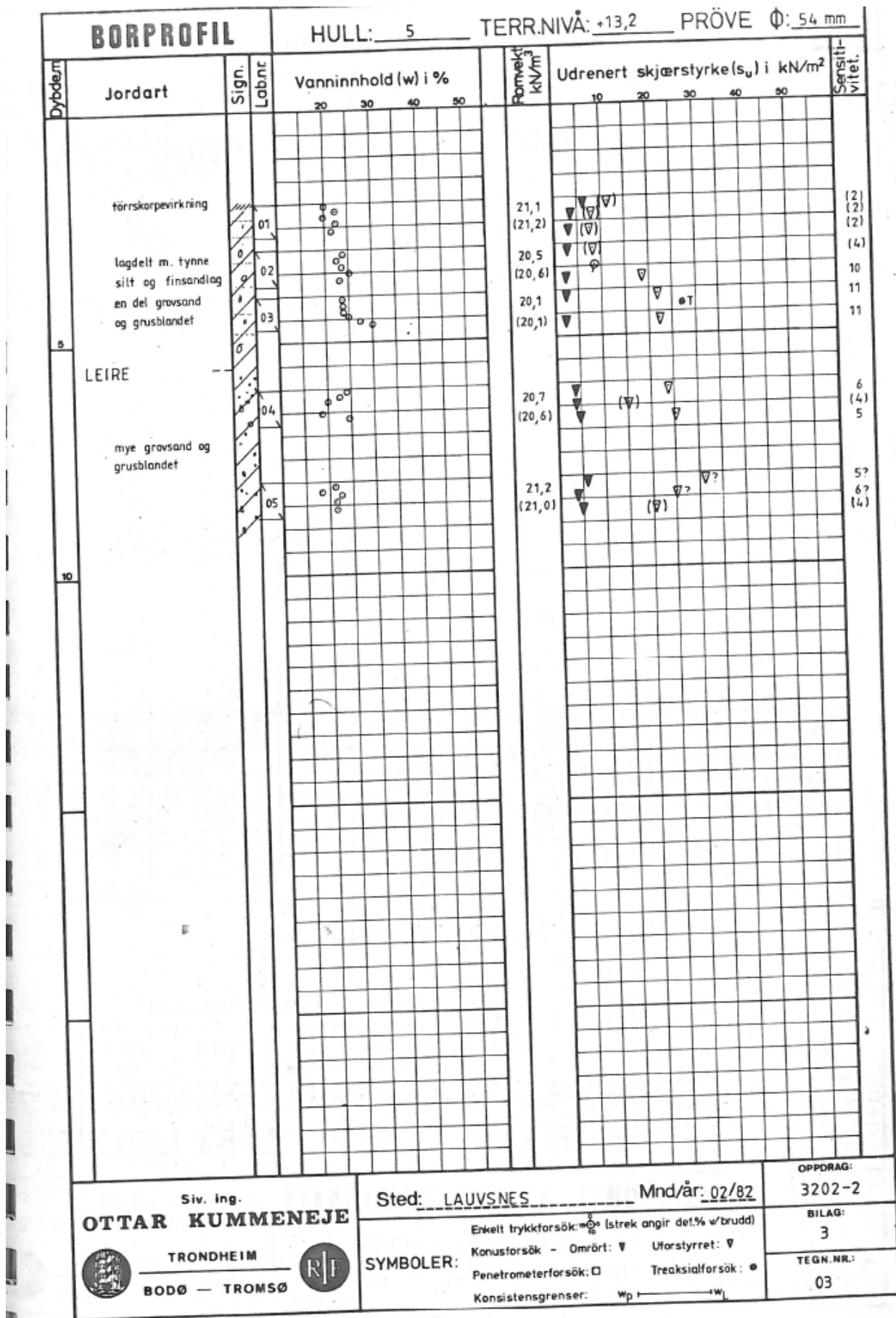
KORR.	KORREKSJONEN GJELDER	SIGN.	DATO
	FLATANGER KOMMUNE SYKE- OG ALDERSHEIM, LAUVSNES	MÅLESTOKK 1: 200 1: 1000	
	SITUASJONSPLAN	TEGNET AV EE / TE	
	● Dreiesondering	DATO 15.02.82	
	○ Enkel sondering	OPPDRAAG 3202-2	
	◎ Prøvetaking	BILAG 1	
		TEGN. NR. 01	

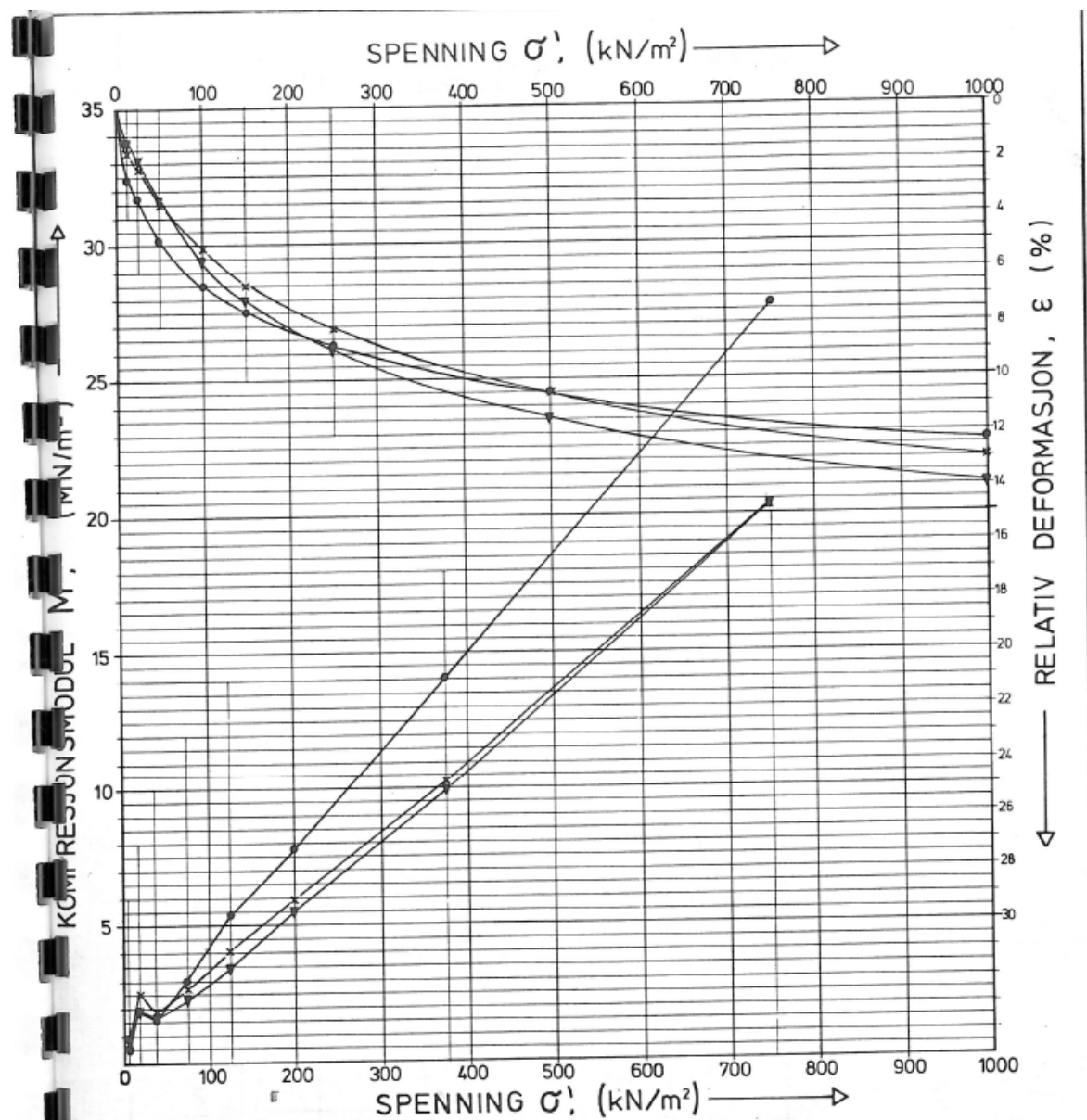
Kummeneje
Sivilingeniør Ottar Kummeneje

TRONDHEIM
GJØVIK BODD TRONDØ



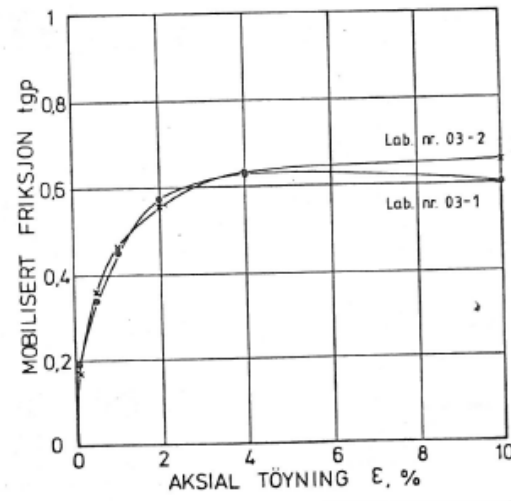
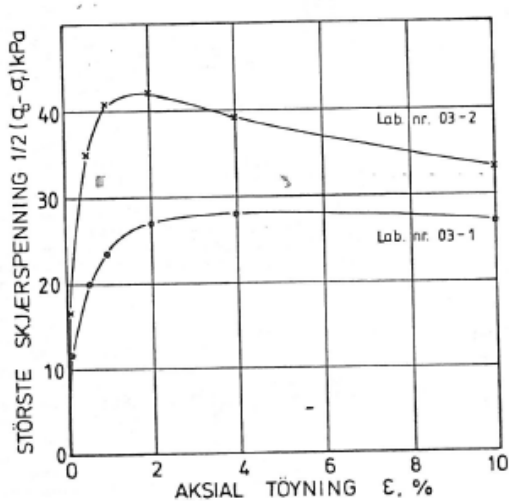
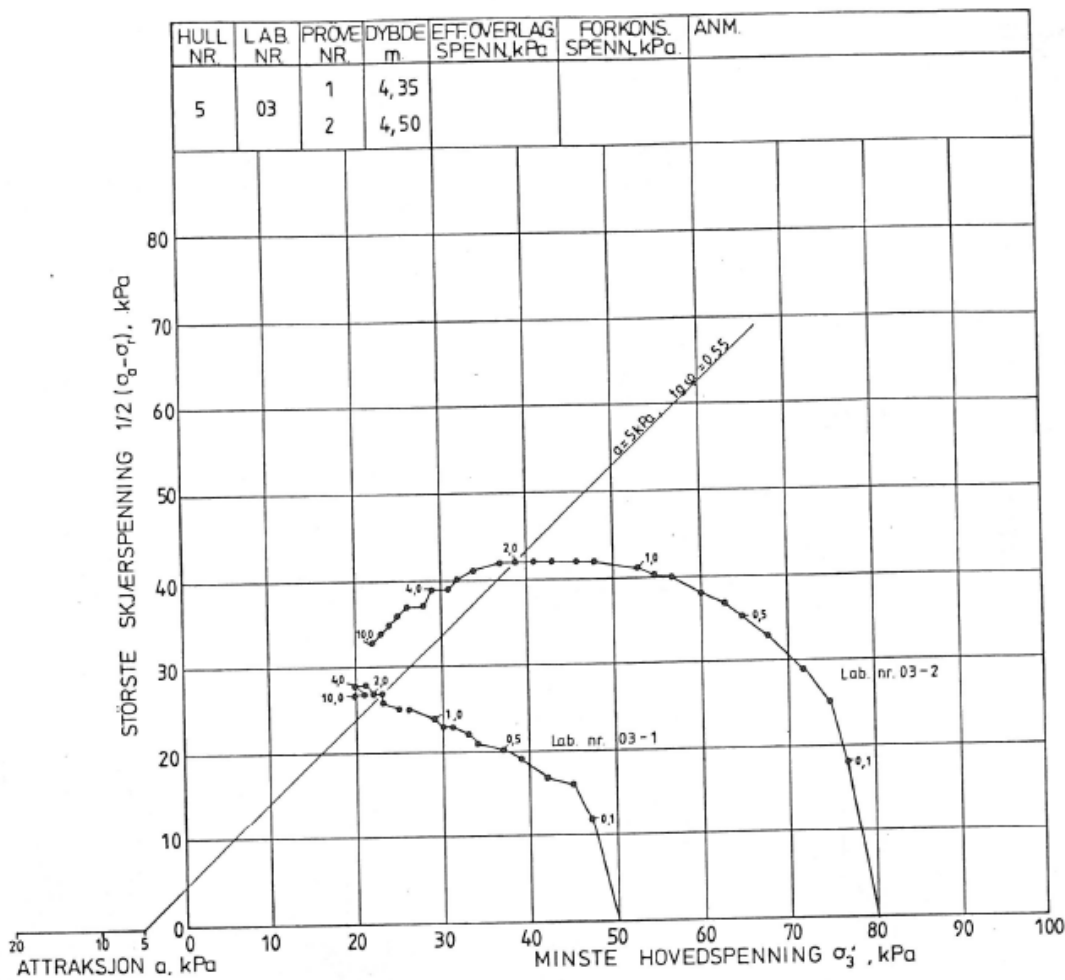
BORPROFIL

HULL: 5 TERR.NIVÅ: +13,2 PRØVE ϕ : 54 mm



PRØVEDATA, Sted: LAUVSNES Mnd/år: 02/82

LAB. NR:	HULL NR:	DYBDE: m	P'_e (kN/m²)	P'_c (kN/m²)	OCR	JORDART	ANM.
01	5	2,25				LEIRE, m. grovsand og gruskorn	•
02	5	3,40				" / " "	▼
04	5	6,25				" / " "	*
Siv. ing. OTTAR KUMMENEJE TRONDHEIM BODØ — TROMSØ						BELASTNINGSFORSØK I ØDOMETER	OPPDRAg: 3202-2
						Relativ deformasjon og kompresjonsmodul	BILAG: 4 TEGN.NR: 04



Utførte aksjoner etter 3. partskontroll



Oppdragsgiver:	Flatanger kommune			
Oppdrag:	Lauvsnes Flatanger – Områdevurdering Lauvsnes			
Oppdragsnummer:	413941			
Dato 3. partskontroll:	03.05.2011			
Dato revisjon:	10.03.2011			
Revisjonsnr. 3. partskontroll:	NGI Trondheim			
Totalt sider skjema:	11			
		Dok. nr.	Tittel	Dato
Dok. underlagt kontroll:	1	413941-1 413941-2 413941-RIG 01 413941-2, rev.1	Vurdering av områdestabilitet Lauvsnes. Beregnings- og vurderingsrapport.	10.03.2011
Utført av:			Rolf Sandven, Erik Schiøtz	
Kontrollert av:			Erling Romstad	Erling Romstad
Godkjent av:			Olav Årbogen	

Beskrivelse av oppdraget:

Notatet beskriver Multiconsults reaksjoner og planlagte oppfølging som følge av kommentarer fra NGIs uavhengige kontroll av rapport 413941-2, rev.1. Korreksjoner etter kommentarene er tatt hensyn til i vår endelige rapport 413941-2, rev.2 som utsendes om kort tid. Notatet oversendes Flatanger kommune v/Hans Petter Haukø, Arcon prosjekt v/Alf Rune Strømhylden og NGI Trondheim v/Ragnar Moholdt og Eystein Enlid.

KONTROLLSTATUS				
Kontrollkode	Forklaring	Kommentar		Kommentarkategori
OK	Kontrollert og godkjent. Eventuelt med kommentar.	TS R	TA F	Teknisk spørsmål Råd
ANM	Kontrollert med anmerkning. Godkjent med forbehold.			
IG	IKKE godkjent. Eventuelt med kommentar.	A MS	Å L	Teknisk anmerkning Forbehold Avklares Manglende samsvar Åpen Lukket
IR	Ikke relevant. Eventuelt med kommentar			

Kommentar	Utført aksjon	Kategori ¹⁾	Status ²⁾
Enkeltboringer			
Generelt	<p><i>Kommentarer fra uavhengig kontrollør omhandler i all vesentlighet stabilitetsforhold og parameterbestemmelse i Faresone 1 i Lauvsnes sentrum. Stabilitetsforholdene vil her bli vurdert i forbindelse med detaljprosjekteringen sv tilbygg på SPAR-butikken. I den forbindelse planlegges gjennomført supplerende grunnundersøkelser konsentrert langs Profil CC-2, med siktemål å forbedre parametergrunnlaget for nye stabilitetsanalyser. Dette inkluderer blant annet aktive og passive treaksialfrosøk, kontinuerlige ødometerforsøk samt poretrykksmålinger. Avklaringer knyttet til dette er gitt status IG i dette notatet, begrunnet med at dette er nødvendig for å bringe utredningsnivået i denne faresonen opp på reguleringsplannivå.</i></p> <p><i>For Faresone 2 er det vurdert og gjennomført en mindre nyansering av faresoneinndelingen, men uten nye stabilitetsvurderinger. Sikringstiltak må detaljprosjekteres i denne faresonen.</i></p> <p><i>Faresone 3 og 5 anses utredet på kommuneplannivå, men utredningsnivået gir et godt utgangspunkt for reguleringsplaner i området.</i></p> <p><i>Faresone 4 anses utredet på reguleringsplannivå.</i></p>	-	-
1 Tolking av kvikkleire – metode	<u>Kommentar:</u> Ingen <u>Handling:</u> Ingen	OK	L
2 Tilstrekkelig boredybde iht topografi	<u>Kommentar:</u> Ingen <u>Handling:</u> Ingen	OK	L
3 Kvalitetsklasse kontrollert	<u>Kommentar:</u> Ingen <u>Handling:</u> Ingen	OK	L
Type undersøkelser			
4 DTR/Totalsondering for sone-Begrensning	<u>Kommentar:</u> Ingen <u>Handling:</u> Ingen	OK	L
5 CPTU/prøvetaking eller vingeboring for parametertolkning	<u>Kommentar:</u> Ingen <u>Handling:</u> Ingen	OK	L
Omfang			
6 Tilstrekkelig mengde til å begrunne soneendring	<u>Kommentar:</u> Ingen <u>Handling:</u> Ingen	OK	L
7 Vurdert behov for undersøkelser utenfor sonen	<u>Kommentar:</u> Ingen <u>Handling:</u> Ingen	OK	L
Materialparametre for bruk i stabilitetsanalyser			

8 Dokumentert grunnlag for valg av parametre	<p><u>Kommentar:</u> <i>Både uavhengig kontrollør og Multiconsult har foreslått supplerende grunnundersøkelser i Faresone 1 for blant annet å forbedre parametergrunnlag og lagdelingsforutsetninger, spesielt i profil CC-2. Spesielt bør opptak av prøver med uforstyrret prøvekvalitet vektlegges. Laboratorieundersøkelsene bør omfatte aktive og passive treaksialforsøk, samt ødometerforsøk. Utbredelsen av kvikkleire bør undersøkes nærmere, også utover i marbakken.</i></p> <p><u>Handling:</u> Supplerende grunnundersøkelser, blant annet med flere ødometer-, aktive og passive treaksialforsøk samt poretrykksmålinger skal gjennomføres for tilbygg på SPAR-butikken. Disse forventes å gi bedre grunnlag for bestemmelse av designparametre, poretrykksfordeling og anisotropiforhold.</p>	ANM	Å
9 Konsolideringsforhold vurdert fra terrenget/ødometer, sammenligning med CPTU	<p><u>Kommentar:</u> <i>Ingen</i></p> <p><u>Handling:</u> <i>Ingen</i></p> <p>Merknad: Supplerende grunnundersøkelser, blant annet med flere ødometer-, aktive og passive treaksialforsøk skal gjennomføres for tilbygg på SPAR-butikken. Disse forventes å gi bedre parametergrunnlag for stabilitetsanalysene i Faresone 1, se pkt. 40.</p>	OK	L
10 Anisotropi vurdert	<p><u>Kommentar:</u> <i>Ingen</i></p> <p><u>Handling:</u> <i>Ingen</i></p>	OK	L
11 Brukt prinsipp om tøynings-kompatibilitet, også ved valg av anisotropiforhold	<p><u>Kommentar:</u> <i>Ingen</i></p> <p><u>Handling:</u> <i>Ingen</i></p>	OK	L
12 Tolkning av udrenert skjærfasthet fra CPTU	<p><u>Kommentar:</u> <i>Ingen</i></p> <p><u>Handling:</u> <i>Ingen</i></p> <p>Merknad: Supplerende grunnundersøkelser, blant annet med flere ødometer-, aktive og passive treaksialforsøk skal gjennomføres for tilbygg på SPAR-butikken. Disse forventes å gi bedre parametergrunnlag for stabilitetsanalysene i Faresone 1, se pkt. 40.</p>	OK	L
13 Justert skjærfasthet i forhold til eventuelle terregendringer	<p><u>Kommentar:</u> <i>Ingen</i></p> <p><u>Handling:</u> <i>Ingen</i></p>	OK	L
14 Reduksjon av s_u fra blokkprøver	<p><u>Kommentar:</u> <i>Ingen</i></p> <p><u>Handling:</u> <i>Ingen</i></p>	OK	L

15 Reduksjon av s_u fra CPTU for sensitive leirer	<u>Kommentar:</u> Ingen <u>Handling:</u> Ingen	OK	L
16 Korreksjon av s_u fra vingebor	<u>Kommentar:</u> Ingen <u>Handling:</u> Ingen	IR	L
17 Årstidsvariasjoner ved poretrykksbestemmelser vurdert	<u>Kommentar:</u> Ingen <u>Handling:</u> Ingen pålagte. Merknad: Det skal gjennomføres videre utredningsarbeid i forbindelse med tilbygg SPAR Flatanger, blant annet med oppfølging av poretrykk i byggefase. Nye målinger vil bli foretatt i 2 nye fjernavleste piezometerstasjoner i den forbindelse slik at eventuelle årstidsvariasjoner kan vurderes.	OK	L
18 Minimum en piezometerstasjon med piezometre i to dybder	<u>Kommentar:</u> Ingen <u>Handling:</u> Ingen pålagte. Merknad: Det skal gjennomføres videre utredningsarbeid i forbindelse med tilbygg SPAR Flatanger, blant annet med oppfølging av poretrykk i byggefase. Nye målinger vil bli foretatt i 2 nye fjernavleste piezometerstasjoner i den forbindelse slik at eventuelle årstidsvariasjoner kan vurderes, se pkt. 40.	OK	L
19 Valg av designparametre – udrenert skjærfasthet	<u>Kommentar:</u> Både uavhengig kontrollør og Multiconsult har foreslått supplerende grunnundersøkelser i Faresone 1 for blant annet å forbedre parametergrunnlag og lagdelingsforutsetninger, spesielt i profil CC-2 . Spesielt bør opptak av prøver med uforstyrret prøvekvalitet vektlegges. Laboratorieundersøkelsene bør omfatte aktive og passive treaksialforsøk, samt ødometerforsøk. Utbredelsen av kvikkleire bør undersøkes nærmere, også utover i marbakken. <u>Handling:</u> Supplerende grunnundersøkelser, blant annet med flere ødometer-, aktive og passive treaksialforsøk samt poretrykksmålinger skal gjennomføres for tilbygg på SPAR-butikken. Disse forventes å gi bedre grunnlag for bestemmelse av designparametre, poretrykksfordeling og anisotropiforhold.	ANM	Å
20 Valg av designparametre – effektivspenningsparametre	<u>Kommentar:</u> Ingen <u>Handling:</u> Ingen pålagte	OK	L

	<p>Merknad: Supplerende grunnundersøkelser, blant annet med flere ødometer-, aktive og passive treaksialforsøk skal gjennomføres for tilbygg på SPAR-butikken. Disse forventes å gi bedre parametergrunnlag for stabilitetsanalysene i Faresone 1, se pkt. 40.</p>		
21 Valg av designparametre – anisotropiforhold	<p><u>Kommentar:</u> <i>Både uavhengig kontrollør og Multiconsult har foreslått supplerende grunnundersøkelser i Faresone 1 for blant annet å forbedre parametergrunnlag og lagdelingsforutsetninger, spesielt i profil CC-2. Spesielt bør opptak av prøver med uforstyrret prøvekvalitet vektlegges. Laboratorieundersøkelsene bør omfatte aktive og passive treaksialforsøk, samt ødometerforsøk. Utbredelsen av kvikkleire bør undersøkes nærmere, også utover i marbakken.</i></p> <p><u>Handling:</u> Supplerende grunnundersøkelser, blant annet med flere ødometer-, aktive og passive treaksialforsøk samt poretrykksmålinger skal gjennomføres for tilbygg på SPAR-butikken. Disse forventes å gi bedre grunnlag for bestemmelse av designparametre, poretrykksfordeling og anisotropiforhold, se pkt. 40.</p>	ANM	Å
22 Valg av designparametre – tyngdetethet	<p><u>Kommentar:</u> <i>Ingen</i></p> <p><u>Handling:</u> <i>Ingen</i></p>	OK	L
Profilvalg – bruddtyper			
23 Profillassering (basert på OCR -forhold, høydeforskjeller, erosjonsforhold og lignende)	<p><u>Kommentar:</u> <i>Ingen</i></p> <p><u>Handling:</u> <i>Ingen</i></p>	OK	L
24 Lokal og global stabilitet undersøkt – påvisning av kritisk flate	<p><u>Kommentar:</u> <i>Nye detaljerte stabilitetsberegninger utføres for vurdering av stabilitetsforholdene i Faresone 1, med utgangspunkt i tilbygget på SPAR-butikken. Beregningene utføres med reviderte forutsetninger for beregningsparametre og geometri.</i></p> <p><u>Handling:</u> Detaljerte stabilitetsanalyser med vurdering av stabiliseringstiltak i Faresone 1 (Lauvsnes sentrum) basert på reviderte parameterverdier skal gjennomføres som en del av detaljprosjekteringen for tilbygg til SPAR-butikken. Dette inkluderer supplerende stabilitetsvurdering i den nordlige sonen der grunnforholdene i sjøen er noe bedre. Supplerende grunnundersøkelser forventes å gi bedre parametergrunnlag for stabilitetsanalysene.</p>	IG	Å
25 Alle aktuelle skredtyper vurdert	<p><u>Kommentar:</u> <i>Ingen</i></p> <p><u>Handling:</u> <i>Ingen</i></p>	OK	L

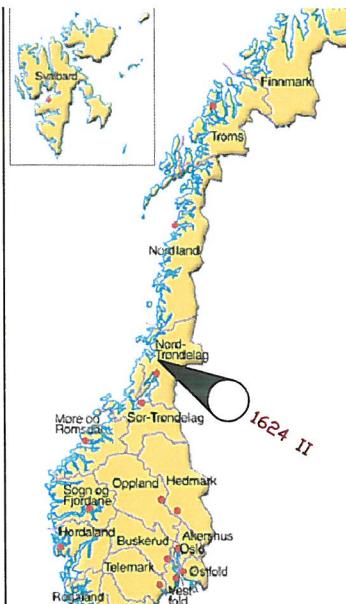
26 Skred fra utenfra området vurdert	<u>Kommentar:</u> Ingen <u>Handling:</u> Ingen	IR	L
Analyse			
27 Dagens og fremtidig situasjon – drenert jordoppførsel	<p><u>Kommentar:</u> Nye detaljerte stabilitetsberegninger utføres for vurdering av stabilitetsforholdene i Faresone 1, med utgangspunkt i tilbygget på SPAR-butikken. Beregningene utføres med reviderte forutsetninger for beregningsparametere og geometri.</p> <p><u>Handling:</u> Detaljerte stabilitetsanalyser med vurdering av stabiliseringstiltak i Faresone 1 (Lauvsnes sentrum) basert på reviderte parameterverdier skal gjennomføres som en del av detaljprosjekteringen for tilbygg til SPAR-butikken. Dette inkluderer supplerende stabilitetsvurdering i den nordlige sonen der grunnforholdene i sjøen er noe bedre. Supplerende grunnundersøkelser forventes å gi bedre parametergrunnlag for stabilitetsanalysene, se pkt. 40.</p>	IG	Å
28 Dagens og fremtidig situasjon – udrenert jordoppførsel (ADP anvendt eller s_u redusert tilstrekkelig iht anisotropiforhold	<p><u>Kommentar:</u> Nye detaljerte stabilitetsberegninger utføres for vurdering av stabilitetsforholdene i Faresone 1, med utgangspunkt i tilbygget på SPAR-butikken. Beregningene utføres med reviderte forutsetninger for beregningsparametere og geometri.</p> <p><u>Handling:</u> Detaljerte stabilitetsanalyser med vurdering av stabiliseringstiltak i Faresone 1 (Lauvsnes sentrum) basert på reviderte parameterverdier skal gjennomføres som en del av detaljprosjekteringen for tilbygg til SPAR-butikken. Dette inkluderer supplerende stabilitetsvurdering i den nordlige sonen der grunnforholdene i sjøen er noe bedre. Supplerende grunnundersøkelser forventes å gi bedre parametergrunnlag for stabilitetsanalysene, se pkt. 40.</p>	IG	Å
29 Anvendt beregningsprogram basert på grenselikevektsmetoden eller elementmetoden	<u>Kommentar:</u> Ingen <u>Handling:</u> Ingen	OK	L
30 Valgfri metode: Skjærtøyning langs kritisk glideflate sammenlignet med kurver fra treaksialforsøk	<u>Kommentar:</u> Ingen <u>Handling:</u> Ingen	OK	L
31 Modellering - lagdeling - tørrskorpe modellert, evtl. med vannfylt sprekk - fasthetsprofiler	<u>Kommentar:</u> Nye detaljerte stabilitetsberegninger utføres for vurdering av stabilitetsforholdene i Faresone 1 , med utgangspunkt i tilbygget på SPAR-butikken. Beregningene utføres med reviderte forutsetninger for beregningsparametere og geometri.	ANM	Å

(nivåer/interpolering) - grunnvannstand, poretrykksprofiler	<u>Handling:</u> Detaljerte stabilitetsanalyser med vurdering av stabiliseringstiltak i Faresone 1 (Lauvsnes sentrum) basert på reviderte parameterverdier skal gjennomføres som en del av detaljprosjekteringen for tilbygg til SPAR-butikken. Dette inkluderer supplerende stabilitetsvurdering i den nordlige sonen der grunnforholdene i sjøen er noe bedre. Supplerende grunnundersøkelser forventes å gi bedre parametergrunnlag for stabilitetsanalysene, se pkt. 40.		
Sikkerhetsnivå – krav til dokumentasjon			
32 Beregnet materialkoeffisient γ_m	<p><u>Kommentar:</u> Nye detaljerte stabilitetsberegninger utføres for vurdering av stabilitetsforholdene i Faresone 1, med utgangspunkt i tilbygget på SPAR-butikken. Beregningene utføres med reviderte forutsetninger for beregningsparametere og geometri.</p> <p><u>Handling:</u> Detaljerte stabilitetsanalyser med vurdering av stabiliseringstiltak i Faresone 1 (Lauvsnes sentrum) basert på reviderte parameterverdier skal gjennomføres. Dette inkluderer supplerende stabilitetsvurdering i den nordlige sonen der grunnforholdene i sjøen er noe bedre. Supplerende grunnundersøkelser forventes å gi bedre parametergrunnlag for stabilitetsanalysene. Geometriforutsetningene på land vurderes.</p>	IG	Å
33 Nødvendig prosentvis forbedring vurdert ved $\gamma_m < 1,4$	<p><u>Kommentar:</u> Nye detaljerte stabilitetsberegninger utføres for vurdering av stabilitetsforholdene i Faresone 1, med utgangspunkt i tilbygget på SPAR-butikken. Beregningene utføres med reviderte forutsetninger for beregningsparametere og geometri.</p> <p><u>Handling:</u> Detaljerte stabilitetsanalyser med vurdering av stabiliseringstiltak i Faresone 1 (Lauvsnes sentrum) basert på reviderte parameterverdier skal gjennomføres. Dette inkluderer supplerende stabilitetsvurdering i den nordlige sonen der grunnforholdene i sjøen er noe bedre. Supplerende grunnundersøkelser forventes å gi bedre parametergrunnlag for stabilitetsanalysene, se pkt. 40.</p>	IG	Å
34 Tilleggskrav med hensyn til erosjon etc.	<p><u>Kommentar:</u> Ingen</p> <p><u>Handling:</u> Ingen</p>	OK	L
35 Krav om mer avanserte grunnundersøkelser	<u>Kommentar:</u> Både uavhengig kontrollør og Multiconsult har foreslått supplerende grunnundersøkelser i Faresone 1 for blant annet å forbedre parametergrunnlag og lagdelingsforutsetninger, spesielt i profil CC-2 . Spesielt bør opptak av prøver med uforstyrret prøvekvalitet vektlegges. Laboratorieundersøkelsene bør omfatte aktive og passive	ANM	Å

	<p><i>treaksialforsøk, samt ødometerforsøk. Utbredelsen av kvikkleire bør undersøkes nærmere, også utover i marbakken.</i></p> <p><u>Handling:</u> Supplerende grunnundersøkelser, blant annet med flere ødometer-, aktive og passive treaksialforsøk samt poretrykksmålinger skal gjennomføres for tilbygg på SPAR-butikken. Disse forventes å gi bedre grunnlag for bestemmelse av designparametre, poretrykksfordeling og anisotropiforhold.</p>		
36 Oppdatere faregradsevaluering	<p><u>Kommentar:</u> Ingen</p> <p><u>Handling:</u> Ingen</p>	OK	L
Kontrollkrav			
37 Gjennomført internkontroll dokumentert	<p><u>Kommentar:</u> Ingen</p> <p><u>Handling:</u> Ingen</p>	OK	L
Tiltak			
38 Ved behov: Tiltak for å bedre områdets stabilitet vurdert og dokumentert	<p><u>Kommentar:</u> Nye detaljerte stabilitetsberegninger utføres for vurdering av stabilitetsforholdene i Faresone 1, med utgangspunkt i tilbygget på SPAR-butikken. Beregningene utføres med reviderte forutsetninger for beregningsparametre og geometri. Detaljprosjektering av foreslått motfylling forutsettes i forbindelse med stabiliseringstiltak i Faresone 2.</p> <p><u>Handling:</u> Detaljerte stabilitetsanalyser med vurdering av stabiliseringstiltak i Faresone 1 (Lauvsnes sentrum) basert på reviderte parameterverdier skal gjennomføres. Dette inkluderer supplerende stabilitetsvurdering i den nordlige sonen der grunnforholdene i sjøen er noe bedre. Supplerende grunnundersøkelser forventes å gi bedre parametergrunnlag for stabilitetsanalysene, se pkt. 40. Detaljprosjektering av foreslått motfylling vil bli gjennomført i Faresone 2, som grunnlag for gjennomføring av nye tiltak i området. Alternative tiltak vurderes hvis ikke reviderte forutsetninger er tilstrekkelig for forbedring av stabiliteten.</p>	IG	Å
39 Vurdert behov for soneendring	<p><u>Kommentar 1:</u> I den nordligste del av Faresone 1 overlapper denne med Delområde D hvor det anbefales prosjektering iht NS 3480, dvs NVEs retningslinjer settes til side.</p> <p><u>Handling 1:</u> NVEs retningslinjer skal gjelde for hele utredningsområdet, og teksten korrigeres på dette punktet slik at det er NVEs retningslinjer som er gjeldende.</p> <p><u>Kommentar 2:</u> Faresone 2 strekker seg helt opp til skolen og overlapper i øverste del av sonen med Delområde D, der enklere saksgang kan tillates. Uavhengig kontrollør NGI er enig med</p>	ANM	Å

	<p><i>Multiconsult om at enklere saksgang kan tillates for den øverste delen av den inntegnede faresonen. NGI foreslår at Multiconsult vurderer å begrense utstrekningen av faresonen oppover ved ca. kt 15. Lokal forekomst av kvikkleire ved Flatangerhallen avmerkes på kart, men uten å være del av en faresone.</i></p> <p><u>Handling 2:</u> Multiconsult tar bare forslaget om revurdering av sonegeometri delvis tilfølge. Vi opprettholder Faresone 2 med kontinuerlig kvikkleire opp mot skolen. Det innføres en overgangssone der det tillates enklere saksgang, markert med grønn skravur i tegning 413941-4 rev. 2. Som tidligere påpekt av NGI er det ikke utelukket at deler av overgangssone er representert med kvikkleire i grunnen, noe som åpner for kontinuerlige kvikkleirelag eller større lommer med kvikkleire i denne delen av Faresone 2.</p>		
40 Vurdert behov for supplerende grunnundersøkelser	<p><u>Kommentar:</u> <i>Både uavhengig kontrollør og Multiconsult har foreslått supplerende grunnundersøkelser i Faresone 1 for blant annet å forbedre parametergrunnlag og lagdelingsforutsetninger, spesielt i profil CC-2. Spesielt bør opptak av prøver med uforstyrret prøvekvalitet vektlegges. Laboratorieundersøkelsene bør omfatte aktive og passive treaksialforsøk, samt ødometerforsøk. Utbredelsen av kvikkleire bør undersøkes nærmere, også utover i marbakken.</i></p> <p><u>Handling:</u> Supplerende grunnundersøkelser, blant annet med flere ødometer-, aktive og passive treaksialforsøk samt poretrykksmålinger skal gjennomføres for tilbygg på SPAR-butikken. Multiconsult har forutsatt følgende borprogram for supplerende grunnundersøkelser:</p> <p><u>Feltundersøkelser</u></p> <ul style="list-style-type: none"> • Dreietrykksonderinger: 2 til 3 punkt • Trykksonderinger med poretrykksmåling, CPTU: 2 til 3 punkt • Uforstyrrede prøveserier, Ø76 mm diameter: 1 til 2 punkt • Poretrykksmålinger m/fjernavlesning: 2 nivåer i 2 stasjoner, tilsvarende <p><u>Laboratorieundersøkelser</u></p> <ul style="list-style-type: none"> • Rutineundersøkelser på opptatte prøver: 8 sylinder • Kontinuerlige ødometerforsøk: 2 forsøk 	ANM	Å

	<ul style="list-style-type: none"> • Treaksialforsøk, aktive: <p>4 forsøk</p> <ul style="list-style-type: none"> • Treaksialforsøk, passive: <p>2 forsøk</p> <p>Forsøksprogrammet forventes å gi bedre grunnlag for bestemmelse av designparametre, poretrykksfordeling og anisotropiforhold. Dette vil gi sikrere vurdering av stabiliteten i området, noe som vil være avgjørende i forhold til gjennomførbarheten av prosjektet.</p>		
41 Oppdatert skadekonsekvens- og faregradsevaluering (ROS-analyse)	<u>Kommentar:</u> Ingen <u>Handling:</u> Ingen	OK	L
42 Faresone- og skadekonsekvensvurdering	<u>Kommentar:</u> Ingen <u>Handling:</u> Ingen	OK	L
Helhetsvurdering/Tilleggskommentar			
Diverse			
	<u>Kommentar:</u> <i>Når utredningen er ferdig må rapport sendes til NVE for implementering av faresonen (med evaluering) i den nasjonale databasen.</i> <u>Handling:</u> Dette vil bli gjort etter at stabiliteten i Faresone 1 er ferdig utredet på reguleringsplannivå.		



OVERSIKTSKART

FLATANGER KOMMUNE LAUVNES

MULTICONSULT AS

7486 Trondheim
Tlf: 73 10 62 00 - Faks: 73 10 62 30/70

Dato
19.05.2010

Oppdragsnr.
413941

Tegnet
JMP

Tegningsnr.
0

Malestokk

1:50 000

Kontrollert
[Signature]

Borplan nr.

-1



Rev.



REFUGEE MIGRATION:
THEORY AND PRACTICE

- LEGENDE:**

 - DREESONDERING
 - ENKEL SONDERING
 - ▼ RAMSONDERING
 - ① TOTALSONDERING
 - ❖ FJELLKONTROLLBORING
 - KUERNEBORING
 - ◆ DREIETRYKKSONDERING
 - ☒ SKRUPPLATEFØRSØK
 - ◎ PRØVESERIE
 - PRØVERGRUPP
 - ▽ TRYKKSØNDERING
 - + VINGEBORING
 - ⊖ PØRETRYKK
 - ^ ^ ^ FJELL | DA
 - TERRENGKODE/SJEBUNNKNODE BURRET DYBDE + (BØRET I FJELL)

LÅRDOK INN, 2000
KARTGRUNNLAG: DIGITALT KART FRA FLATANGER KOMMUNE
HØYDREFERANSE: NGO (NN 1954)
KOORDINATSYSTEM: EUREF 89 SONE 32V
UTGANGSPUNKT FOR NIVELLEMENT: BORPUNKT INNMÅLT AV FLATANGER KOMMUNE, GPS LEICA RX1250X

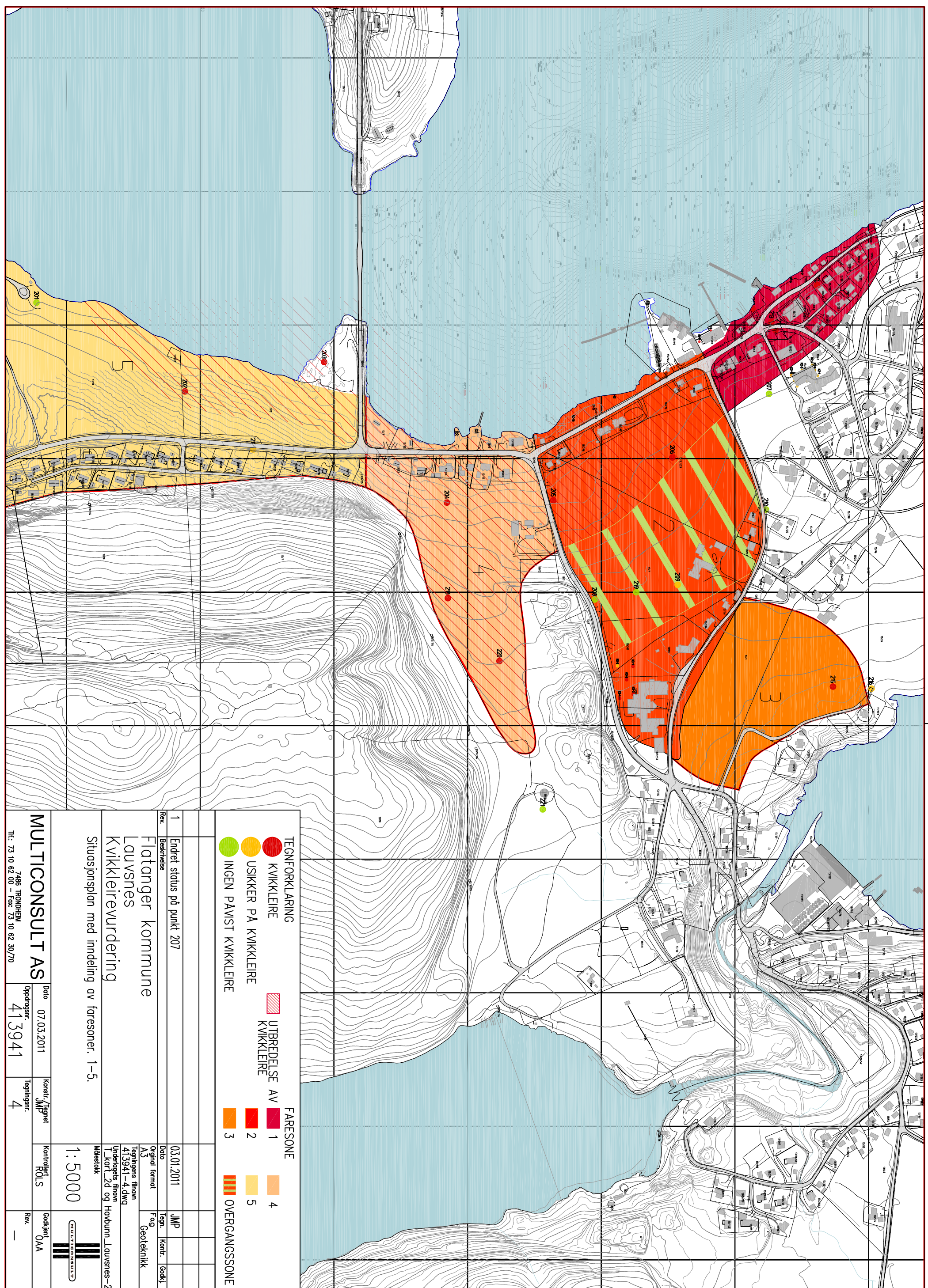
TIDLIGERE BORINGER:

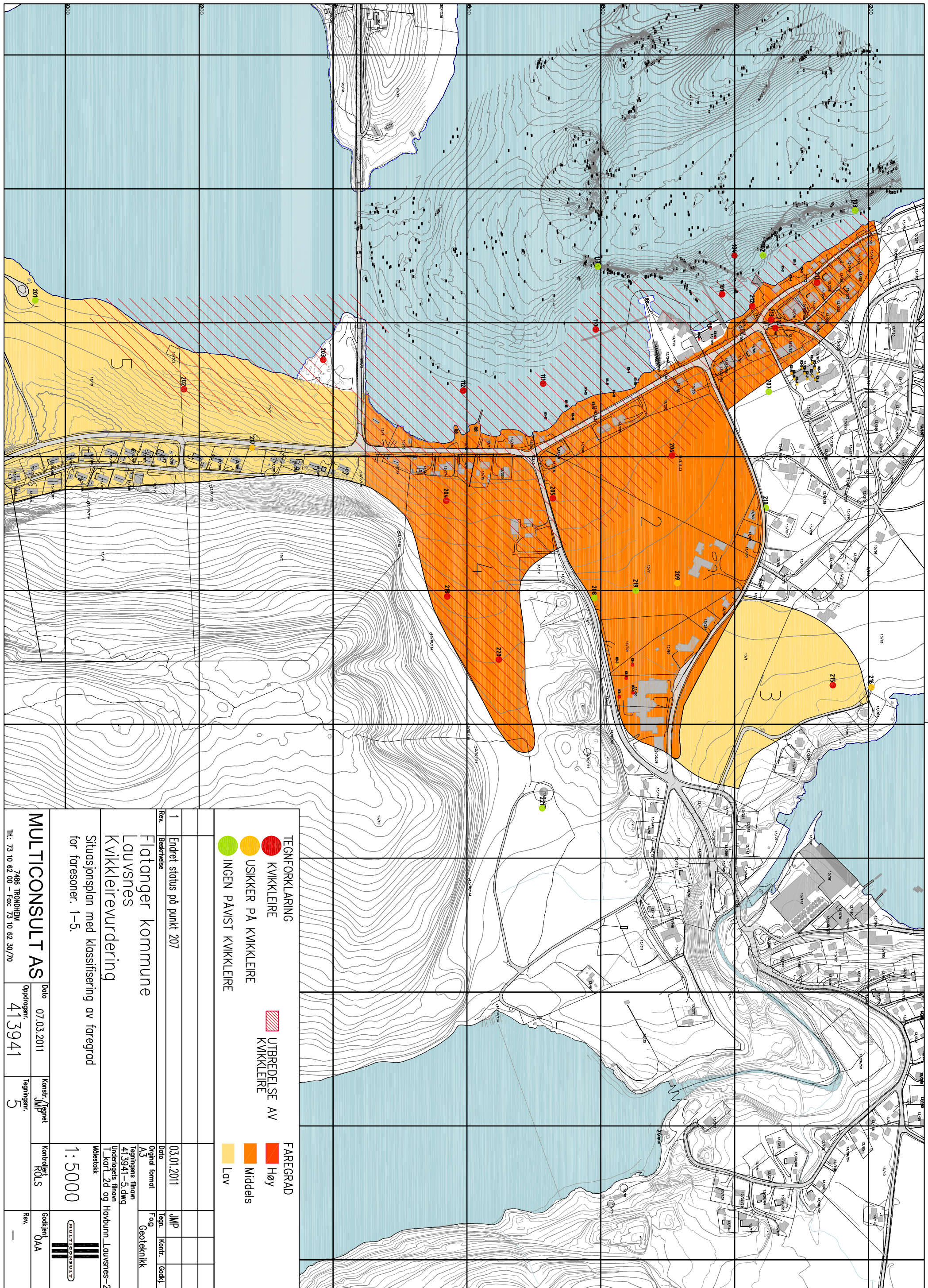
Tidligere boringer er angitt med indeksnr. foran borhullsnr:
K1-X: BORINGER FRA KJEMMFNF/RAPPORT NR. 0 6445-1 (1987)

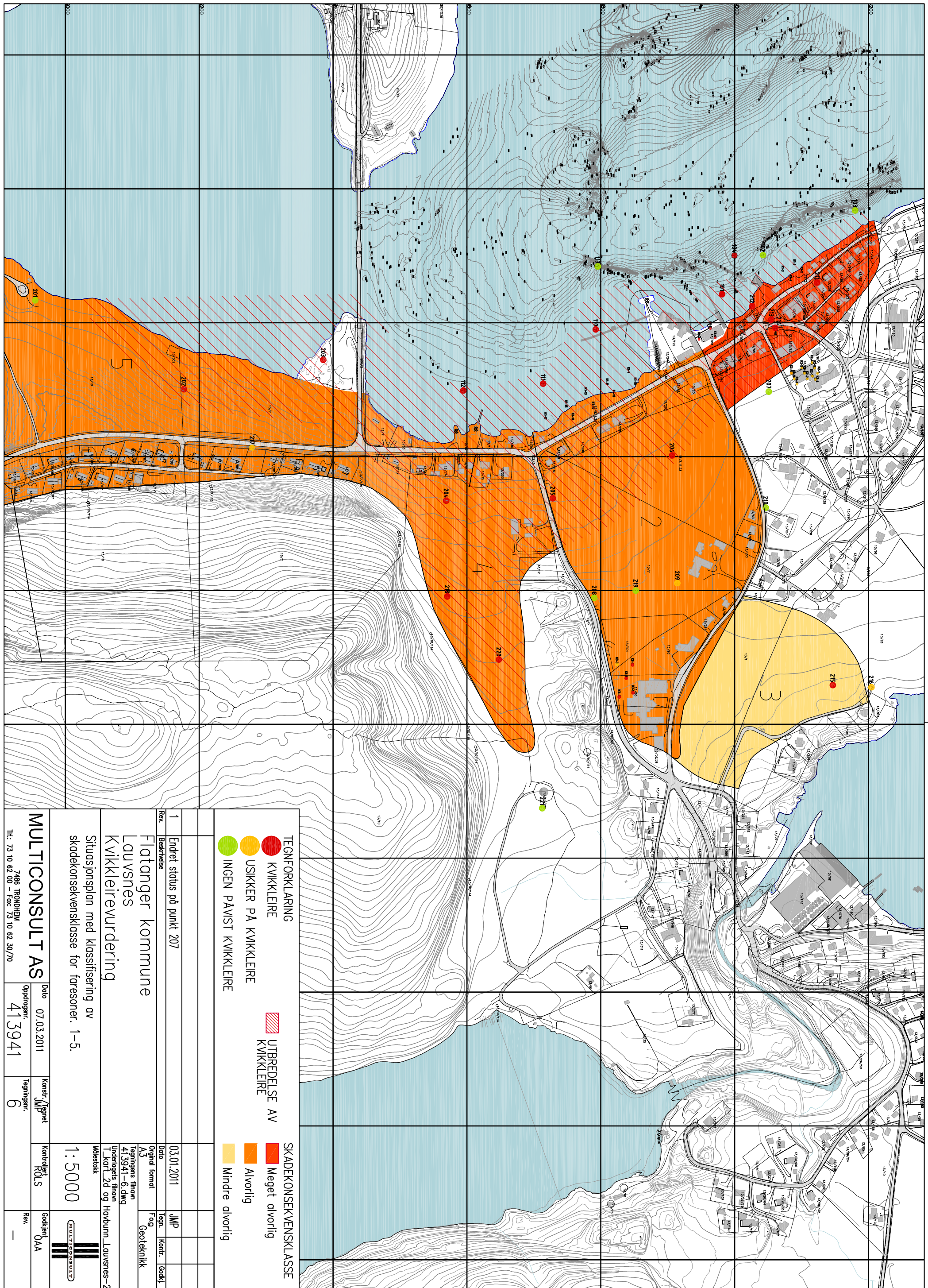
Beskrivelse	Dato	Tegn.	Kontr.	Godkj.
	Original format	Fag		
FLATANGER KOMMUNE LAUVSNES GRUNNUNDERSSØKELSER	A0 Tegningens filnavn 43941-1.dwg Underlagets filnavn T_kart_2d og Havbunn_Lauvsnes-2	geoteknikk		
BORPLAN	Målestokk	■■■		

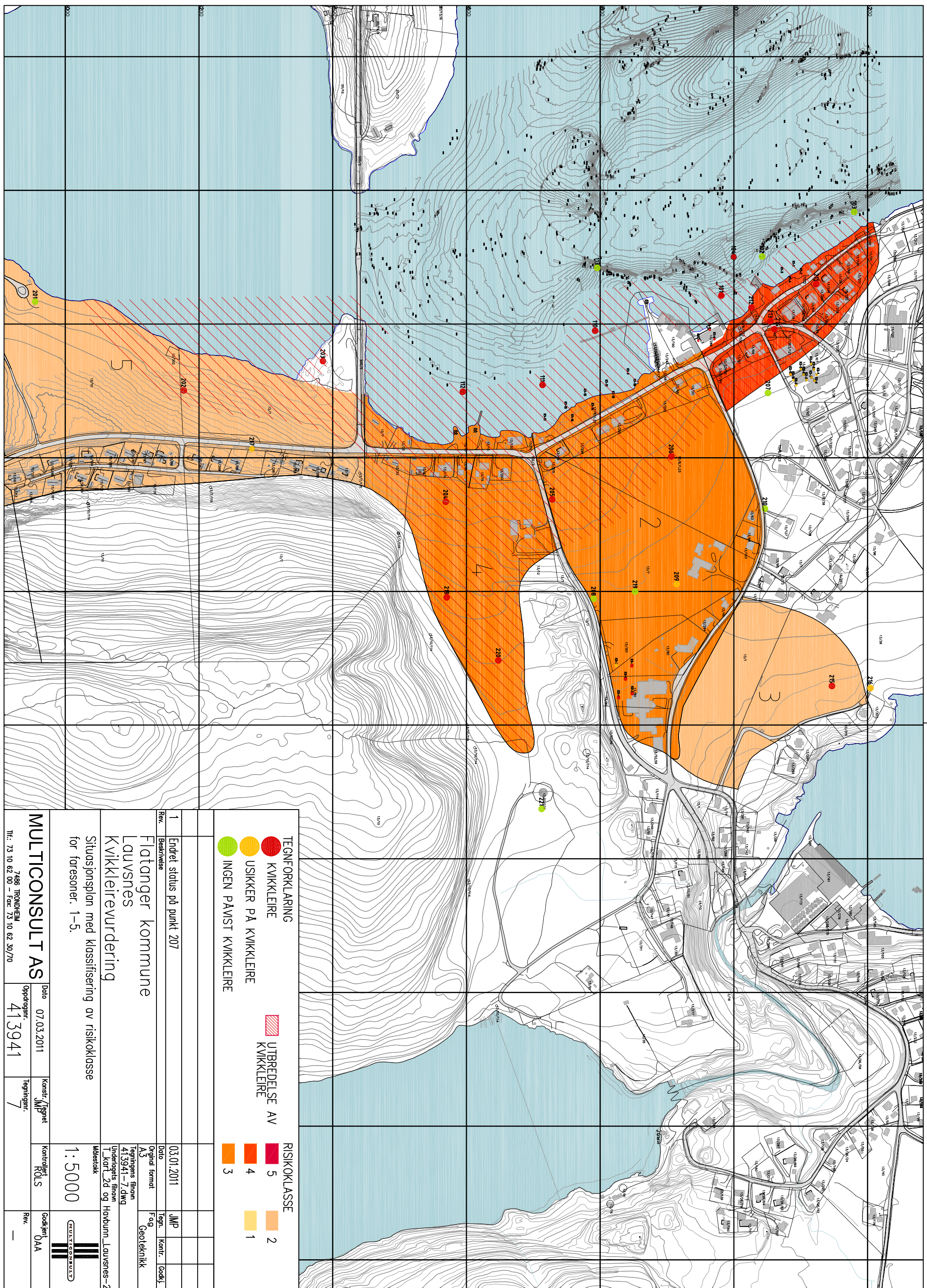


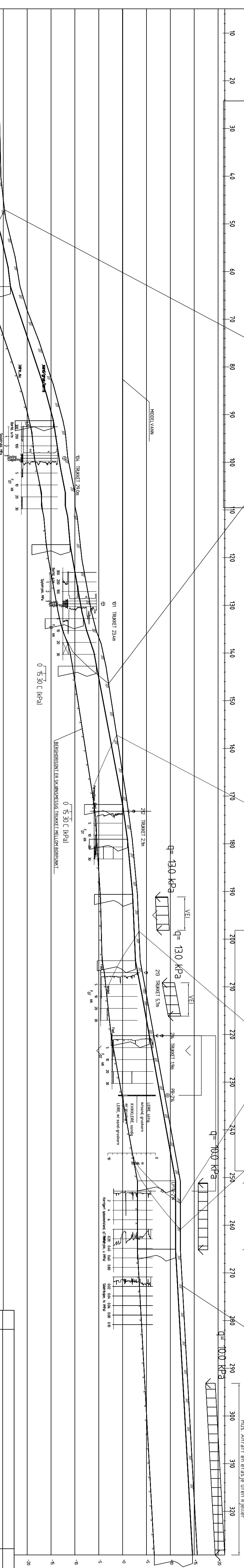
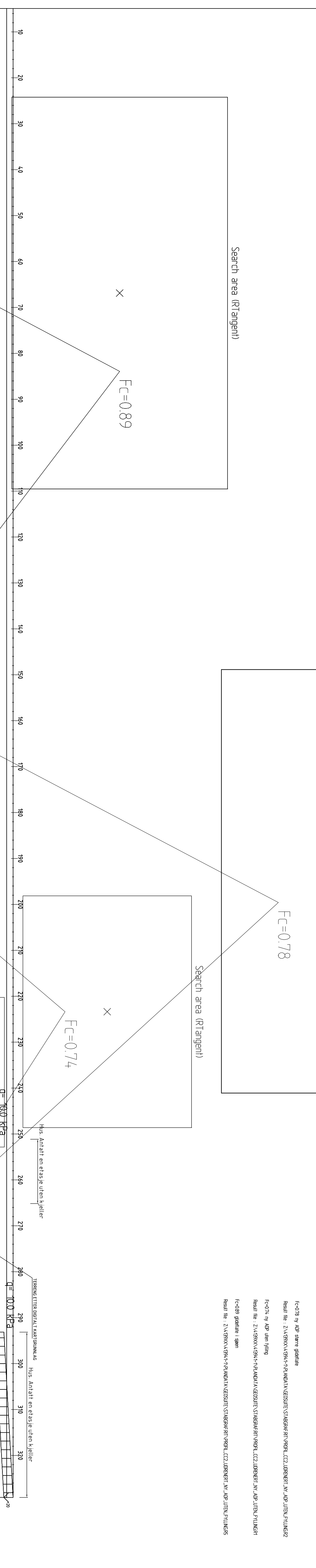
Rev.	Beskrivelse	Dato	Tegn.	Kontr.	Godkj.
	FLATANGER KOMMUNE LAUVSNES GRUNNUNDERSØKELSER	Original format	Føg		
	SJØBUNNSKART	A2	geoteknikk		
		Tegningens filnavn	413941-2-sjøbunnskoter.dwg		
		Underlagets filnavn	T_kart_2D_og_Havbunn_Lauvsnes-2		
		Målestokk	1: 2000		
		Multiconsult			
	MULTICONSPORT AS	Dato	11.06.2010	Konstr./Tegnet	Kontrollert
		Oppdragsnr.	JMP		Godkjent
		Tegningsnr.	413941	2	
		Rev.			











Fc=0.74 NY ADP UTEN FYLING
Result file : Z:\4139XX\413941-N\PLANDATA\GEOSUITE\STABGRAF-RIT\PROFIL_CC2.UJRENERT_NY_ADP_UTEN_FYLING.R1
Fc=0.89 gjeldtate i spon

Result file : Z:\4139XX\413941-N\PLANDATA\GEOSUITE\STABGRAF-RIT\PROFIL_CC2.UJRENERT_NY_ADP_UTEN_FYLING.R5

Parsa gjifor
sammensatt, Fcf=2,07
Result file : Z:\439XX\4394\PLANDATA\SEGSUITE\STABGRAFI\PROFLCC2.DREHENT.REV37

Search area (Rangene)

alle laster, venstre side, Fcf=2,07

Search area (Rangene)
all laster, Fcf=1,86
Result file : Z:\439XX\4394\PLANDATA\SEGSUITE\STABGRAFI\PROFLCC2.DREHENT.REV36

Search area (Rangene)

Search area (Rangene)
alle laster, Fcf=1,86
Result file : Z:\439XX\4394\PLANDATA\SEGSUITE\STABGRAFI\PROFLCC2.DREHENT.REV35

Search area (Rangene)

Search area (Rangene)
all laster, Fcf=1,86
Result file : Z:\439XX\4394\PLANDATA\SEGSUITE\STABGRAFI\PROFLCC2.DREHENT.REV34

Search area (Rangene)

Search area (Rangene)
alle laster, Fcf=1,86
Result file : Z:\439XX\4394\PLANDATA\SEGSUITE\STABGRAFI\PROFLCC2.DREHENT.REV33

Search area (Rangene)

Search area (Rangene)
alle laster, Fcf=1,86
Result file : Z:\439XX\4394\PLANDATA\SEGSUITE\STABGRAFI\PROFLCC2.DREHENT.REV32

Search area (Rangene)

Search area (Rangene)
alle laster, Fcf=1,86
Result file : Z:\439XX\4394\PLANDATA\SEGSUITE\STABGRAFI\PROFLCC2.DREHENT.REV31

Search area (Rangene)

Search area (Rangene)
alle laster, Fcf=1,86
Result file : Z:\439XX\4394\PLANDATA\SEGSUITE\STABGRAFI\PROFLCC2.DREHENT.REV30

Search area (Rangene)

Search area (Rangene)
alle laster, Fcf=1,86
Result file : Z:\439XX\4394\PLANDATA\SEGSUITE\STABGRAFI\PROFLCC2.DREHENT.REV29

Search area (Rangene)

Search area (Rangene)
alle laster, Fcf=1,86
Result file : Z:\439XX\4394\PLANDATA\SEGSUITE\STABGRAFI\PROFLCC2.DREHENT.REV28

Search area (Rangene)

Search area (Rangene)
alle laster, Fcf=1,86
Result file : Z:\439XX\4394\PLANDATA\SEGSUITE\STABGRAFI\PROFLCC2.DREHENT.REV27

Search area (Rangene)

Search area (Rangene)
alle laster, Fcf=1,86
Result file : Z:\439XX\4394\PLANDATA\SEGSUITE\STABGRAFI\PROFLCC2.DREHENT.REV26

Search area (Rangene)

Search area (Rangene)
alle laster, Fcf=1,86
Result file : Z:\439XX\4394\PLANDATA\SEGSUITE\STABGRAFI\PROFLCC2.DREHENT.REV25

Search area (Rangene)

Search area (Rangene)
alle laster, Fcf=1,86
Result file : Z:\439XX\4394\PLANDATA\SEGSUITE\STABGRAFI\PROFLCC2.DREHENT.REV24

Search area (Rangene)

Search area (Rangene)
alle laster, Fcf=1,86
Result file : Z:\439XX\4394\PLANDATA\SEGSUITE\STABGRAFI\PROFLCC2.DREHENT.REV23

Search area (Rangene)

Search area (Rangene)
alle laster, Fcf=1,86
Result file : Z:\439XX\4394\PLANDATA\SEGSUITE\STABGRAFI\PROFLCC2.DREHENT.REV22

Search area (Rangene)

Search area (Rangene)
alle laster, Fcf=1,86
Result file : Z:\439XX\4394\PLANDATA\SEGSUITE\STABGRAFI\PROFLCC2.DREHENT.REV21

Search area (Rangene)

Search area (Rangene)
alle laster, Fcf=1,86
Result file : Z:\439XX\4394\PLANDATA\SEGSUITE\STABGRAFI\PROFLCC2.DREHENT.REV20

Search area (Rangene)

Search area (Rangene)
alle laster, Fcf=1,86
Result file : Z:\439XX\4394\PLANDATA\SEGSUITE\STABGRAFI\PROFLCC2.DREHENT.REV19

Search area (Rangene)

Search area (Rangene)
alle laster, Fcf=1,86
Result file : Z:\439XX\4394\PLANDATA\SEGSUITE\STABGRAFI\PROFLCC2.DREHENT.REV18

Search area (Rangene)

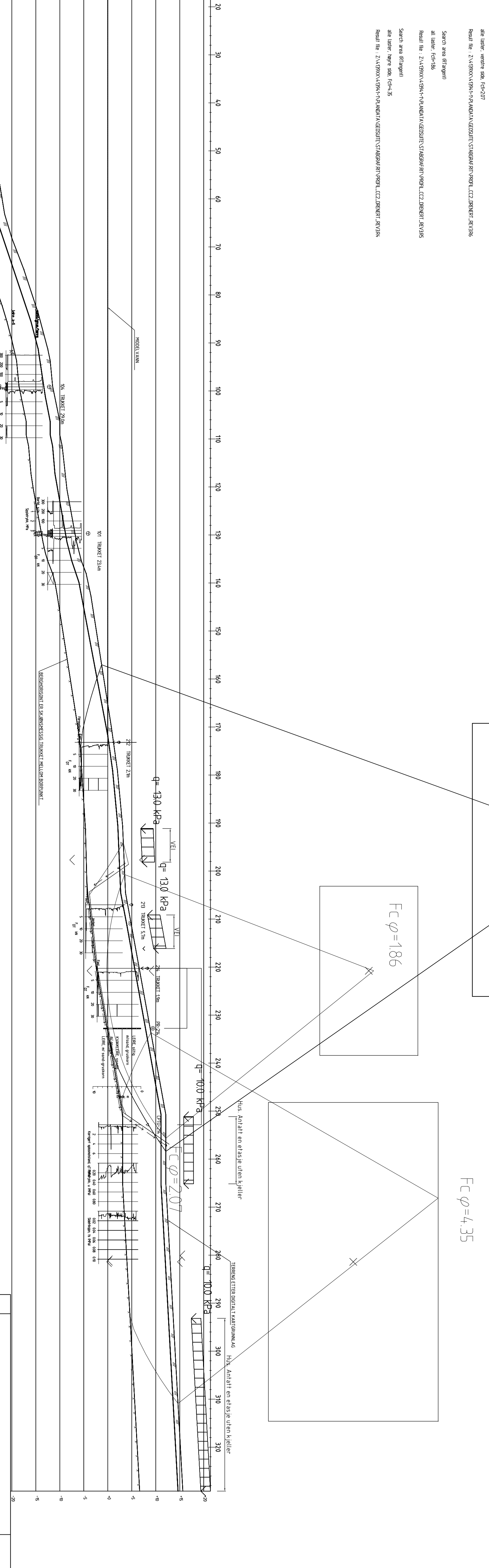
Search area (Rangene)
alle laster, Fcf=1,86
Result file : Z:\439XX\4394\PLANDATA\SEGSUITE\STABGRAFI\PROFLCC2.DREHENT.REV17

Search area (Rangene)

$F_C \varphi = 2.07$

$F_C \varphi = 1.86$

$F_C \varphi = 1.35$



Material

no

UnWeight

F_i

C'

C

A_a

Ad

Ap

AltGw

Ru-factor

PwPress

Rev.

Beskrivelse

Dato

Tekn.

Kontr.

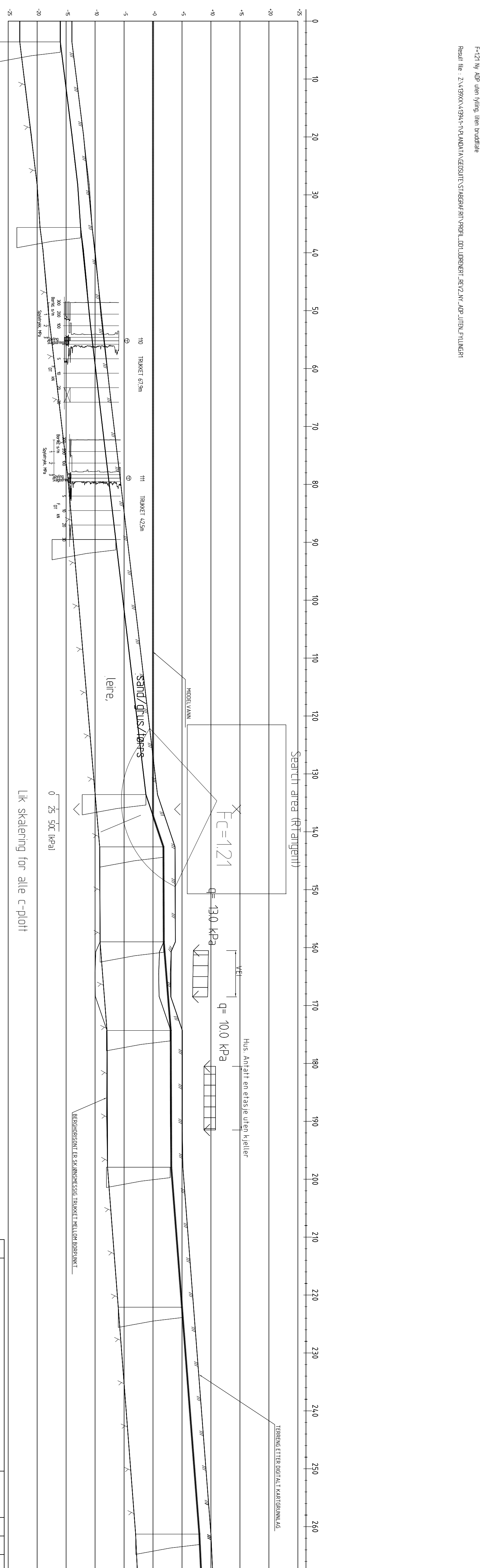
Geklik.

Rev.

Beskrivelse

F=21 Ny AOP uten jylling uten bruddare

Result file: Z:\V439X\X43941\OP\ANDRA\K\GEOSETE\STABSGAFA\NP\PROF_001\OPRETRY\REV2\N\AOP_JTEN\PLUNGER



Lik skaling for alle c-plott

Material	no	Unweigh	f_i	c'	C	A_a	A_d	A_p	$\Delta t \text{GW}$	Ru-faktor	Pw/Press
sand/grus/kortsleire,	2	2100	33,0	0,0	0,00	0,00	0,00	0,00	0,00	0,00	0,00
Berg		2100	--	--	C-profil	1,00	0,71	0,35	0,00		

Tekn. informasjon	Geoteknikk	Geoteknikk	Geoteknikk
Flatanger kommune	Årsj. overvann	Årsj. overvann	Årsj. overvann
Lauvsnes	Profil 1000 m fra oppmålingslinjen	Profil 1000 m fra oppmålingslinjen	Profil 1000 m fra oppmålingslinjen
Klikk for revidering			
Beregningssprofil DD-1			
Berettsesone: dagens situasjon			
AOP-anprise (fra AOP profil)			
MULTICONSULT AS	oppdragsgiver	kontaktagent	kontaktrols
	postnr	telefon	telefon
	7486 TØRNEM	413941	312
	nr. 73 10 62 00 - nr. 73 10 62 30/70		1

Search area (Region)
Fc=168
Result file : Z:\139XX\1394-1\PANDA\VERSUS\STABERGA\FN\PRESS.FE1.LUFERET.SENWS

Search area (Region)
Fc=165
Result file : Z:\139XX\1394-1\PANDA\VERSUS\STABERGA\PRESS.FE1.LUFERET.SENWS

Plane grävfor
Fc=179
Result file : Z:\139XX\1394-1\PANDA\VERSUS\STABERGA\PRESS.FE1.LUFERET.SENWS

Plane grävfor
Fc=158
Result file : Z:\139XX\1394-1\PANDA\VERSUS\STABERGA\PRESS.FE1.LUFERET.SENWS

Plane grävfor
Fc=153
Result file : Z:\139XX\1394-1\PANDA\VERSUS\STABERGA\PRESS.FE1.LUFERET.SENWS

Search area (Region)
Fc=153
Result file : Z:\139XX\1394-1\PANDA\VERSUS\STABERGA\PRESS.FE1.LUFERET.SENWS

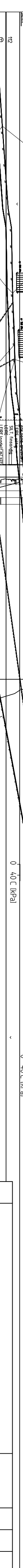
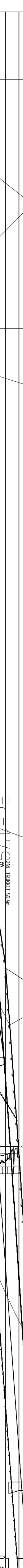
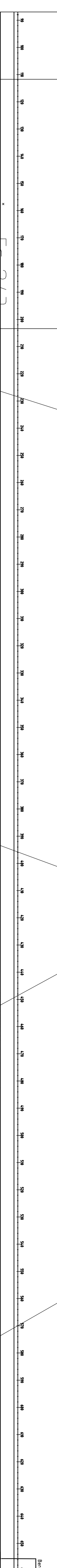
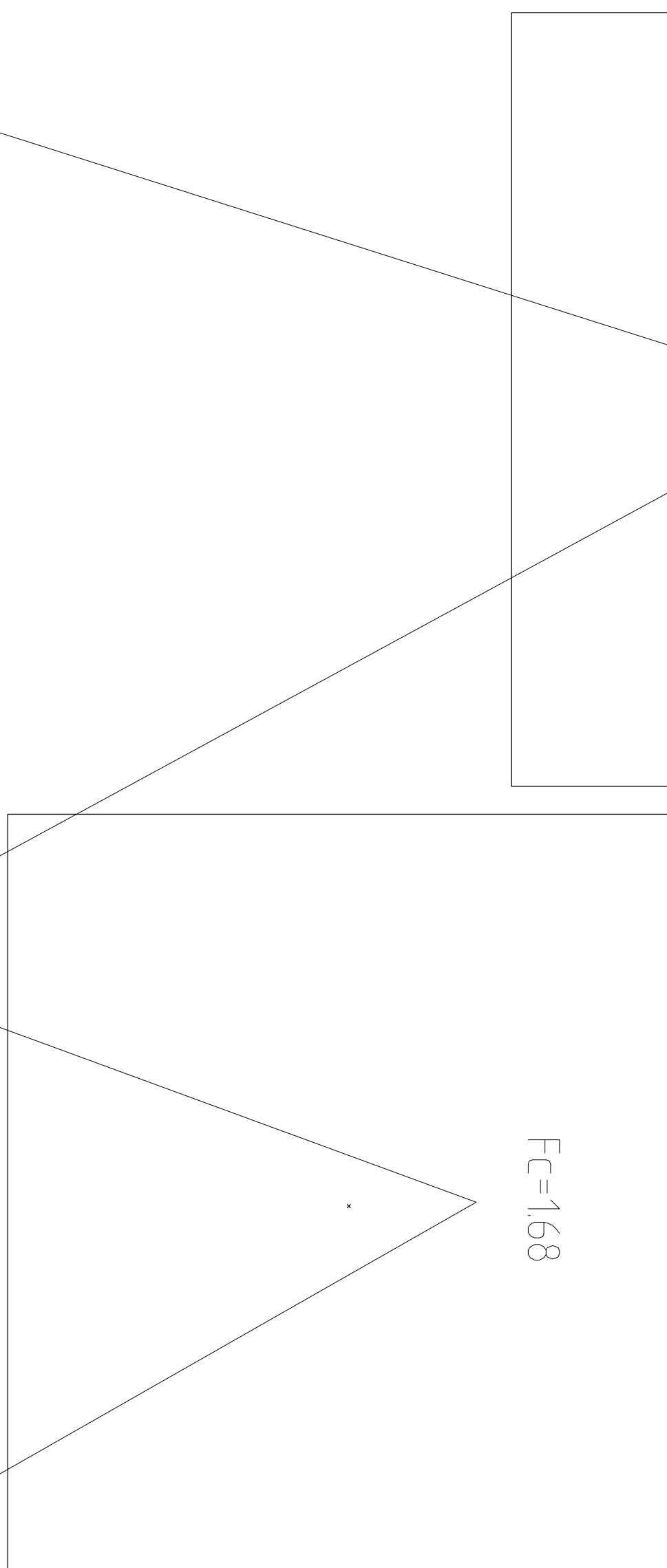
Search area (Region)
Fc=152
Result file : Z:\139XX\1394-1\PANDA\VERSUS\STABERGA\PRESS.FE1.LUFERET.SENWS

Search area (Region)
Fc=151
Result file : Z:\139XX\1394-1\PANDA\VERSUS\STABERGA\PRESS.FE1.LUFERET.SENWS

Search area (Region)
Fc=150
Result file : Z:\139XX\1394-1\PANDA\VERSUS\STABERGA\PRESS.FE1.LUFERET.SENWS

$F_C = 1.45$

$F_C = 1.68$



Material	no	UnWeight	F_i	C'	C	A_d	A_p	$\Delta t G_w$	Ru-factor	PWPress
Sand/grus/tørt	21.00	33.0	0.0	0.00	0.00	0.00	0.00	0.00	0.00	
leire_SU	21.00	---	---	C-profil	100	60	30	0.00	0.00	

MULTICONSLUT AS	Date	Konst/ErS	Kontrollert	Oppdraget:	Tegning:	Rev:
	27.10.2010		ROLS	413941	314	—

Rev: 73 10 62 00 – Fokk 73 10 62 30 /70

Search area (Target)

Fri=187
Result file : Z:\439XX\43947-NR LANDA\GEOSITE\STABGRAF\PROFIL\ERL\REVER1.REVIR

Search area (Target)

Fri=120
Result file : Z:\439XX\43947-NR LANDA\GEOSITE\STABGRAF\PROFIL\ERL\REVER1.REVIR

Paus gleygr

Fri=172

Search area (Target)

Fri=28
Result file : Z:\439XX\43947-NR LANDA\GEOSITE\STABGRAF\PROFIL\ERL\REVER1.REVIR

Search area (Target)

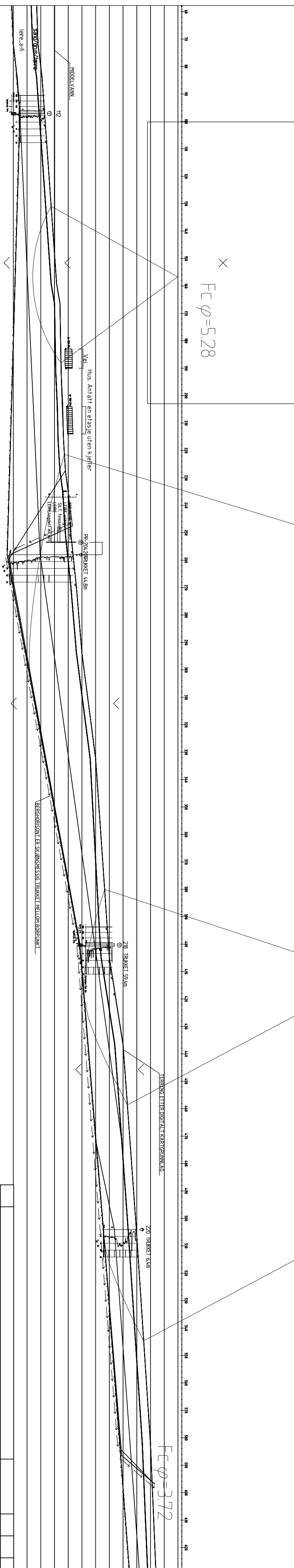
Fri=28
Result file : Z:\439XX\43947-NR LANDA\GEOSITE\STABGRAF\PROFIL\ERL\REVER1.REVIR

$FC \varphi = 3.20$

$FC \varphi = 3.87$

$FC \varphi = 5.28$

$FC \varphi = 3.72$



Material no UnWeight Fi C C A_a Ad Ap AltGw Ru-factor Pw/Press

sand/grus/lønns 21.00 33.0 0.0 0.00 0.00 0.00
leire_2-fj 2 21.00 25.0 4.7 0.00 0.00 0.00
Berg

Rev.	Beskrivelse	Date	Opprører:	Konst./ErS	Opprører:

Flatanger kommune
Lauvsnes
Kvikkleirevurdering
Beregningssprofil EE-1
Stabilitetsanalyse dagens situasjon
A-Fj analyse

Multiconsult AS
Opprører: 413941
Tegning nr.: 315
Rev. —

Date 27.10.2010 Konst./ErS
Opprører: 413941 Tegning nr.: 315
Rev. —

Dato Original format
A2 Tegningens filnavn
Tegningsfilnavn
Profil EE1-drevet rev.1.dwg
Underlags filnavn
Målestokk 1:1000
MULTICON
Kontrollert
ROLIS
Godkjent
OAA

Material	no	Unweight	F_i	C'	C	A_d	A_p	A_{tfw}	Ru-factor	PwPress.
Sand/grus/tonn	2100	330	0.0			0.00	0.00	0.00	0.00	0.00
leire, SU	2100	---	---	C -profil	100	0.71	0.35	0.00	0.00	0.00

Material	no	Unweight	F_i	C'	C	A_d	A_p	A_{tfw}	Ru-factor	PwPress.
Berg										

Fc=0.90

Result file : Z:\439XX\4394\NPLANDA\AUGSUTEST\STABGRAF\NP01\PROF_CZ2.JURNERI.REV1.NW.ADP.FYLMEN STRANDSENDR

Fc=0.77

Result file : Z:\439XX\4394\NPLANDA\AUGSUTEST\STABGRAF\NP01\PROF_CZ2.JURNERI.REV1.NW.ADP.FYLMEN STRANDSENDR

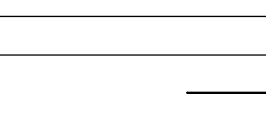
Fc=0.75

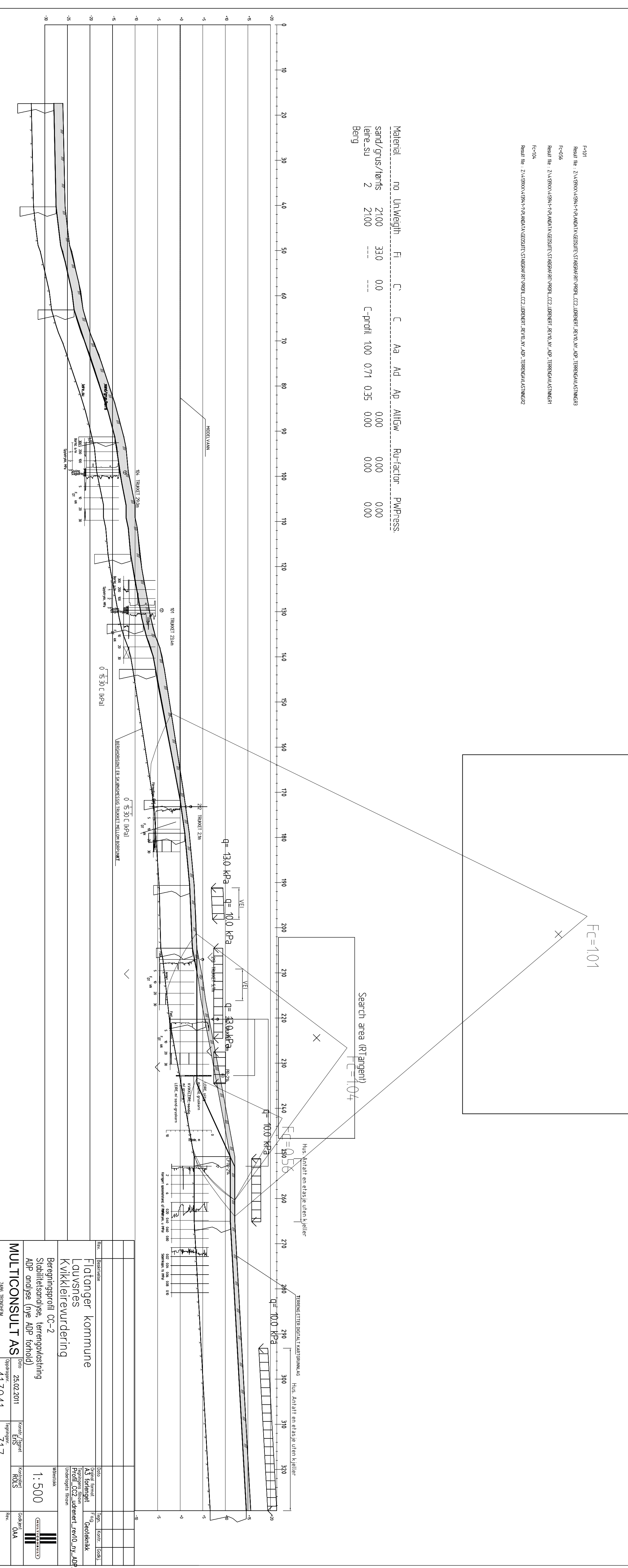
Result file : Z:\439XX\4394\NPLANDA\AUGSUTEST\STABGRAF\NP01\PROF_CZ2.JURNERI.REV1.NW.ADP.FYLMEN STRANDSENDR

Search area (RTangent)

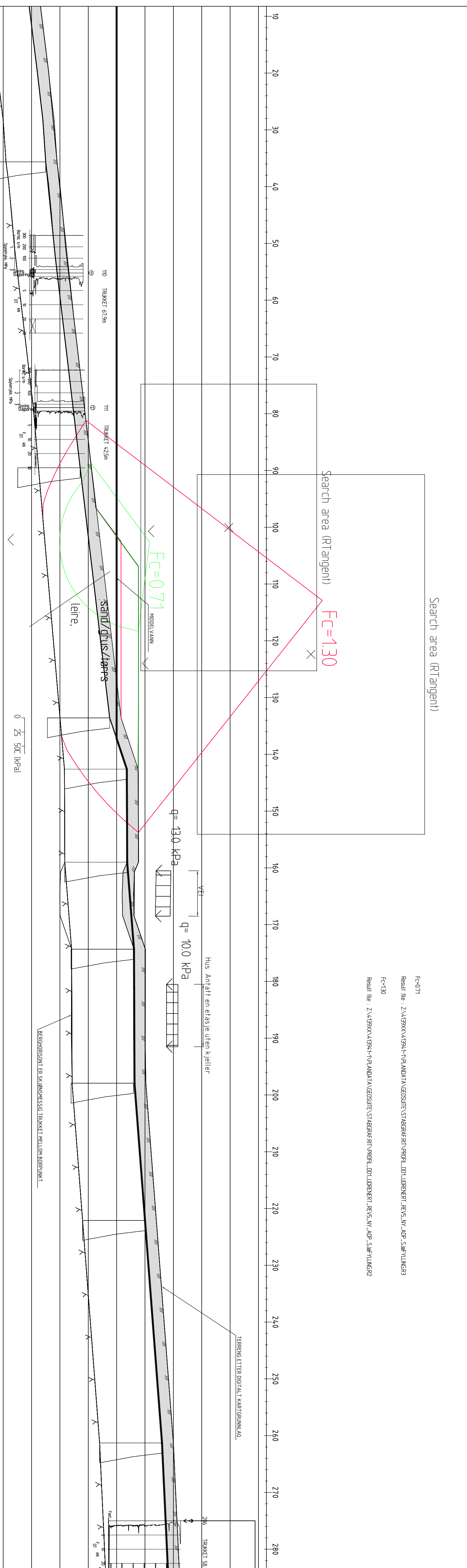
Search area (RTangent)

Search area (RTangent)

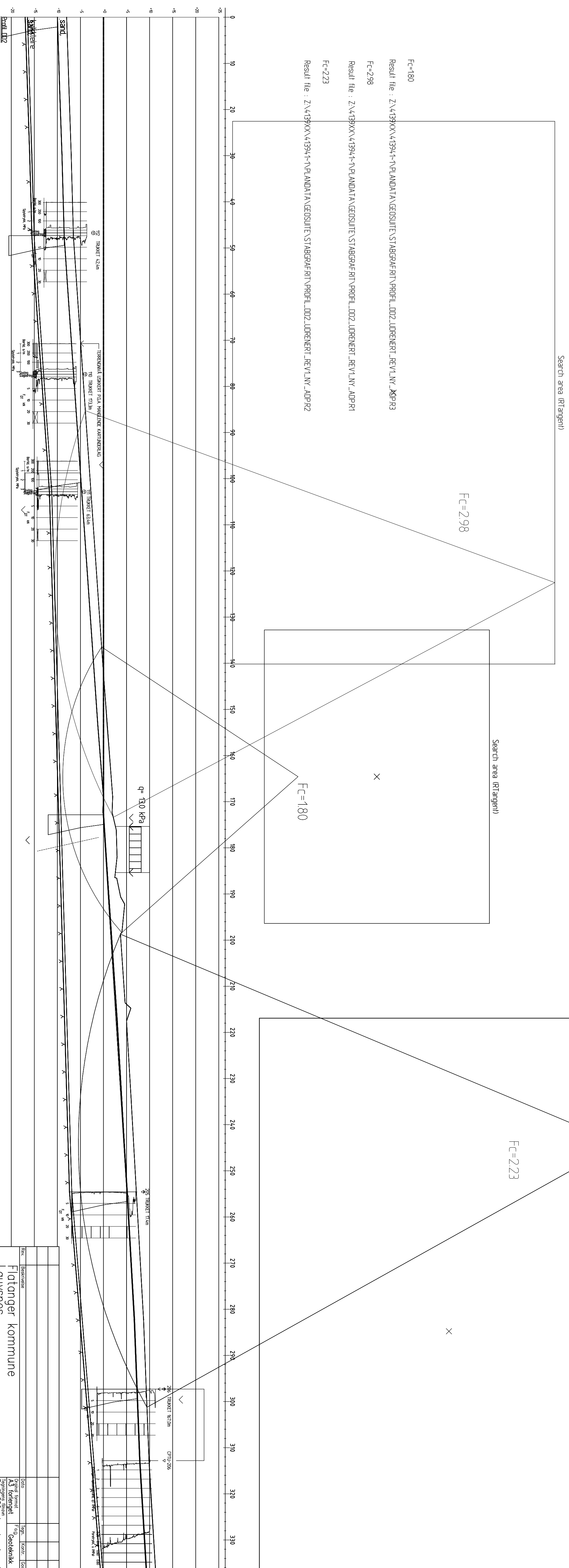


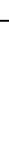


terengavglastning.dwg



<p>Kvitting</p> <p>Lauvsnes Kvikklereivurdering</p> <p>Beregningssprofil DD-1 Stabilitetsanalyse, fyllinger i strandsonen ADP analyse (nye ADP forhold)</p> <p>Multiconsult AS</p> <p>Tlf.: 73 10 62 00 – fax: 73 10 62 30/70</p>					
Oppdragsnr. 7486 TRONDHEIM	413941	Dato 24.02.2011	Konstr./legnet EriS	1: 400	Geoteknikk Beregningens filnavn Profil_DD_udrenert_rev5_ny_ADP Underlagets filnavn Målestokk MULTICONULT Legningsnr. 318



Beregningssprofil DD-2 Stabilitetssanalysen dagens situasjon ADP-analyse (nye ADP-forhold)		Målestokk	1: 500	
Date	28.02.2011	Konstr./Tegnet	EriS	Kontrollert ROLIS
				Godekjet OAA
Profil_DD2_udrenert_rev1_ny_ADP.dwg Underføgets filnavn				

Search area (RTangent)

Search area (RTangent)

Search area (RTangent)

Fc=0.93

Result file : Z:\4139XX\413941\PLANDATA\GEOSUITE\STABGRAFRIN\PROFIL_003.JURENERI_REV1.NY_ADP.R3

Fc=1.05

Result file : Z:\4139XX\413941\PLANDATA\GEOSUITE\STABGRAFRIN\PROFIL_003.JURENERI_REV1.NY_ADP.R4

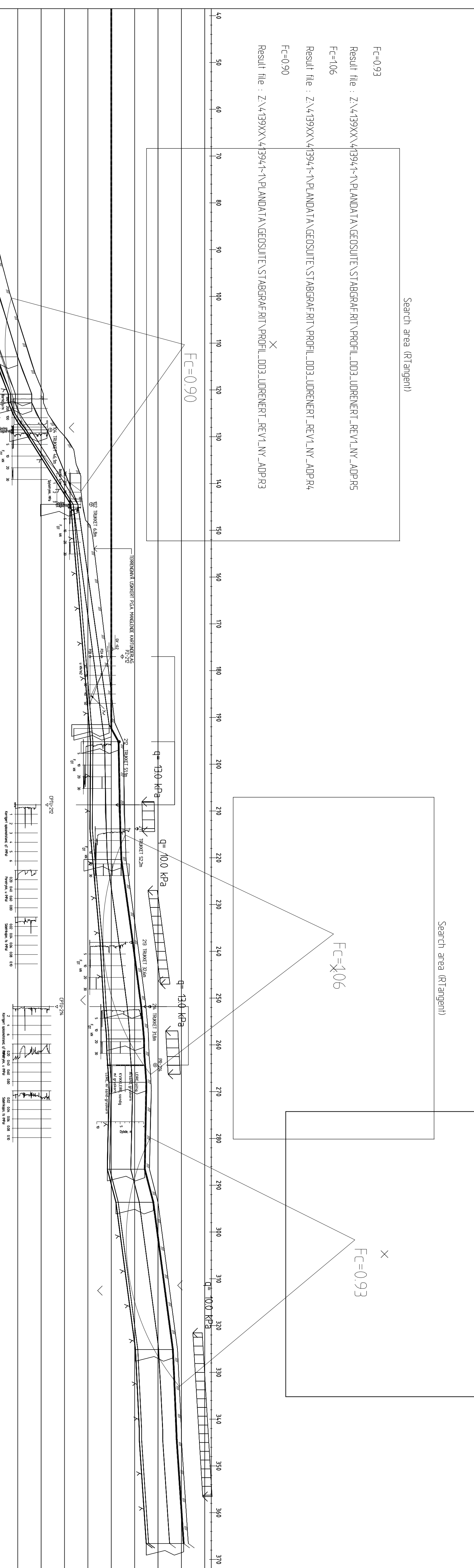
Fc=0.90

Result file : Z:\4139XX\413941\PLANDATA\GEOSUITE\STABGRAFRIN\PROFIL_003.JURENERI_REV1.NY_ADP.R3

$F_c = 0.90$

$F_c = 1.06$

$F_c = 0.93$



Material	no	UnWeigh	F _c	C	A _a	A _d	A _p	A _{lGw}	Ru-factor	PWPress	
sand	1	2100	330	0.0	C-profile	0.85	0.50	0.30	0.00	0.00	0.00
kalkkalk	2	2100	---	---	C-profile	100	0.50	0.30	0.00	0.00	0.00
leire	3	2100	---	---	C-profile	0.85	0.50	0.30	0.00	0.00	0.00
kalkkalk2	4	2100	---	---	C-profile	0.85	0.50	0.30	0.00	0.00	0.00
sand2	5	2100	330	0.0	C-profile	0.85	0.50	0.30	0.00	0.00	0.00
Berg											

Stabilisertsmulje dagens situasjon

ADP-analyse (ny ADP-formul)

Multiconsult AS

Oppgave nr:

Dato:

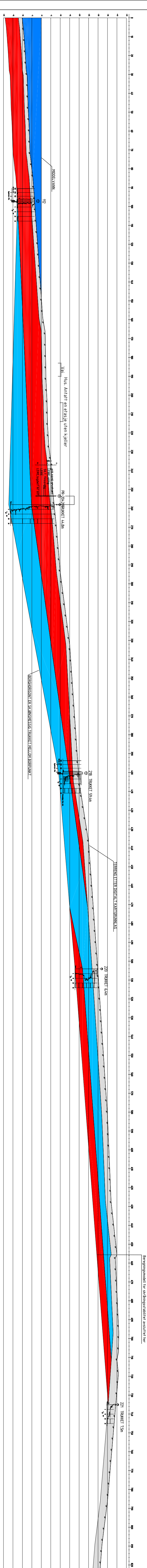
Kontakt:

E-post:

Tlf:

Faks:

Nett:



Teknisklaring

Kvikkleire/sprøbruddsmatr.

Tørskjoneleire

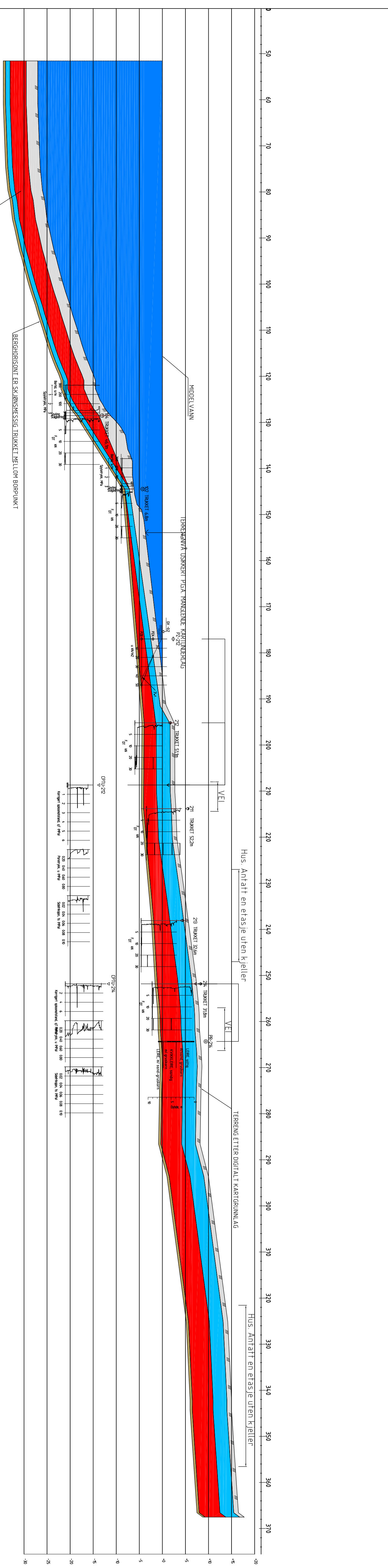
Sjø

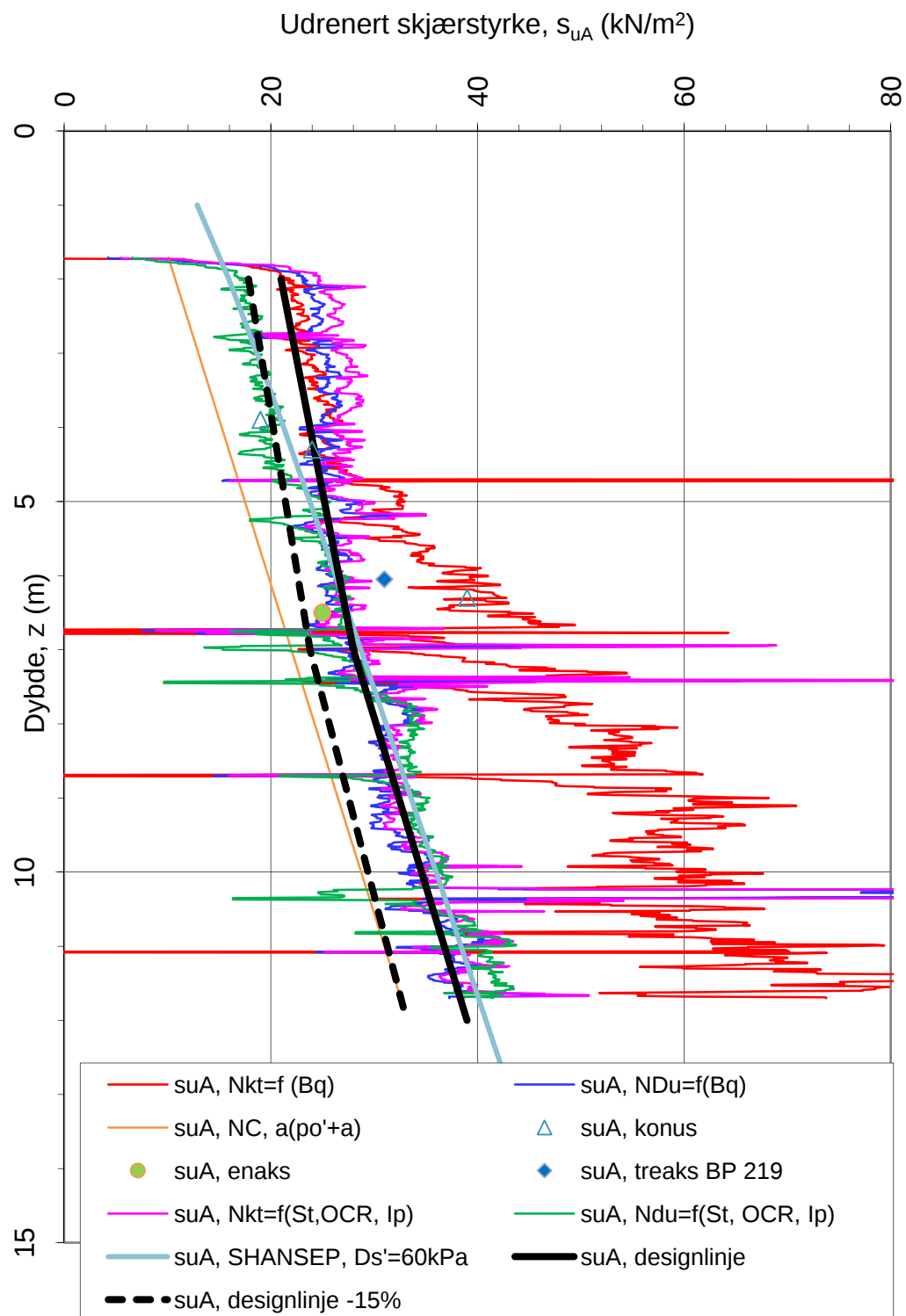
Leire

Bestyrke

Oppringer

Oppdager





$St > 15$

$$N_{kt} = (18,7-12,5 \cdot B_q)$$

$$ND_u = (1,8+7,25 \cdot B_q)$$

$$N_{kt} = (8,5+2,5 \log OCR + 0I_p)$$

$$ND_u = (9,8-4,5 \log OCR + 0I_p)$$

α_c valgt: 0.25

Oppdragsgiver:

Flatanger kommune

Oppdrag:

Områdevurd. Lauvsnes

Tegningens filnavn:

CPTU_EXTRA_206sp

Aktiv udrenert skjærstyrke s_{uA} , korrelert mot B_q .

CPTU id.:

206

Sonde:

4293



MULTICONULT AS
Dato:
06.07.2010

Tegnet:
EriS

Kontrollert:
rols

Godkjent:
oaa

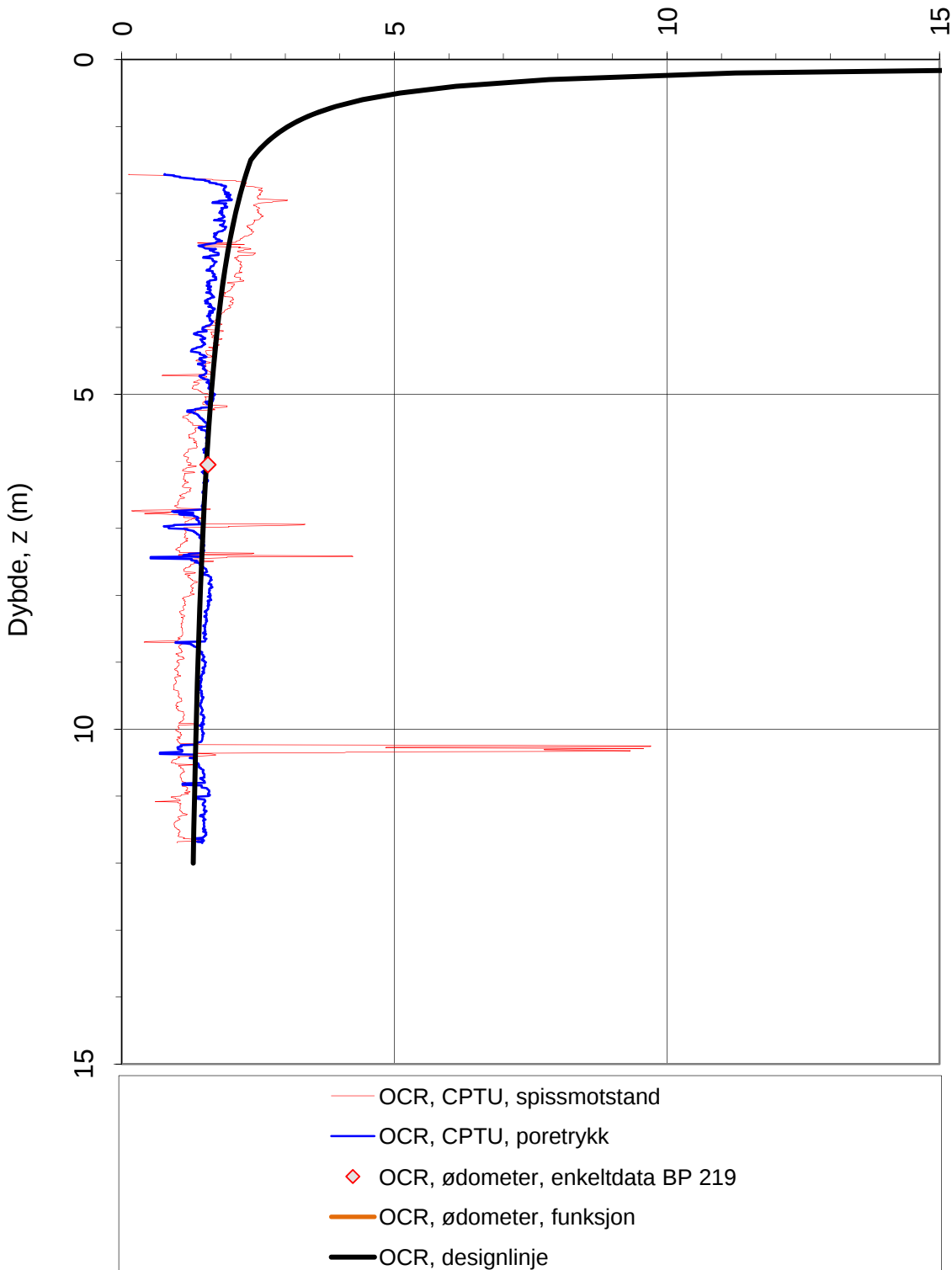
Oppdrag nr.:
413941

Tegning nr.:
40.8

Versjon:
03.10.2009

Revisjon:
1

Prekonsolideringsforhold, $\text{OCR} = \sigma_c' / \sigma_{vo}'$ (-)



Oppdragsgiver:
Flatanger kommune

Overkonsolideringsforhold, $\text{OCR} = \sigma_c' / \sigma_{vo}'$.

Oppdrag:
Områdevurd. Lauvsnes

Tegningens filnavn:
CPTU_EXTRA_206sp

CPTU id.:

206

Sonde:

4293



MULTICONSULT AS

Dato:
 06.07.2010

Tegnet:
 EriS

Kontrollert:
 rols

Godkjent:
 oaa

Oppdrag nr.:

413941

Tegning nr.:

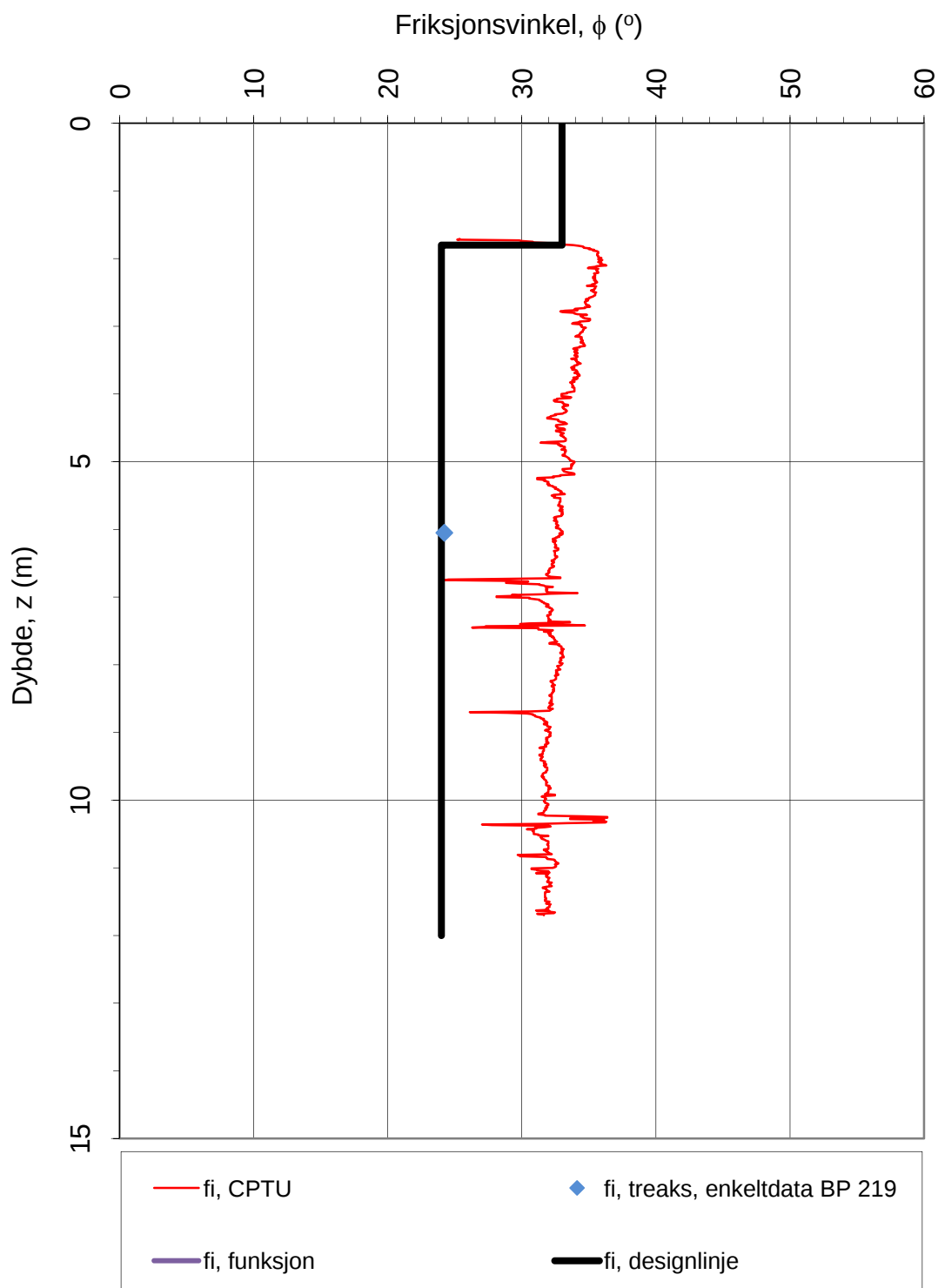
40.10

Versjon:

03.10.2009

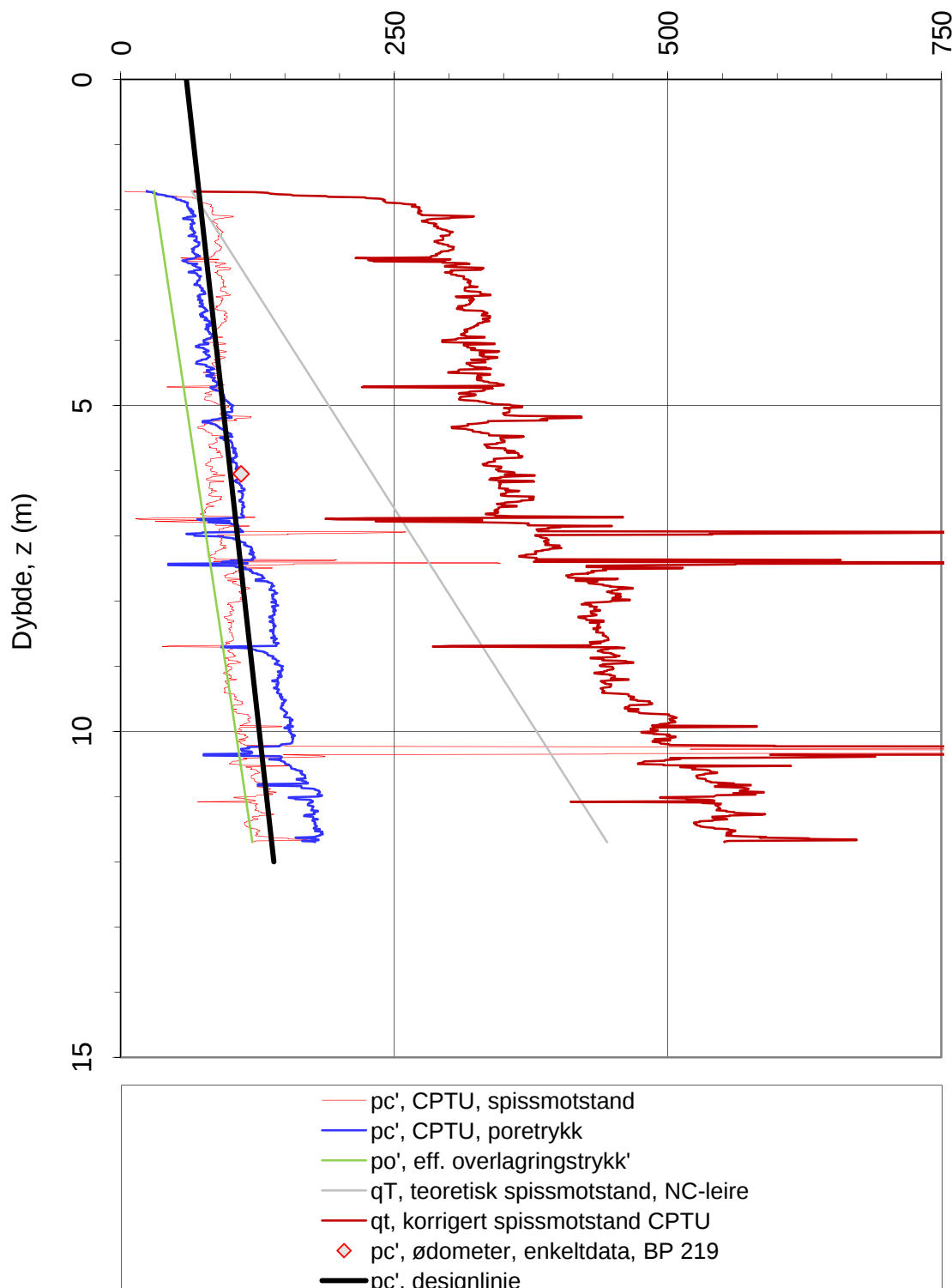
Revisjon:

1



Oppdragsgiver:	Oppdrag:	Tegningens filnavn:		
Flatanger kommune	Områdevurd. Lauvsnes	CPTU_EXTRA_206sp		
Friksjonsvinkel ϕ .				
CPTU id.:	206	Sonde: 4293		
MULTICONULT AS	Dato: 06.07.2010	Tegnet: EriS	Kontrollert: rols	Godkjent: oaa
	Oppdrag nr.: 413941	Tegning nr.: 40.11	Versjon: 03.10.2009	Revisjon: 1

Prekonsolideringsspenning, σ_c' (kPa)



Oppdragsgiver:

Flatanger kommune

Prekonsolideringsspenning σ_c' .

Oppdrag:

Områdevurd. Lauvsnes

Tegningens filnavn:

CPTU_EXTRA_206sp

CPTU id.:

206

Sonde:

4293

MULTICONKULT

MULTICONSULT AS

Dato:
06.07.2010

Tegnet:
EriS

Kontrollert:
rols

Godkjent:
oaa

Oppdrag nr.:

413941

Tegning nr.:

40.9

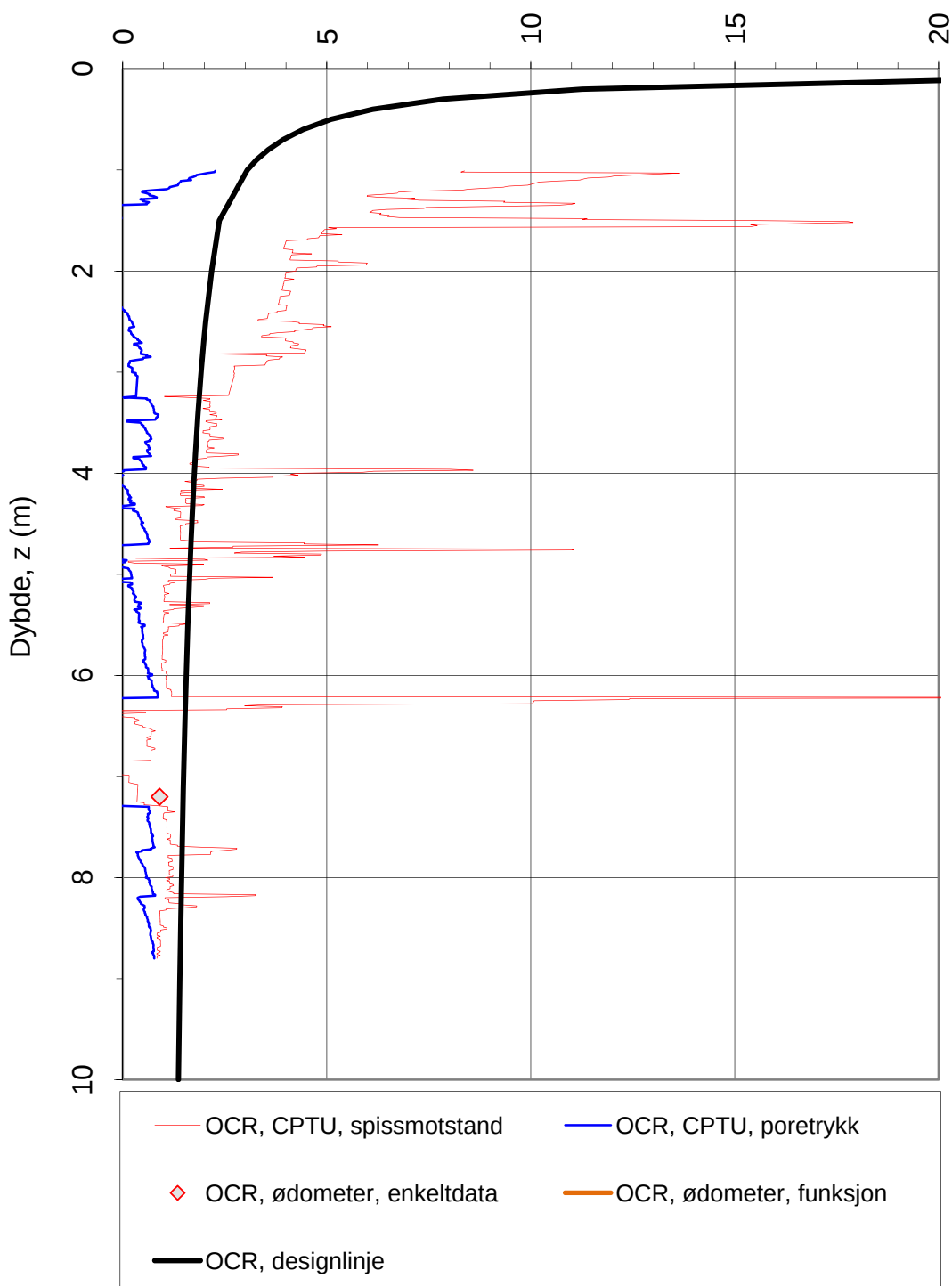
Versjon:

03.10.2009

Revisjon:

1

Prekonsolideringsforhold, $\text{OCR} = \sigma_c' / \sigma_{vo}'$ (-)



Oppdragsgiver:
Flatanger kommune

Overkonsolideringsforhold, $\text{OCR} = \sigma_c' / \sigma_{vo}'$.

Oppdrag:
Områdevurd. Lauvsnes

Tegningens filnavn:
CPTU_EXTRA_214

CPTU id.:

214

Sonde:

3829



MULTICONSULT AS

Dato:
05.07.2010

Tegnet:
EriS

Kontrollert:
rols

Godkjent:
oaa

Oppdrag nr.:

413941

Tegning nr.:

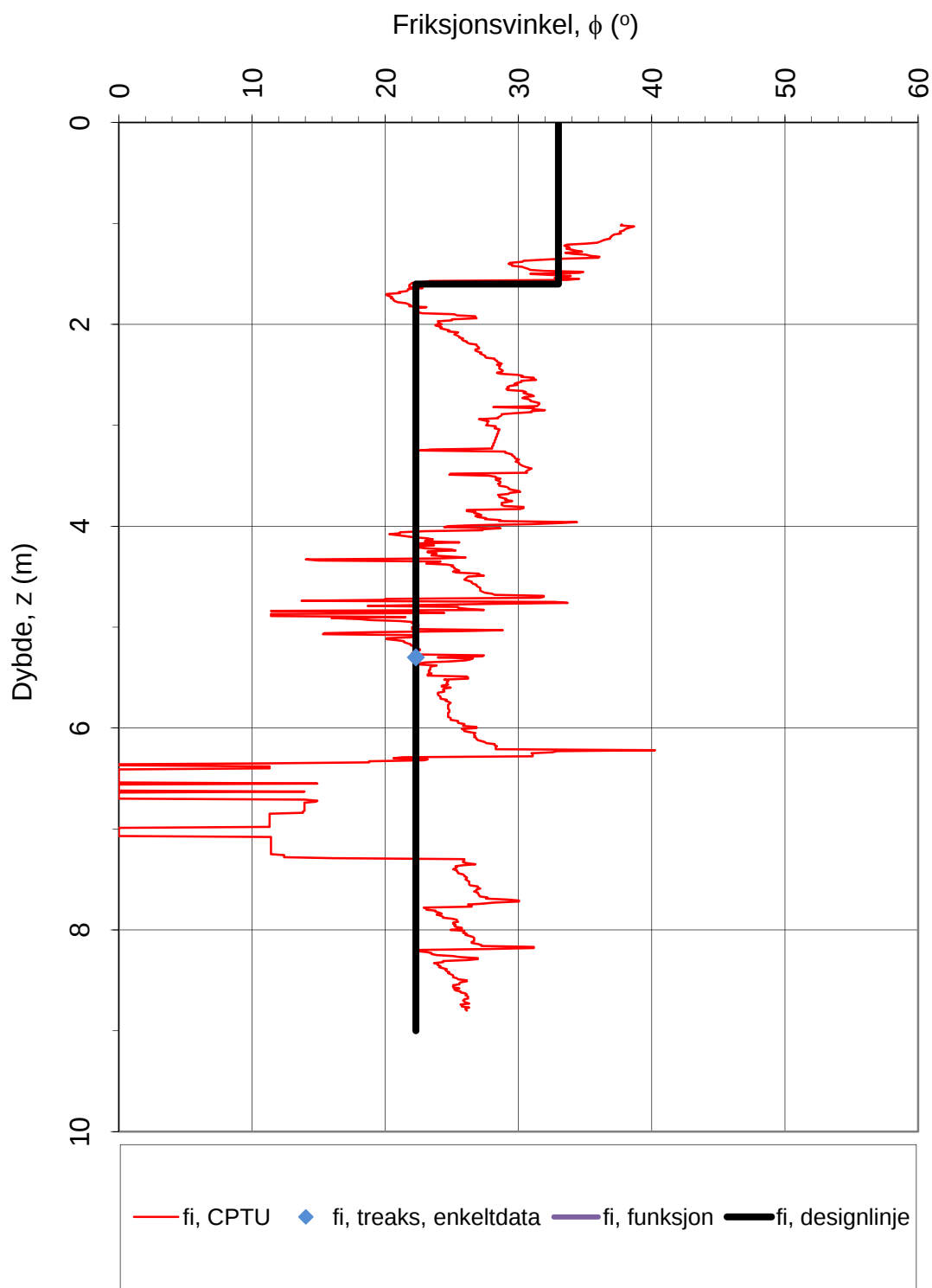
41.10

Versjon:

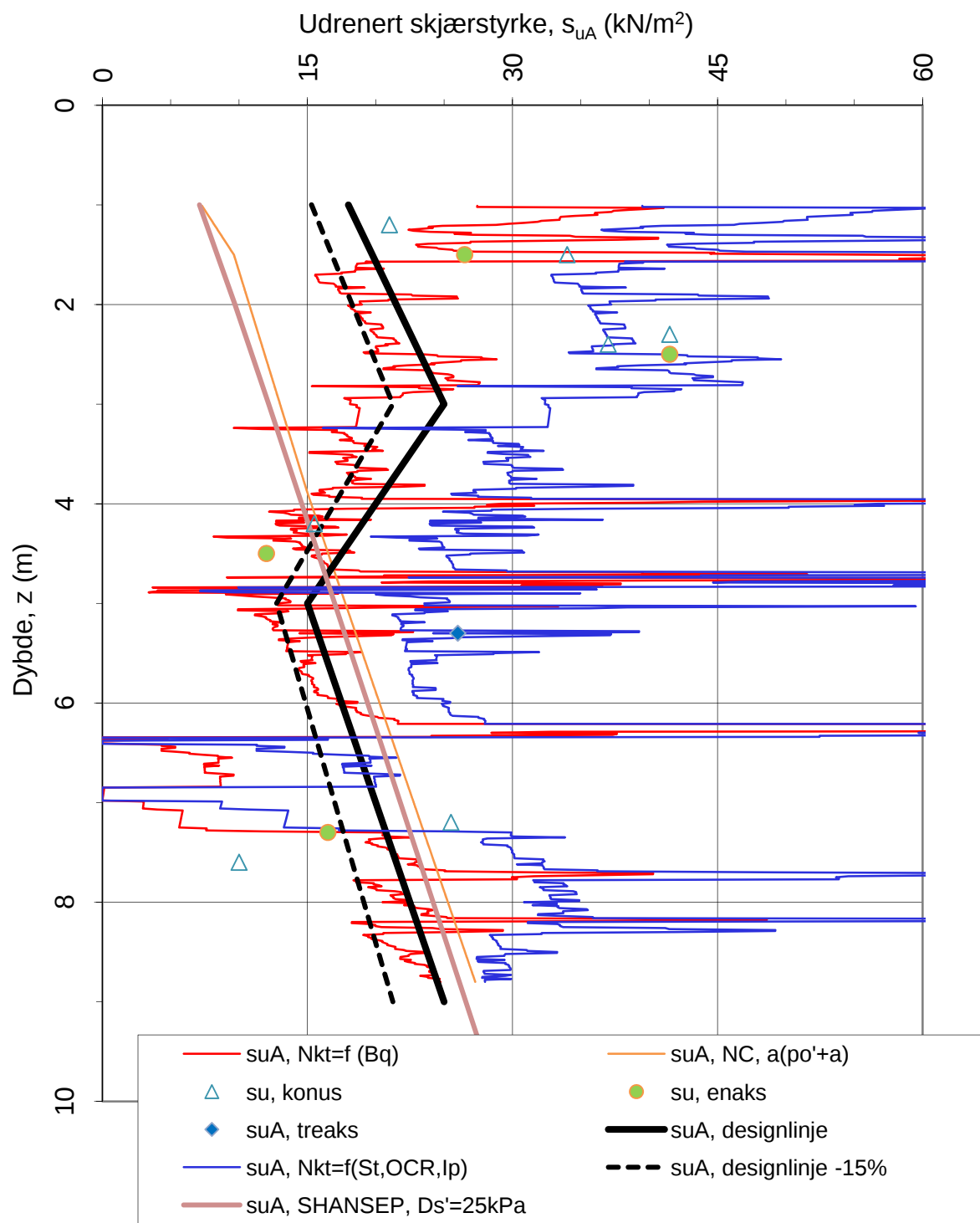
03.10.2009

Revisjon:

1



Oppdragsgiver:	Oppdrag:			Tegningens filnavn:
Flatanger kommune			Områdevurd. Lauvsnes	
Friksjonsvinkel ϕ .				CPTU_EXTRA_214
CPTU id.:	214	Sonde:	3829	MULTICONULT
MULTICONULT AS	Dato: 05.07.2010	Tegnet: EriS	Kontrollert: rols	Godkjent: oaa
	Oppdrag nr.: 413941	Tegning nr.: 41.11	Versjon: 03.10.2009	Revisjon: 1



$St > 15$

$$N_{kt} = (18,7 - 12,5 \cdot Bq)$$

$$N_{kt} = (8,5 + 2,5 \log OCR + 0Ip)$$

α_c valgt: 0.25

Oppdragsgiver:

Flatanger kommune

Oppdrag:

Områdevurd. Lauvsnes

Tegningens filnavn:

CPTU_EXTRA_214

Aktiv udrenert skjærstyrke s_{uA}

CPTU id.:

214

Sonde:

3829



MULTICONSULT AS

Dato:
05.07.2010

Tegnet:
EriS

Kontrollert:
rols

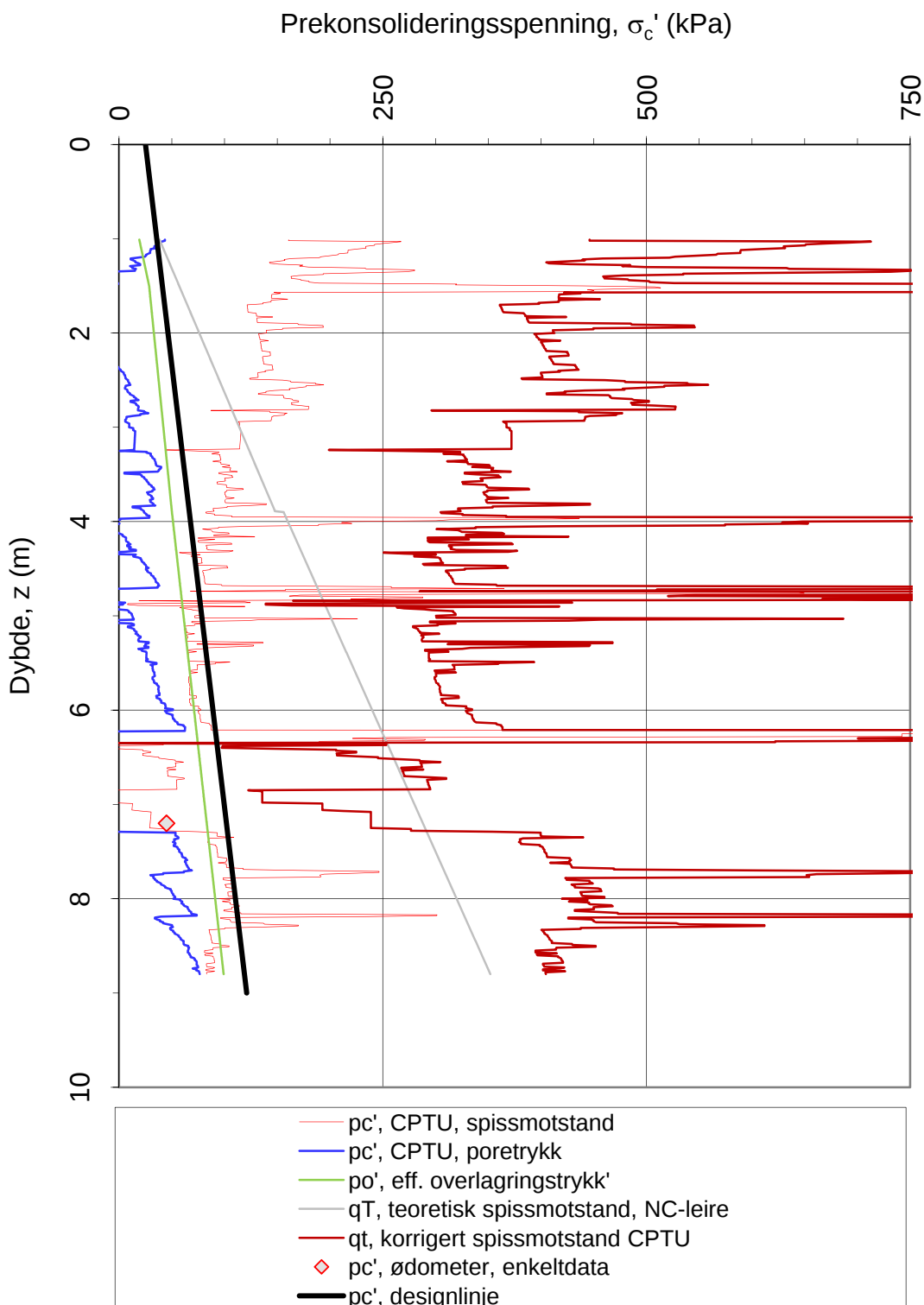
Godkjent:
oaa

Oppdrag nr.:
413941

Tegning nr.:
41.8

Versjon:
03.10.2009

Revisjon:
1



Oppdragsgiver:

Flatanger kommune

Prekonsolideringsspenning σ_c' .

Oppdrag:

Områdevurd. Lauvsnes

Tegningens filnavn:

CPTU_EXTRA_214



CPTU id.:

214

Sonde:

3829

MULTICONSULT AS

Dato:
05.07.2010

Tegnet:
EriS

Kontrollert:
rols

Godkjent:
oaa

Oppdrag nr.:

413941

Tegning nr.:

41.9

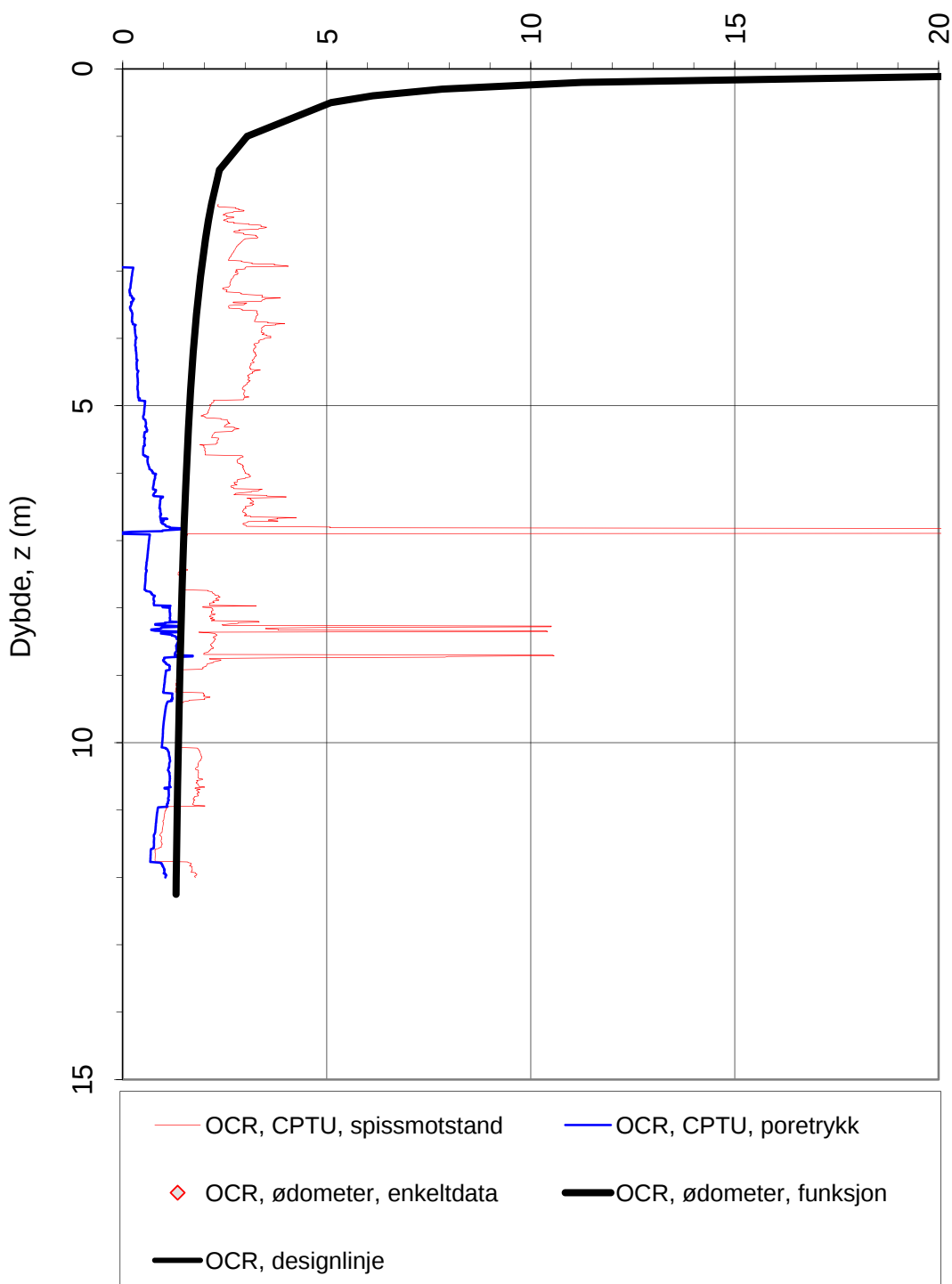
Versjon:

03.10.2009

Revisjon:

1

Prekonsolideringsforhold, $\text{OCR} = \sigma_c' / \sigma_{vo}'$ (-)



Oppdragsgiver:
Flatanger kommune

Overkonsolideringsforhold, $\text{OCR} = \sigma_c' / \sigma_{vo}'$.

Oppdrag:
Områdevurd. Lauvsnes

Tegningens filnavn:
CPTU_EXTRA_215sp

CPTU id.:

215

Sonde:

4293



MULTICONSULT AS

Dato:
15.03.2010

Tegnet:
EriS

Kontrollert:
rols

Godkjent:
oaa

Oppdrag nr.:

413941

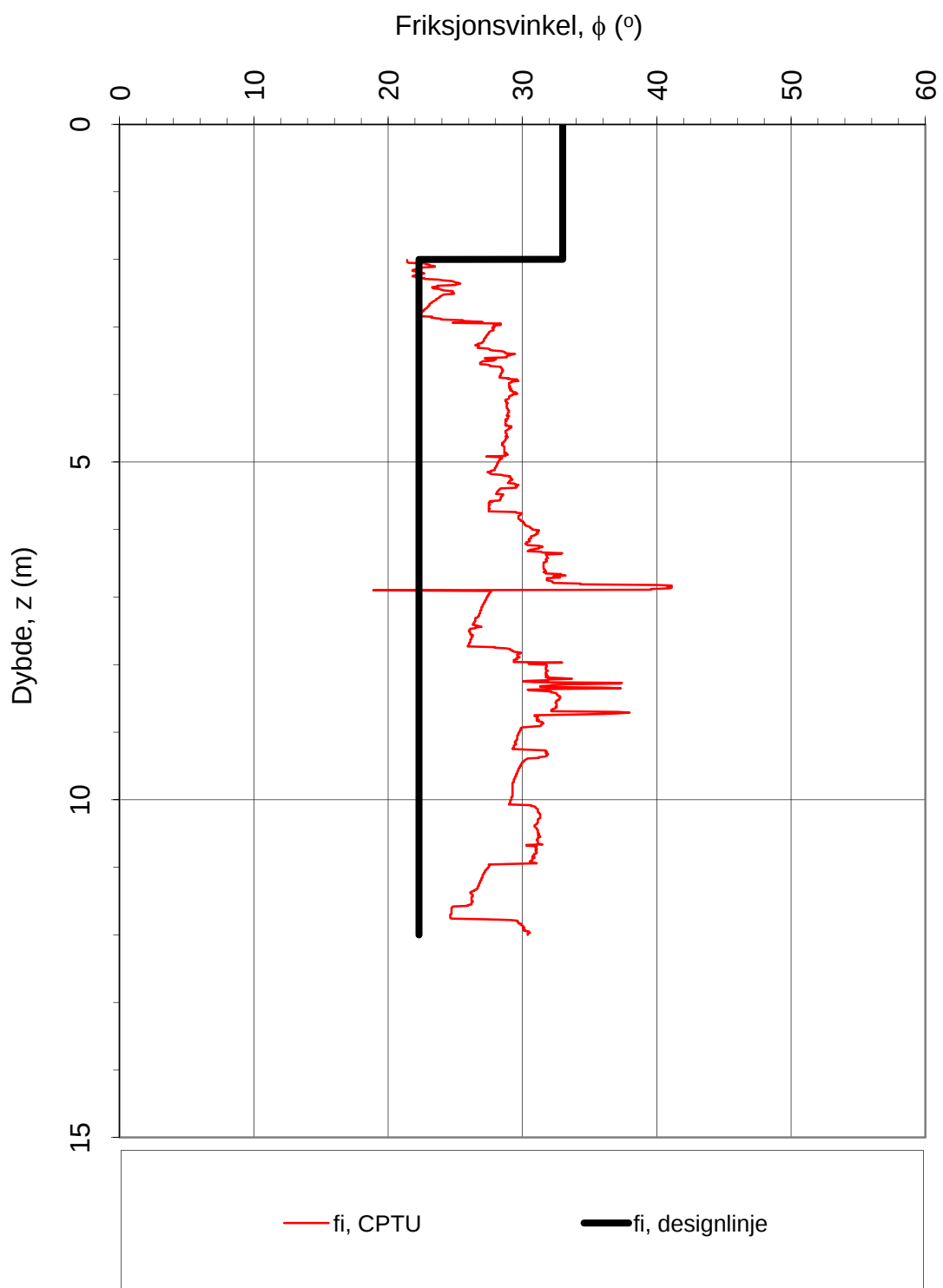
Tegning nr.:

42.10

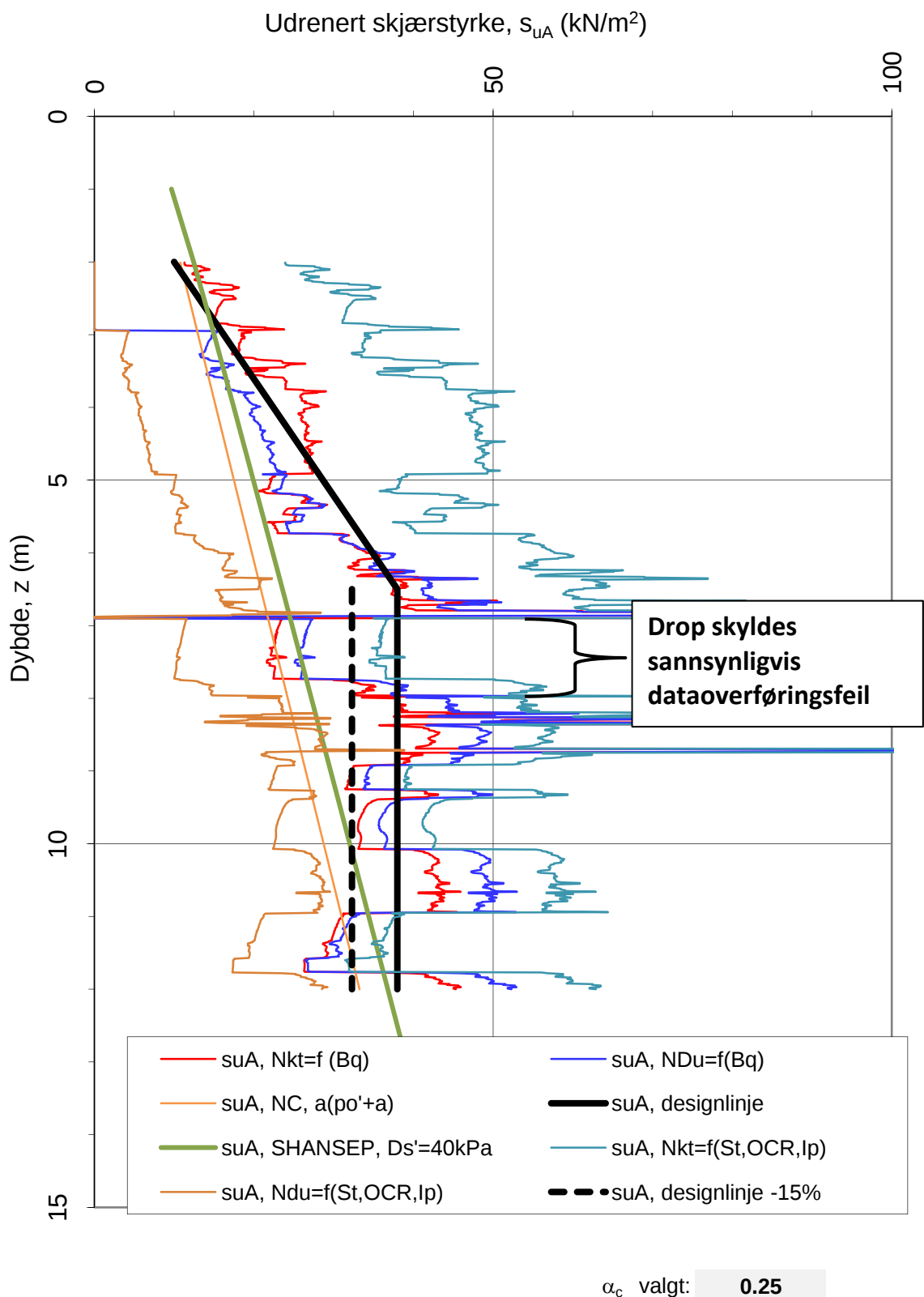
Versjon:

03.10.2009

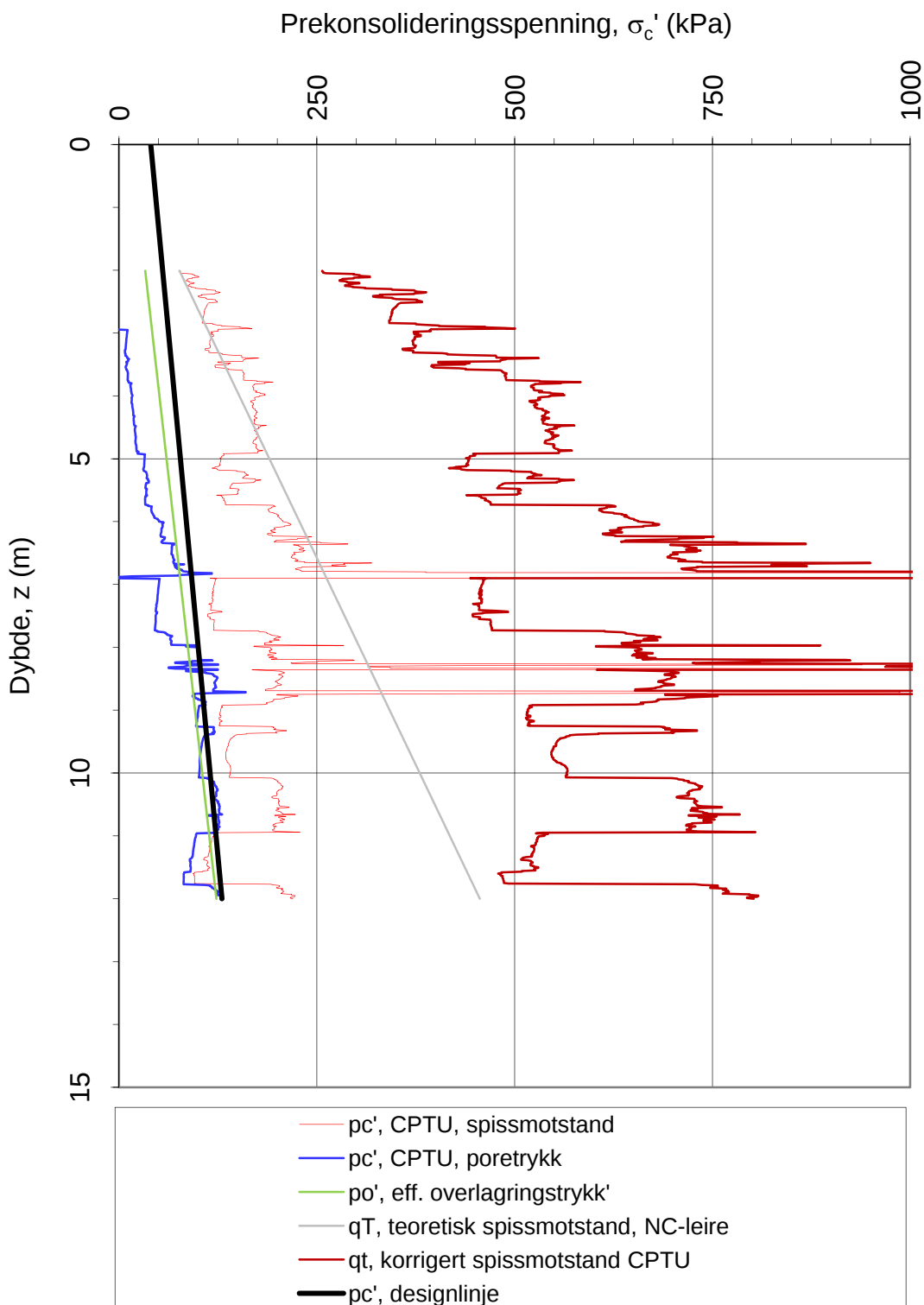
Revisjon:



Oppdragsgiver:	Oppdrag:			Tegningens filnavn:
Flatanger kommune	Områdevurd. Lauvsnes			CPTU_EXTRA_215sp
Friksjonsvinkel ϕ .				
CPTU id.:	215	Sonde:	4293	
MULTICONULT AS	Dato: 15.03.2010	Tegnet: EriS	Kontrollert: rols	Godkjent: oaa
	Oppdrag nr.: 413941	Tegning nr.: 42.11	Versjon: 03.10.2009	Revisjon:



Oppdragsgiver: Flatanger kommune	Oppdrag: Områdevurd. Lauvsnes	Tegningens filnavn: CPTU_EXTRA_215sp
Aktiv udrenert skjærstyrke s_{uA} , korrelert mot B_q .		
CPTU id.: 215	Sonde: 4293	
MULTICONSULT AS	Dato: 15.03.2010	Tegnet: EriS
	Oppdrag nr.: 413941	Kontrollert: rols
		Godkjent: oaa
		Versjon: 03.10.2009
		Revisjon:



Oppdragsgiver:

Flatanger kommune

Prekonsolideringsspenning σ_c' .

Oppdrag:

Områdevurd. Lauvsnes

Tegningens filnavn:

CPTU_EXTRA_215sp



CPTU id.:

215

Sonde:

4293

MULTICONSULT AS

Dato:
15.03.2010

Tegnet:
EriS

Kontrollert:
rols

Godkjent:
oaa

Oppdrag nr.:

413941

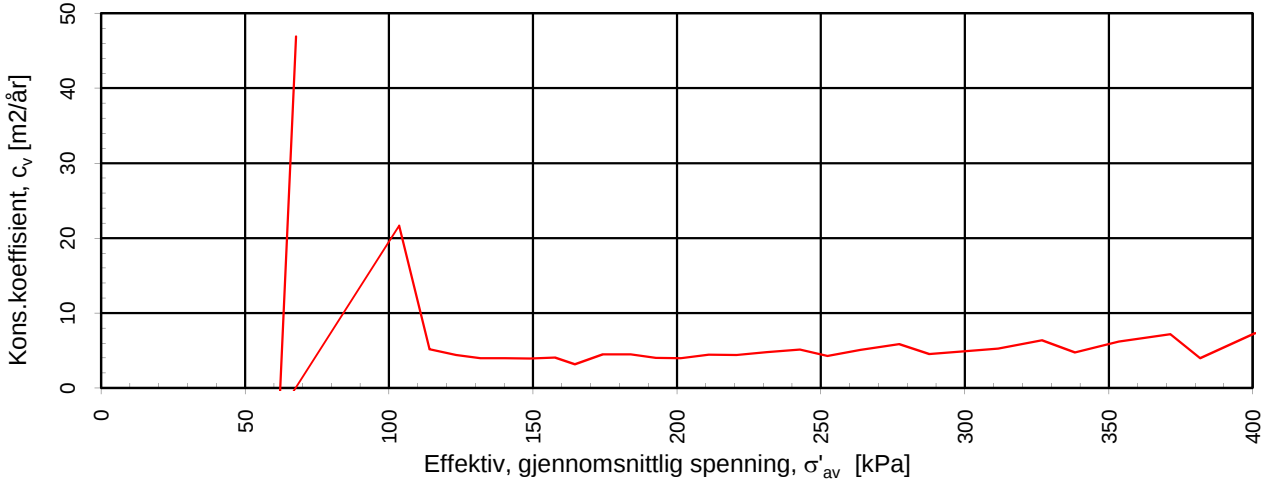
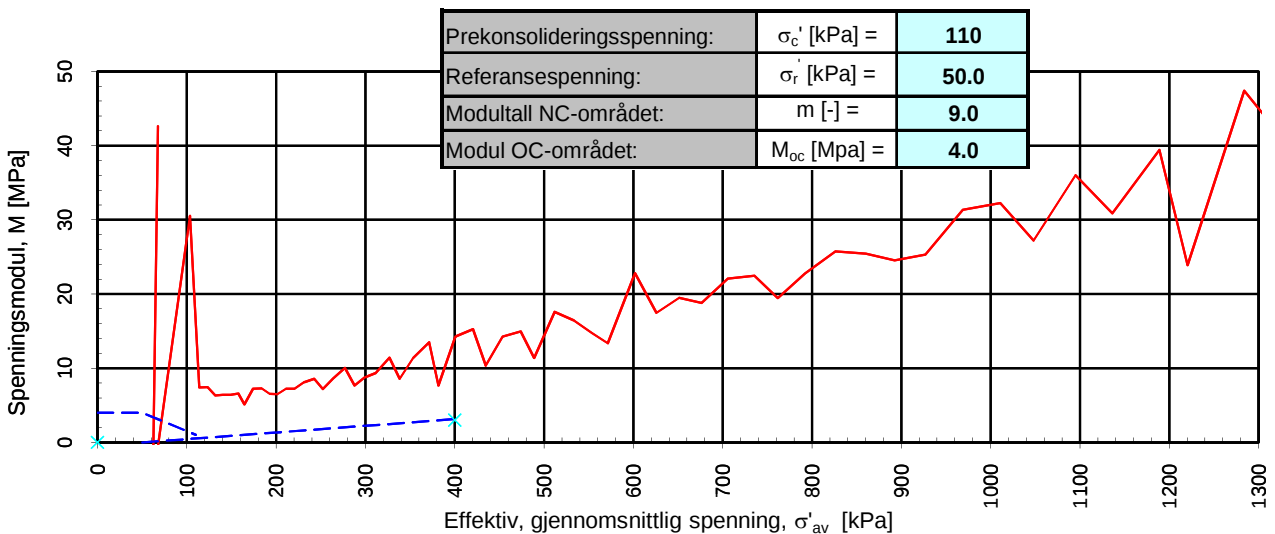
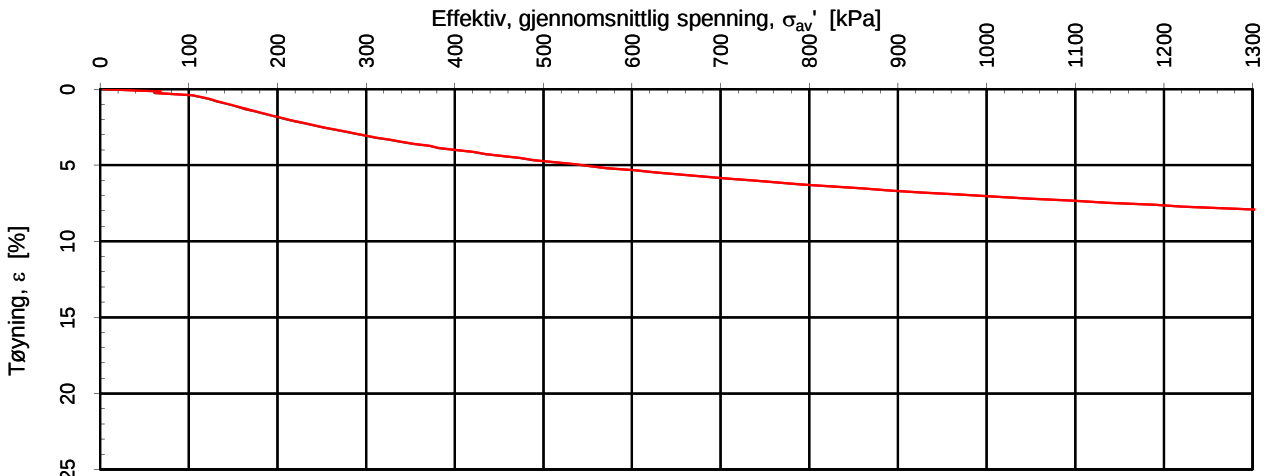
Tegning nr.:

42.9

Versjon:

03.10.2009

Revisjon:



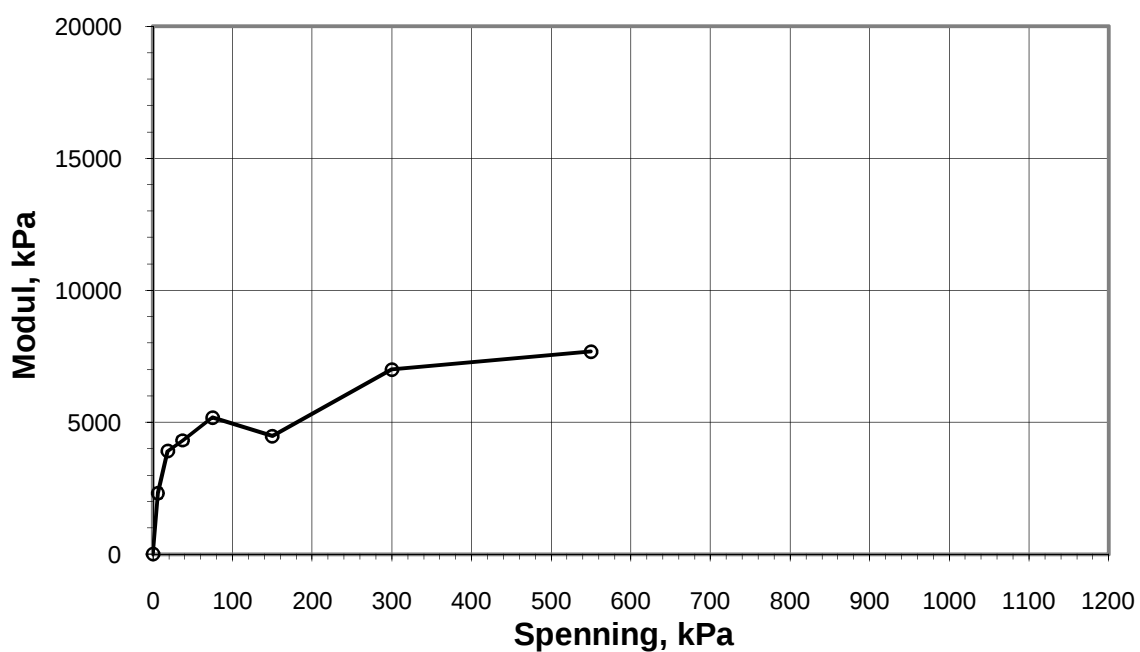
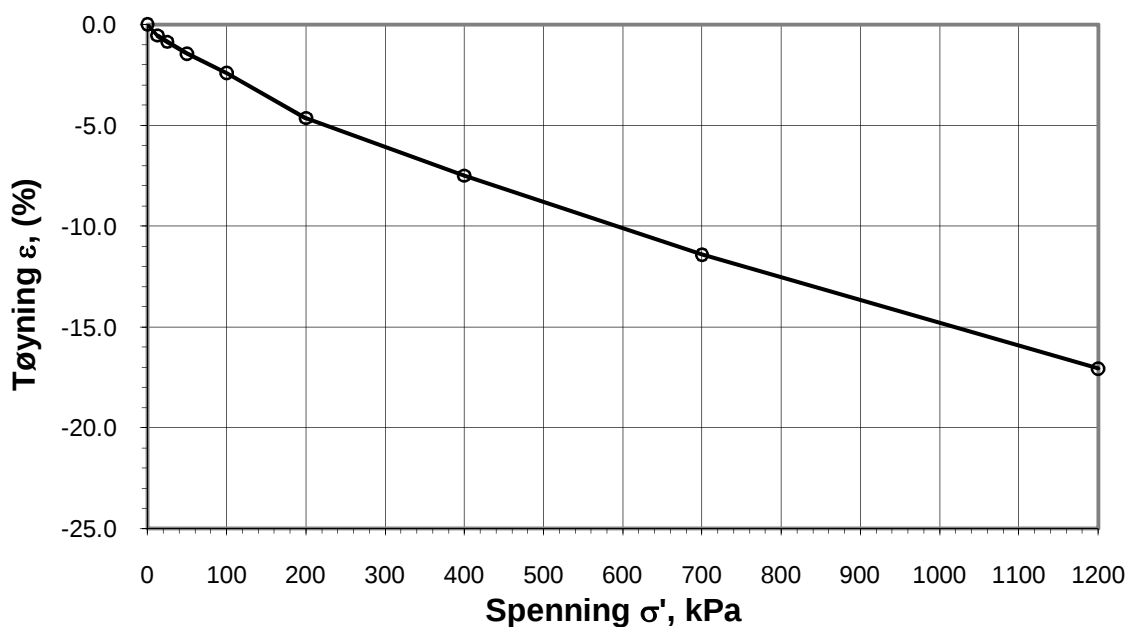
Flatanger Områdevurdering Lausnes

Kontinuerlig ødometerforsøk, CRS-rutine. Tolkning: $\sigma_{av}' - \varepsilon_a$, M og c_v .

Tegningens filnavn:
H219, dybde 6,25m.xlsx

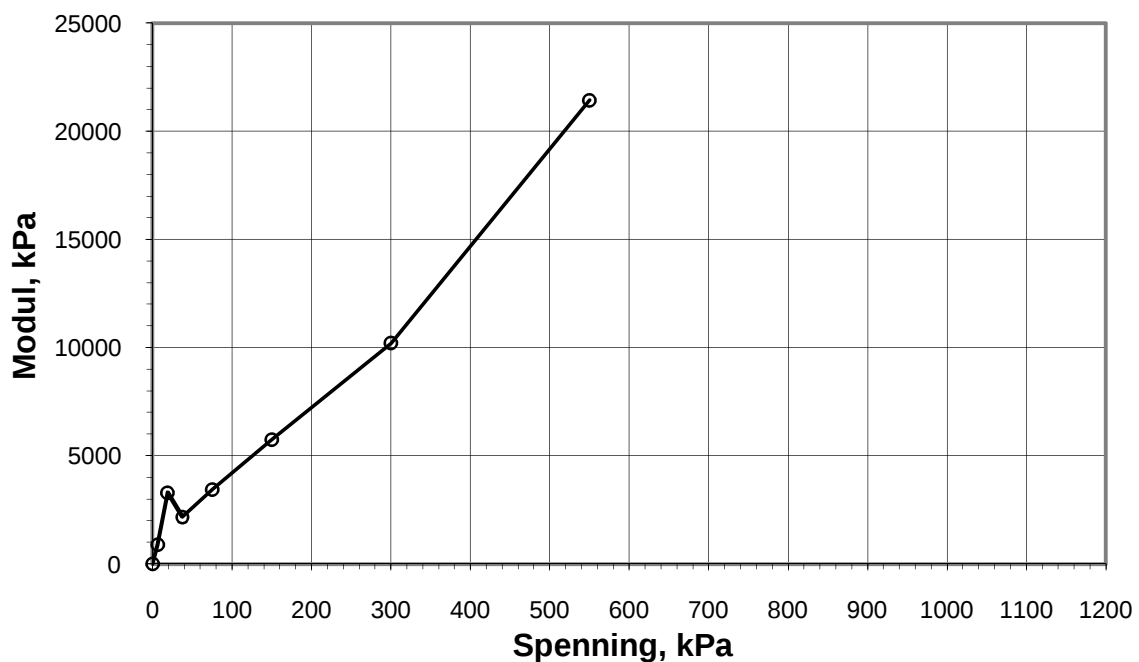
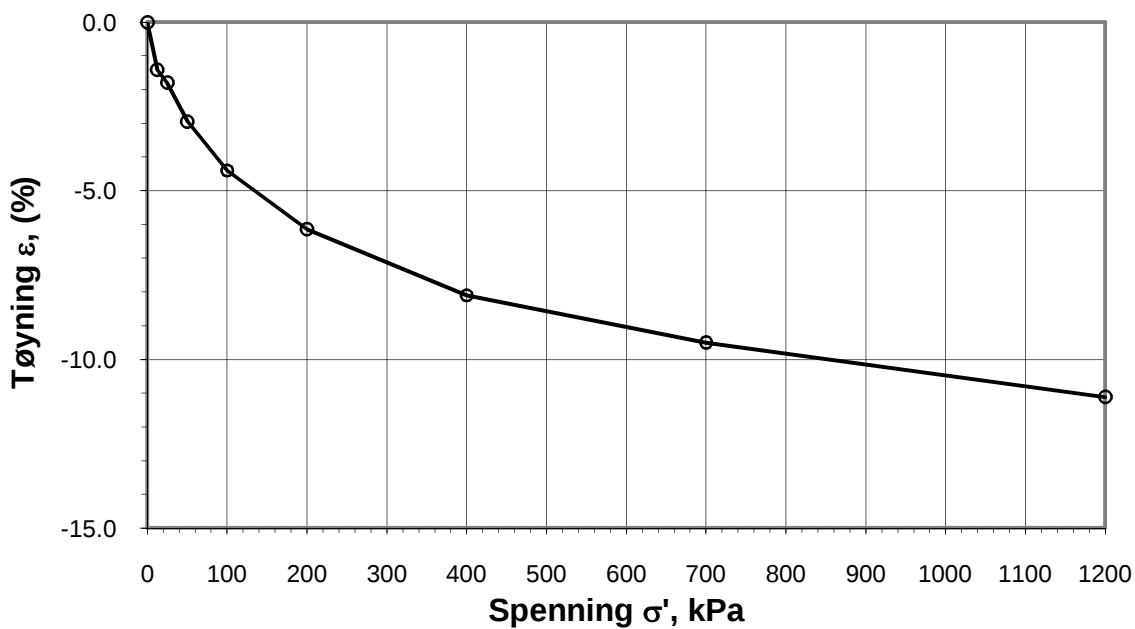


MULTICONSULT AS Sluppenvegen 23, 7486 TRONDHEIM Tlf.: 73 10 62 00	Forsøksdato:	Dybde, z (m):	Borpunkt nr.:
	22.03.2010	6.25	219
	Forsøknr.:	Tegnet av:	Kontrollert:
	1	kjt	rols
	Oppdrag nr.:	Tegning nr.:	Prosedyre:
	413941	76	CRS
			Programrevisjon:
			13.10.2009

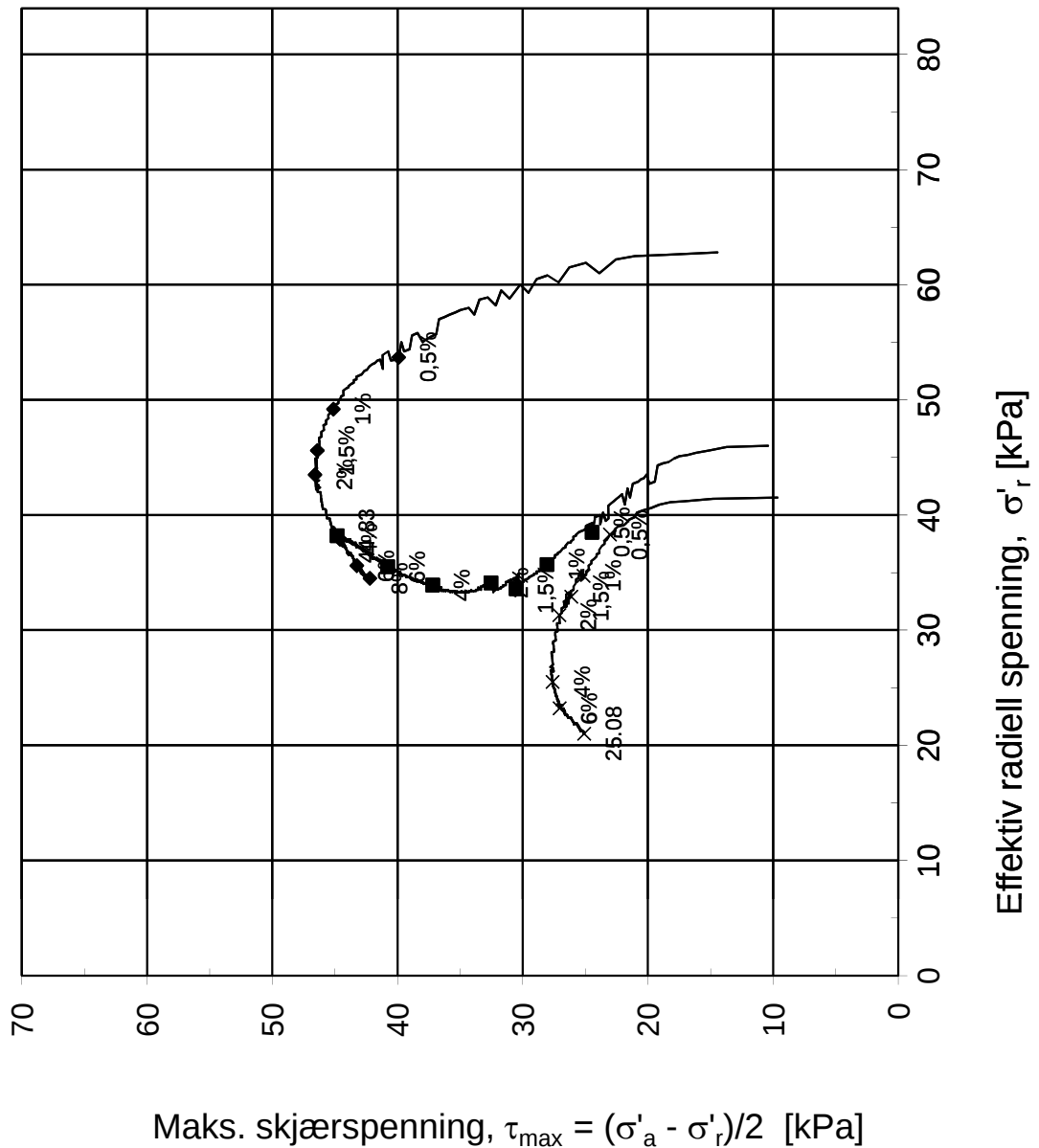


ØDOMETERFORSØK		Boring nr H 204, dybde 8,45 m	 MULTICONSULT
Flatanger kommune		Borplan nr. -1	
Områdevurdering Lauvsnes		Boret dato 24.02.10	
Trinnvis ødometerforsøk		Dato 18.03.10	Tegnet: kjt
MULTICONSULT AS		Godkjent rols	
7486 TRONDHEIM		Oppdrag nr	Tegningsnr:
Besøksadr. Sluppenvein 23		413941	Rev.
Tlf.: 73 10 62 00 - Fax: 73 10 62 30/70		77	1

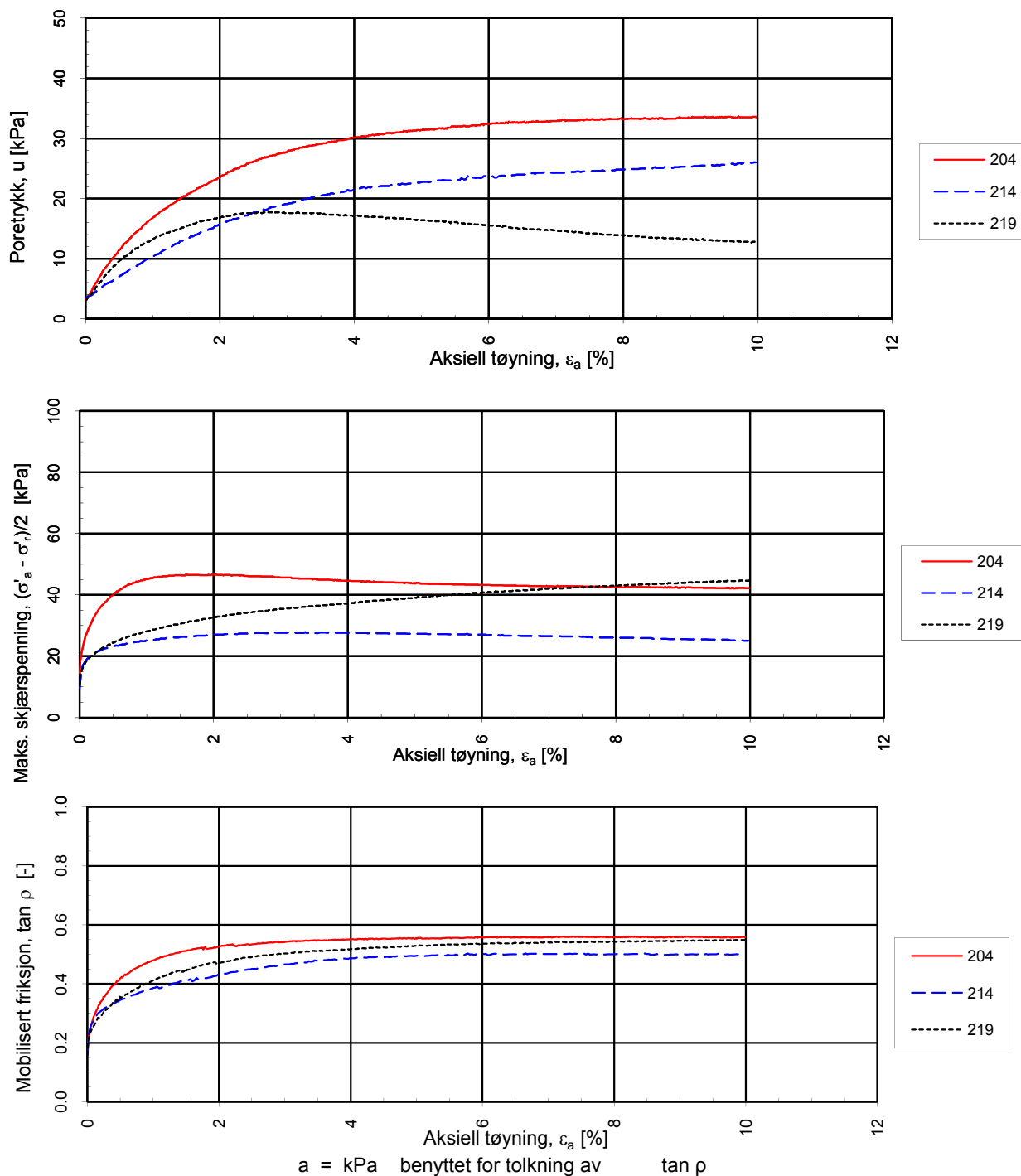
ØDOMETERFORSØK	Boring nr		
	Borplan nr.		
	Boret dato		
Trinnvis ødometerforsøk			
MULTICONsULT AS 7486 TRONDHEIM Besøksadr. Sluppenveien 23 Tlf.: 73 10 62 00 - Fax: 73 10 62 30/70	Dato	Tegnet:	Godkjent
	Oppdrag nr	Tegningsnr:	Rev.



ØDOMETERFORSØK		Boring nr H 214, dybde 7,2 m	 MULTICONSULT
Flatanger kommune		Borplan nr. -1	
Områdevurdering Lausnes		Boret dato 10.03.10	
Trinnvis ødometerforsøk		Dato 24.10.10	Tegnet: kj
MULTICONSULT AS		Oppdrag nr 413941	Godkjent rols
7486 TRONDHEIM		Tegningsnr: 78	Rev. 1
Besøksadr. Sluppenvein 23			
Tlf.: 73 10 62 00 - Fax: 73 10 62 30/70			



Data	Forsøk 1 ♦	Forsøk 2 x	Forsøk 3 ■	
Borpunkt:	204	214	219	
Dybde, z (m):	8.55	5.30	6.05	
Densitet, ρ (g/cm³):	2.10	2.15	2.09	
Vanninnhold, w (%):	23.80	19.90	21.40	
Flatanger kommune				Tegningens filnavn: Treaks_samleplott.xlsx
Lauvsnes				
Treaksialforsøk. Deviatorspenningssti. NTNU-plott.				
MULTICONSULT AS Sluppenvegen 23, 7486 TRONDHEIM Tlf.: 73 10 62 00 Faks: 73 10 62 30	Forsøksdato: Mars 2010	Dybdeintervall, z (m): 5.30-8.55 m	Borpunkt nr.: 204, 214, 219	
	Forsøk nr.: -	Tegnet: EriS	Kontrollert: ROLS	Godkjent: OAA
	Oppdrag nr.: 413941	Tegning nr.: 79	Prosedyre: CAUa	Programrevisjon: 13.10.2009



413941

Flatanger kommune

Treaksialforsøk. Poretrykks- og mobiliseringsforløp.

Tegningens filnavn:

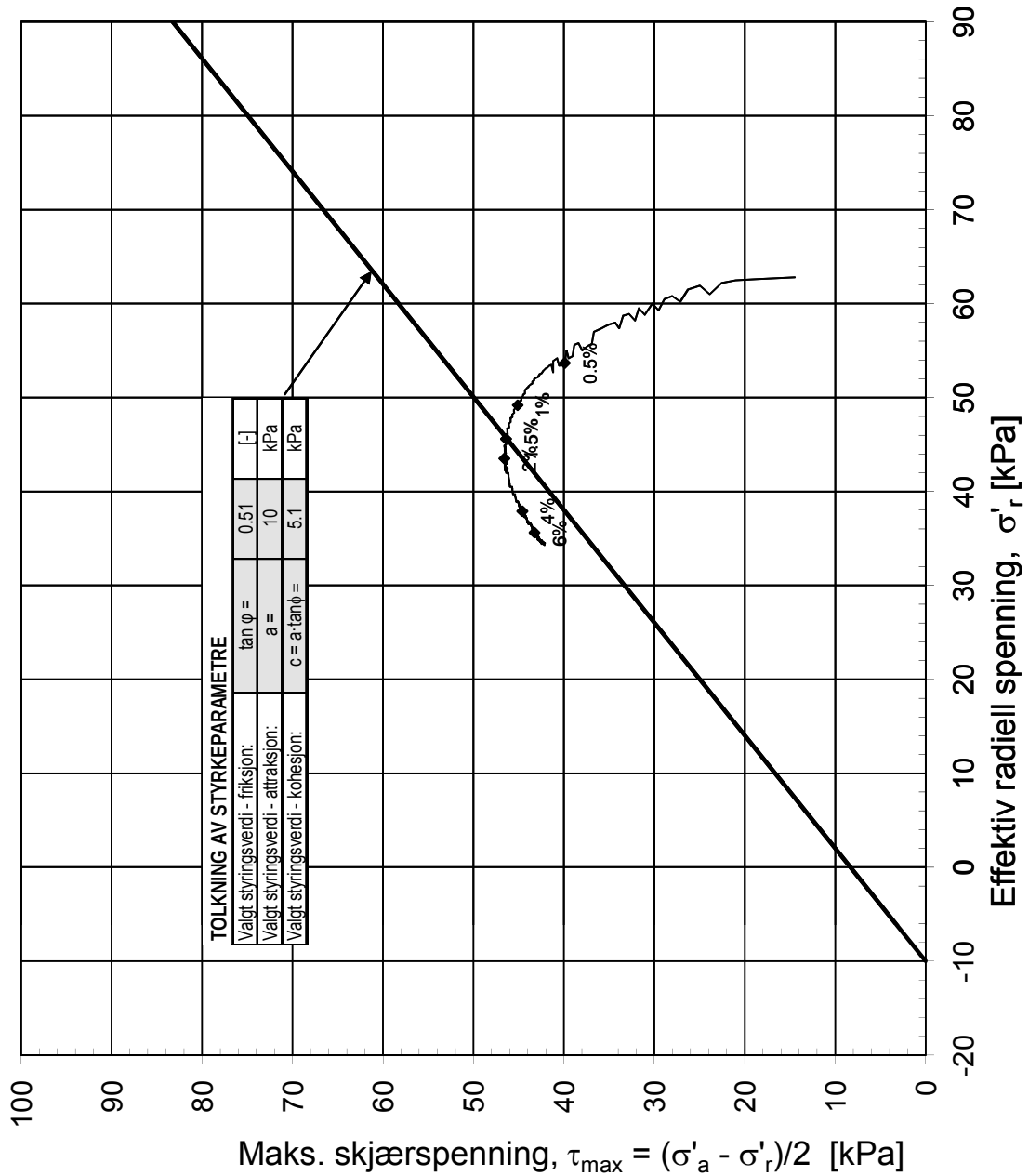
Treaks_samleplott.xlsx



MULTICONSULT AS
 Sluppenvegen 23,
 7486 TRONDHEIM
 Tlf.: 73 10 62 00
 Faks: 73 10 62 30

Forsøksdato: Mars 2010	Dybdeintervall, z (m): 5.30-8.55 m	Borpunkt nr.: 204, 214, 219
Forsøk nr.: -	Tegnet: EriS	Kontrollert: ROLS
Oppdrag nr.: 413941	Tegning nr.: 80	Godkjent: OAA

Programrevisjon:
13.10.2009



Konsolideringsspenninger:

$\sigma'_{ac} =$ 101.49 kPa

$\sigma'_{rc} =$ 71.04 kPa

Vanninnhold:

$w_i =$ 23.80 %

Densitet:

$\rho_i =$ 2.10 g/cm³

Volumtøyning i konsolideringsfase:

$\varepsilon_{vol} = \Delta V/V_0 =$ 1.62 %

Flatanger kommune

Områdevurdering Lauvsnes

Treksialforsøk. Tolkning av parametre. NTNU-plott.

MULTICONSULT AS

Sluppenvegen 23,
7486 TRONDHEIM
Tlf.: 73 10 62 00
Faks: 73 10 62 30

Forsøksdato: 17.03.2010 Dybde, z (m): 8.55 Borpunkt nr.: 204

Forsøk nr.: 1 Tegnet: kjt Kontrollert: røls Godkjent: ero

Oppdrag nr.: 413941 Tegning nr.: 81 Prosedyre: CAUa Programrevisjon:

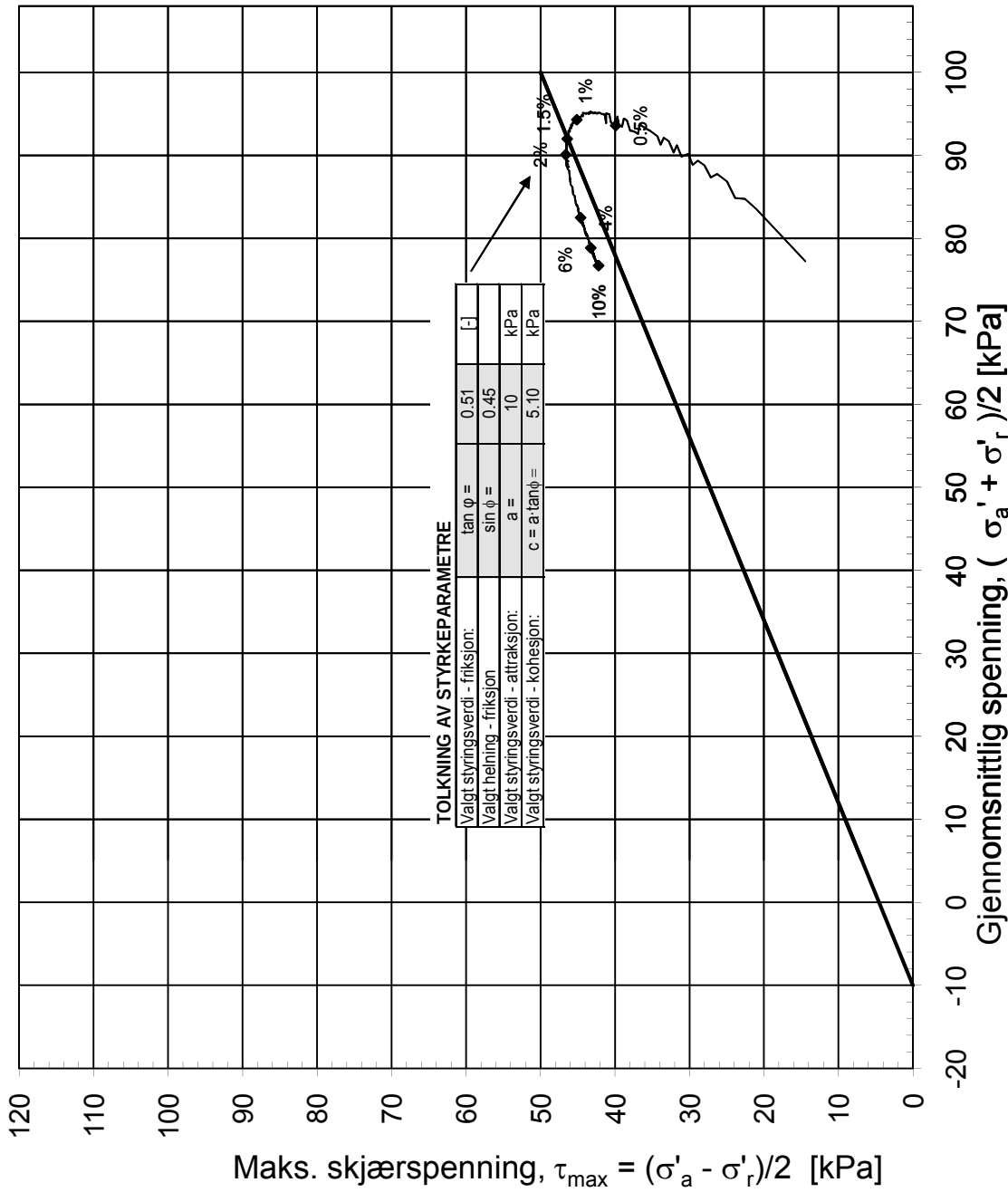
Tegningens filnavn:

H204,dybde 8,55 m.xlsx

Etter volumtøyning:

Etter poretallsendring:





Konsolideringsspenninger:

$\sigma'_{ac} = 101.49 \text{ kPa}$

$\sigma'_{rc} = 71.04 \text{ kPa}$

Vanninnhold:

$w_i = 23.80 \text{ \%}$

Densitet:

$\rho_i = 2.10 \text{ g/cm}^3$

Volumtøyning i konsolideringsfase:

$\varepsilon_{vol} = \Delta V/V_0 = 1.62 \text{ \%}$

Flatanger kommune

Områdevurdering Lauvsnes

Treaksalforsøk. Tolkning av parametre. NGI-plott.

MULTICONSULT AS

Sluppenvegen 23,
7486 TRONDHEIM
Tlf.: 73 10 62 00
Faks: 73 10 62 30

Forsøksdato:

Dybde, z (m):

Borpunkt nr.:

17.03.2010

8.55

204

Forsøk nr.:

Tegnet:

Kontrollert:

1

kjt

rols

Oppdrag nr.:

Tegning nr.:

Prosedyre:

413941

82

CAUa

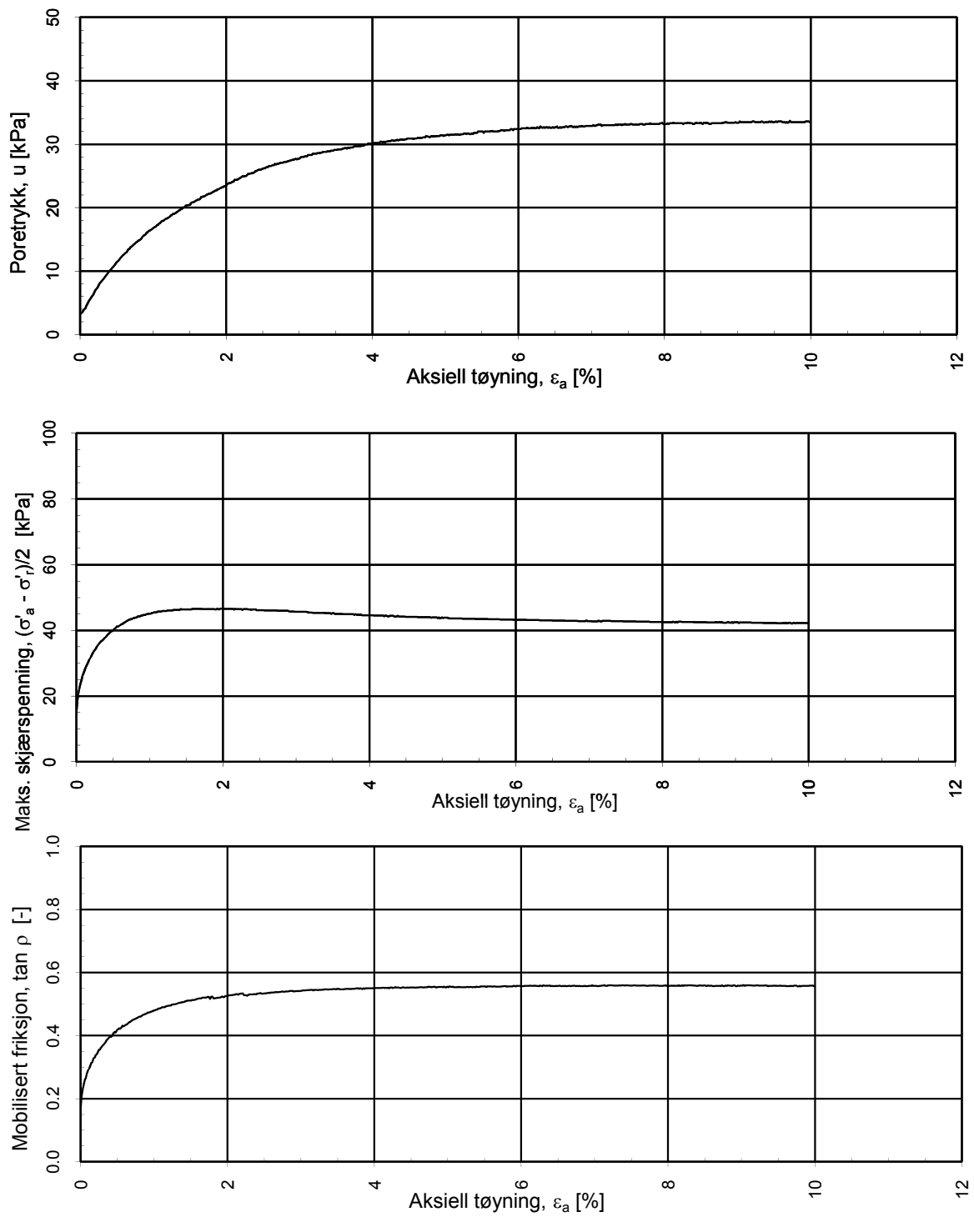
Prøvekvalitet

Tegningens filnavn:

H204,dybde 8,55 m.xlsx

Etter volumtøyning:

Etter poretallsendring:



Flatanger kommune

Områdevurdering Lauvsnes

Treaksialforsøk. Poretrykks- og mobiliseringsforløp.

Tegningens filnavn:

H204,dybde 8,55 m.xlsx



MULTICONSULT AS

Sluppenvegen 23,
7486 TRONDHEIM
Tlf.: 73 10 62 00
Faks: 73 10 62 30

Forsøksdato:
17.03.2010

Dybde, z (m):
8.55

Borpunkt nr.:
204

Tegningens filnavn:

H204,dybde 8,55 m.xlsx

Forsøk nr.:

1

Tegnet:

kjt

Kontrollert:

rols

Godkjent:

ero

Oppdrag nr.:

413941

Tegning nr.:

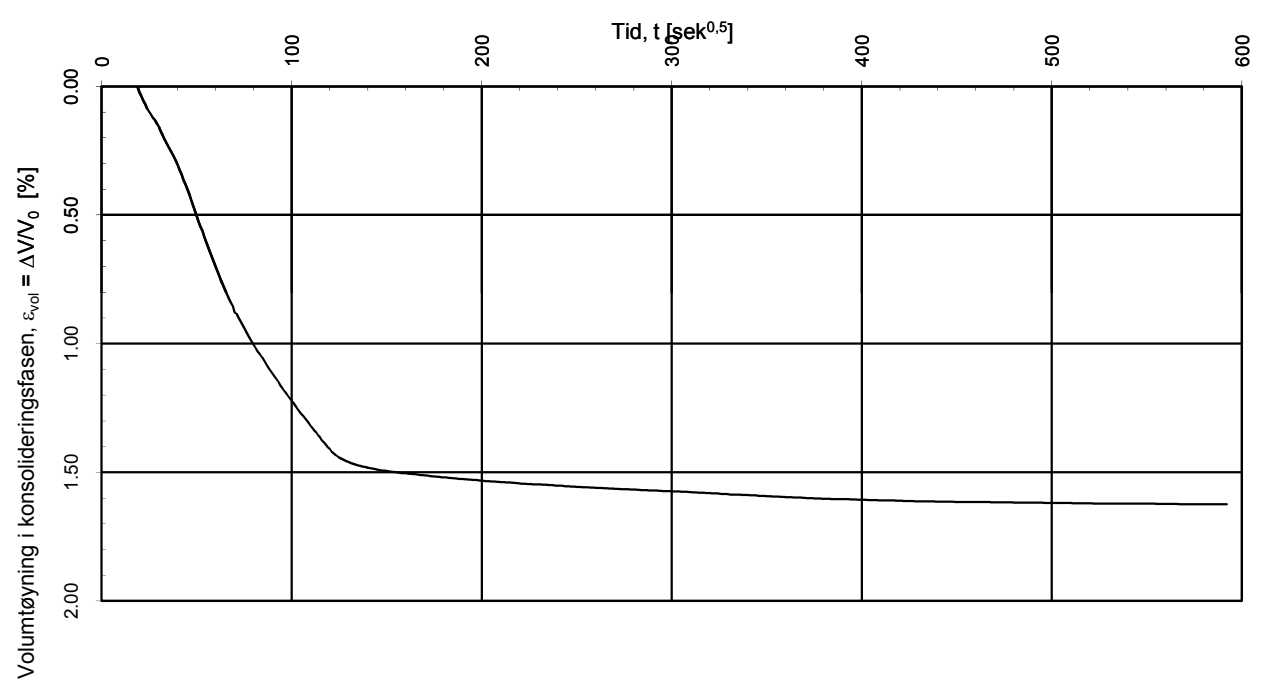
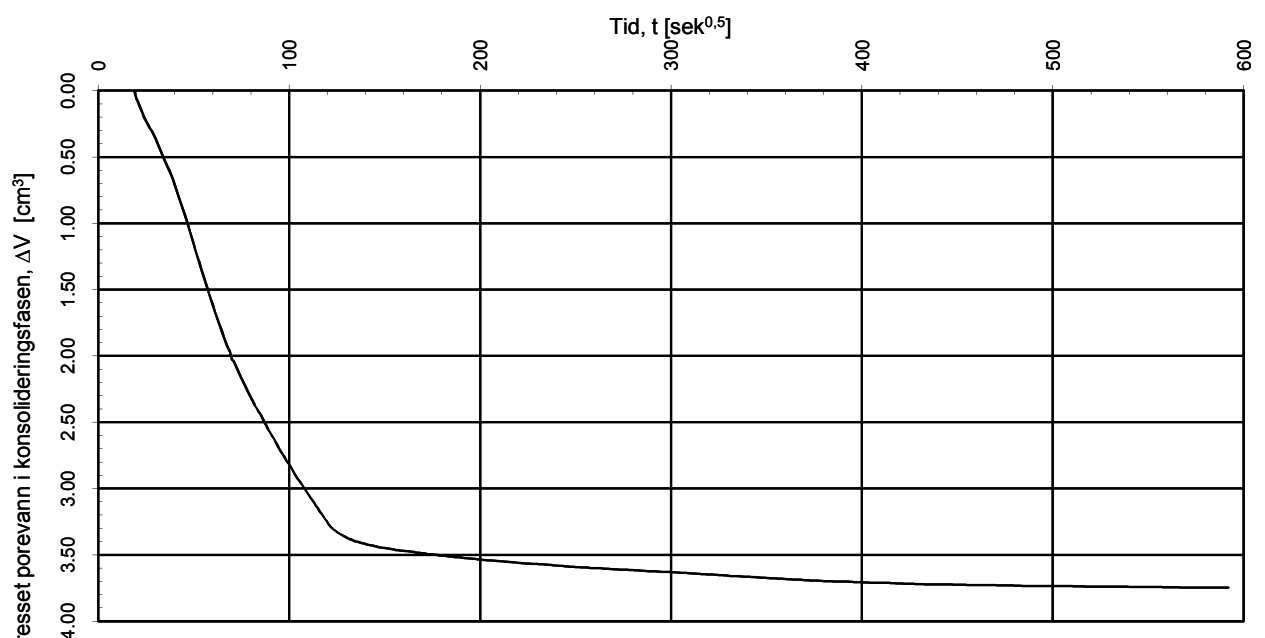
83

Prosedyre:

CAUa

Programrevisjon:

13.10.2009



Konsolideringsspenninger:

$\sigma'_{\text{ac}} = 101.49$ kPa

$\sigma'_{\text{rc}} = 71.04$ kPa

Vanninnhold:

$w_i = 23.80$ %

Densitet:

$\rho_i = 2.10$ g/cm³

Volumtøyning i konsolideringsfase:

$\varepsilon_{\text{vol}} = \Delta V/V_0 = 1.62$ %

Flatanger kommune

Tegningens filnavn:
H204,dybde 8,55 m.xlsx

Områdevurdering Lauvsnes

Treaksialforsøk. Vannutpressing - tid, konsolideringsfase.



MULTICONSULT AS

Sluppenvegen 23,
7486 TRONDHEIM
Tlf.: 73 10 62 00
Faks: 73 10 62 30

Forsøksdato:

17.03.2010

Dybde, z (m):

8.55

Borpunkt nr.:

204

Forsøk nr.:

1

Tegnet:

kjt

Kontrollert:

rols

Godkjent:

ero

Oppdrag nr.:

413941

Tegning nr.:

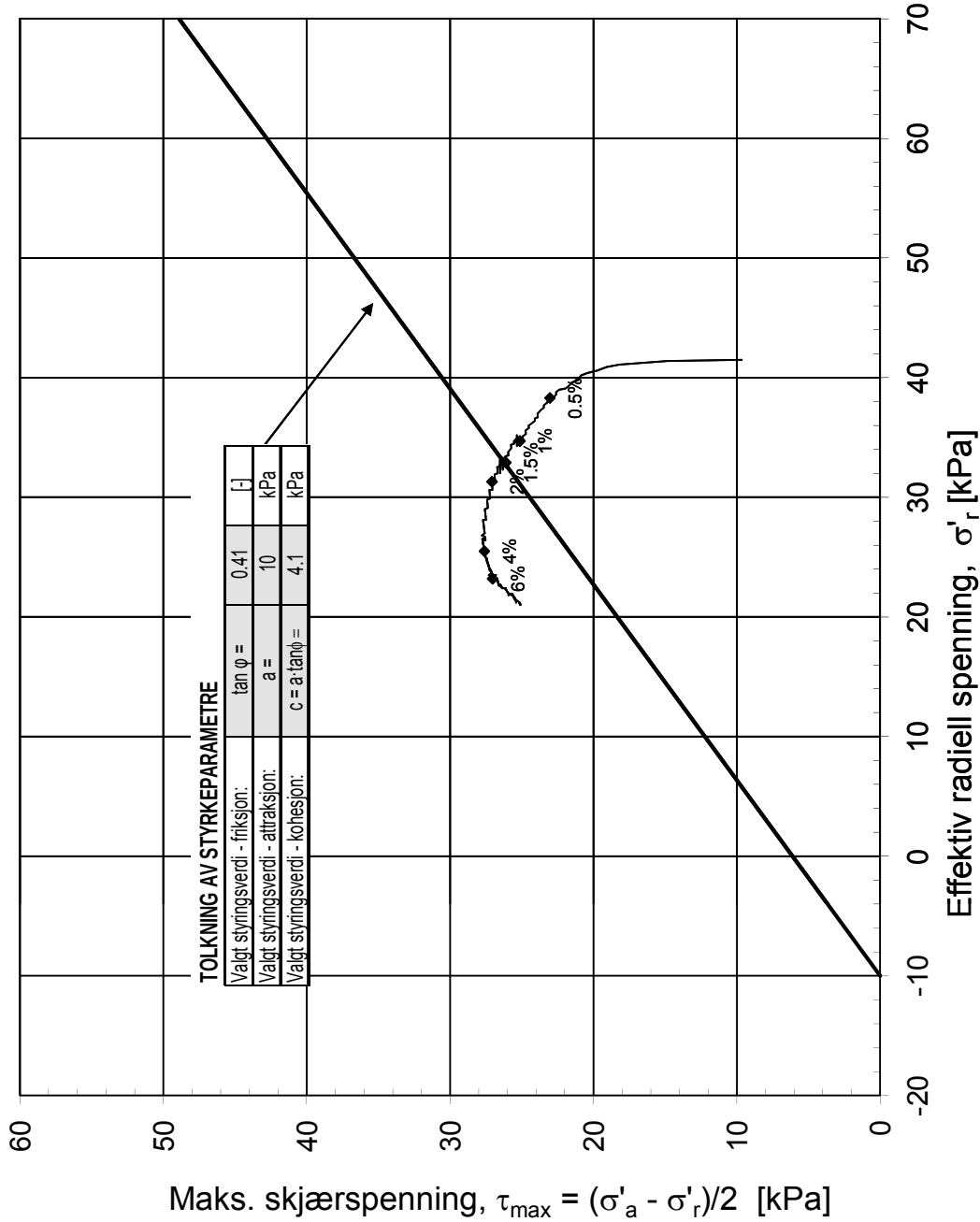
84

Prosedyre:

CAUa

Programrevisjon:

13.10.2009



Konsolideringsspenninger:

$\sigma'_{ac} = 68.30 \text{ kPa}$

$\sigma'_{rc} = 47.81 \text{ kPa}$

Vanninnhold:

$w_i = 19.90 \%$

Densitet:

$\rho_i = 2.15 \text{ g/cm}^3$

Volumtøyning i konsolideringsfase:

$\varepsilon_{vol} = \Delta V/V_0 = 4.18 \%$

Flatanger kommune

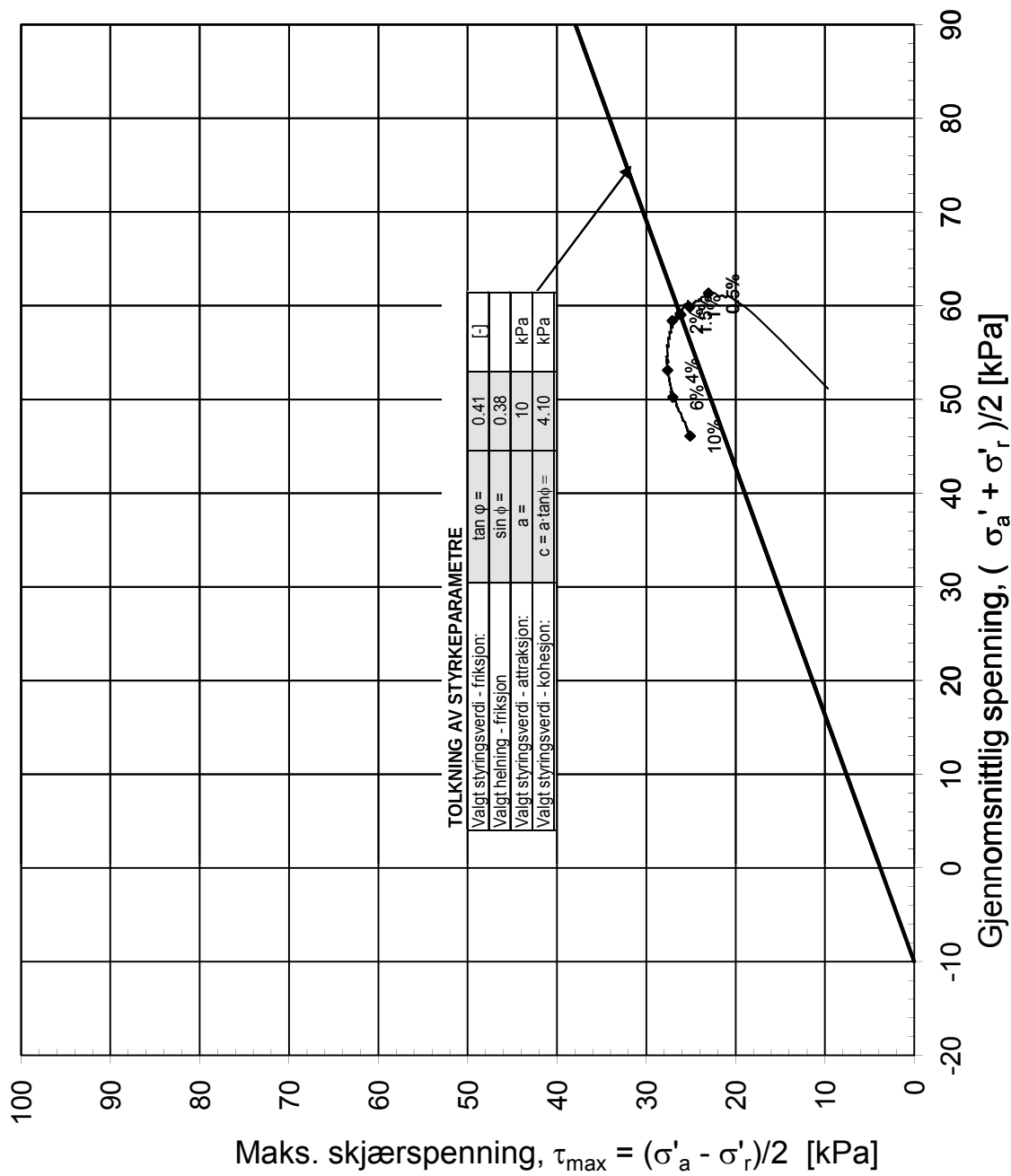
Områdevurdering Lauvsnes

Treaksialforsøk. Tolkning av parametre. NTNU-plott.

MULTICONSULT AS

Sluppenvegen 23,
7486 TRONDHEIM
Tlf.: 73 10 62 00
Faks: 73 10 62 30

Forsøksdato: 22.03.2010	Dybde, z (m): 5.30	Borpunkt nr.: 214	Tegningens filnavn: H214 dybde 5,30 m.xlsx
Forsøk nr.: 2	Tegnet: EriS	Kontrollert: rols	Etter volumtøyning:
Oppdrag nr.: 413941	Tegning nr.: 85	Prosedyre: CAUa	Etter poretallsendring: 



Konsolideringsspenninger:

$\sigma'_{ac} =$ 68.30 kPa

$\sigma'_{rc} =$ 47.81 kPa

Vanninnhold:

$w_i =$ 19.90 %

Densitet:

$\rho_i =$ 2.15 g/cm³

Volumtøyning i konsolideringsfase:

$\varepsilon_{vol} = \Delta V/V_0 =$ 4.18 %

Flatanger kommune

Prøvekvalitet

Tegningens filnavn:
H214 dybde 5,30 m.xlsx

Områdevurdering Lauvsnes

Etter volumtøyning:



Treksialforsøk. Tolkning av parametre. NGI-plott.

Etter poretallsendring:

MULTICONSULT AS

Sluppenvegen 23,
7486 TRONDHEIM
Tlf.: 73 10 62 00
Faks: 73 10 62 30

Forsøksdato:

Dybde, z (m):

Borpunkt nr.:

22.03.2010

5.30

214

Forsøk nr.:

Tegnet:

Kontrollert:

kjt

rols

Oppdrag nr.:

Tegning nr.:

Prosedyre:

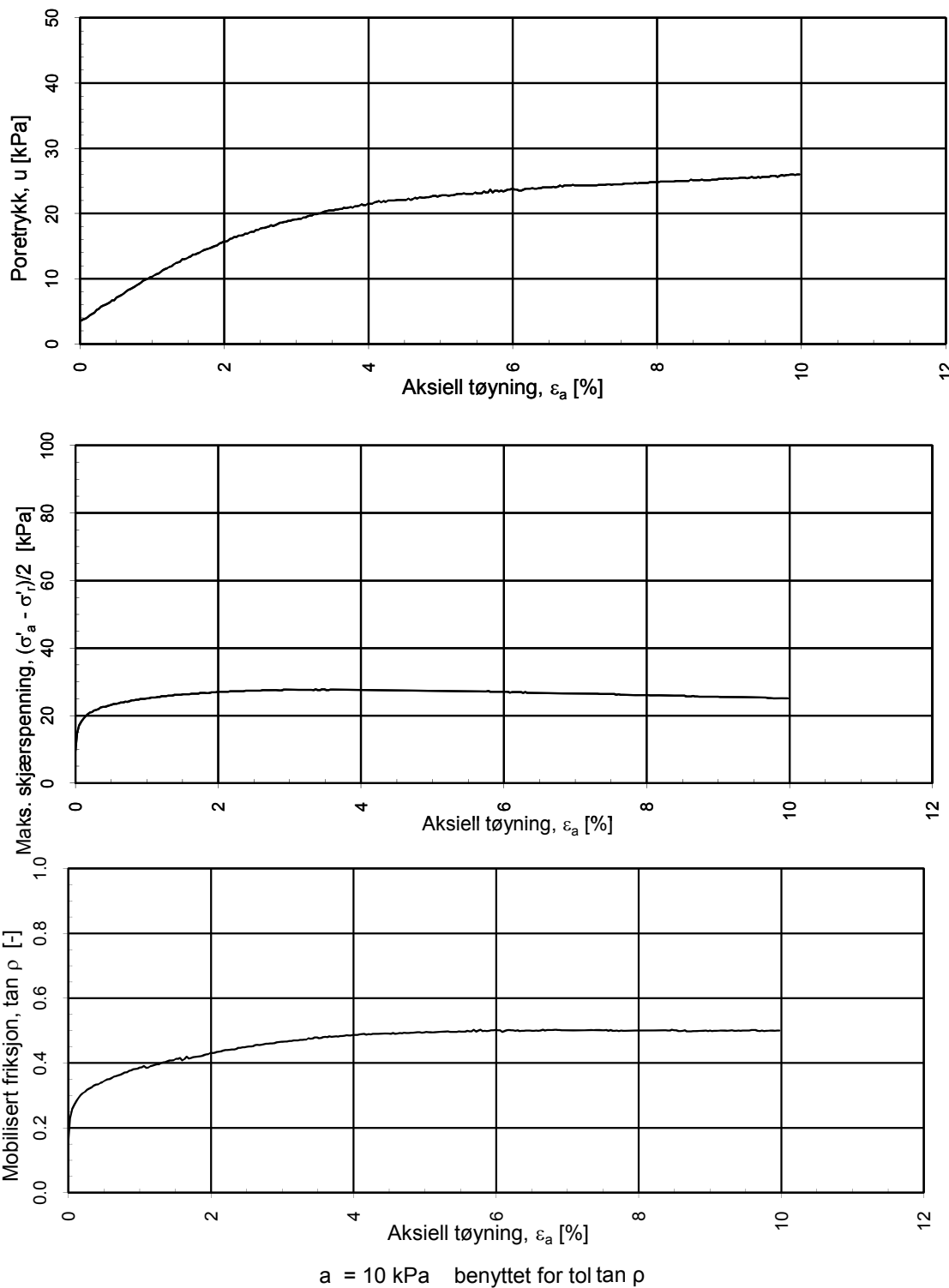
CAUa

Godkjent:

ero

Programrevisjon:

13.10.2009



Flatanger kommune

Områdevurdering Lauvsnes

Treaksialforsøk. Poretrykks- og mobiliseringsforløp.

Tegningens filnavn:

H214 dybde 5,30 m.xlsx



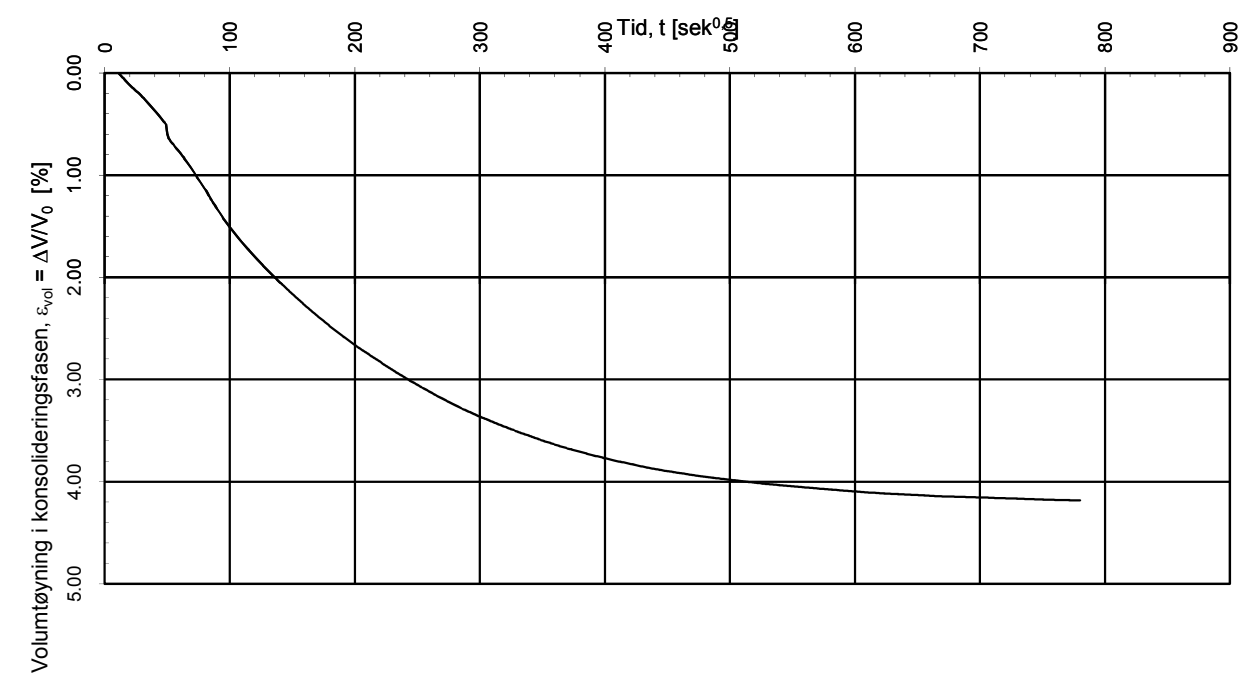
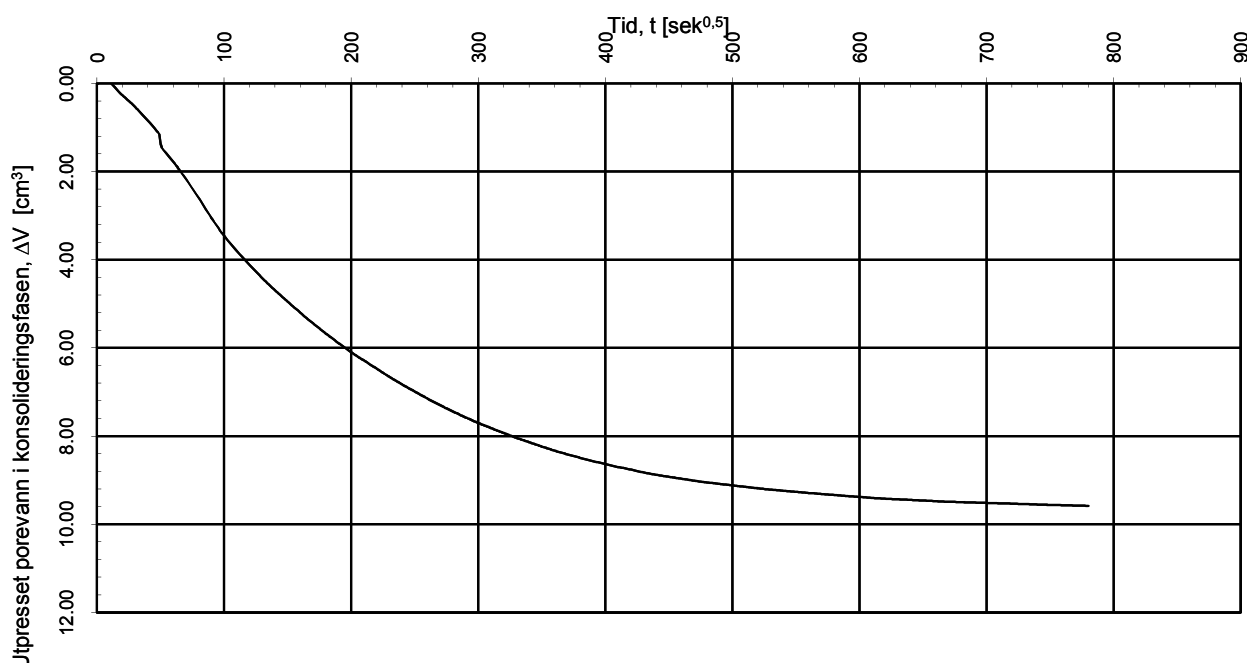
MULTICONSULT AS

Sluppenvegen 23,
7486 TRONDHEIM
Tlf.: 73 10 62 00
Faks: 73 10 62 30

Forsøksdato: 22.03.2010 Dybde, z (m): 5.30 Borpunkt nr.: 214

Forsøk nr.: 2 Tegnet: kjt Kontrollert: rols Godkjent: ero

Oppdrag nr.: 413941 Tegning nr.: 87 Prosedyre: CAUa Programrevasjon: 13.10.2009



Konsolideringsspenninger:

$\sigma'_{ac} = 68.30$ kPa

$\sigma'_{rc} = 47.81$ kPa

Vanninnhold:

$w_i = 19.90$ %

Densitet:

$\rho_i = 2.15$ g/cm³

Volumtøyning i konsolideringsfase:

$\epsilon_{vol} = \Delta V/V_0 = 4.18$ %

Flatanger kommune

Tegningens filnavn:
H214 dybde 5,30 m.xlsx

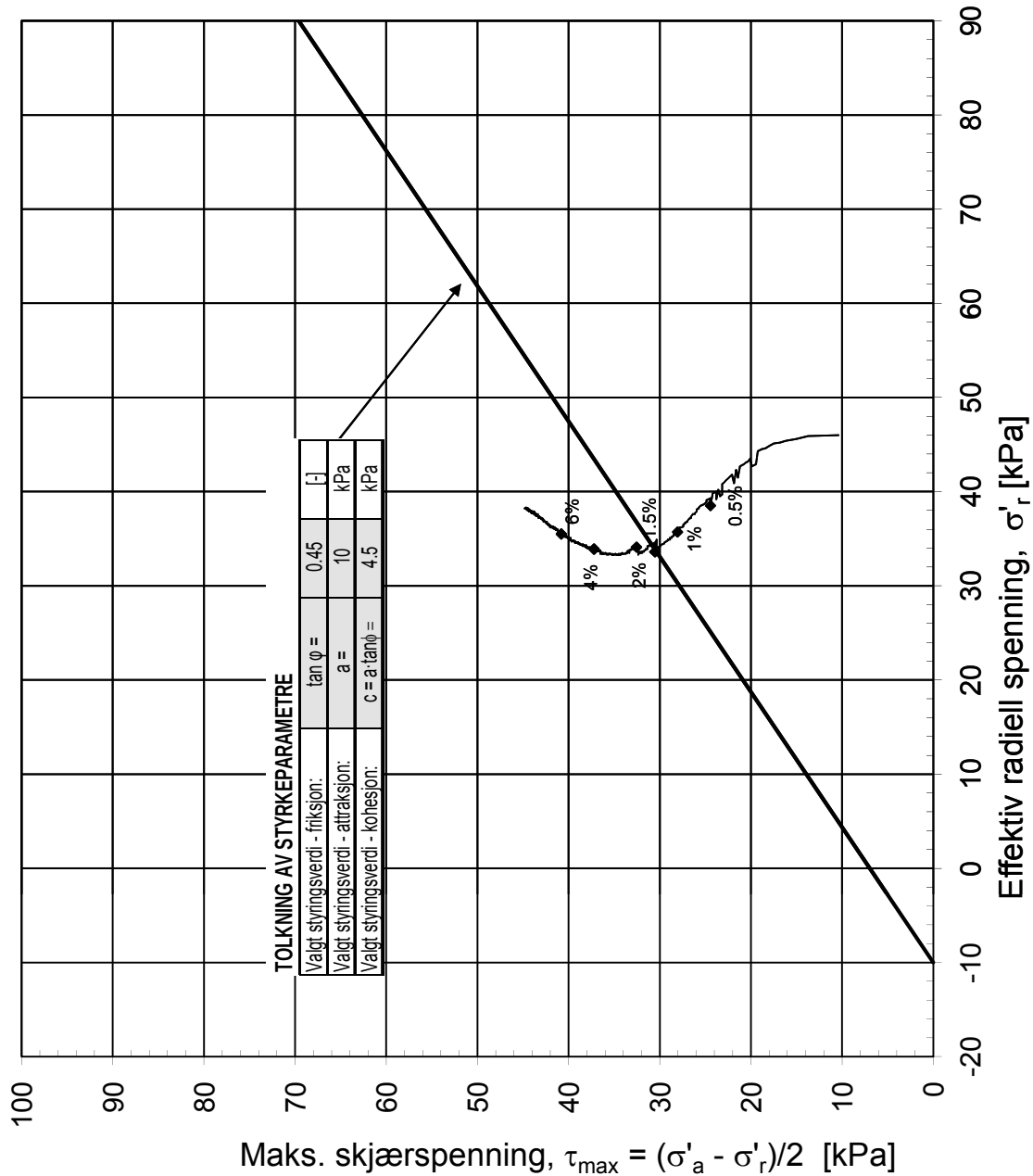
Områdevurdering Lauvsnes

Treaksialforsøk. Vannutpressing - tid, konsolideringsfase.



MULTICONSULT AS
Sluppenvegen 23,
7486 TRONDHEIM
Tlf.: 73 10 62 00
Faks: 73 10 62 30

Forsøksdato:	22.03.2010	Dybde, z (m):	5.30	Borpunkt nr.:	214
Forsøk nr.:	2	Tegnet:	kjt	Kontrollert:	rols
Oppdrag nr.:	413941	Tegning nr.:	88	Prosedyre:	CAUa
				Programrevisjon:	13.10.2009



Konsolideringsspenninger:

$\sigma'_{ac} =$ 75.34 kPa

$\sigma'_{rc} =$ 52.74 kPa

Vanninnhold:

$w_i =$ 21.40 %

Densitet:

$\rho_i =$ 2.09 g/cm³

Volumtøyning i konsolideringsfase:

$\varepsilon_{vol} = \Delta V/V_0 =$ 2.48 %

Flatanger kommune

Områdevurdering Lauvsnes

Treaksialforsøk. Tolkning av parametre. NTNU-plott.

MULTICONSULT AS

Sluppenvegen 23,
7486 TRONDHEIM
Tlf.: 73 10 62 00
Faks: 73 10 62 30

Prøvekvalitet

Tegningens filnavn:
H219, dybde 6,05 m.xlsx

Etter volumtøyning:



Etter poretallsendring:

MULTICONSULT

Forsøksdato: Dybde, z (m): Borpunkt nr.:

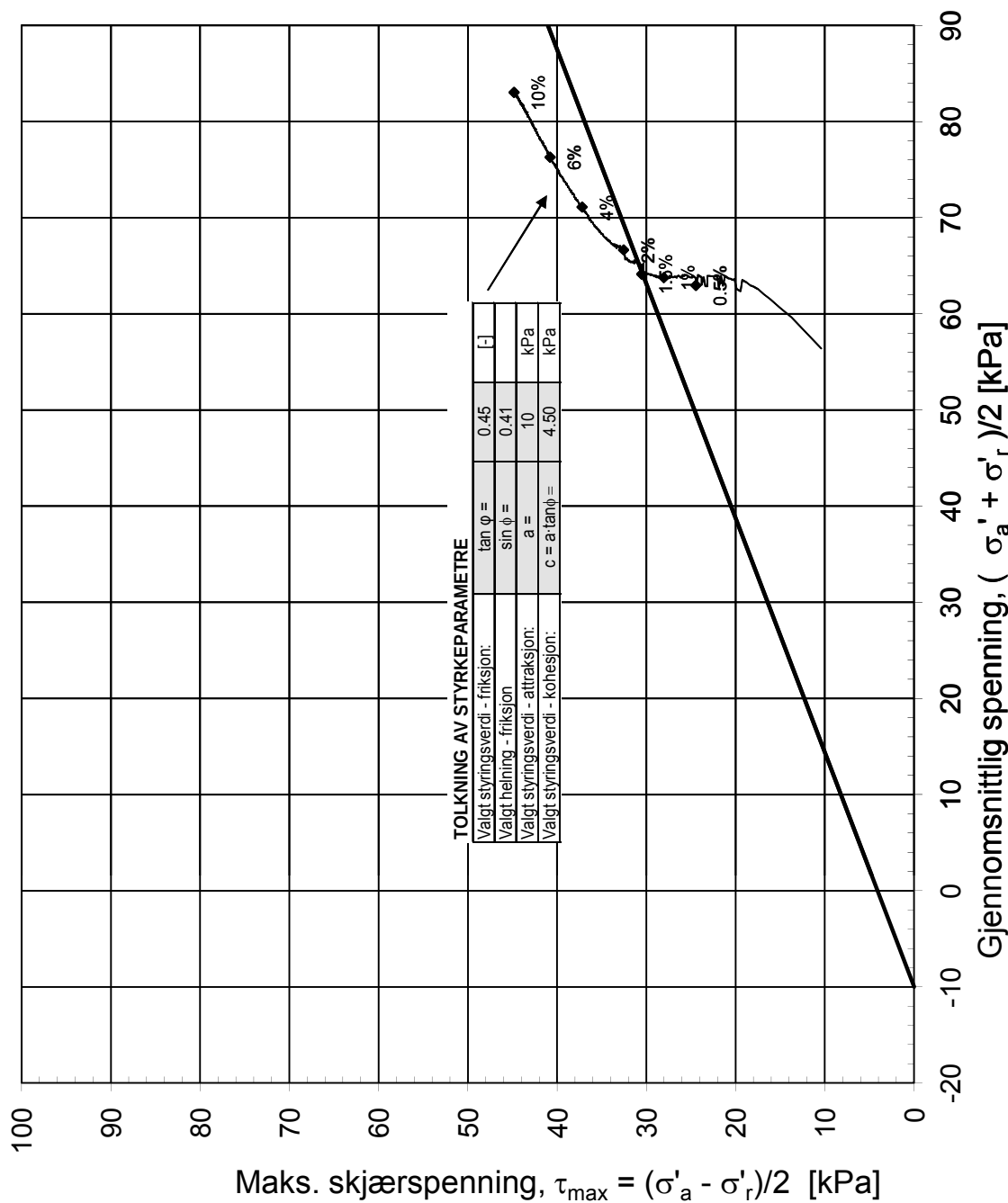
22.03.2010 6.05 219

Forsøk nr.: Tegnet: Kontrollert: Godkjent:

3 EriS rols oaa

Oppdrag nr.: Tegning nr.: Prosedyre: Programrevisjon:

413941 89 CAUa 13.10.2009



Konsolideringsspenninger:

$\sigma'_{ac} = 75.34$ kPa

$\sigma'_{rc} = 52.74$ kPa

Vanninnhold:

$w_i = 21.40$ %

Densitet:

$\rho_i = 2.09$ g/cm³

Volumtøyning i konsolideringsfase:

$\varepsilon_{vol} = \Delta V/V_0 = 2.48$ %

Flatanger kommune

Områdevurdering Lauvsnes

Treaksalforsøk. Tolkning av parametre. NGI-plott.

MULTICONSULT AS

Sluppenvegen 23,
7486 TRONDHEIM
Tlf.: 73 10 62 00
Faks: 73 10 62 30

Forsøksdato:

22.03.2010

Dybde, z (m):

6.05

Borpunkt nr.:

219

Forsøk nr.:

3

Tegnet:

kjt

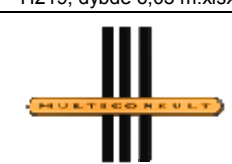
Kontrollert:

rols

Tegningens filnavn:

H219, dybde 6,05 m.xlsx

Etter volumtøyning:

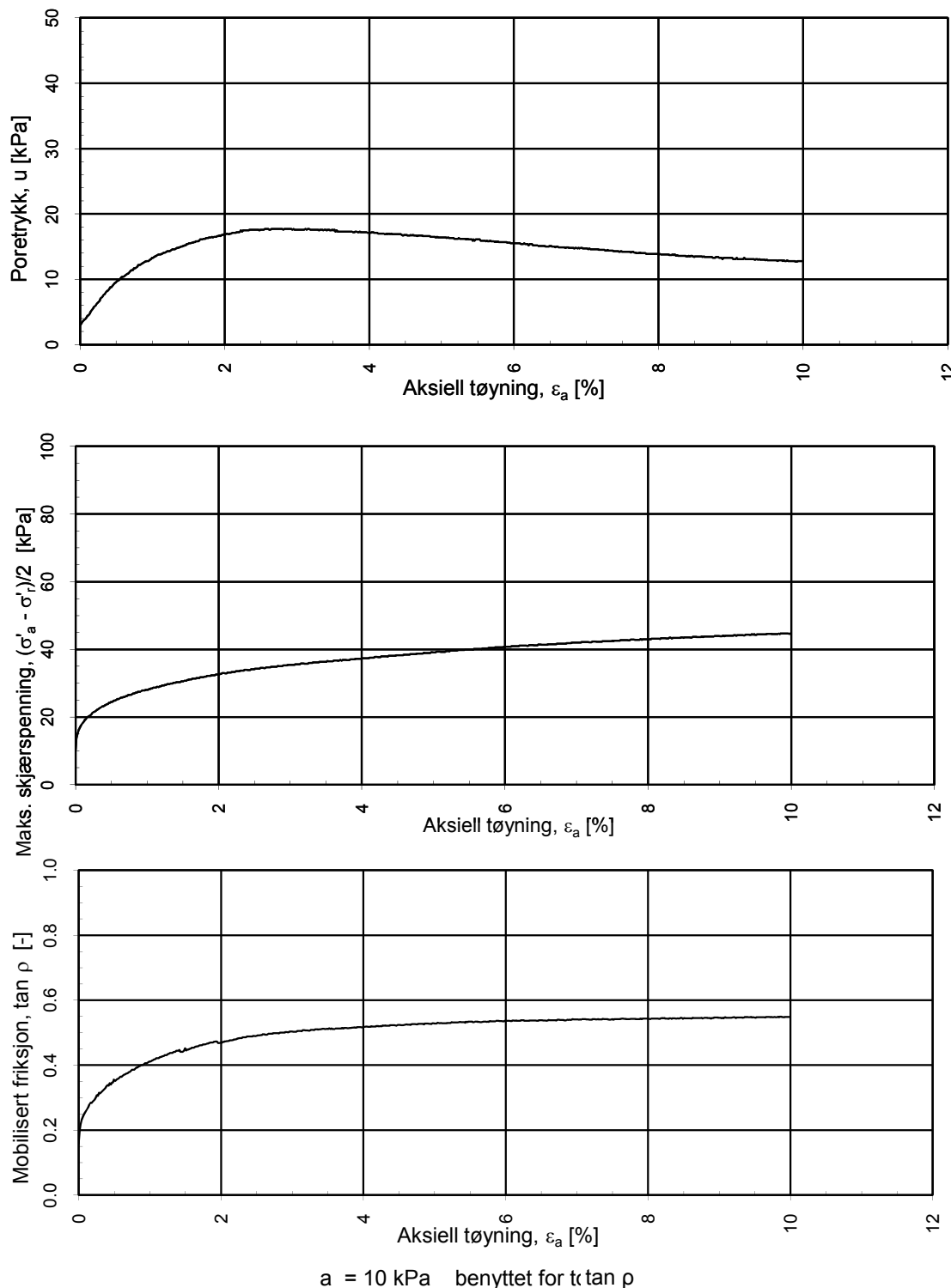


Etter poretallsendring:

PROSESØR

PROGRAMREVISJON:

13.10.2009



Flatanger kommune

Områdevurdering Lauvsnes

Treaksialforsøk. Poretrykks- og mobiliseringsforløp.

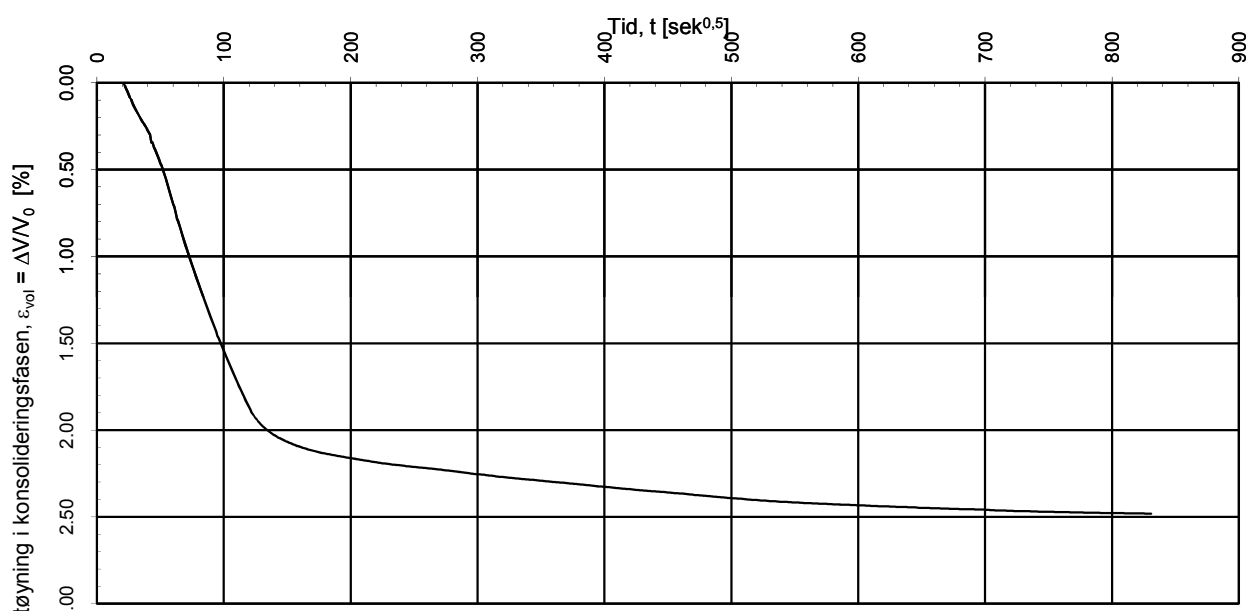
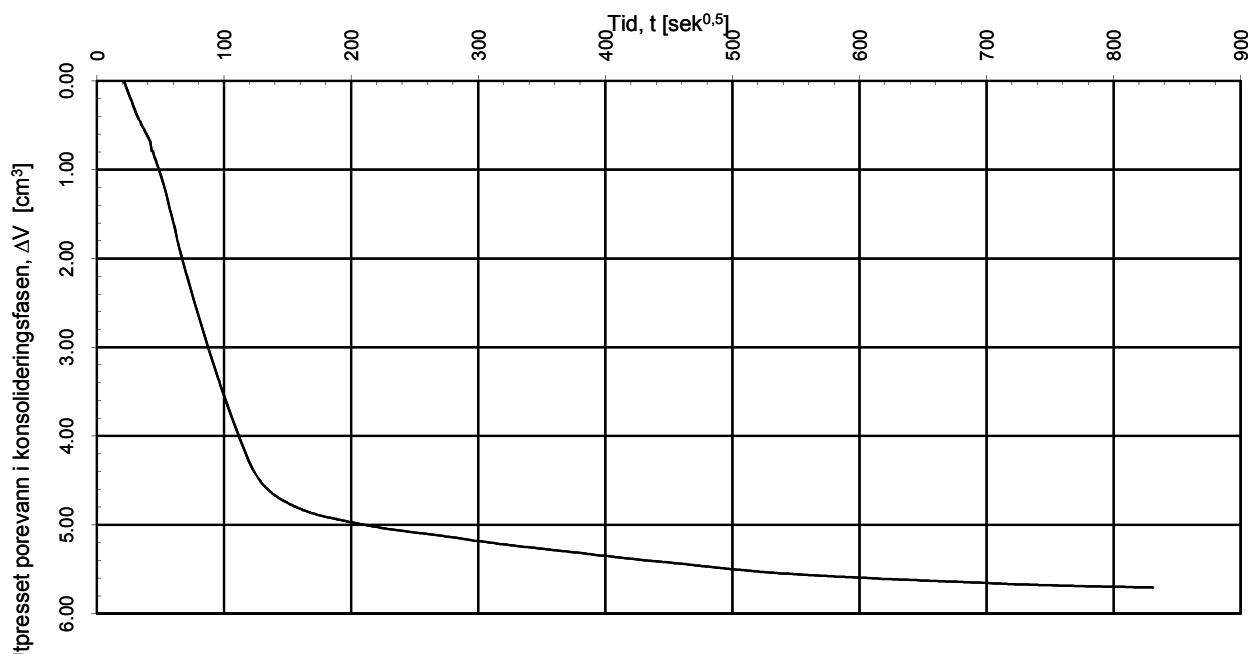
Tegningens filnavn:
H219, dybde 6,05 m.xlsx



MULTICONSULT AS

Sluppenvegen 23,
7486 TRONDHEIM
Tlf.: 73 10 62 00
Faks: 73 10 62 30

Forsøksdato:	22.03.2010	Dybde, z (m):	219
Forsøk nr.:	3	Tegnet:	kjt
Oppdrag nr.:	413941	Kontrollert:	rols
		Godkjent:	ero
		Programrevisjon:	13.10.2009



Konsolideringsspenninger: $\sigma'_{ac} = 75.34$ kPa

$\sigma'_{rc} = 52.74$ kPa

Vanninnhold: $w_i = 21.40$ %

Densitet: $\rho_i = 2.09$ g/cm³

Volumtøyning i konsolideringsfase: $\varepsilon_{vol} = \Delta V/V_0 = 2.48$ %

Flatanger kommune

Områdevurdering Lauvsnes

Treaksialforsøk. Vannutpressing - tid, konsolideringsfase.

Tegningens filnavn:
H219, dybde 6,05 m.xlsx



MULTICONSULT AS Sluppenvegen 23, 7486 TRONDHEIM Tlf.: 73 10 62 00 Faks: 73 10 62 30	Forsøksdato:	Dybde, z (m):	Borpunkt nr.:
	22.03.2010	6.05	219
	Forsøk nr.:	Tegnet:	Kontrollert:
	3	kjt	rols
	Oppdrag nr.:	Tegning nr.:	Godkjent:
	413941	92	ero
		Prosedyre:	Programrevisjon:
		CAUa	13.10.2009

Utførte aksjoner etter 3. partskontroll



Oppdragsgiver:	Flatanger kommune			
Oppdrag:	Lauvsnes Flatanger – Områdevurdering Lauvsnes			
Oppdragsnummer:	413941			
Dato 3. partskontroll:	03.05.2011			
Dato revisjon:	10.03.2011			
Revisjonsnr. 3. partskontroll:	NGI Trondheim			
Totalt sider skjema:	11			
		Dok. nr.	Tittel	Dato
Dok. underlagt kontroll:	1	413941-1 413941-2 413941-RIG 01 413941-2, rev.1	Vurdering av områdestabilitet Lauvsnes. Beregnings- og vurderingsrapport.	10.03.2011
Utført av:			Rolf Sandven, Erik Schiøtz	
Kontrollert av:			Erling Romstad	Erling Romstad
Godkjent av:			Olav Årbogen	

Beskrivelse av oppdraget:

Notatet beskriver Multiconsults reaksjoner og planlagte oppfølging som følge av kommentarer fra NGIs uavhengige kontroll av rapport 413941-2, rev.1. Korreksjoner etter kommentarene er tatt hensyn til i vår endelige rapport 413941-2, rev.2 som utsendes om kort tid. Notatet oversendes Flatanger kommune v/Hans Petter Haukø, Arcon prosjekt v/Alf Rune Strømhylden og NGI Trondheim v/Ragnar Moholdt og Eystein Enlid.

KONTROLLSTATUS				
Kontrollkode	Forklaring	Kommentar		Kommentarkategori
OK	Kontrollert og godkjent. Eventuelt med kommentar.	TS R	TA F	Teknisk spørsmål Råd
ANM	Kontrollert med anmerkning. Godkjent med forbehold.			
IG	IKKE godkjent. Eventuelt med kommentar.	A MS	Å L	Teknisk anmerkning Forbehold Avklares Manglende samsvar Åpen Lukket
IR	Ikke relevant. Eventuelt med kommentar			

Kommentar	Utført aksjon	Kategori ¹⁾	Status ²⁾
Enkeltboringer			
Generelt	<p><i>Kommentarer fra uavhengig kontrollør omhandler i all vesentlighet stabilitetsforhold og parameterbestemmelse i Faresone 1 i Lauvsnes sentrum. Stabilitetsforholdene vil her bli vurdert i forbindelse med detaljprosjekteringen sv tilbygg på SPAR-butikken. I den forbindelse planlegges gjennomført supplerende grunnundersøkelser konsentrert langs Profil CC-2, med siktemål å forbedre parametergrunnlaget for nye stabilitetsanalyser. Dette inkluderer blant annet aktive og passive treaksialfrosøk, kontinuerlige ødometerforsøk samt poretrykksmålinger. Avklaringer knyttet til dette er gitt status IG i dette notatet, begrunnet med at dette er nødvendig for å bringe utredningsnivået i denne faresonen opp på reguleringsplannivå.</i></p> <p><i>For Faresone 2 er det vurdert og gjennomført en mindre nyansering av faresoneinndelingen, men uten nye stabilitetsvurderinger. Sikringstiltak må detaljprosjekteres i denne faresonen.</i></p> <p><i>Faresone 3 og 5 anses utredet på kommuneplannivå, men utredningsnivået gir et godt utgangspunkt for reguleringsplaner i området.</i></p> <p><i>Faresone 4 anses utredet på reguleringsplannivå.</i></p>	-	-
1 Tolking av kvikkleire – metode	<u>Kommentar:</u> Ingen <u>Handling:</u> Ingen	OK	L
2 Tilstrekkelig boredybde iht topografi	<u>Kommentar:</u> Ingen <u>Handling:</u> Ingen	OK	L
3 Kvalitetsklasse kontrollert	<u>Kommentar:</u> Ingen <u>Handling:</u> Ingen	OK	L
Type undersøkelser			
4 DTR/Totalsondering for sone-Begrensning	<u>Kommentar:</u> Ingen <u>Handling:</u> Ingen	OK	L
5 CPTU/prøvetaking eller vingeboring for parametertolkning	<u>Kommentar:</u> Ingen <u>Handling:</u> Ingen	OK	L
Omfang			
6 Tilstrekkelig mengde til å begrunne soneendring	<u>Kommentar:</u> Ingen <u>Handling:</u> Ingen	OK	L
7 Vurdert behov for undersøkelser utenfor sonen	<u>Kommentar:</u> Ingen <u>Handling:</u> Ingen	OK	L
Materialparametre for bruk i stabilitetsanalyser			

8 Dokumentert grunnlag for valg av parametre	<p><u>Kommentar:</u> <i>Både uavhengig kontrollør og Multiconsult har foreslått supplerende grunnundersøkelser i Faresone 1 for blant annet å forbedre parametergrunnlag og lagdelingsforutsetninger, spesielt i profil CC-2. Spesielt bør opptak av prøver med uforstyrret prøvekvalitet vektlegges. Laboratorieundersøkelsene bør omfatte aktive og passive treaksialforsøk, samt ødometerforsøk. Utbredelsen av kvikkleire bør undersøkes nærmere, også utover i marbakken.</i></p> <p><u>Handling:</u> Supplerende grunnundersøkelser, blant annet med flere ødometer-, aktive og passive treaksialforsøk samt poretrykksmålinger skal gjennomføres for tilbygg på SPAR-butikken. Disse forventes å gi bedre grunnlag for bestemmelse av designparametre, poretrykksfordeling og anisotropiforhold.</p>	ANM	Å
9 Konsolideringsforhold vurdert fra terrenget/ødometer, sammenligning med CPTU	<p><u>Kommentar:</u> <i>Ingen</i></p> <p><u>Handling:</u> <i>Ingen</i></p> <p>Merknad: Supplerende grunnundersøkelser, blant annet med flere ødometer-, aktive og passive treaksialforsøk skal gjennomføres for tilbygg på SPAR-butikken. Disse forventes å gi bedre parametergrunnlag for stabilitetsanalysene i Faresone 1, se pkt. 40.</p>	OK	L
10 Anisotropi vurdert	<p><u>Kommentar:</u> <i>Ingen</i></p> <p><u>Handling:</u> <i>Ingen</i></p>	OK	L
11 Brukt prinsipp om tøynings-kompatibilitet, også ved valg av anisotropiforhold	<p><u>Kommentar:</u> <i>Ingen</i></p> <p><u>Handling:</u> <i>Ingen</i></p>	OK	L
12 Tolkning av udrenert skjærfasthet fra CPTU	<p><u>Kommentar:</u> <i>Ingen</i></p> <p><u>Handling:</u> <i>Ingen</i></p> <p>Merknad: Supplerende grunnundersøkelser, blant annet med flere ødometer-, aktive og passive treaksialforsøk skal gjennomføres for tilbygg på SPAR-butikken. Disse forventes å gi bedre parametergrunnlag for stabilitetsanalysene i Faresone 1, se pkt. 40.</p>	OK	L
13 Justert skjærfasthet i forhold til eventuelle terregendringer	<p><u>Kommentar:</u> <i>Ingen</i></p> <p><u>Handling:</u> <i>Ingen</i></p>	OK	L
14 Reduksjon av s_u fra blokkprøver	<p><u>Kommentar:</u> <i>Ingen</i></p> <p><u>Handling:</u> <i>Ingen</i></p>	OK	L

15 Reduksjon av s_u fra CPTU for sensitive leirer	<u>Kommentar:</u> Ingen <u>Handling:</u> Ingen	OK	L
16 Korreksjon av s_u fra vingebor	<u>Kommentar:</u> Ingen <u>Handling:</u> Ingen	IR	L
17 Årstidsvariasjoner ved poretrykksbestemmelser vurdert	<u>Kommentar:</u> Ingen <u>Handling:</u> Ingen pålagte. Merknad: Det skal gjennomføres videre utredningsarbeid i forbindelse med tilbygg SPAR Flatanger, blant annet med oppfølging av poretrykk i byggefasesen. Nye målinger vil bli foretatt i 2 nye fjernavleste piezometerstasjoner i den forbindelse slik at eventuelle årstidsvariasjoner kan vurderes.	OK	L
18 Minimum en piezometerstasjon med piezometre i to dybder	<u>Kommentar:</u> Ingen <u>Handling:</u> Ingen pålagte. Merknad: Det skal gjennomføres videre utredningsarbeid i forbindelse med tilbygg SPAR Flatanger, blant annet med oppfølging av poretrykk i byggefasesen. Nye målinger vil bli foretatt i 2 nye fjernavleste piezometerstasjoner i den forbindelse slik at eventuelle årstidsvariasjoner kan vurderes, se pkt. 40.	OK	L
19 Valg av designparametre – udrenert skjærfasthet	<u>Kommentar:</u> Både uavhengig kontrollør og Multiconsult har foreslått supplerende grunnundersøkelser i Faresone 1 for blant annet å forbedre parametergrunnlag og lagdelingsforutsetninger, spesielt i profil CC-2 . Spesielt bør opptak av prøver med uforstyrret prøvekvalitet vektlegges. Laboratorieundersøkelsene bør omfatte aktive og passive treaksialforsøk, samt ødometerforsøk. Utbredelsen av kvikkleire bør undersøkes nærmere, også utover i marbakken. <u>Handling:</u> Supplerende grunnundersøkelser, blant annet med flere ødometer-, aktive og passive treaksialforsøk samt poretrykksmålinger skal gjennomføres for tilbygg på SPAR-butikken. Disse forventes å gi bedre grunnlag for bestemmelse av designparametre, poretrykksfordeling og anisotropiforhold.	ANM	Å
20 Valg av designparametre – effektivspenningsparametre	<u>Kommentar:</u> Ingen <u>Handling:</u> Ingen pålagte	OK	L

	<p>Merknad: Supplerende grunnundersøkelser, blant annet med flere ødometer-, aktive og passive treaksialforsøk skal gjennomføres for tilbygg på SPAR-butikken. Disse forventes å gi bedre parametergrunnlag for stabilitetsanalysene i Faresone 1, se pkt. 40.</p>		
21 Valg av designparametre – anisotropiforhold	<p><u>Kommentar:</u> <i>Både uavhengig kontrollør og Multiconsult har foreslått supplerende grunnundersøkelser i Faresone 1 for blant annet å forbedre parametergrunnlag og lagdelingsforutsetninger, spesielt i profil CC-2. Spesielt bør opptak av prøver med uforstyrret prøvekvalitet vektlegges. Laboratorieundersøkelsene bør omfatte aktive og passive treaksialforsøk, samt ødometerforsøk. Utbredelsen av kvikkleire bør undersøkes nærmere, også utover i marbakken.</i></p> <p><u>Handling:</u> Supplerende grunnundersøkelser, blant annet med flere ødometer-, aktive og passive treaksialforsøk samt poretrykksmålinger skal gjennomføres for tilbygg på SPAR-butikken. Disse forventes å gi bedre grunnlag for bestemmelse av designparametre, poretrykksfordeling og anisotropiforhold, se pkt. 40.</p>	ANM	Å
22 Valg av designparametre – tyngdetethet	<p><u>Kommentar:</u> <i>Ingen</i></p> <p><u>Handling:</u> <i>Ingen</i></p>	OK	L
Profilvalg – bruddtyper			
23 Profillassering (basert på OCR -forhold, høydeforskjeller, erosjonsforhold og lignende)	<p><u>Kommentar:</u> <i>Ingen</i></p> <p><u>Handling:</u> <i>Ingen</i></p>	OK	L
24 Lokal og global stabilitet undersøkt – påvisning av kritisk flate	<p><u>Kommentar:</u> <i>Nye detaljerte stabilitetsberegninger utføres for vurdering av stabilitetsforholdene i Faresone 1, med utgangspunkt i tilbygget på SPAR-butikken. Beregningene utføres med reviderte forutsetninger for beregningsparametre og geometri.</i></p> <p><u>Handling:</u> Detaljerte stabilitetsanalyser med vurdering av stabiliseringstiltak i Faresone 1 (Lauvsnes sentrum) basert på reviderte parameterverdier skal gjennomføres som en del av detaljprosjekteringen for tilbygg til SPAR-butikken. Dette inkluderer supplerende stabilitetsvurdering i den nordlige sonen der grunnforholdene i sjøen er noe bedre. Supplerende grunnundersøkelser forventes å gi bedre parametergrunnlag for stabilitetsanalysene.</p>	IG	Å
25 Alle aktuelle skredtyper vurdert	<p><u>Kommentar:</u> <i>Ingen</i></p> <p><u>Handling:</u> <i>Ingen</i></p>	OK	L

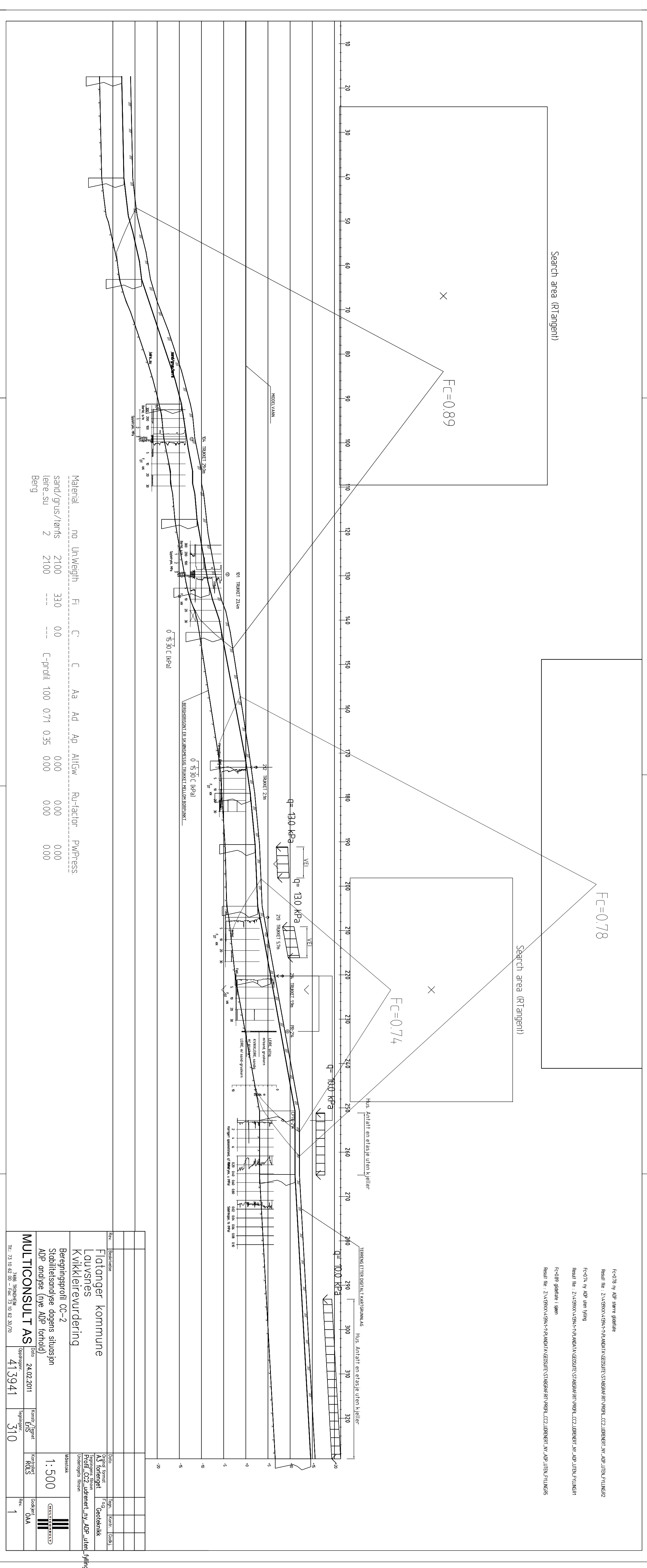
26 Skred fra utenfra området vurdert	<u>Kommentar:</u> Ingen <u>Handling:</u> Ingen	IR	L
Analyse			
27 Dagens og fremtidig situasjon – drenert jordoppførsel	<p><u>Kommentar:</u> Nye detaljerte stabilitetsberegninger utføres for vurdering av stabilitetsforholdene i Faresone 1, med utgangspunkt i tilbygget på SPAR-butikken. Beregningene utføres med reviderte forutsetninger for beregningsparametere og geometri.</p> <p><u>Handling:</u> Detaljerte stabilitetsanalyser med vurdering av stabiliseringstiltak i Faresone 1 (Lauvsnes sentrum) basert på reviderte parameterverdier skal gjennomføres som en del av detaljprosjekteringen for tilbygg til SPAR-butikken. Dette inkluderer supplerende stabilitetsvurdering i den nordlige sonen der grunnforholdene i sjøen er noe bedre. Supplerende grunnundersøkelser forventes å gi bedre parametergrunnlag for stabilitetsanalysene, se pkt. 40.</p>	IG	Å
28 Dagens og fremtidig situasjon – udrenert jordoppførsel (ADP anvendt eller s_u redusert tilstrekkelig iht anisotropiforhold	<p><u>Kommentar:</u> Nye detaljerte stabilitetsberegninger utføres for vurdering av stabilitetsforholdene i Faresone 1, med utgangspunkt i tilbygget på SPAR-butikken. Beregningene utføres med reviderte forutsetninger for beregningsparametere og geometri.</p> <p><u>Handling:</u> Detaljerte stabilitetsanalyser med vurdering av stabiliseringstiltak i Faresone 1 (Lauvsnes sentrum) basert på reviderte parameterverdier skal gjennomføres som en del av detaljprosjekteringen for tilbygg til SPAR-butikken. Dette inkluderer supplerende stabilitetsvurdering i den nordlige sonen der grunnforholdene i sjøen er noe bedre. Supplerende grunnundersøkelser forventes å gi bedre parametergrunnlag for stabilitetsanalysene, se pkt. 40.</p>	IG	Å
29 Anvendt beregningsprogram basert på grenselikevektsmetoden eller elementmetoden	<u>Kommentar:</u> Ingen <u>Handling:</u> Ingen	OK	L
30 Valgfri metode: Skjærtøyning langs kritisk glideflate sammenlignet med kurver fra treaksialforsøk	<u>Kommentar:</u> Ingen <u>Handling:</u> Ingen	OK	L
31 Modellering - lagdeling - tørrskorpe modellert, evtl. med vannfylt sprekk - fasthetsprofiler	<u>Kommentar:</u> Nye detaljerte stabilitetsberegninger utføres for vurdering av stabilitetsforholdene i Faresone 1 , med utgangspunkt i tilbygget på SPAR-butikken. Beregningene utføres med reviderte forutsetninger for beregningsparametere og geometri.	ANM	Å

(nivåer/interpolering) - grunnvannstand, poretrykksprofiler	<u>Handling:</u> Detaljerte stabilitetsanalyser med vurdering av stabiliseringstiltak i Faresone 1 (Lauvsnes sentrum) basert på reviderte parameterverdier skal gjennomføres som en del av detaljprosjekteringen for tilbygg til SPAR-butikken. Dette inkluderer supplerende stabilitetsvurdering i den nordlige sonen der grunnforholdene i sjøen er noe bedre. Supplerende grunnundersøkelser forventes å gi bedre parametergrunnlag for stabilitetsanalysene, se pkt. 40.		
Sikkerhetsnivå – krav til dokumentasjon			
32 Beregnet materialkoeffisient γ_m	<p><u>Kommentar:</u> Nye detaljerte stabilitetsberegninger utføres for vurdering av stabilitetsforholdene i Faresone 1, med utgangspunkt i tilbygget på SPAR-butikken. Beregningene utføres med reviderte forutsetninger for beregningsparametere og geometri.</p> <p><u>Handling:</u> Detaljerte stabilitetsanalyser med vurdering av stabiliseringstiltak i Faresone 1 (Lauvsnes sentrum) basert på reviderte parameterverdier skal gjennomføres. Dette inkluderer supplerende stabilitetsvurdering i den nordlige sonen der grunnforholdene i sjøen er noe bedre. Supplerende grunnundersøkelser forventes å gi bedre parametergrunnlag for stabilitetsanalysene. Geometriforutsetningene på land vurderes.</p>	IG	Å
33 Nødvendig prosentvis forbedring vurdert ved $\gamma_m < 1,4$	<p><u>Kommentar:</u> Nye detaljerte stabilitetsberegninger utføres for vurdering av stabilitetsforholdene i Faresone 1, med utgangspunkt i tilbygget på SPAR-butikken. Beregningene utføres med reviderte forutsetninger for beregningsparametere og geometri.</p> <p><u>Handling:</u> Detaljerte stabilitetsanalyser med vurdering av stabiliseringstiltak i Faresone 1 (Lauvsnes sentrum) basert på reviderte parameterverdier skal gjennomføres. Dette inkluderer supplerende stabilitetsvurdering i den nordlige sonen der grunnforholdene i sjøen er noe bedre. Supplerende grunnundersøkelser forventes å gi bedre parametergrunnlag for stabilitetsanalysene, se pkt. 40.</p>	IG	Å
34 Tilleggskrav med hensyn til erosjon etc.	<p><u>Kommentar:</u> Ingen</p> <p><u>Handling:</u> Ingen</p>	OK	L
35 Krav om mer avanserte grunnundersøkelser	<u>Kommentar:</u> Både uavhengig kontrollør og Multiconsult har foreslått supplerende grunnundersøkelser i Faresone 1 for blant annet å forbedre parametergrunnlag og lagdelingsforutsetninger, spesielt i profil CC-2 . Spesielt bør opptak av prøver med uforstyrret prøvekvalitet vektlegges. Laboratorieundersøkelsene bør omfatte aktive og passive	ANM	Å

	<p><i>treaksialforsøk, samt ødometerforsøk. Utbredelsen av kvikkleire bør undersøkes nærmere, også utover i marbakken.</i></p> <p><u>Handling:</u> Supplerende grunnundersøkelser, blant annet med flere ødometer-, aktive og passive treaksialforsøk samt poretrykksmålinger skal gjennomføres for tilbygg på SPAR-butikken. Disse forventes å gi bedre grunnlag for bestemmelse av designparametre, poretrykksfordeling og anisotropiforhold.</p>		
36 Oppdatere faregradsevaluering	<p><u>Kommentar:</u> Ingen</p> <p><u>Handling:</u> Ingen</p>	OK	L
Kontrollkrav			
37 Gjennomført internkontroll dokumentert	<p><u>Kommentar:</u> Ingen</p> <p><u>Handling:</u> Ingen</p>	OK	L
Tiltak			
38 Ved behov: Tiltak for å bedre områdets stabilitet vurdert og dokumentert	<p><u>Kommentar:</u> Nye detaljerte stabilitetsberegninger utføres for vurdering av stabilitetsforholdene i Faresone 1, med utgangspunkt i tilbygget på SPAR-butikken. Beregningene utføres med reviderte forutsetninger for beregningsparametre og geometri. Detaljprosjektering av foreslått motfylling forutsettes i forbindelse med stabiliseringstiltak i Faresone 2.</p> <p><u>Handling:</u> Detaljerte stabilitetsanalyser med vurdering av stabiliseringstiltak i Faresone 1 (Lauvsnes sentrum) basert på reviderte parameterverdier skal gjennomføres. Dette inkluderer supplerende stabilitetsvurdering i den nordlige sonen der grunnforholdene i sjøen er noe bedre. Supplerende grunnundersøkelser forventes å gi bedre parametergrunnlag for stabilitetsanalysene, se pkt. 40. Detaljprosjektering av foreslått motfylling vil bli gjennomført i Faresone 2, som grunnlag for gjennomføring av nye tiltak i området. Alternative tiltak vurderes hvis ikke reviderte forutsetninger er tilstrekkelig for forbedring av stabiliteten.</p>	IG	Å
39 Vurdert behov for soneendring	<p><u>Kommentar 1:</u> I den nordligste del av Faresone 1 overlapper denne med Delområde D hvor det anbefales prosjektering iht NS 3480, dvs NVEs retningslinjer settes til side.</p> <p><u>Handling 1:</u> NVEs retningslinjer skal gjelde for hele utredningsområdet, og teksten korrigeres på dette punktet slik at det er NVEs retningslinjer som er gjeldende.</p> <p><u>Kommentar 2:</u> Faresone 2 strekker seg helt opp til skolen og overlapper i øverste del av sonen med Delområde D, der enklere saksgang kan tillates. Uavhengig kontrollør NGI er enig med</p>	ANM	Å

	<p><i>Multiconsult om at enklere saksgang kan tillates for den øverste delen av den inntegnede faresonen. NGI foreslår at Multiconsult vurderer å begrense utstrekningen av faresonen oppover ved ca. kt 15. Lokal forekomst av kvikkleire ved Flatangerhallen avmerkes på kart, men uten å være del av en faresone.</i></p> <p><u>Handling 2:</u> Multiconsult tar bare forslaget om revurdering av sonegeometri delvis tilfølge. Vi opprettholder Faresone 2 med kontinuerlig kvikkleire opp mot skolen. Det innføres en overgangssone der det tillates enklere saksgang, markert med grønn skravur i tegning 413941-4 rev. 2. Som tidligere påpekt av NGI er det ikke utelukket at deler av overgangssone er representert med kvikkleire i grunnen, noe som åpner for kontinuerlige kvikkleirelag eller større lommer med kvikkleire i denne delen av Faresone 2.</p>		
40 Vurdert behov for supplerende grunnundersøkelser	<p><u>Kommentar:</u> <i>Både uavhengig kontrollør og Multiconsult har foreslått supplerende grunnundersøkelser i Faresone 1 for blant annet å forbedre parametergrunnlag og lagdelingsforutsetninger, spesielt i profil CC-2. Spesielt bør opptak av prøver med uforstyrret prøvekvalitet vektlegges. Laboratorieundersøkelsene bør omfatte aktive og passive treaksialforsøk, samt ødometerforsøk. Utbredelsen av kvikkleire bør undersøkes nærmere, også utover i marbakken.</i></p> <p><u>Handling:</u> Supplerende grunnundersøkelser, blant annet med flere ødometer-, aktive og passive treaksialforsøk samt poretrykksmålinger skal gjennomføres for tilbygg på SPAR-butikken. Multiconsult har forutsatt følgende borprogram for supplerende grunnundersøkelser:</p> <p><u>Feltundersøkelser</u></p> <ul style="list-style-type: none"> • Dreietrykksonderinger: 2 til 3 punkt • Trykksonderinger med poretrykksmåling, CPTU: 2 til 3 punkt • Uforstyrrede prøveserier, Ø76 mm diameter: 1 til 2 punkt • Poretrykksmålinger m/fjernavlesning: 2 nivåer i 2 stasjoner, tilsvarende <p><u>Laboratorieundersøkelser</u></p> <ul style="list-style-type: none"> • Rutineundersøkelser på opptatte prøver: 8 sylinder • Kontinuerlige ødometerforsøk: 2 forsøk 	ANM	Å

	<ul style="list-style-type: none"> • Treaksialforsøk, aktive: <p>4 forsøk</p> <ul style="list-style-type: none"> • Treaksialforsøk, passive: <p>2 forsøk</p> <p>Forsøksprogrammet forventes å gi bedre grunnlag for bestemmelse av designparametre, poretrykksfordeling og anisotropiforhold. Dette vil gi sikrere vurdering av stabiliteten i området, noe som vil være avgjørende i forhold til gjennomførbarheten av prosjektet.</p>		
41 Oppdatert skadekonsekvens- og faregradsevaluering (ROS-analyse)	<u>Kommentar:</u> Ingen <u>Handling:</u> Ingen	OK	L
42 Faresone- og skadekonsekvensvurdering	<u>Kommentar:</u> Ingen <u>Handling:</u> Ingen	OK	L
Helhetsvurdering/Tilleggskommentar			
Diverse			
	<u>Kommentar:</u> <i>Når utredningen er ferdig må rapport sendes til NVE for implementering av faresonen (med evaluering) i den nasjonale databasen.</i> <u>Handling:</u> Dette vil bli gjort etter at stabiliteten i Faresone 1 er ferdig utredet på reguleringsplannivå.		



Parsa gjifor
sammensatt, Fcf=2,07
Result file : Z:\439XX\4394\PLANDATA\SEGSUITE\STABGRAFI\PROFLCC2.DREHENT.REV367

Search area (Rangeren)
alle laster, venstre side, Fcf=2,07

Search area (Rangeren)
all laster, Fcf=1,86

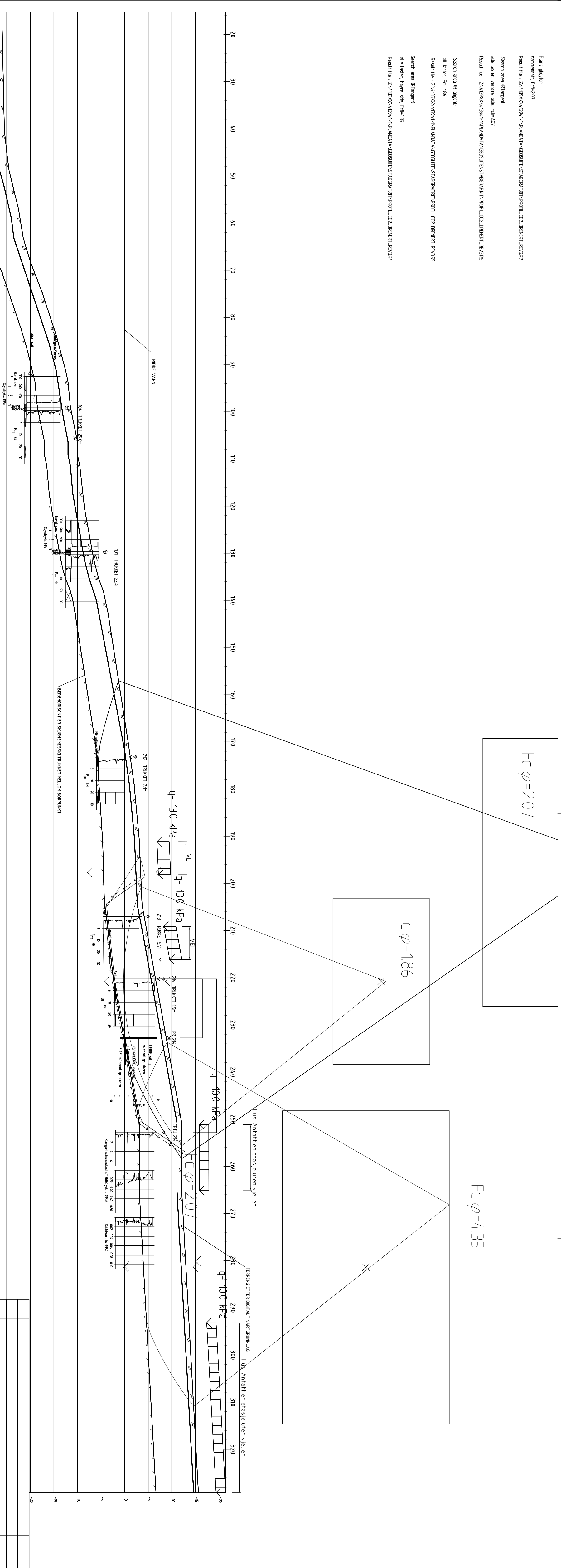
Search area (Rangeren)
alle laster, høyre side, Fcf=4,35

Search area (Rangeren)
Result file : Z:\439XX\4394\PLANDATA\SEGSUITE\STABGRAFI\PROFLCC2.DREHENT.REV366

$F_C \varphi = 2,07$

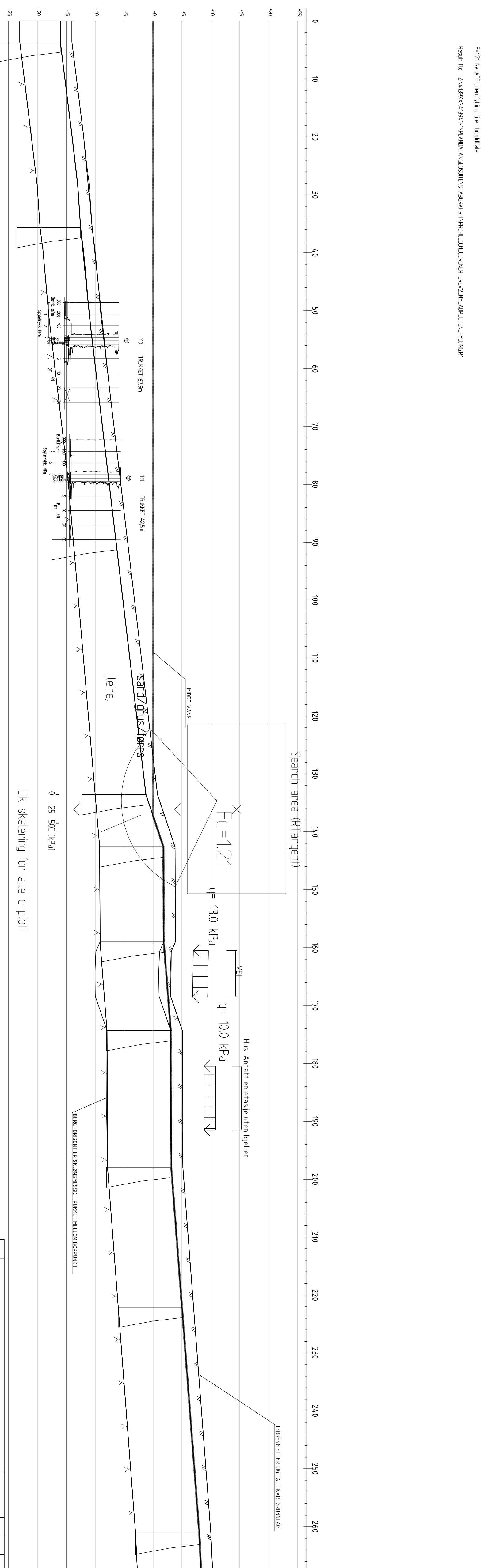
$F_C \varphi = 1,86$

$F_C \varphi = 4,35$



F=21 Ny AOP uten jylling uten bruddare

Result file: Z:\V439X\X43941\OP\ANDRA\K\GEOSETE\STABSGAFA\NP\PROF_001\OPRETRY\REV2\N\AOP_JTEN\PLUNGER



Material	no	Unweigh	f_i	C_c	C_a	A_d	A_p	Alt σ_w	Ru-faktor	Pw/Press
sand/grus/korts	2100	33,0	0,0	0,00	0,00	0,00	0,00	0,00	0,00	0,00
leire,	2100	--	--	C-profil	1,00	0,71	0,35	0,00	0,00	0,00
Berg										

Tekn	Eksplosiv	Geoteknikk	Oppg avdel	Kontr. teknol.
Flatanger kommune				
Lauvsnes				
Klikklerrevurdering				
Beregningssprofil DD-1-jordens situasjon				
Stabilitetsanalyse dagens situasjon				
AOP-anprise (ny AOP område)				
MULTICONSULT AS	24.02.2011	Kontr Agent Eriks kontrakt RØLS Eriks Ola	oppgave nr 413941	oppdrag nr 312
	ML 73 10 42 00 - Fm 73 10 42 30/00			1

Search area (Ringsonen)
Fr=4.86

Result file: Z:\439XX\43941\PLANDATA\GEOSUITE\ABGRAFAT\PROFL.DRENR1.REV288

Search area (Ringonen)
Fr=7.09

Result file: Z:\439XX\43941\PLANDATA\GEOSUITE\ABGRAFAT\PROFL.DRENR1.REV289

Plane gliditor
Fr=6.44

Result file: Z:\439XX\43941\PLANDATA\GEOSUITE\ABGRAFAT\PROFL.DRENR1.REV286

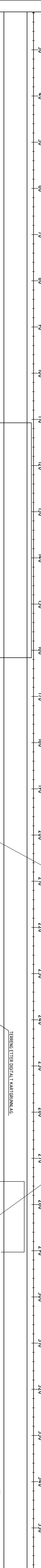
Plane gliditor
Fr=4.87

Result file: Z:\439XX\43941\PLANDATA\GEOSUITE\ABGRAFAT\PROFL.DRENR1.REV287

$$F_c \varphi = 4.86$$

$$F_c \varphi = 6.14$$

$$F_c \varphi = 4.87$$



TERRENG ETTER DIGITAL KARTGRUNN A.G.

Hus. Antatt en etasje uten kjeller

TRUKKET 58.1

CPU:206

Dato:

Tekn. kont. Godk.

A3 forlenget

Fao Geoteknikk

Tegnings nr. Profil Dørfenget Levetzung

Mønstikk

Underlaget finnon

Rev.:

Beskrivelse:

Dato:

Kont. Godk.

Original format

Fao Geoteknikk

Oppr. tegnet

Geoteknikk

Tegnings nr. Profil Dørfenget Levetzung

Multiconsult AS

Oppr. tegnet

Kontrollert

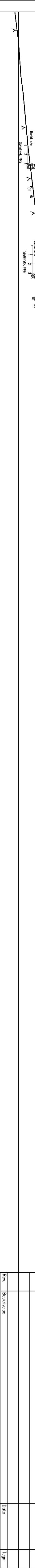
Geoteknikk

Oppr. tegnet

OBA

Rev.:

—



Flatanger kommune
Løvnsnes
Kvikkjokkrevurdering

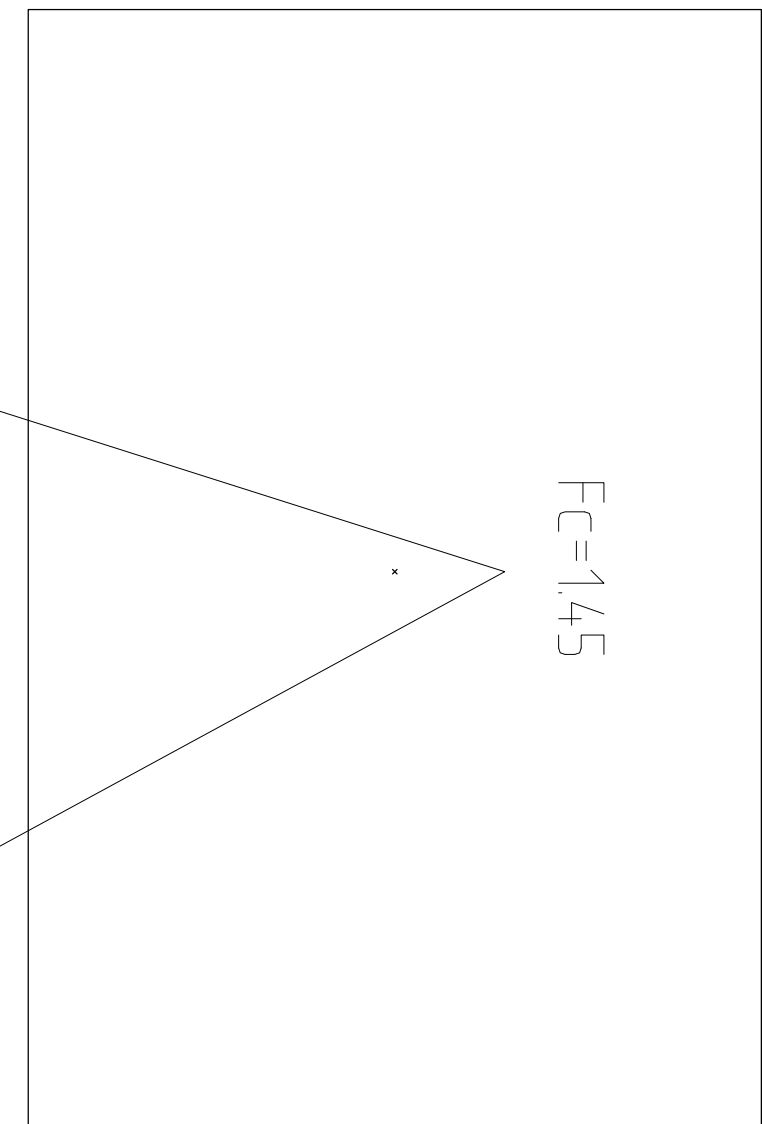
Beregningsprofil DD-1
Stabilitetsanalyse dagens situasjon
A-FI analyse

MULTICONSULT AS
Dato 26.10.2010
Oppr. tegnet ETS
Tegningsnr. 413941
Rev. 313

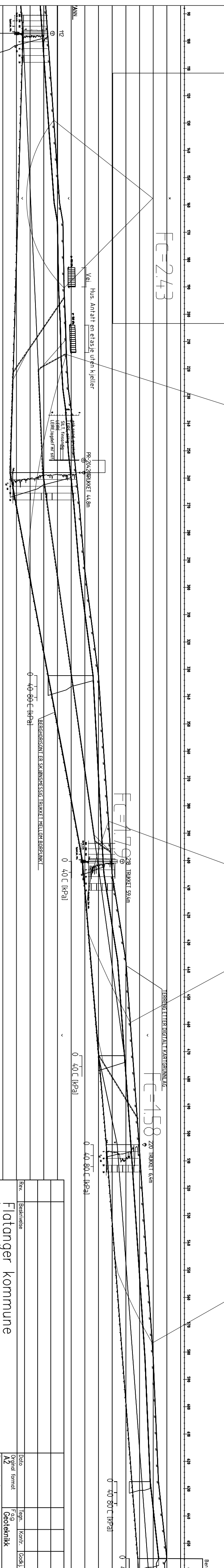
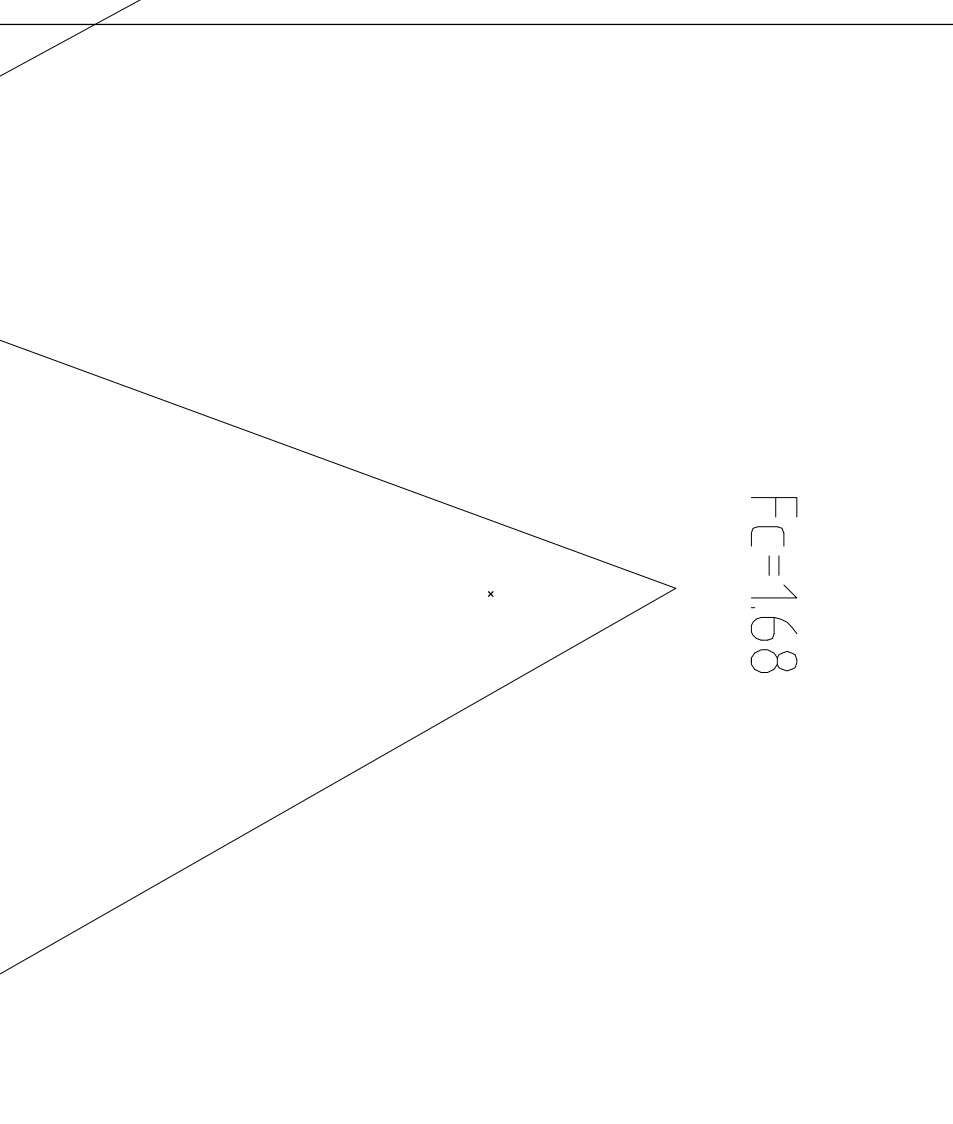
Tlf.: 73 10 52 00 - Fax: 73 10 62 30/70



H.C.=14



TEN



MULTICONSULT AS <small>Tlf.: 73 10 62 00 – Faks: 73 10 62 30/70 7486 TRONDHEIM</small>	<table border="1"> <tr> <td>Dato</td><td>27.10.2010</td><td>Konstr./Tegnet</td></tr> <tr> <td>Oppdragsnr.</td><td>413941</td><td>Eriks</td></tr> <tr> <td>Tegningsnr.</td><td>314</td><td></td></tr> </table>	Dato	27.10.2010	Konstr./Tegnet	Oppdragsnr.	413941	Eriks	Tegningsnr.	314	
Dato	27.10.2010	Konstr./Tegnet								
Oppdragsnr.	413941	Eriks								
Tegningsnr.	314									
Beregningssprofil EE-1 Stabilitetsanalyse dagens situasjon ADP analyse										

Search area (Target)

Fri=187

Result file : Z:\439XX\4394-\NPLANDA.GEOSTUDE\STABGRAF\PROFIL.LIRENER.REV18

Search area (Target)

Fri=120

Pma_gjeljar
Fri=172
Result file : Z:\439XX\4394-\NPLANDA.GEOSTUDE\STABGRAF\PROFIL.LIRENER.REV18

Search area (Target)

Fri=28

Result file : Z:\439XX\4394-\NPLANDA.GEOSTUDE\STABGRAF\PROFIL.LIRENER.REV18

Search area (Target)

Fri=12

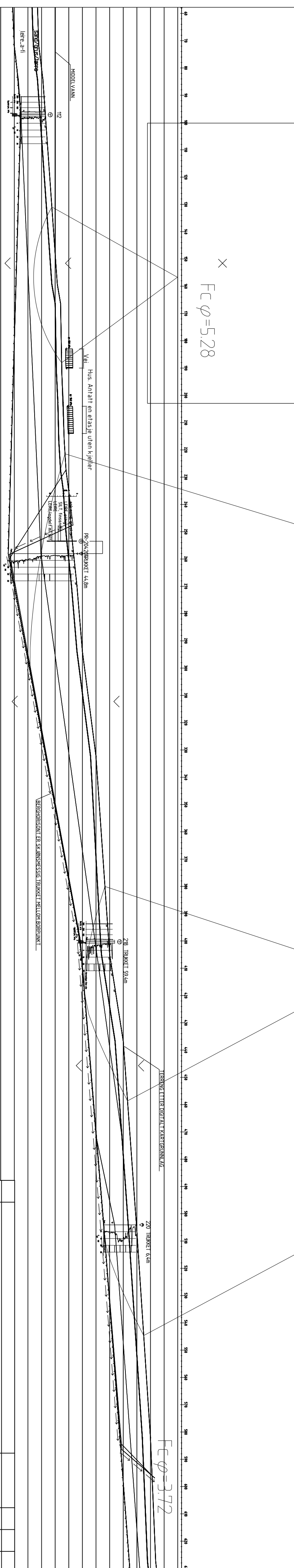
Result file : Z:\439XX\4394-\NPLANDA.GEOSTUDE\STABGRAF\PROFIL.LIRENER.REV18

$FC \varphi = 3.20$

$FC \varphi = 3.87$

$FC \varphi = 5.28$

$FC \varphi = 3.72$



Material no UnWeight Fi C C A_a Ad Ap AltGw Ru-factor PwPress

sand/grus/lønts 21.00 33.0 0.0 0.00 0.00 0.00
leire_2-fj 2 21.00 25.0 4.7 0.00 0.00 0.00
Berg

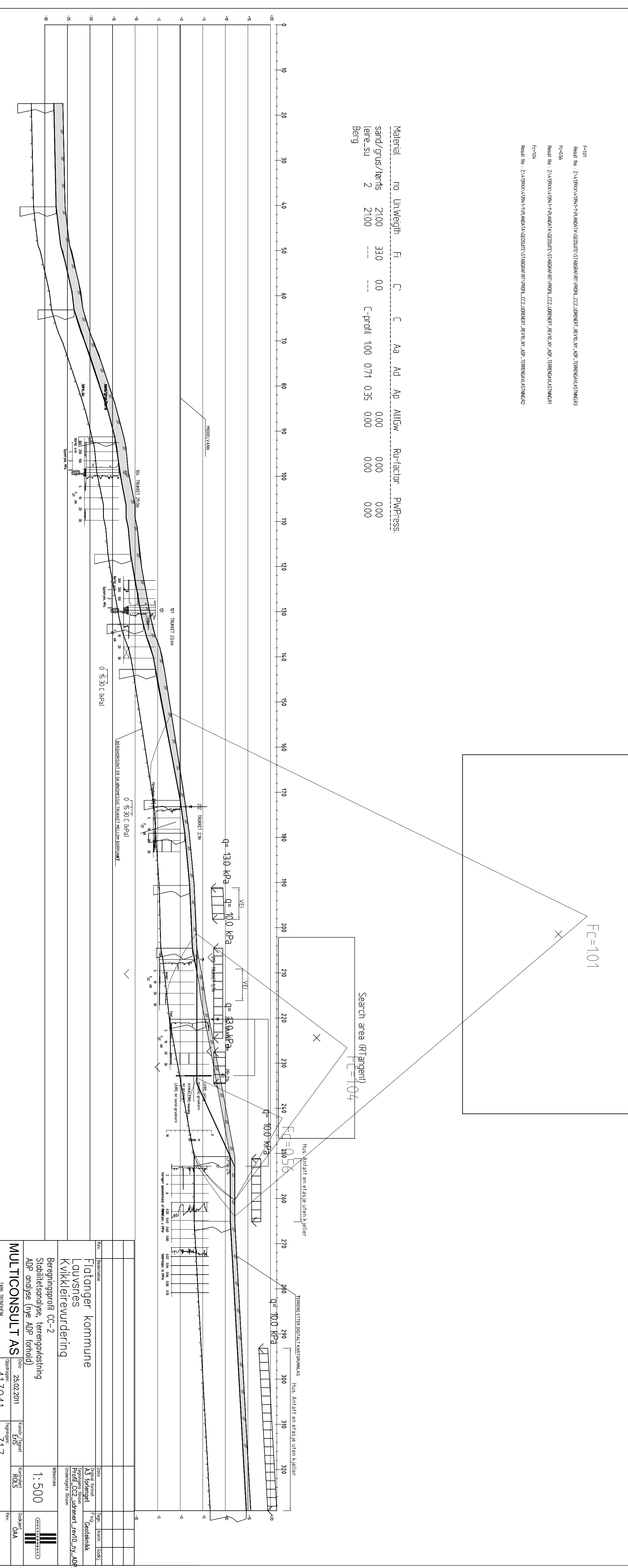
Rev.	Beskrivelse	Dato	Tegn.	Kontr. Sækk.

Flatanger kommune
Lauvsnes
Kvikkleirevurdering

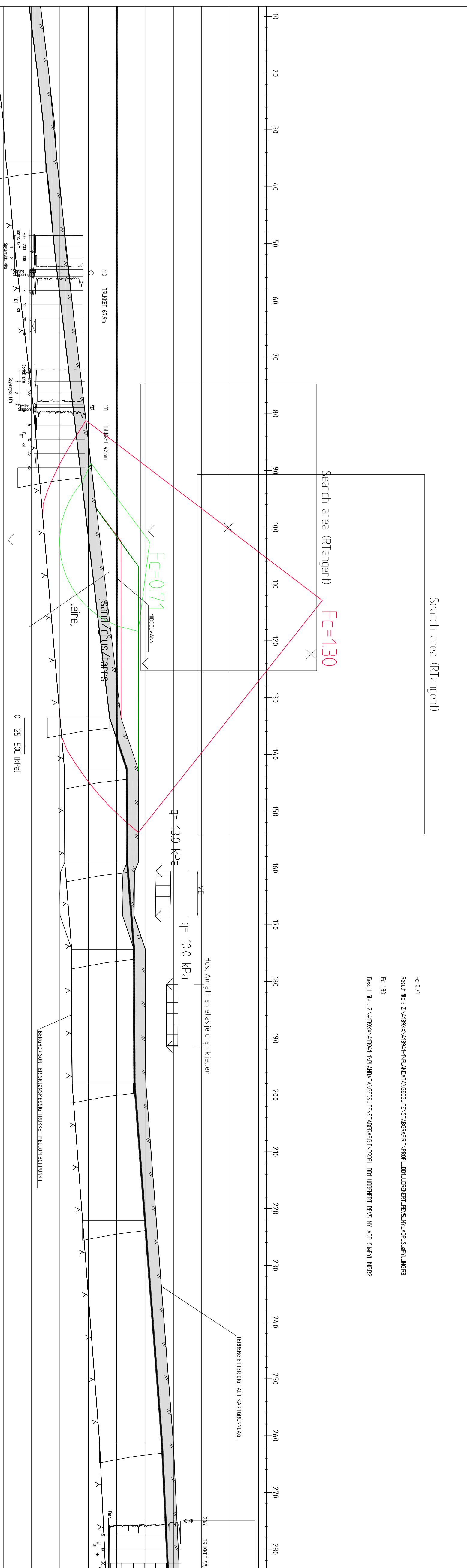
Beregningsprofil EE-1
Stabilitetsanalyse dagens situasjon
A-Fj analyse

Date 27.10.2010 Konst/ErSækk
Oppdragsgiver 413941 Kontrollert ROLs
Tegningssnr. 315 Godkjent OAA
Ref. —

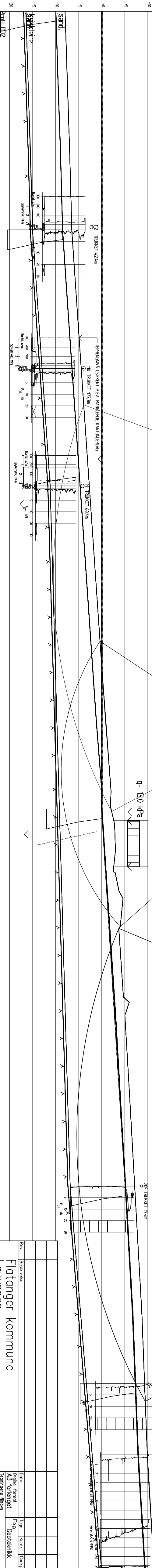
MULTICONSLUT AS
Tlf.: 73 10 62 00 – Fax: 73 10 62 30/70
Oppdragsgiver: 413941
Tegningssnr.: 315
Ref. —



terengavglastning.dwg



<p>Kvitting</p> <p>Lauvsnes</p> <p>Kvikklereivurdering</p> <p>Beregningsprofil DD-1</p> <p>Stabilitetsanalyse, fyllinger i strandsonen</p> <p>ADP analyse (nye ADP forhold)</p>					
Mfl. 73 10 62 00 – Tlf.: 73 10 62 30/70	Dato Oppdragsnr.	Beregningens Konstr./Legnet EriS	Kontrollert ROLs	Målestokk 1: 400	Geoteknikk Beregningens filnavn Profil_DD_udrenert_rev5_ny_ADP Underlagets filnavn  MULTICONSLUT
7486 TRONDHEIM	413941	Tegningsnr. 318	Godkjent OAA	Rev. —	sjøfylling.dwg



Material	n0	UnWeight	F1	C	C	Aa	Ad	Ap	AltSw	Ru-factor	Pw/Pess.
sand,	1	2100	330	0.0	C-profile	0.05	0.60	0.30	0.00	0.00	0.00
kvikkjøkken	2	2100	---	---							
sand,	3	2100	330	0.0							

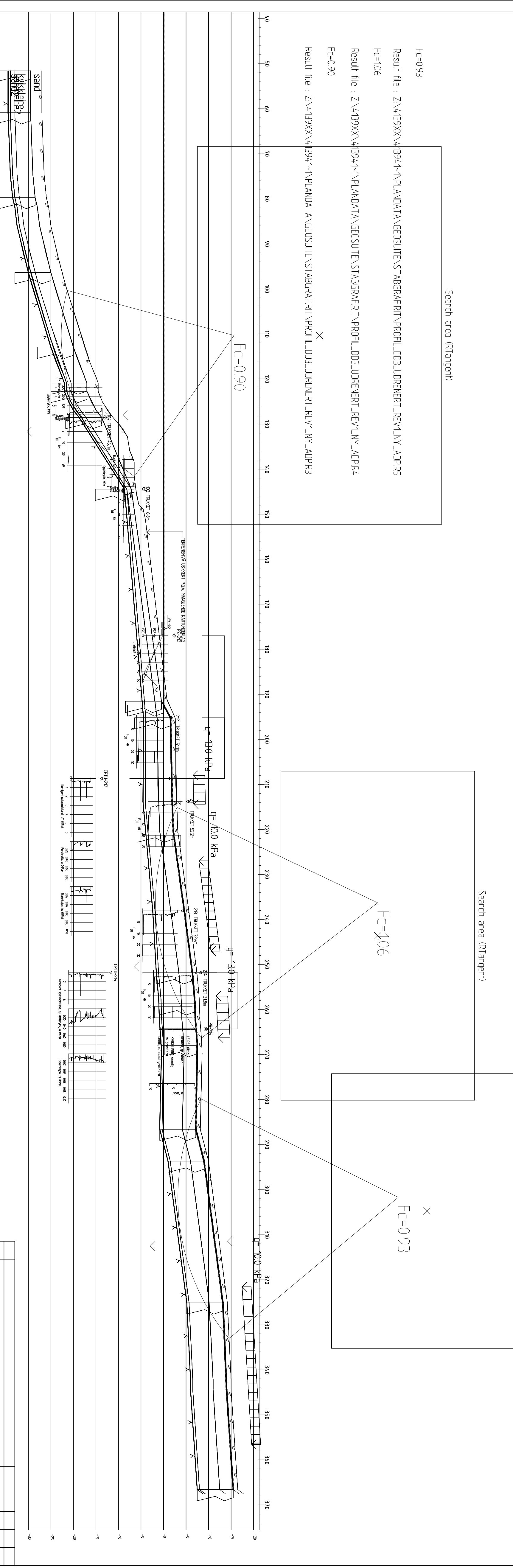
Bredt 012

Torsjon
Kontaktfag
Geoteknikk
Oppdragsgiver

Flatanger kommune
Lauvsnes
Kvikkjøkkenvurdering
Beregningsprofil DB-Z
Stabiliseringsprofil dagens situasjon
ADP analyse (med ADP-formod)

Multiconsult AS
Oppdragsgiver
413941
oppdragsgiver
413941
oppdragsgiver
319
oppdragsgiver
—

Rev. 28.02.2011
MIL 73 10 62 00 - Fm 73 10 62 30/70



Material	no	UnWeigh	F _f	C'	A _a	A _d	A _p	A _{l/gw}	Ru-factor	PW-Press	
sand	1	2100	330	0.0	C-profile	0.85	0.50	0.30	0.00	0.00	0.00
kvikkleire	2	2100	---	---	C-profile	100	0.50	0.30	0.00	0.00	0.00
leire	3	2100	---	---	C-profile	0.85	0.50	0.30	0.00	0.00	0.00
kvikkleire2	4	2100	---	---	C-profile	0.85	0.50	0.30	0.00	0.00	0.00
sand2	5	2100	330	0.0	C-profile	0.85	0.50	0.30	0.00	0.00	0.00
Berg											

Stabilitetsnivå: dagens situasjon

ADP-analyse (ny ADP-formul)

Beregningstid: 00:03:2011

Opprettet av: 413941

Dato: 30.03.2011

Opprettet av: ERS

Dato: 30.03.2011

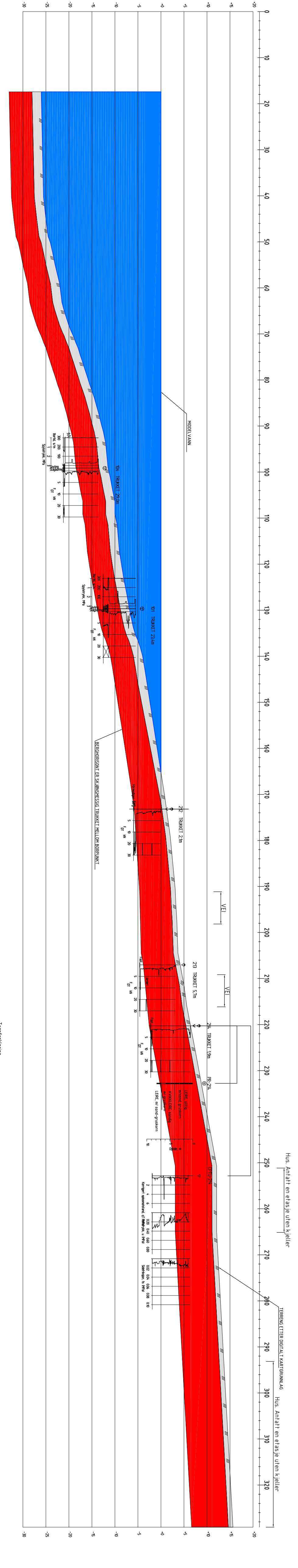
Kontakt: ROUS

Dato: 30.03.2011

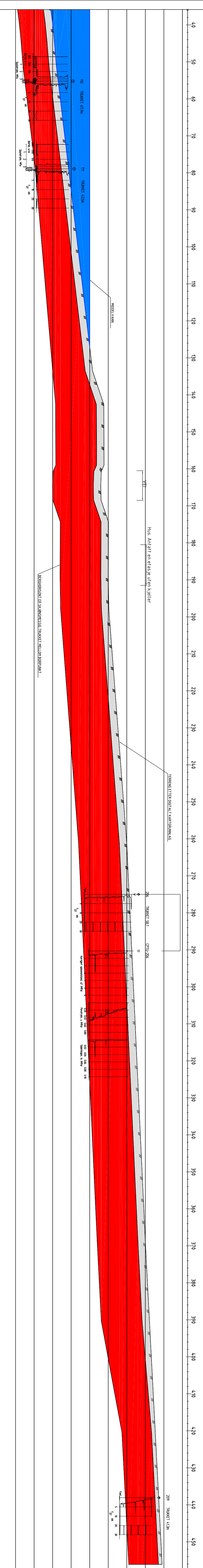
Kontakt: OAA

Dato: 30.03.2011

Kontakt: ---



Hus. Antall en etasje uten hjeller
Hus. Antall en etasje uten hjeller



Tegnforklaring:
Kvikkleirespur/udannat.
Terrskapere
Sø

Bestyrke:

Rev. Data Tekn. Kontr. Geodj.

Beskrivelse:

A3-formerget Fag Geoteknikk

413941-001.lwg

Utenrigs filnavn

Målestokk:

1:500

MULTICONSLT

Kontrakt ROL

Gjekket OA

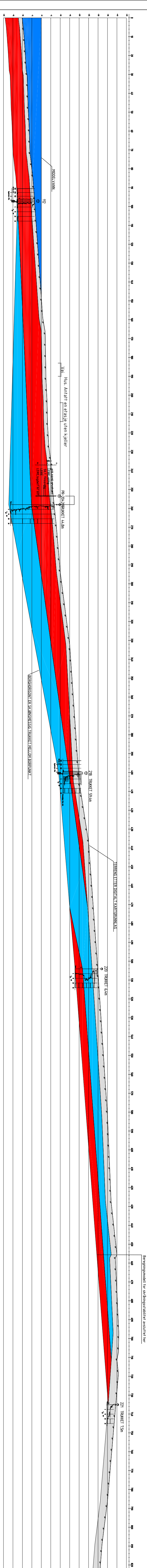
Revi:

MULTICONSLT AS Date 26.10.2010 Kontrakt E/S Rol

Oppdragsgiver Tegningstyp:

413941 Rev. 151

Tid: 73 10 62 00 - Fax: 73 10 62 30/70



Jeg forklarer
Kvikkleire/sprøbruddsmatr.

Tørskjoneleire

Sjø

Leire

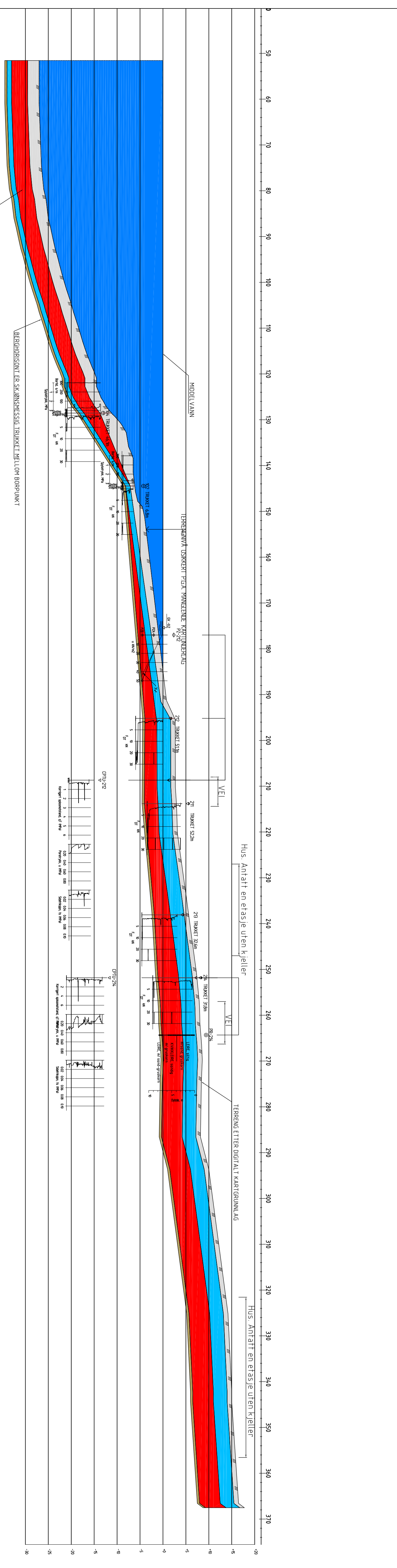
MULTICONSULT AS
Oppdragsgiver
Flatanger kommune
Lauvsnes
Kvikkleirevurdering
Beregningsprofil EE-1
Tolket lagdeling

Dato 26.10.2010
Oppdragsgiver
Tegningstid
Rev. 152

Konstr./Tegnet
Kontrollert
ROLIS
Oppdragsgiver
Rev.

Multiconsult
1:1000
MULTICON
MASTISK
—

Tlf.: 73 10 62 00 - Fax: 73 10 62 30/70



Konservativ antatt kvikkleire. Totalsondering 104 (trukket 46,1 m) indikerer kvikkleirelag med mektighet 3,5 m. Totalsondering 102 (trukket 6,8 m) indikerer ikke kvikkleire.

Tegnforklaring:

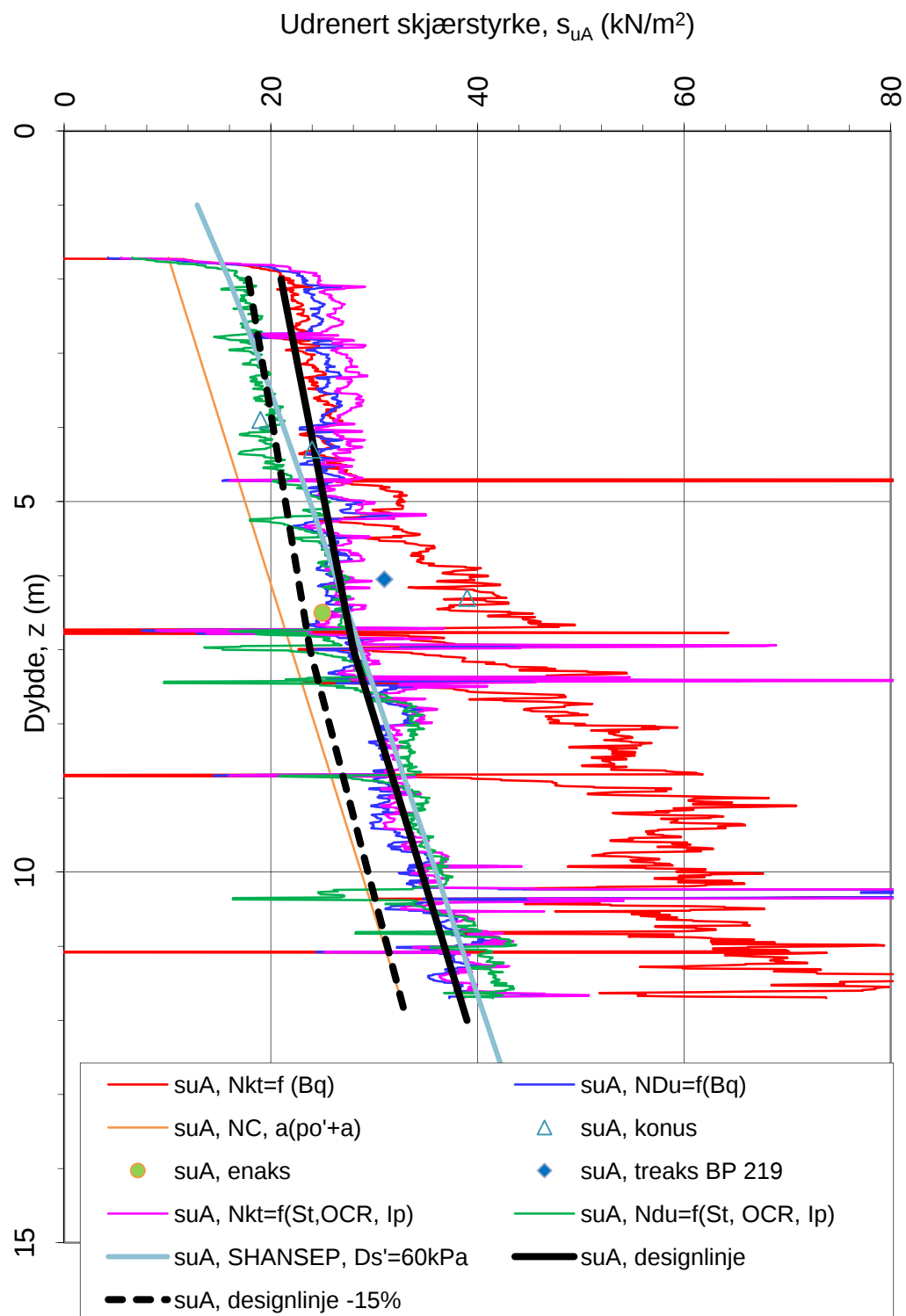
Kvikk|ειρε/συραθηνηδητη

10 of 10

卷之三

5

sand/पर्यावरण संग्रहालय तिरहुता



$St > 15$

$$N_{kt} = (18,7-12,5 \cdot B_q)$$

$$ND_u = (1,8+7,25 \cdot B_q)$$

$$N_{kt} = (8,5+2,5 \log OCR + 0I_p)$$

$$ND_u = (9,8-4,5 \log OCR + 0I_p)$$

α_c valgt: 0.25

Oppdragsgiver:

Flatanger kommune

Oppdrag:

Områdevurd. Lauvsnes

Tegningens filnavn:

CPTU_EXTRA_206sp

Aktiv udrenert skjærstyrke s_{uA} , korrelert mot B_q .

CPTU id.:

206

Sonde:

4293



MULTICONULT AS
Dato:
06.07.2010

Tegnet:
EriS

Kontrollert:
rols

Godkjent:
oaa

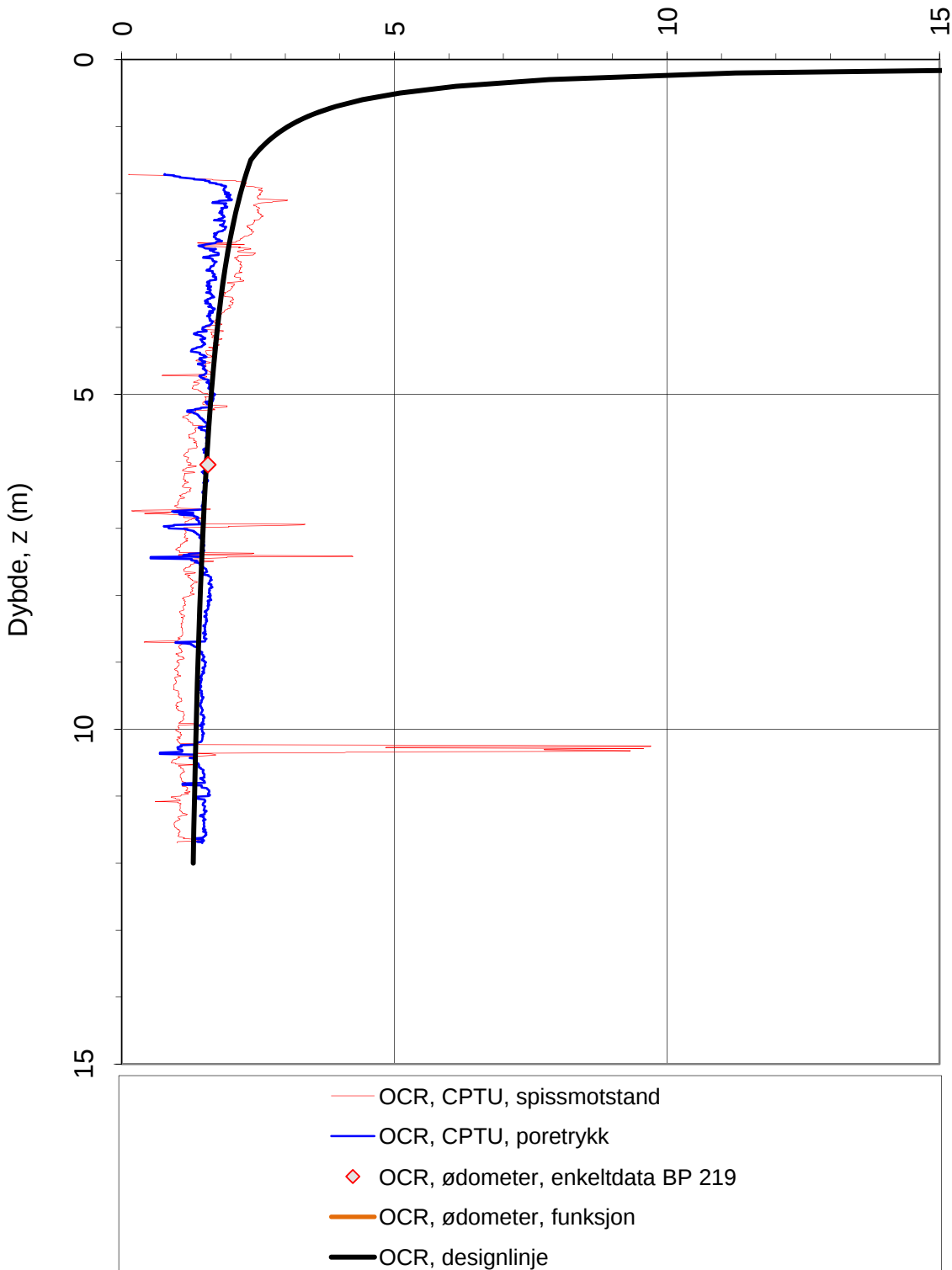
Oppdrag nr.:
413941

Tegning nr.:
40.8

Versjon:
03.10.2009

Revisjon:
1

Prekonsolideringsforhold, $\text{OCR} = \sigma_c' / \sigma_{vo}'$ (-)



Oppdragsgiver:
Flatanger kommune

Overkonsolideringsforhold, $\text{OCR} = \sigma_c' / \sigma_{vo}'$.

Oppdrag:
Områdevurd. Lauvsnes

Tegningens filnavn:
CPTU_EXTRA_206sp

CPTU id.:

206

Sonde:

4293



MULTICONSULT AS

Dato:
 06.07.2010

Tegnet:
 EriS

Kontrollert:
 rols

Godkjent:
 oaa

Oppdrag nr.:

413941

Tegning nr.:

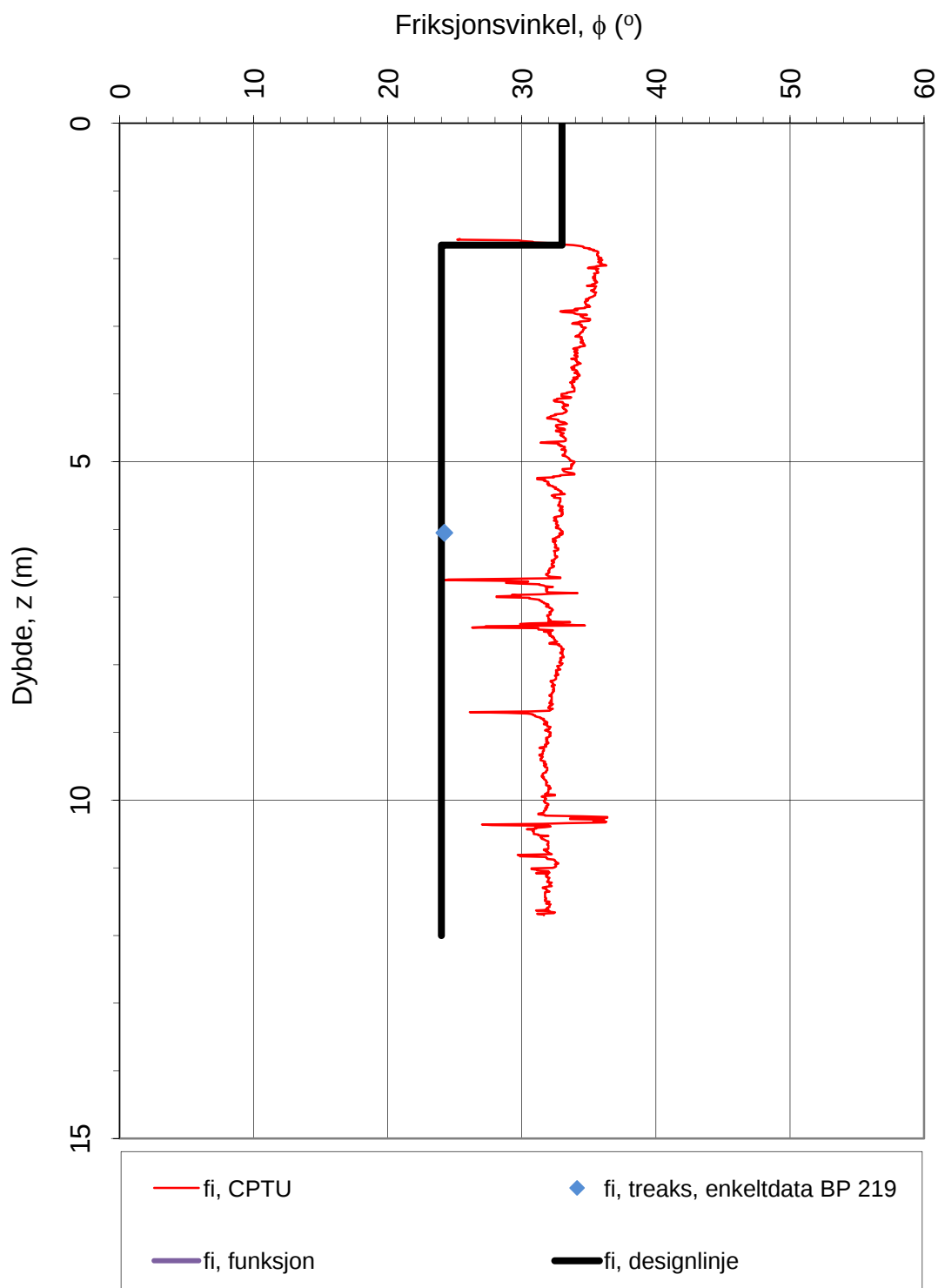
40.10

Versjon:

03.10.2009

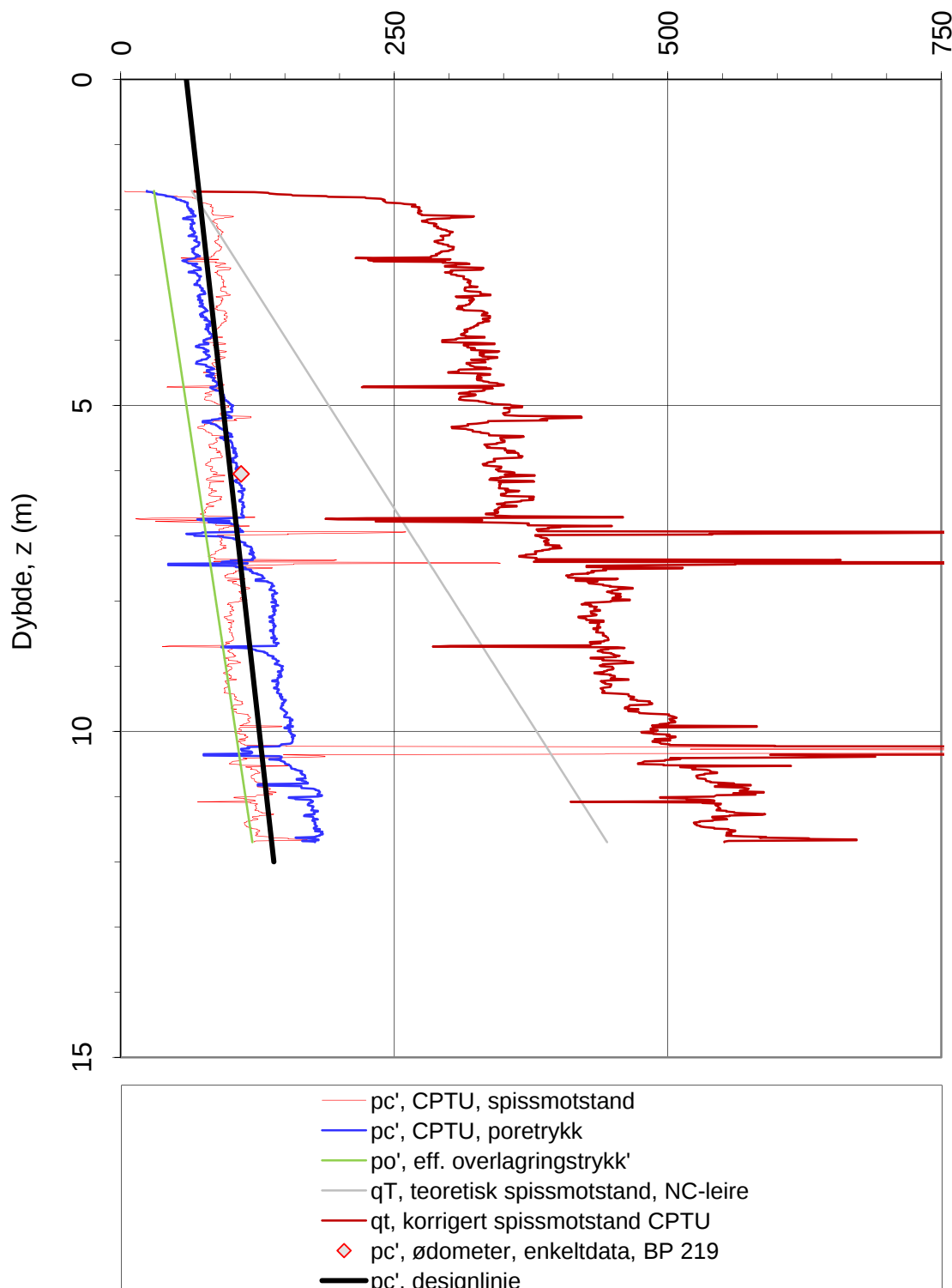
Revisjon:

1



Oppdragsgiver:	Oppdrag:			Tegningens filnavn:
Flatanger kommune			Områdevurd. Lauvsnes	
Friksjonsvinkel ϕ .				CPTU_EXTRA_206sp
CPTU id.:	206	Sonde:	4293	MULTICONULT
MULTICONULT AS	Dato: 06.07.2010	Tegnet: EriS	Kontrollert: rols	Godkjent: oaa
	Oppdrag nr.: 413941	Tegning nr.: 40.11	Versjon: 03.10.2009	Revisjon: 1

Prekonsolideringsspenning, σ_c' (kPa)



Oppdragsgiver:

Flatanger kommune

Prekonsolideringsspenning σ_c' .

Oppdrag:

Områdevurd. Lauvsnes

Tegningens filnavn:

CPTU_EXTRA_206sp

CPTU id.:

206

Sonde:

4293

MULTICONKULT

MULTICONSULT AS

Dato:
06.07.2010

Tegnet:
EriS

Kontrollert:
rols

Godkjent:
oaa

Oppdrag nr.:

413941

Tegning nr.:

40.9

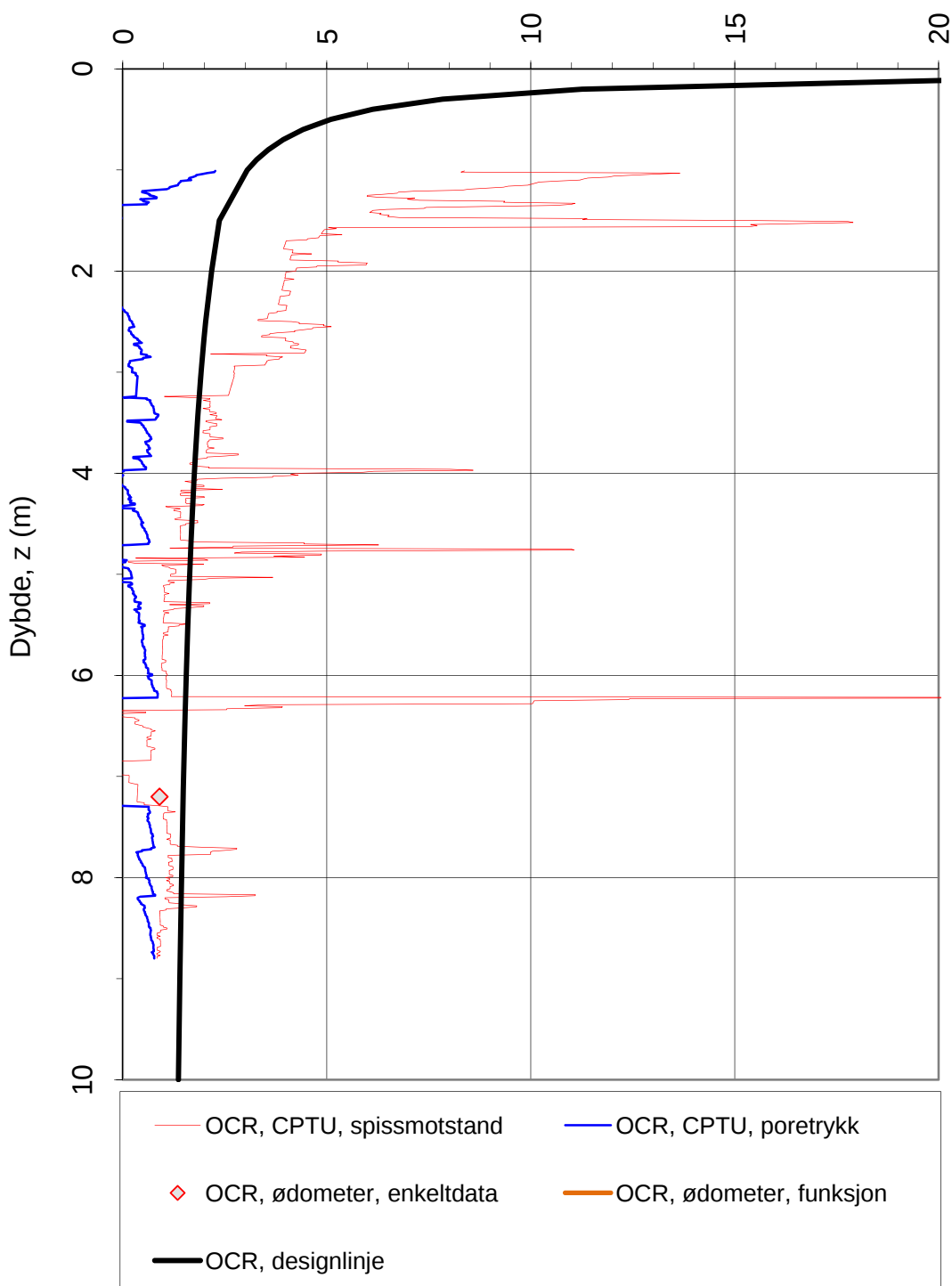
Versjon:

03.10.2009

Revisjon:

1

Prekonsolideringsforhold, $\text{OCR} = \sigma_c' / \sigma_{vo}'$ (-)



Oppdragsgiver:

Flatanger kommune

Overkonsolideringsforhold, $\text{OCR} = \sigma_c' / \sigma_{vo}'$.

Oppdrag:

Områdevurd. Lauvsnes

Tegningens filnavn:

CPTU_EXTRA_214

CPTU id.:

214

Sonde:

3829

MULTICONKULT

MULTICONKULT AS

Dato:
05.07.2010

Tegnet:
EriS

Kontrollert:
rols

Godkjent:
oaa

Oppdrag nr.:

413941

Tegning nr.:

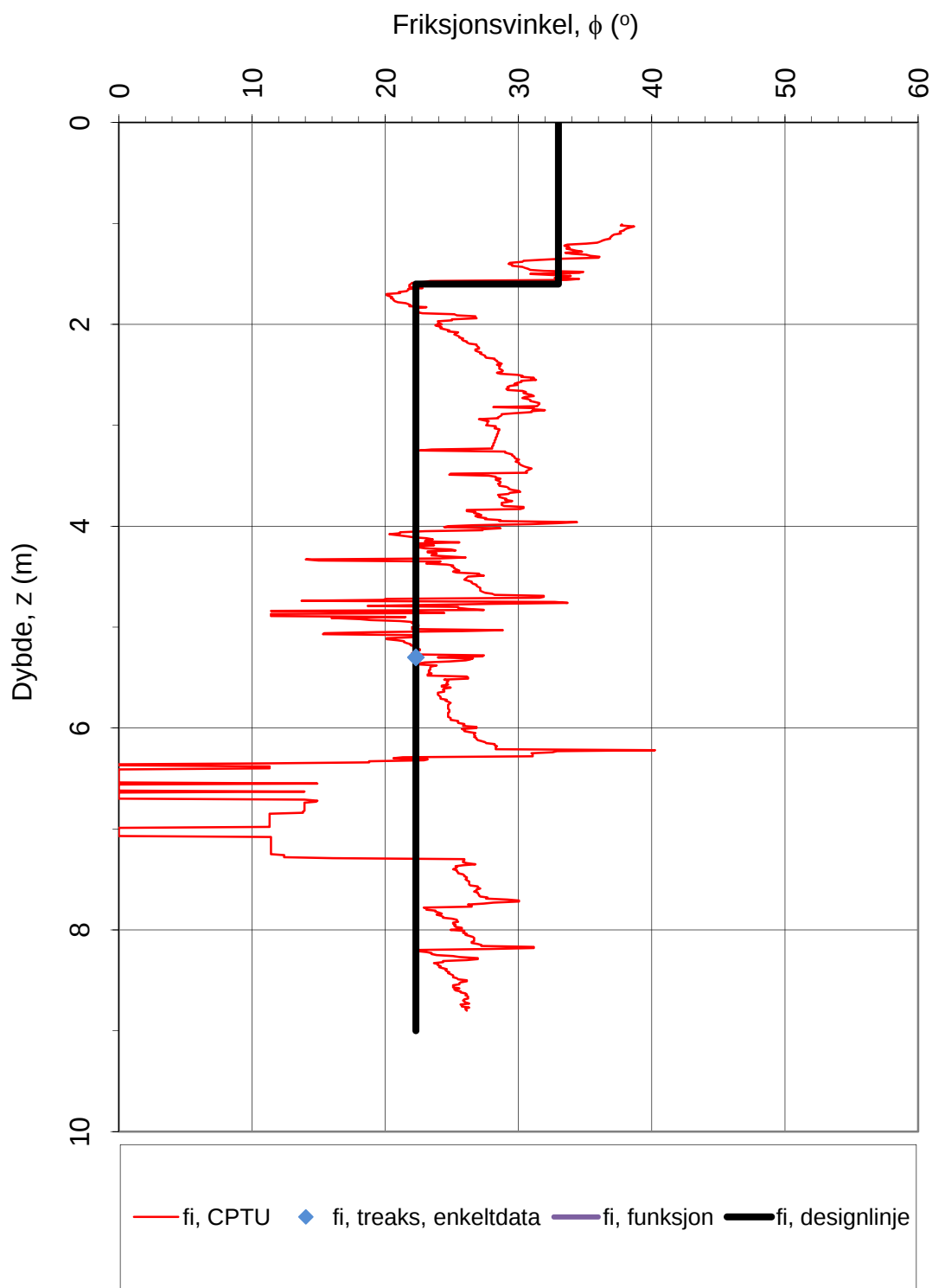
41.10

Versjon:

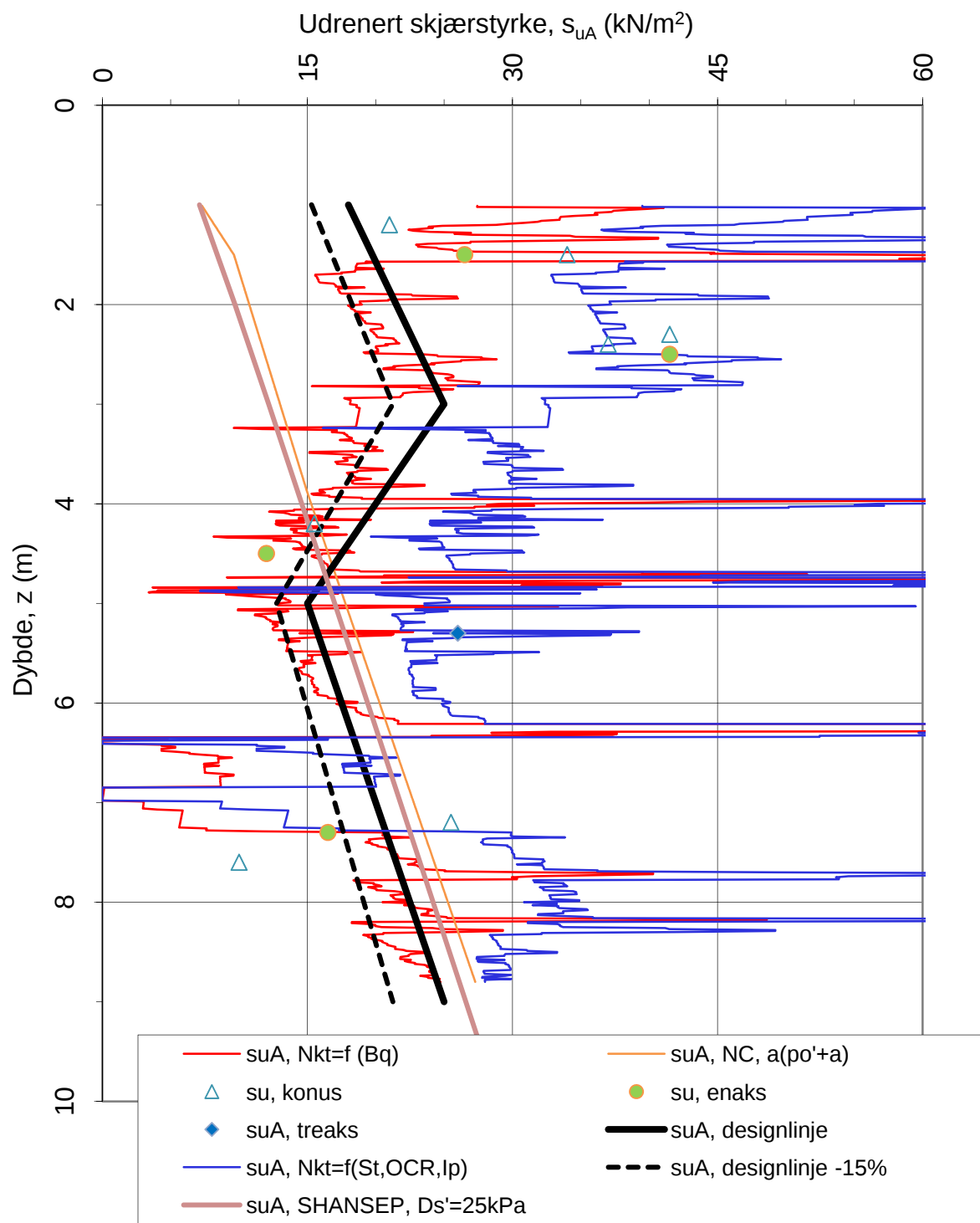
03.10.2009

Revisjon:

1



Oppdragsgiver:	Oppdrag:	Tegningens filnavn:		
Flatanger kommune	Områdevurd. Lauvsnes	CPTU_EXTRA_214		
Friksjonsvinkel ϕ .				
CPTU id.:	214	Sonde: 3829		
MULTICONULT AS	Dato: 05.07.2010 Oppdrag nr.: 413941	Tegnet: EriS Tegning nr.: 41.11	Kontrollert: rols Versjon: 03.10.2009	Godkjent: oaa Revision: 1



$St > 15$

$$N_{kt} = (18,7 - 12,5 \cdot Bq)$$

$$N_{kt} = (8,5 + 2,5 \log OCR + 0Ip)$$

α_c valgt: 0.25

Oppdragsgiver:

Flatanger kommune

Oppdrag:

Områdevurd. Lauvsnes

Tegningens filnavn:

CPTU_EXTRA_214

Aktiv udrenert skjærstyrke s_{uA}

CPTU id.:

214

Sonde:

3829



MULTICONSULT AS

Dato:
05.07.2010

Tegnet:
EriS

Kontrollert:
rols

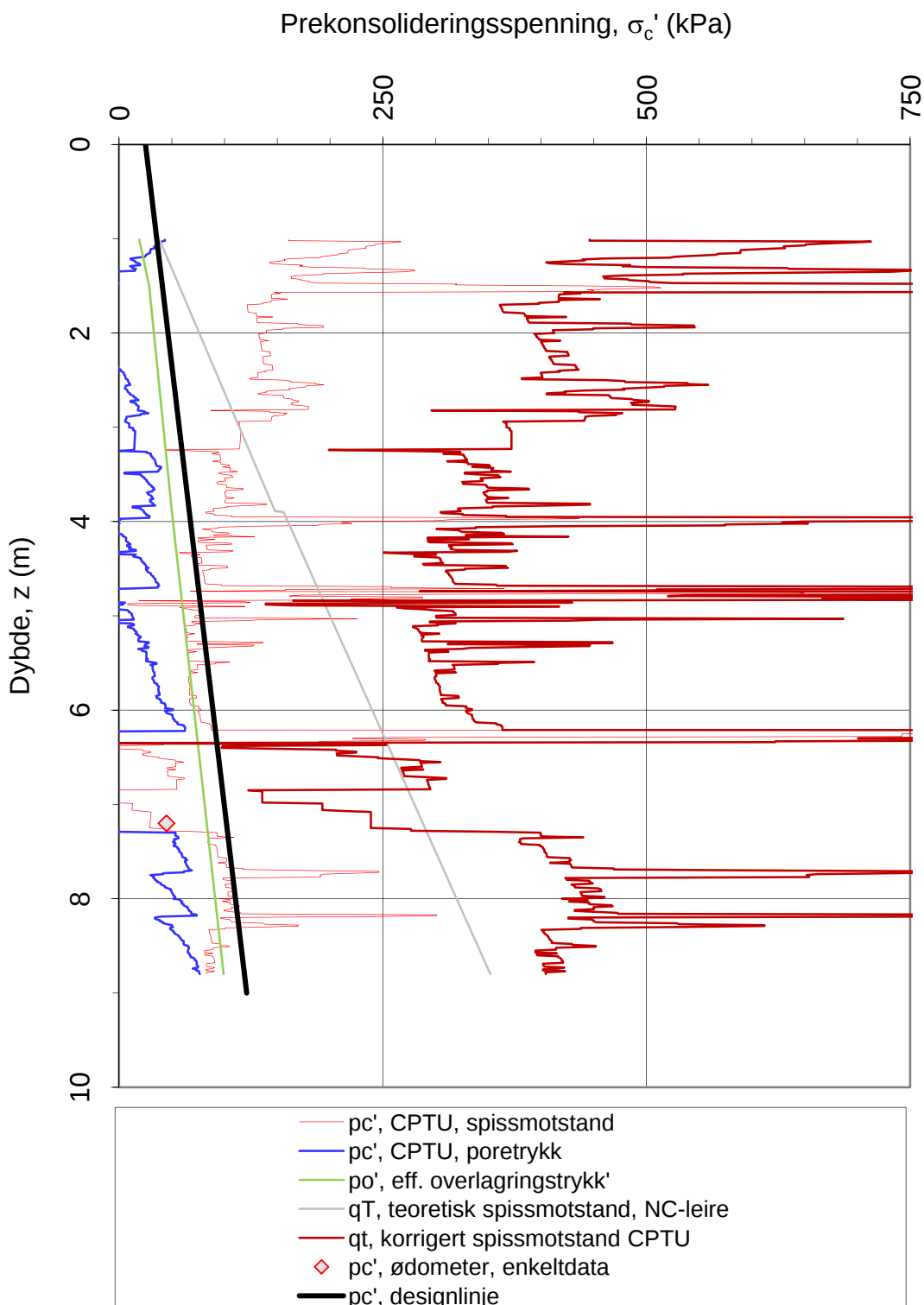
Godkjent:
oaa

Oppdrag nr.:
413941

Tegning nr.:
41.8

Versjon:
03.10.2009

Revisjon:
1



Oppdragsgiver:

Flatanger kommune

Prekonsolideringsspenning σ_c' .

Oppdrag:

Områdevurd. Lauvsnes

Tegningens filnavn:

CPTU_EXTRA_214



CPTU id.:

214

Sonde:

3829

MULTICONSULT AS

Dato:
05.07.2010

Tegnet:
EriS

Kontrollert:
rols

Godkjent:
oaa

Oppdrag nr.:

413941

Tegning nr.:

41.9

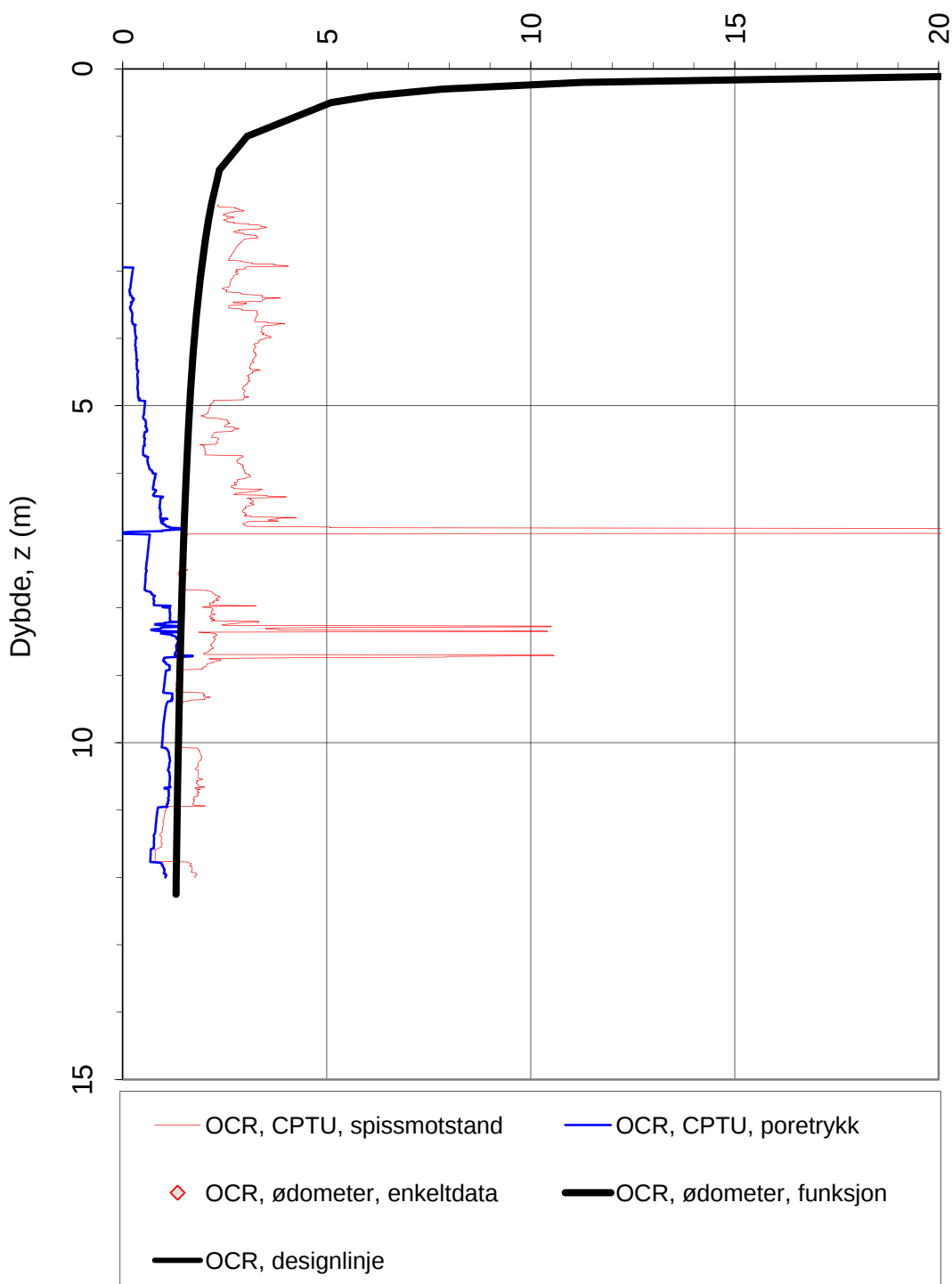
Versjon:

03.10.2009

Revisjon:

1

Prekonsolideringsforhold, $\text{OCR} = \sigma_c' / \sigma_{vo}'$ (-)



Oppdragsgiver:
Flatanger kommune

Overkonsolideringsforhold, $\text{OCR} = \sigma_c' / \sigma_{vo}'$.

Oppdrag:
Områdevurd. Lauvsnes

Tegningens filnavn:
CPTU_EXTRA_215sp

CPTU id.:

215

Sonde:

4293



MULTICONSULT AS

Dato:
15.03.2010

Tegnet:
EriS

Kontrollert:
rols

Godkjent:
oaa

Oppdrag nr.:

413941

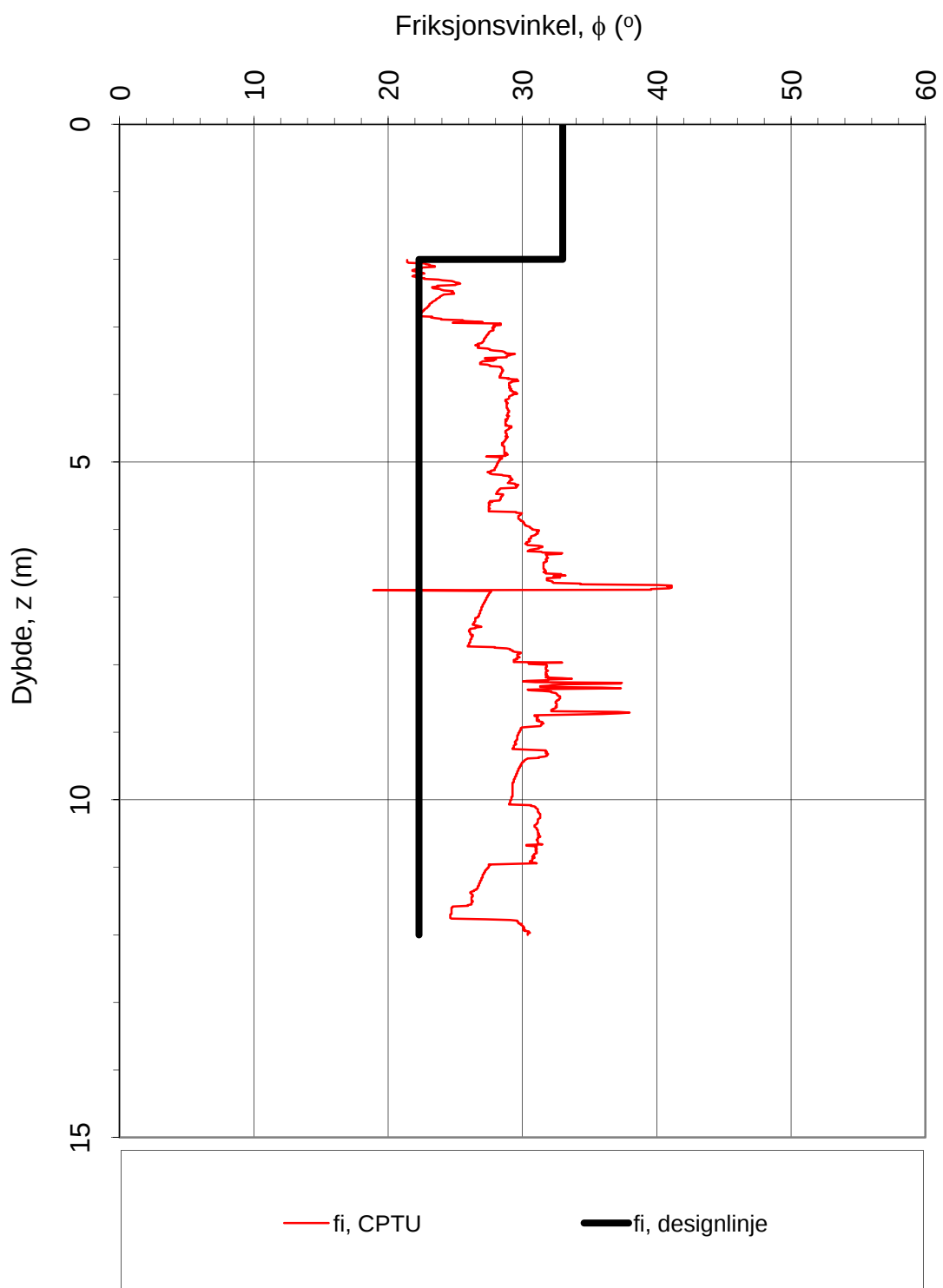
Tegning nr.:

42.10

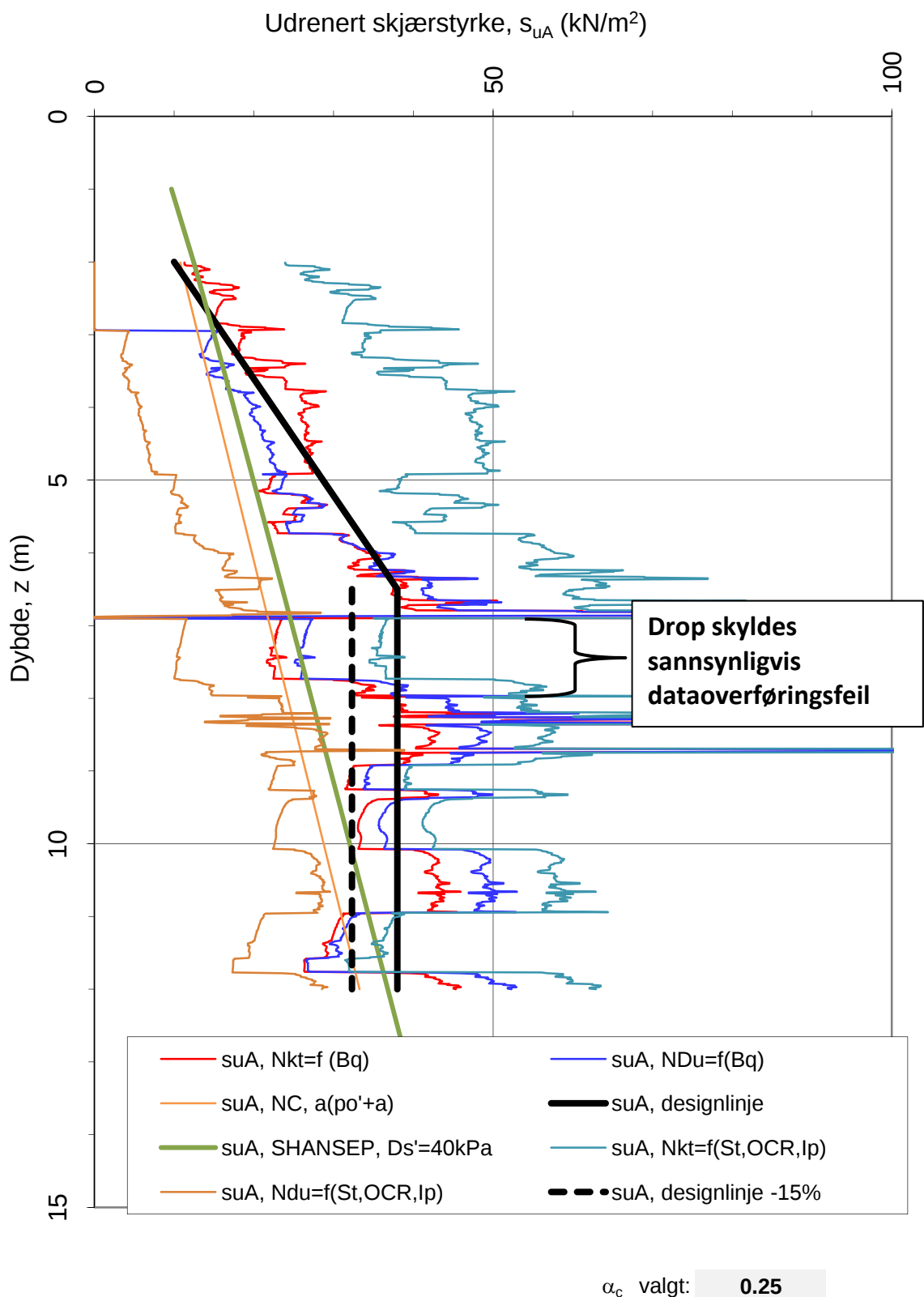
Versjon:

03.10.2009

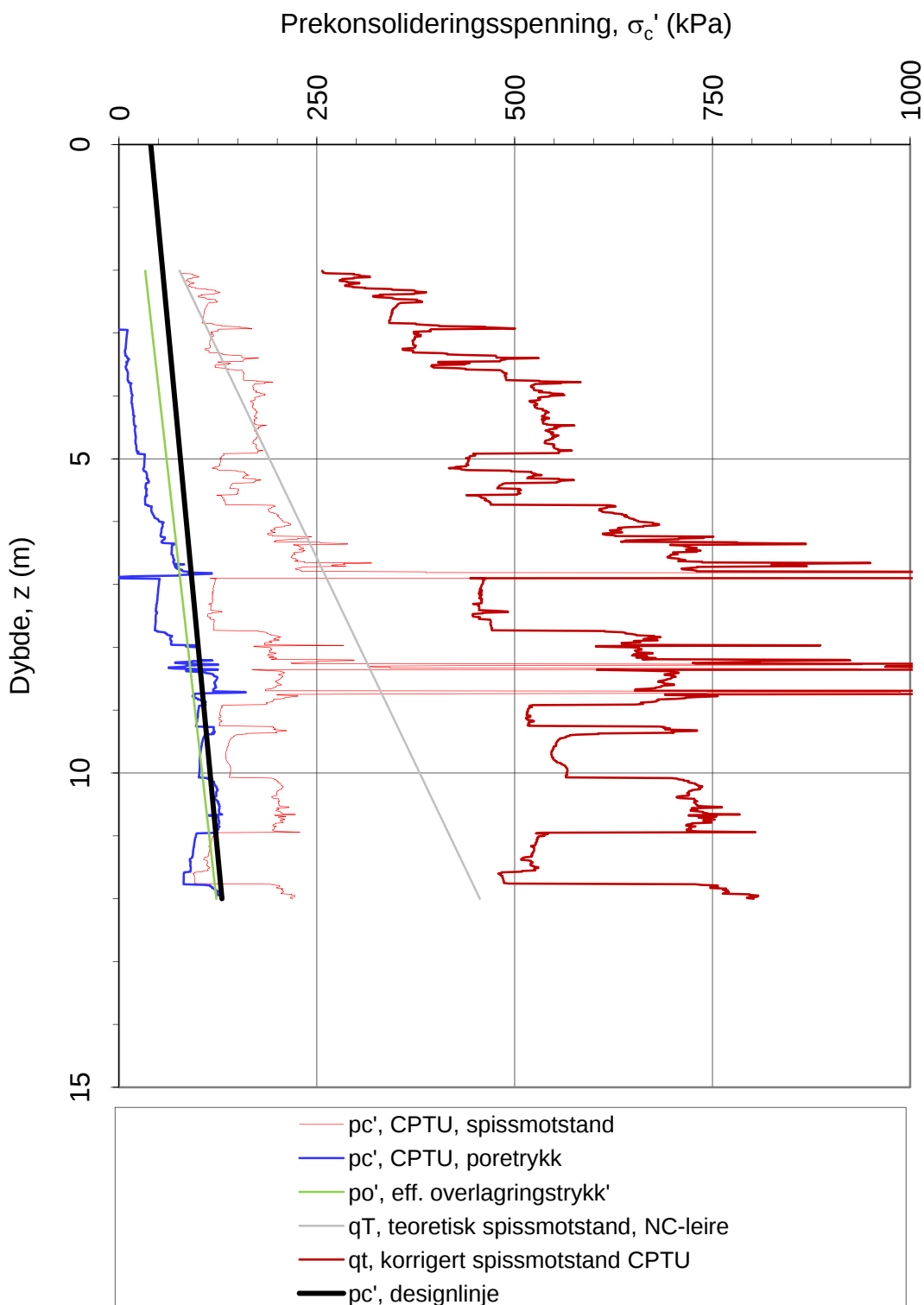
Revisjon:



Oppdragsgiver:	Oppdrag:	Tegningens filnavn:
Flatanger kommune	Områdevurd. Lauvsnes	CPTU_EXTRA_215sp
Friksjonsvinkel ϕ .		
CPTU id.:	215	Sonde: 4293
MULTICONULT AS	Dato: 15.03.2010	Tegnet: EriS
	Oppdrag nr.: 413941	Kontrollert: rols
		Godkjent: oaa
		Revision:
		Versjon: 03.10.2009



Oppdragsgiver: Flatanger kommune	Oppdrag: Områdevurd. Lauvsnes	Tegningens filnavn: CPTU_EXTRA_215sp
Aktiv udrenert skjærstyrke s_{uA} , korrelert mot B_q .		
CPTU id.: 215	Sonde: 4293	
MULTICONSULT AS	Dato: 15.03.2010 Oppdrag nr.: 413941	Tegnet: EriS Oppdrag nr.: 42.8 Kontrollert: rols Versjon: 03.10.2009 Godkjent: oaa Revisjon:



Oppdragsgiver:

Flatanger kommune

Prekonsolideringsspenning σ_c' .

Oppdrag:

Områdevurd. Lauvsnes

Tegningens filnavn:

CPTU_EXTRA_215sp



CPTU id.:

215

Sonde:

4293

MULTICONSULT AS

Dato:
15.03.2010

Tegnet:
EriS

Kontrollert:
rols

Godkjent:
oaa

Oppdrag nr.:

413941

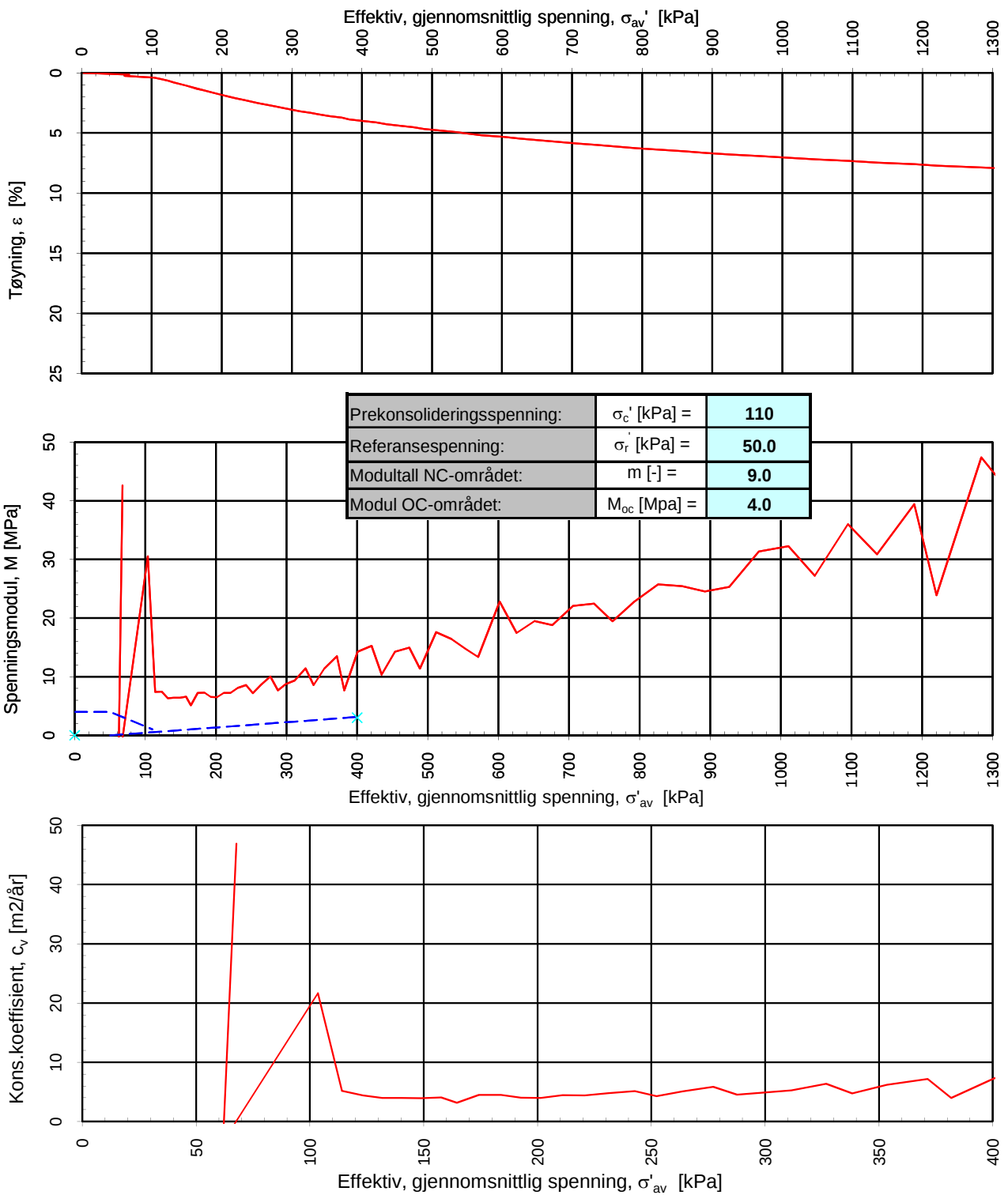
Tegning nr.:

42.9

Versjon:

03.10.2009

Revisjon:



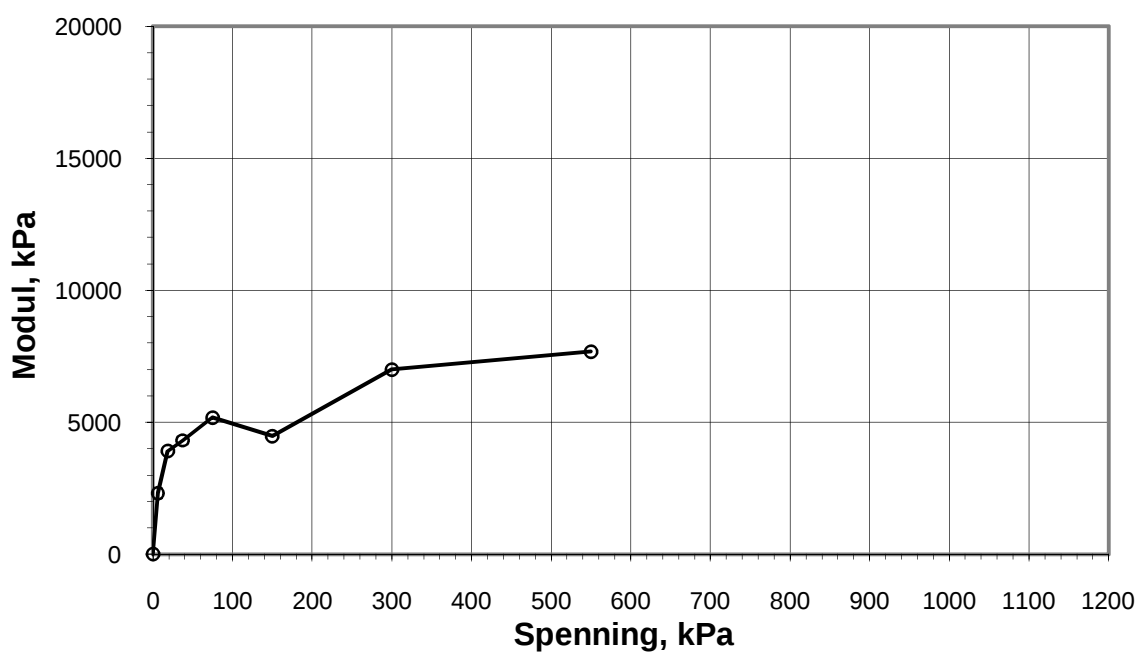
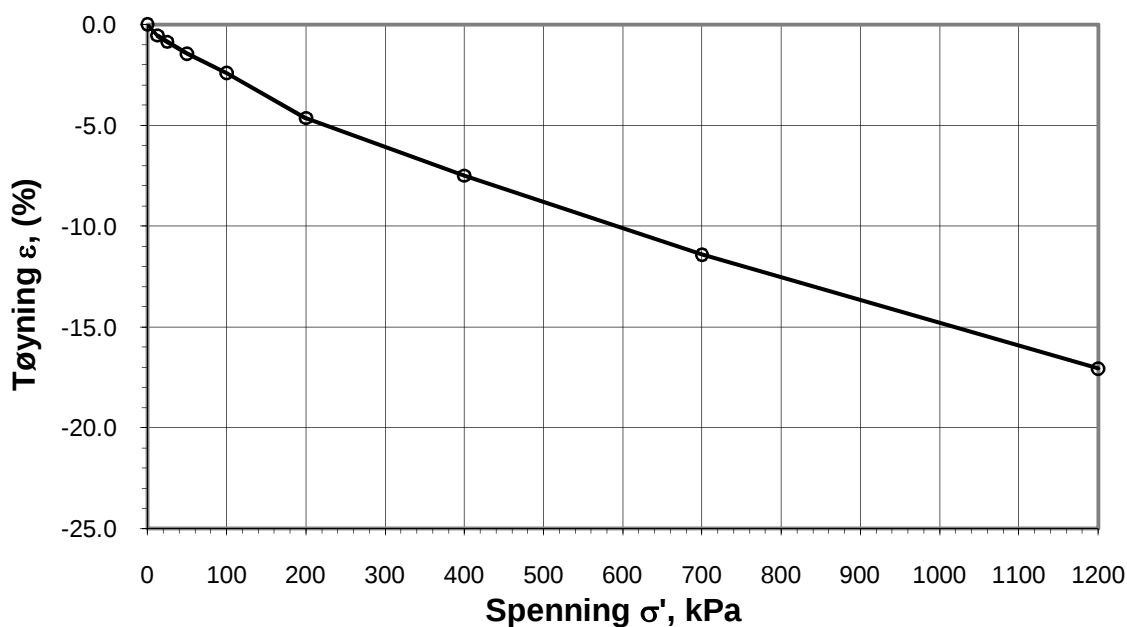
Flatanger Områdevurdering Lausnes

Kontinuerlig ødometerforsøk, CRS-rutine. Tolkning: σ'_{av} - ϵ_a , M og c_v .

Tegningens filnavn:
H219, dybde 6,25m.xlsx

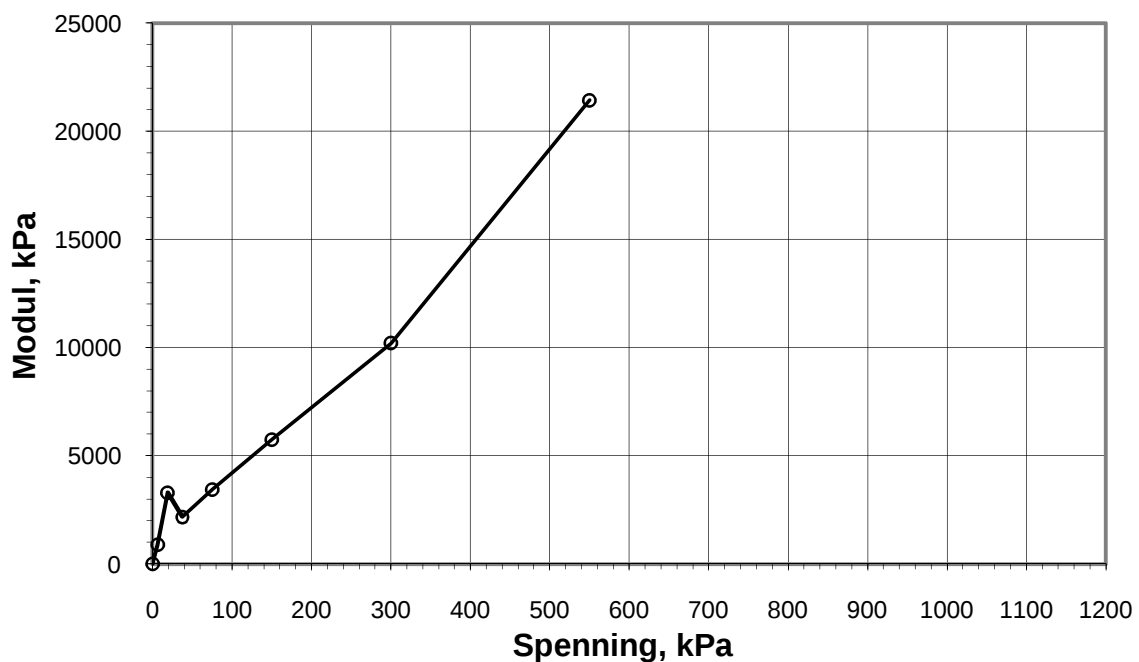
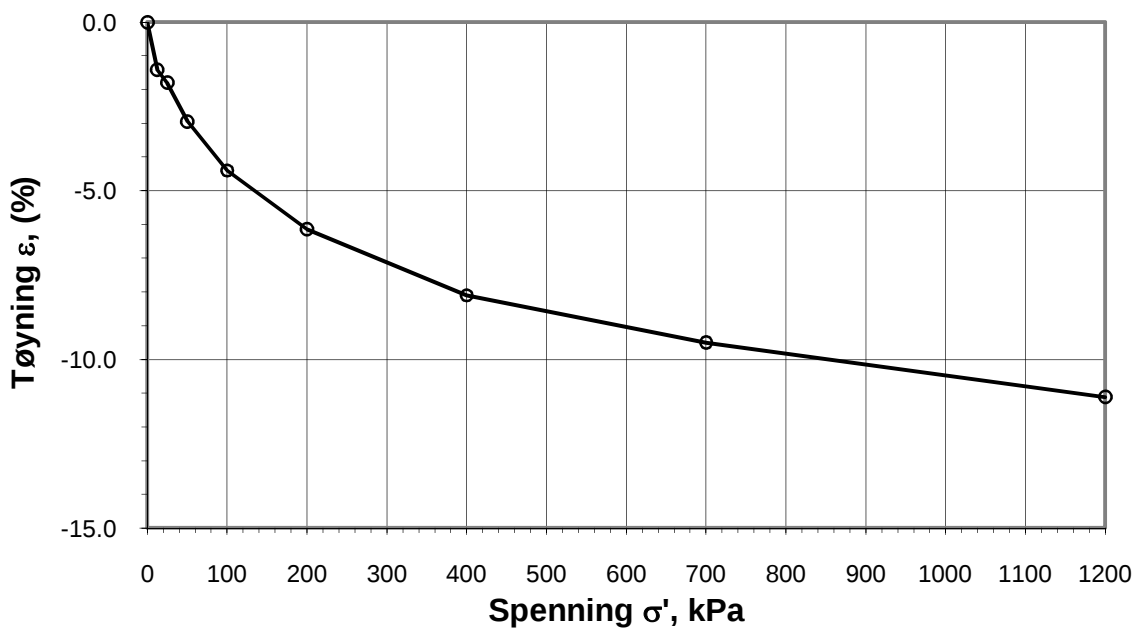


MULTICONSULT AS Sluppenvegen 23, 7486 TRONDHEIM Tlf.: 73 10 62 00	Forsøksdato:	Dybde, z (m):	Borpunkt nr.:
	22.03.2010	6.25	219
	Forsøknr.:	Tegnet av:	Kontrollert:
	1	kjt	rols
	Oppdrag nr.:	Tegning nr.:	Prosedyre:
	413941	76	CRS
			Programrevisjon:
			13.10.2009

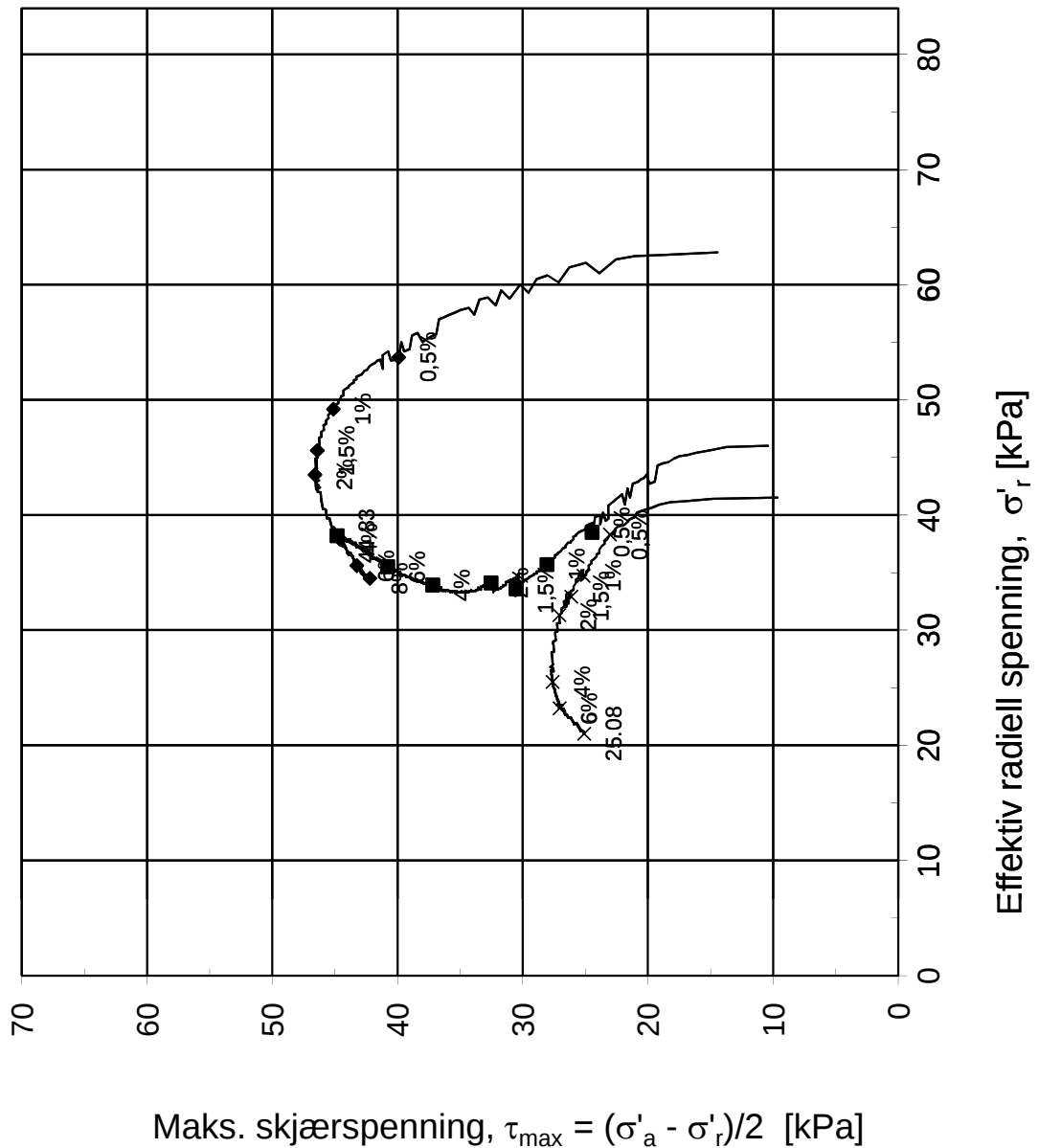


ØDOMETERFORSØK		Boring nr H 204, dybde 8,45 m	 MULTICONSULT
Flatanger kommune		Borplan nr. -1	
Områdevurdering Lauvsnes		Boret dato 24.02.10	
Trinnvis ødometerforsøk		Dato 18.03.10	Tegnet: kjt
MULTICONSULT AS		Godkjent rols	
7486 TRONDHEIM		Oppdrag nr	Tegningsnr:
Besøksadr. Sluppenvein 23		413941	Rev.
Tlf.: 73 10 62 00 - Fax: 73 10 62 30/70		77	1

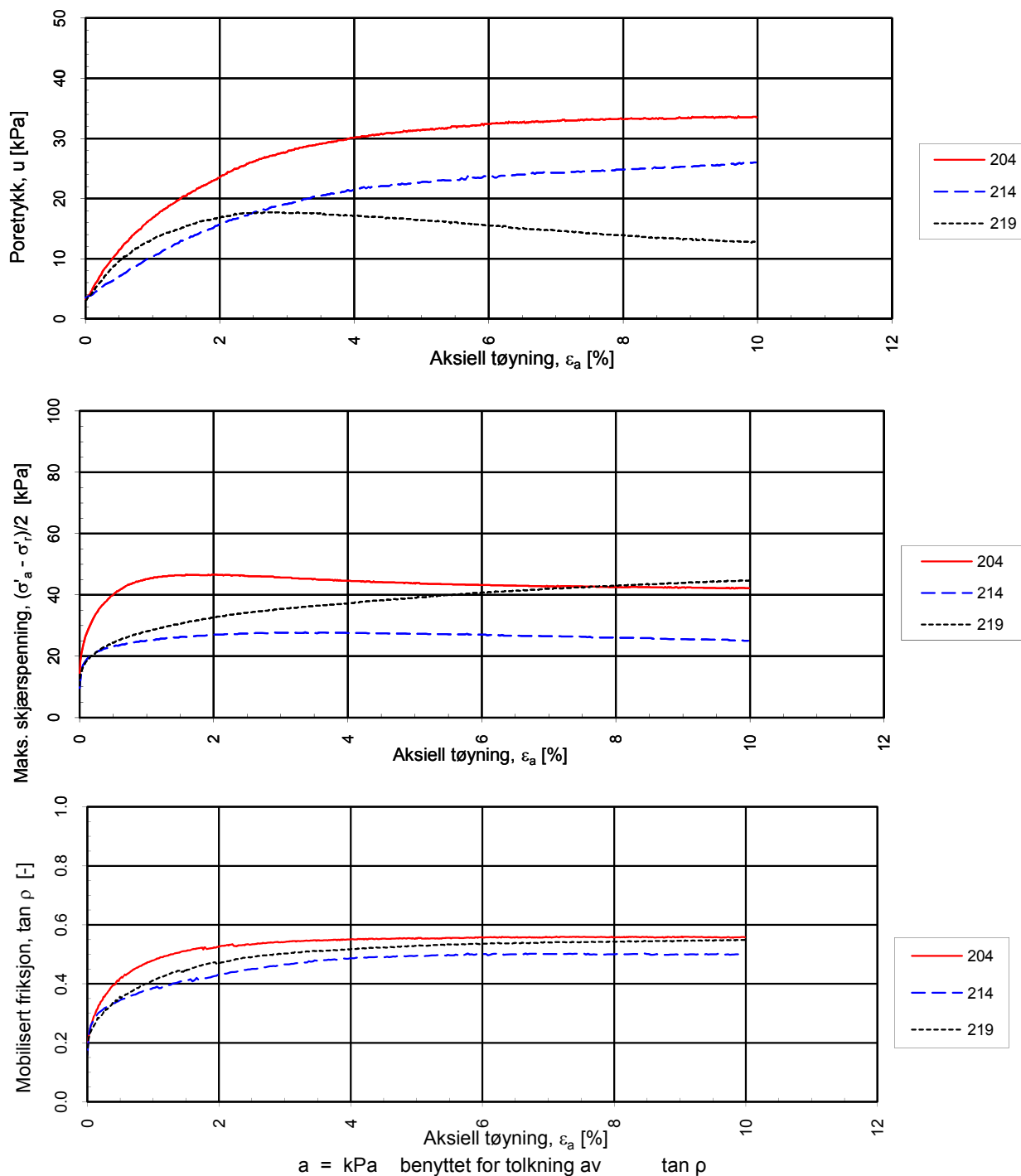
ØDOMETERFORSØK	Boring nr		
	Borplan nr.		
	Boret dato		
Trinnvis ødometerforsøk			
MULTICONsULT AS 7486 TRONDHEIM Besøksadr. Sluppenveien 23 Tlf.: 73 10 62 00 - Fax: 73 10 62 30/70	Dato	Tegnet:	Godkjent
	Oppdrag nr	Tegningsnr:	Rev.



ØDOMETERFORSØK		Boring nr H 214, dybde 7,2 m	 MULTICONSULT
Flatanger kommune		Borplan nr. -1	
Områdevurdering Lausnes		Boret dato 10.03.10	
Trinnvis ødometerforsøk		Dato 24.10.10	Tegnet: kj
MULTICONSULT AS		Godkjent rols	
7486 TRONDHEIM			
Besøksadr. Sluppenvein 23			
Tlf.: 73 10 62 00 - Fax: 73 10 62 30/70		Oppdrag nr 413941	Tegningsnr: 78
			Rev. 1



Data	Forsøk 1 ♦	Forsøk 2 x	Forsøk 3 ■	
Borpunkt:	204	214	219	
Dybde, z (m):	8.55	5.30	6.05	
Densitet, ρ (g/cm³):	2.10	2.15	2.09	
Vanninnhold, w (%):	23.80	19.90	21.40	
Flatanger kommune				Tegningens filnavn: Treaks_samleplott.xlsx
Lauvsnes				
Treaksialforsøk. Deviatorspenningssti. NTNU-plott.				
MULTICONSULT AS Sluppenvegen 23, 7486 TRONDHEIM Tlf.: 73 10 62 00 Faks: 73 10 62 30	Forsøksdato: Mars 2010	Dybdeintervall, z (m): 5.30-8.55 m	Borpunkt nr.: 204, 214, 219	
	Forsøk nr.: -	Tegnet: EriS	Kontrollert: ROLS	Godkjent: OAA
	Oppdrag nr.: 413941	Tegning nr.: 79	Prosedyre: CAUa	Programrevisjon: 13.10.2009



413941

Flatanger kommune

Treaksialforsøk. Poretrykks- og mobiliseringsforløp.

Tegningens filnavn:

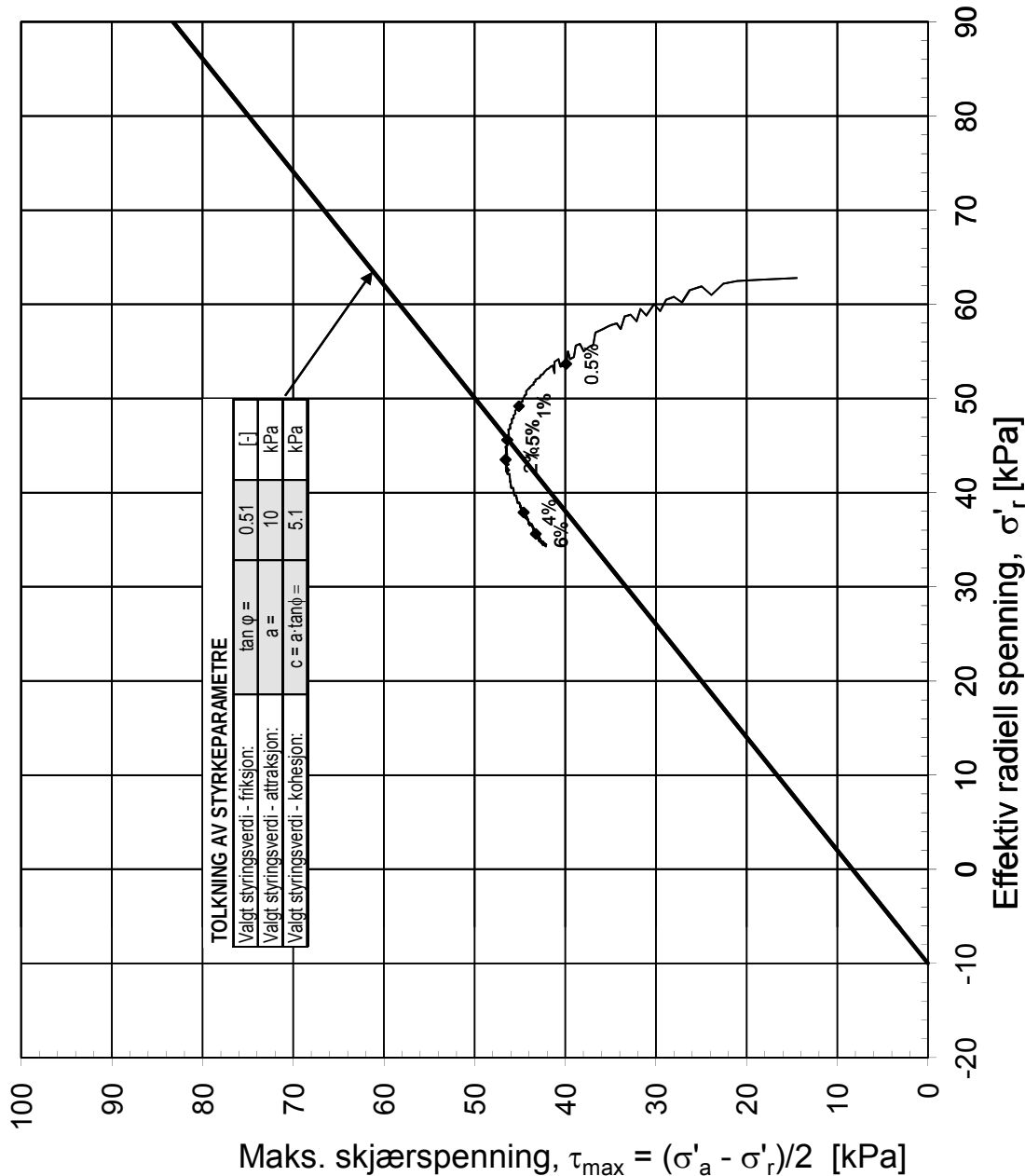
Treaks_samleplott.xlsx



MULTICONSULT AS
 Sluppenvegen 23,
 7486 TRONDHEIM
 Tlf.: 73 10 62 00
 Faks: 73 10 62 30

Forsøksdato: Mars 2010	Dybdeintervall, z (m): 5.30-8.55 m	Borpunkt nr.: 204, 214, 219
Forsøk nr.: -	Tegnet: EriS	Kontrollert: ROLS
Oppdrag nr.: 413941	Tegning nr.: 80	Godkjent: OAA

Programrevisjon:
13.10.2009



Konsolideringsspenninger:

$\sigma'_{ac} =$ 101.49 kPa

$\sigma'_{rc} =$ 71.04 kPa

Vanninnhold:

$w_i =$ 23.80 %

Densitet:

$\rho_i =$ 2.10 g/cm³

Volumtøyning i konsolideringsfase:

$\varepsilon_{vol} = \Delta V/V_0 =$ 1.62 %

Flatanger kommune

Områdevurdering Lauvsnes

Treksialforsøk. Tolkning av parametre. NTNU-plott.

MULTICONSULT AS

Sluppenvegen 23,
7486 TRONDHEIM
Tlf.: 73 10 62 00
Faks: 73 10 62 30

Forsøksdato:

Dybde, z (m):

Borpunkt nr.:

17.03.2010

8.55

204

Forsøk nr.:

Tegnet:

Kontrollert:

Oppdrag nr.:

kjt

rols

413941

Tegning nr.:

Prosedyre:

81

CAUa

Programrevisjon:

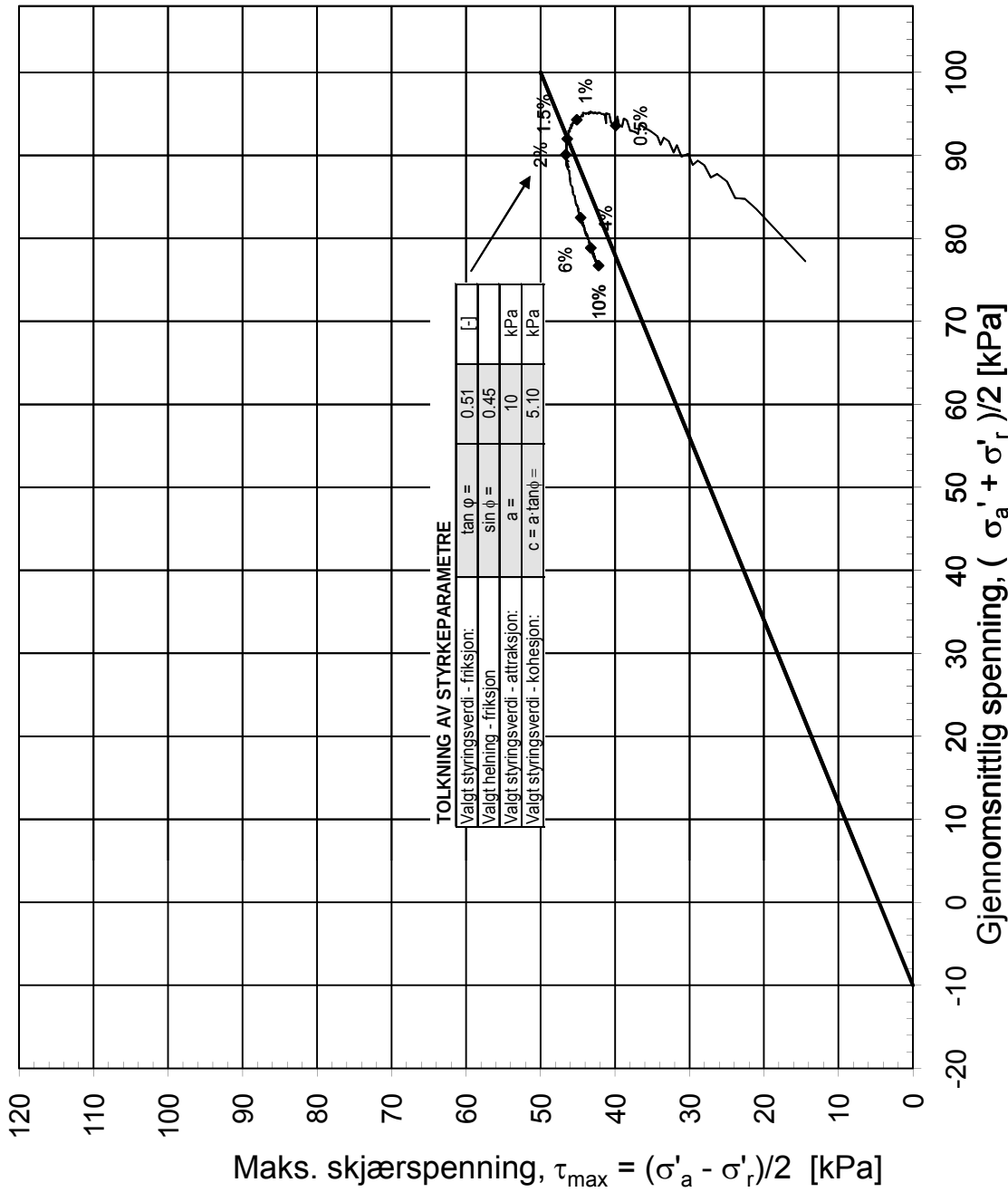
Tegningens filnavn:

H204,dybde 8,55 m.xlsx

Etter volumtøyning:

Etter poretallsendring:





Konsolideringsspenninger:

$\sigma'_{ac} = 101.49 \text{ kPa}$

$\sigma'_{rc} = 71.04 \text{ kPa}$

Vanninnhold:

$w_i = 23.80 \text{ \%}$

Densitet:

$\rho_i = 2.10 \text{ g/cm}^3$

Volumtøyning i konsolideringsfase:

$\varepsilon_{vol} = \Delta V/V_0 = 1.62 \text{ \%}$

Flatanger kommune

Områdevurdering Lauvsnes

Treaksalforsøk. Tolkning av parametre. NGI-plott.

MULTICONSULT AS

Sluppenvegen 23,
7486 TRONDHEIM
Tlf.: 73 10 62 00
Faks: 73 10 62 30

Forsøksdato:

Dybde, z (m):

Borpunkt nr.:

17.03.2010

8.55

204

Forsøk nr.:

Tegnet:

Kontrollert:

1

kjt

rols

Oppdrag nr.:

Tegning nr.:

Prosedyre:

413941

82

CAUa

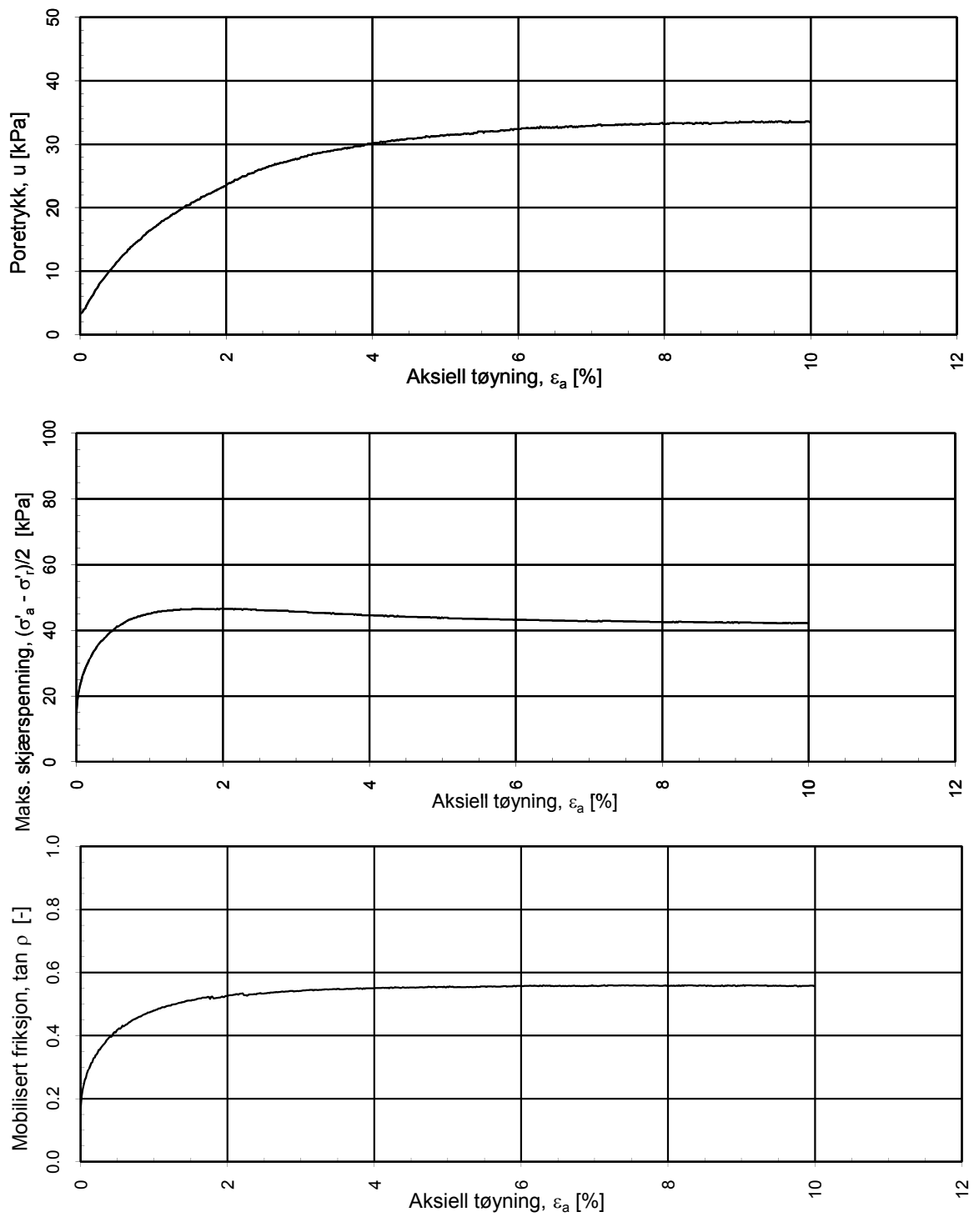
Prøvekvalitet

Tegningens filnavn:

H204,dybde 8,55 m.xlsx

Etter volumtøyning:

Etter poretallsendring:



Flatanger kommune

Områdevurdering Lauvsnes

Treaksialforsøk. Poretrykks- og mobiliseringsforløp.

Tegningens filnavn:

H204,dybde 8,55 m.xlsx



MULTICONSULT AS

Sluppenvegen 23,
7486 TRONDHEIM
Tlf.: 73 10 62 00
Faks: 73 10 62 30

Forsøksdato:
17.03.2010

Dybde, z (m):
8.55

Borpunkt nr.:
204

Tegningens filnavn:

H204,dybde 8,55 m.xlsx

Forsøk nr.:

Tegnet:

Kontrollert:

Godkjent:

Oppdrag nr.:

kjt

rols

ero

413941

Tegning nr.:

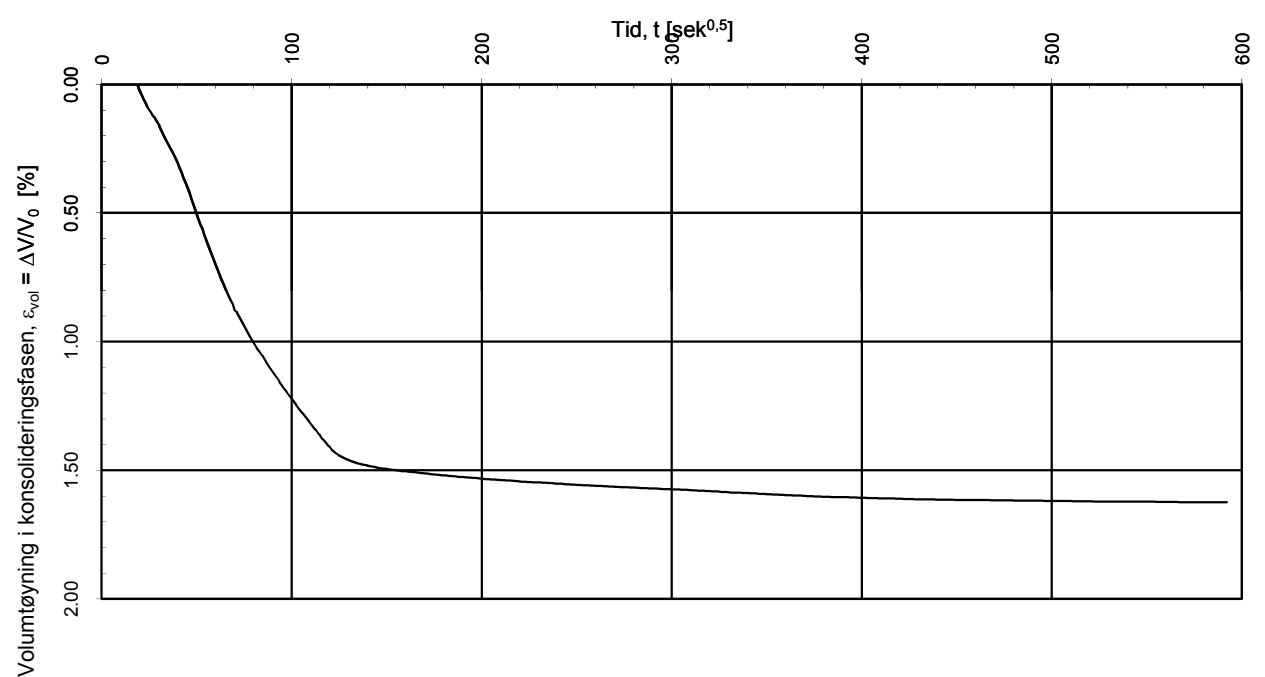
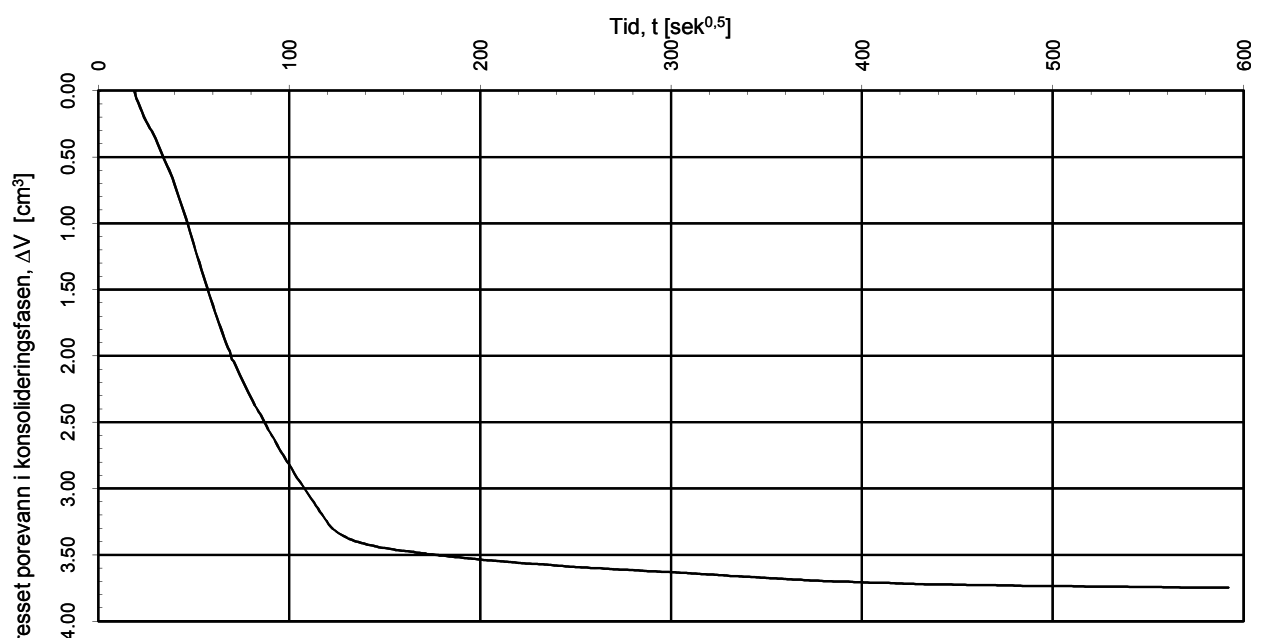
Prosedyre:

Programrevisjon:

83

CAUa

13.10.2009



Konsolideringsspenninger:

$\sigma'_{\text{ac}} = 101.49$ kPa

$\sigma'_{\text{rc}} = 71.04$ kPa

Vanninnhold:

$w_i = 23.80$ %

Densitet:

$\rho_i = 2.10$ g/cm³

Volumtøyning i konsolideringsfase:

$\varepsilon_{\text{vol}} = \Delta V/V_0 = 1.62$ %

Flatanger kommune

Tegningens filnavn:
H204,dybde 8,55 m.xlsx

Områdevurdering Lauvsnes

Treaksialforsøk. Vannutpressing - tid, konsolideringsfase.



MULTICONSULT AS

Sluppenvegen 23,
7486 TRONDHEIM
Tlf.: 73 10 62 00
Faks: 73 10 62 30

Forsøksdato:

17.03.2010

Dybde, z (m):

8.55

Borpunkt nr.:

204

Forsøk nr.:

1

Tegnet:

kjt

Kontrollert:

rols

Godkjent:

ero

Oppdrag nr.:

413941

Tegning nr.:

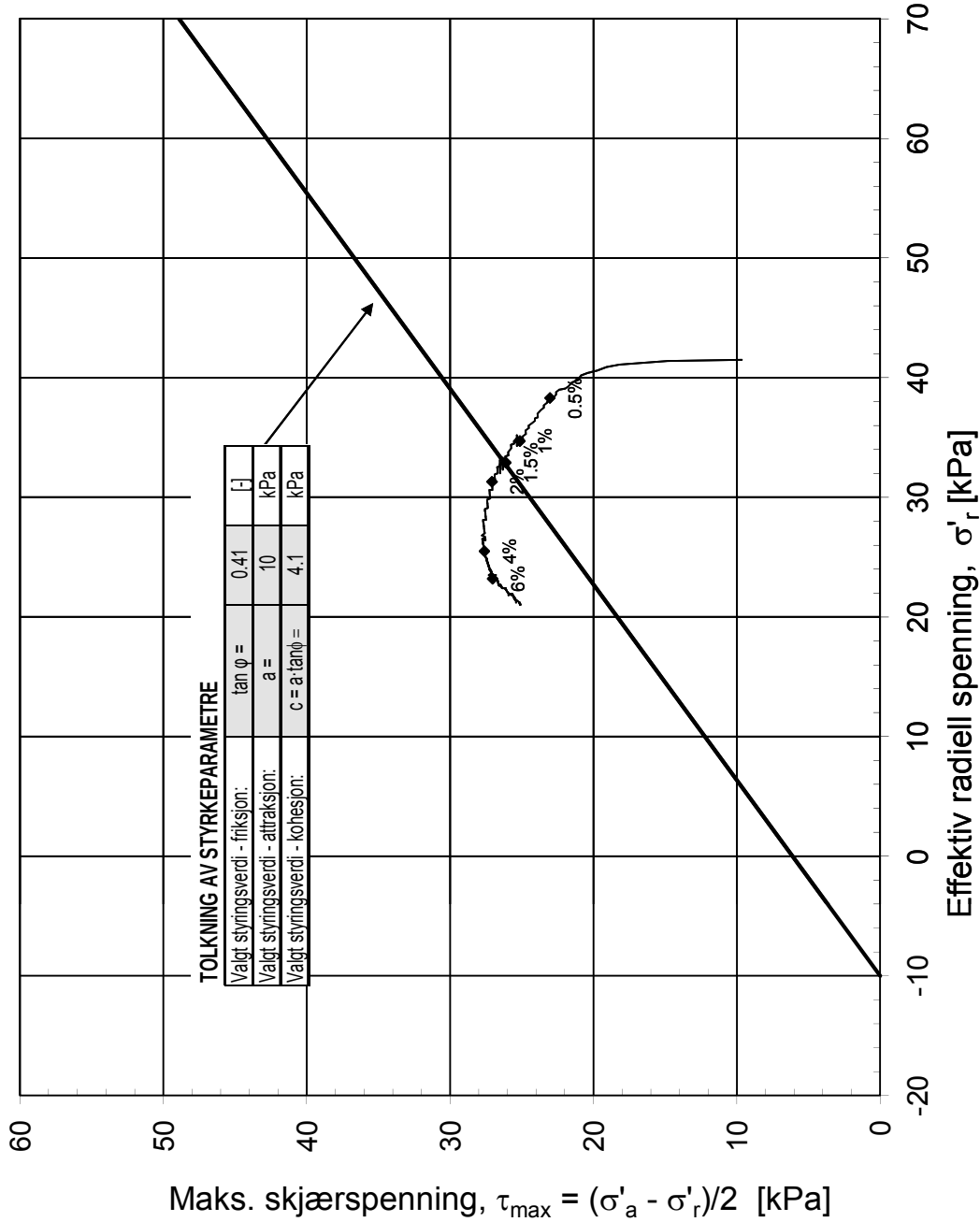
84

Prosedyre:

CAUa

Programrevisjon:

13.10.2009



Konsolideringsspenninger:

$\sigma'_{ac} = 68.30 \text{ kPa}$

$\sigma'_{rc} = 47.81 \text{ kPa}$

Vanninnhold:

$w_i = 19.90 \%$

Densitet:

$\rho_i = 2.15 \text{ g/cm}^3$

Volumtøyning i konsolideringsfase:

$\varepsilon_{vol} = \Delta V/V_0 = 4.18 \%$

Flatanger kommune

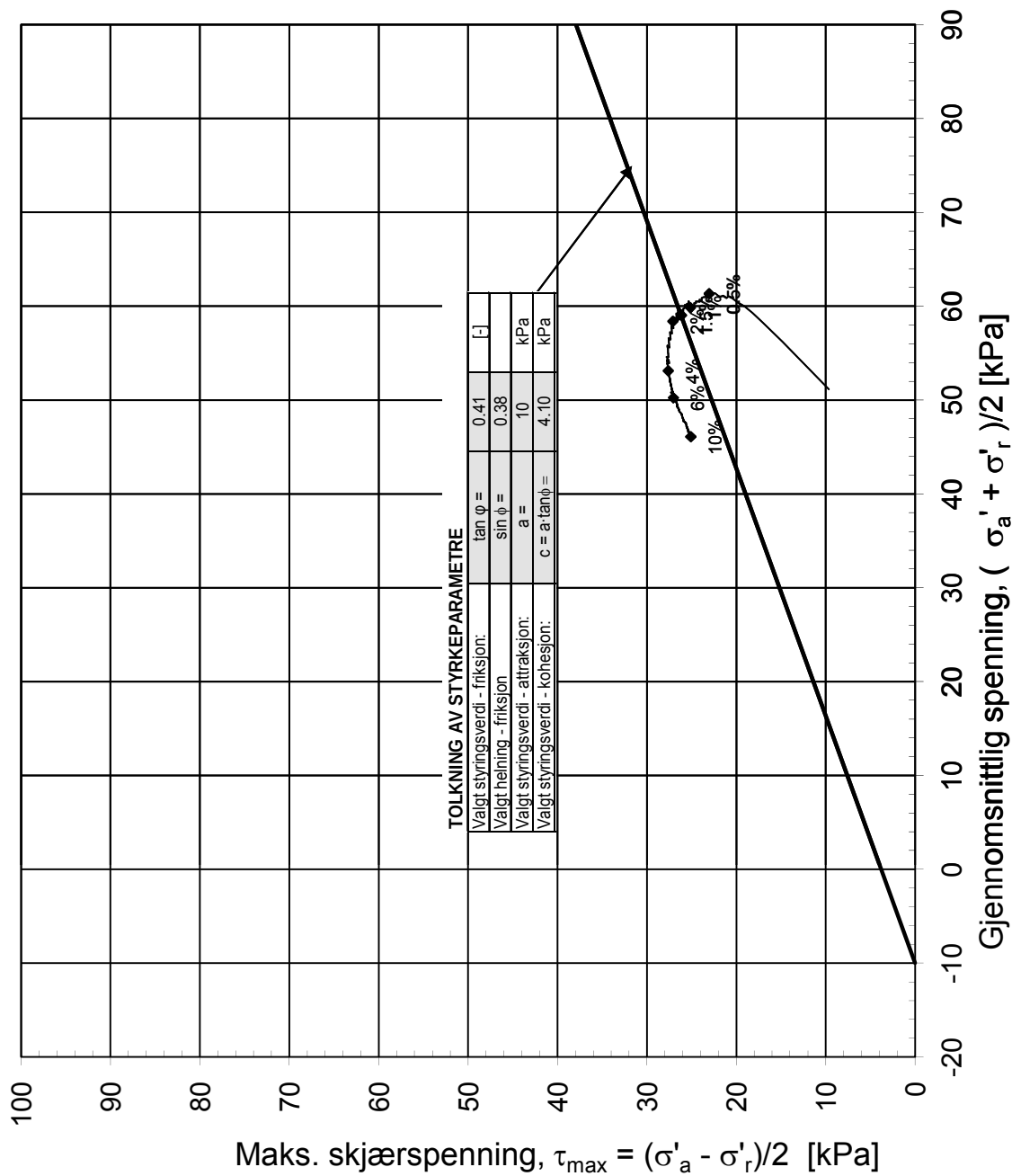
Områdevurdering Lauvsnes

Treaksialforsøk. Tolkning av parametre. NTNU-plott.

MULTICONSULT AS

Sluppenvegen 23,
7486 TRONDHEIM
Tlf.: 73 10 62 00
Faks: 73 10 62 30

Forsøksdato: 22.03.2010	Dybde, z (m): 5.30	Borpunkt nr.: 214	Tegningens filnavn: H214 dybde 5,30 m.xlsx
Forsøk nr.: 2	Tegnet: EriS	Kontrollert: rols	Etter volumtøyning:
Oppdrag nr.: 413941	Tegning nr.: 85	Prosedyre: CAUa	Etter poretallsendring: 



Konsolideringsspenninger:

$\sigma'_{ac} =$ 68.30 kPa

$\sigma'_{rc} =$ 47.81 kPa

Vanninnhold:

$w_i =$ 19.90 %

Densitet:

$\rho_i =$ 2.15 g/cm³

Volumtøyning i konsolideringsfase:

$\varepsilon_{vol} = \Delta V/V_0 =$ 4.18 %

Flatanger kommune

Prøvekvalitet

Tegningens filnavn:
H214 dybde 5,30 m.xlsx

Områdevurdering Lauvsnes

Etter volumtøyning:



Treksialforsøk. Tolkning av parametre. NGI-plott.

Etter poretallsendring:

MULTICONSULT AS

Sluppenvegen 23,
7486 TRONDHEIM
Tlf.: 73 10 62 00
Faks: 73 10 62 30

Forsøksdato:

Dybde, z (m):

Borpunkt nr.:

22.03.2010

5.30

214

Forsøk nr.:

Tegnet:

Kontrollert:

2

kjt

rols

Oppdrag nr.:

Tegning nr.:

Prosedyre:

413941

86

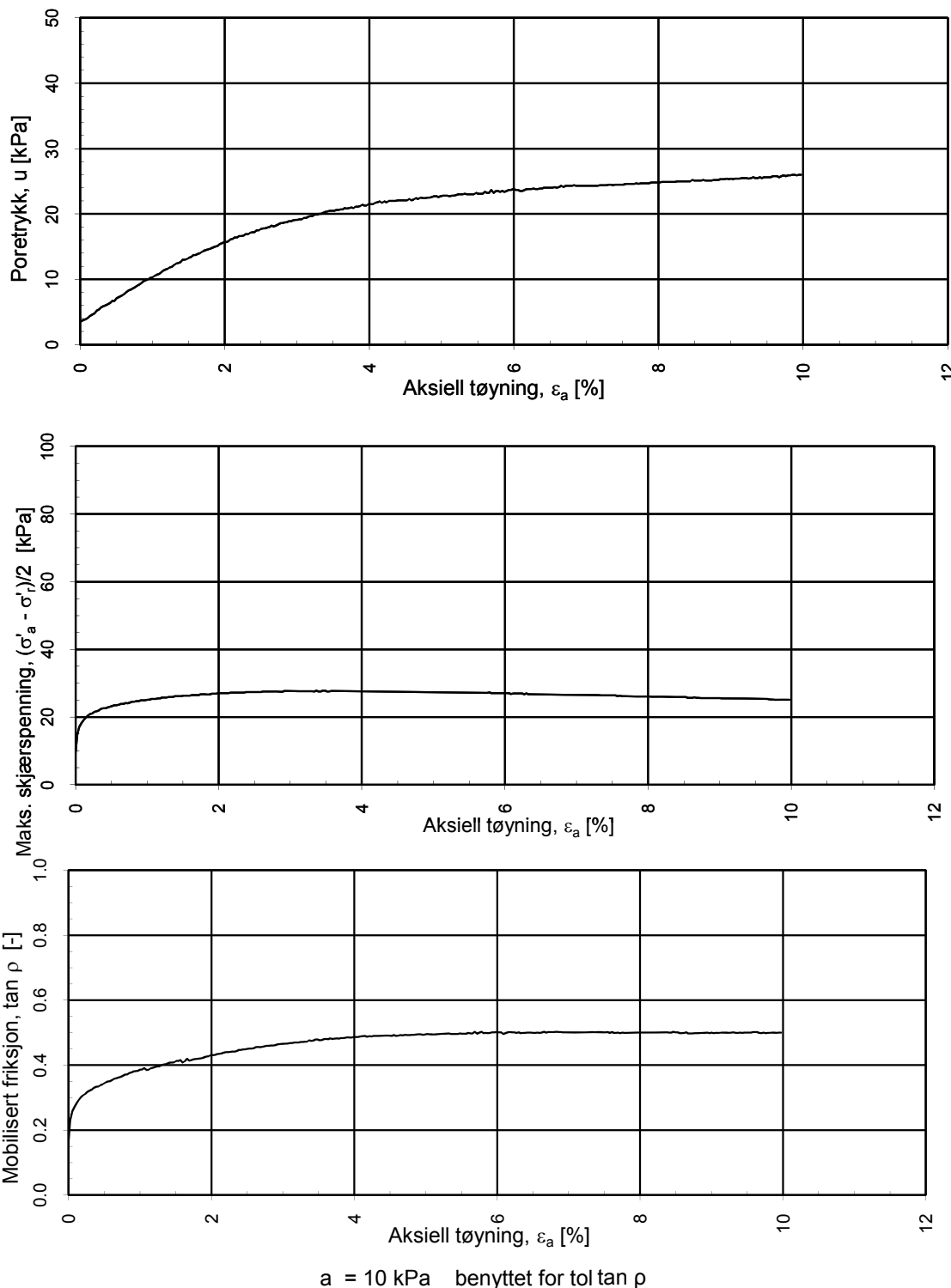
CAUa

Godkjent:

Programrevisjon:

ero

13.10.2009



Flatanger kommune

Områdevurdering Lauvsnes

Treaksialforsøk. Poretrykks- og mobiliseringsforløp.

Tegningens filnavn:

H214 dybde 5,30 m.xlsx



MULTICONSULT AS

Sluppenvegen 23,
7486 TRONDHEIM
Tlf.: 73 10 62 00
Faks: 73 10 62 30

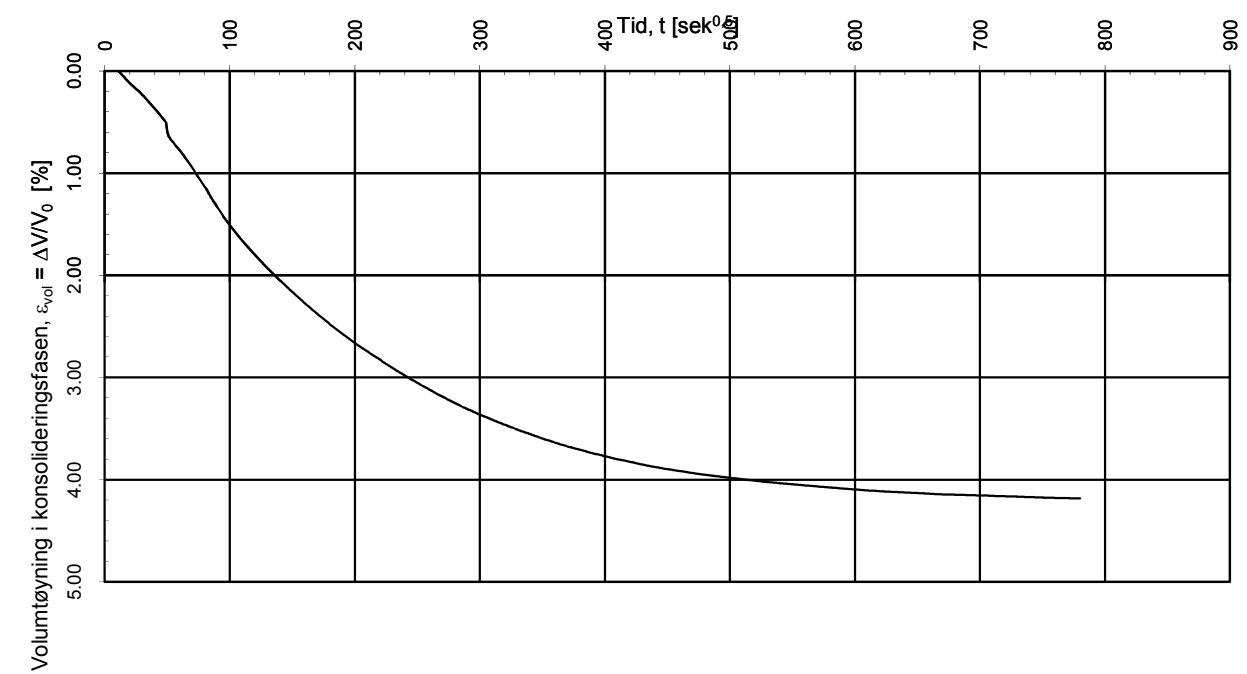
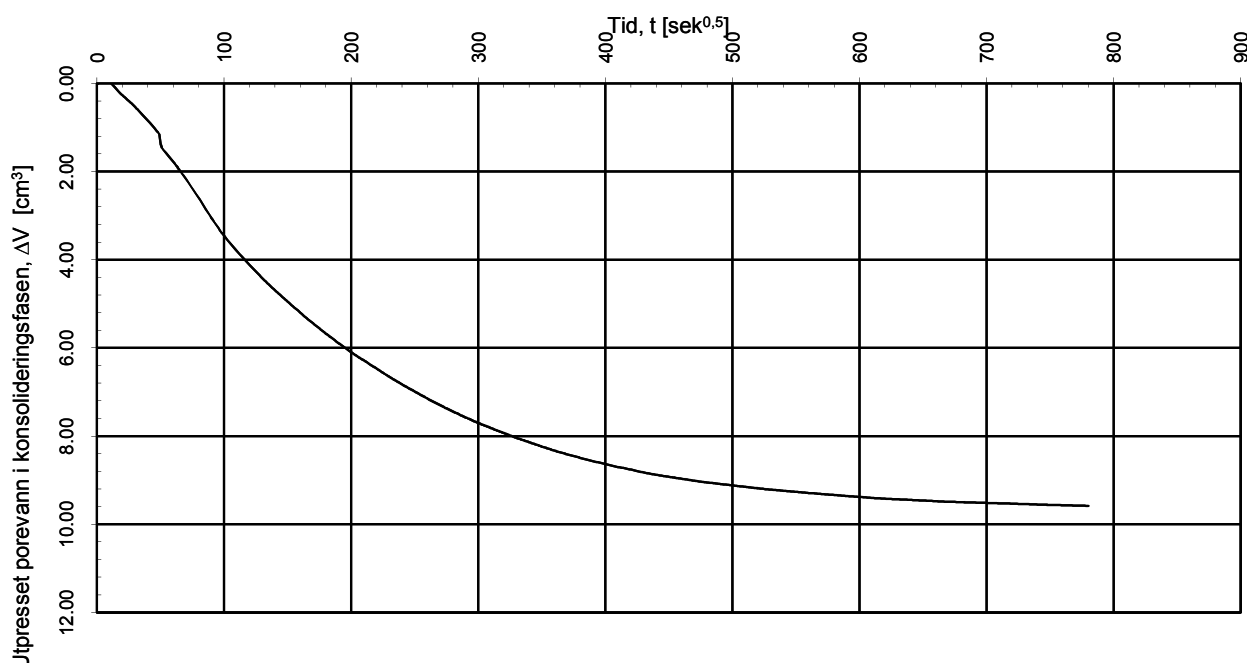
Forsøksdato: 22.03.2010
Dybde, z (m): 5.30
Borpunkt nr.: 214

Forsøk nr.: 2
Tegnet: kjt
Kontrollert: rols

Oppdrag nr.: 413941
Tegning nr.: 87
Prosedyre: CAUa

Godkjent: ero

Programrevsjon: 13.10.2009



Konsolideringsspenninger: $\sigma'_{ac} = 68.30$ kPa

$\sigma'_{rc} = 47.81$ kPa

Vanninnhold: $w_i = 19.90$ %

Densitet: $\rho_i = 2.15$ g/cm³

Volumtøyning i konsolideringsfase: $\epsilon_{vol} = \Delta V/V_0 = 4.18$ %

Flatanger kommune

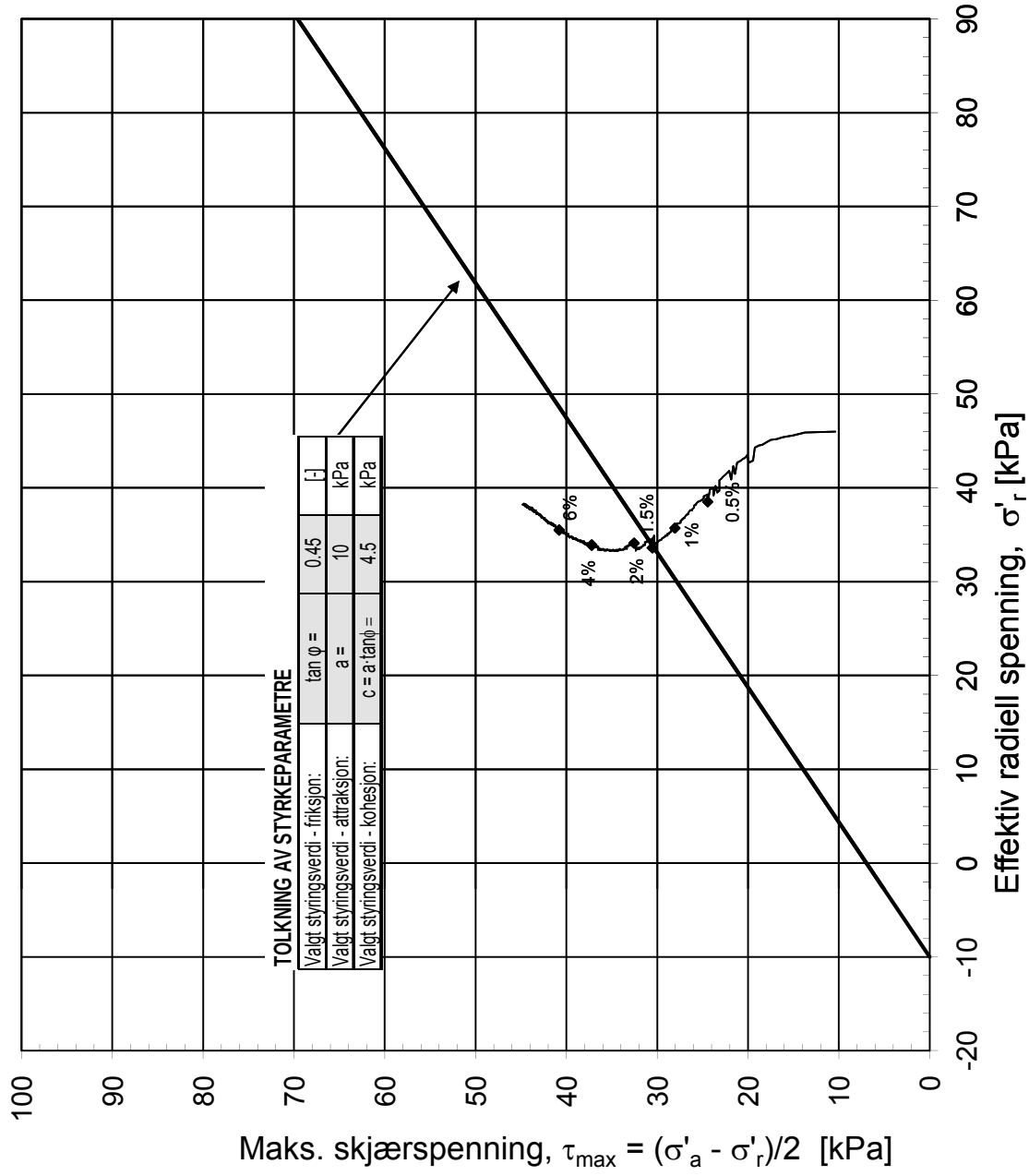
Tegningens filnavn:
H214 dybde 5,30 m.xlsx

Områdevurdering Lauvsnes

Treaksialforsøk. Vannutpressing - tid, konsolideringsfase.



MULTICONSULT AS Sluppenvegen 23, 7486 TRONDHEIM Tlf.: 73 10 62 00 Faks: 73 10 62 30	Forsøksdato:	Dybde, z (m):	Borpunkt nr.:
	22.03.2010	5.30	214
	Forsøk nr.:	Tegnet:	Kontrollert:
	2	kjt	rols
	Oppdrag nr.:	Tegning nr.:	Godkjent:
	413941	88	ero
			Programrevisjon:
			13.10.2009



Konsolideringsspenninger:

$\sigma'_{ac} =$ 75.34 kPa

$\sigma'_{rc} =$ 52.74 kPa

Vanninnhold:

$w_i =$ 21.40 %

Densitet:

$\rho_i =$ 2.09 g/cm³

Volumtøyning i konsolideringsfase:

$\varepsilon_{vol} = \Delta V/V_0 =$ 2.48 %

Flatanger kommune

Områdevurdering Lauvsnes

Treaksialforsøk. Tolkning av parametre. NTNU-plott.

MULTICONSULT AS

Sluppenvegen 23,
7486 TRONDHEIM
Tlf.: 73 10 62 00
Faks: 73 10 62 30

Prøvekvalitet

Tegningens filnavn:
H219, dybde 6,05 m.xlsx

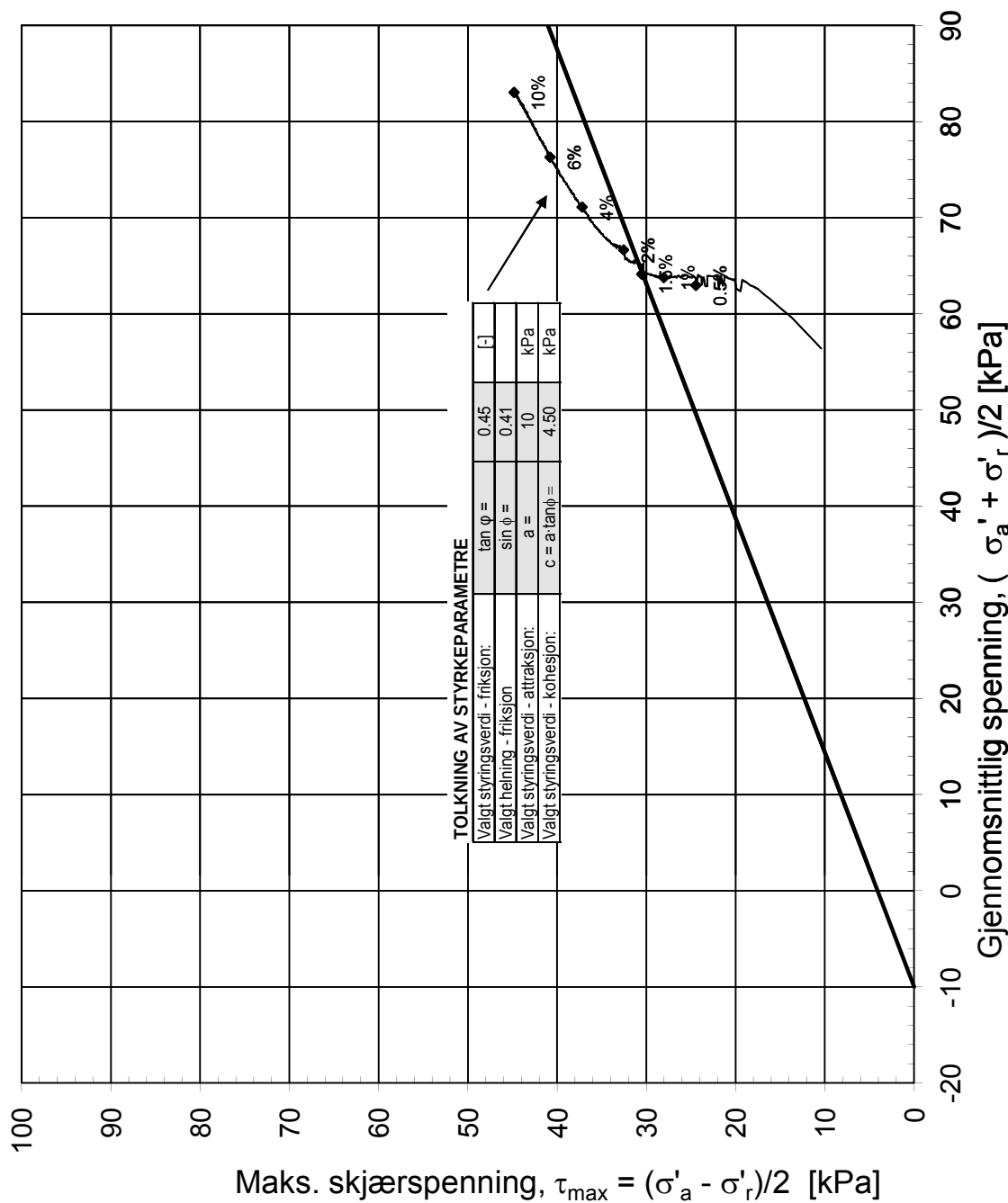
Etter volumtøyning:



Etter poretallsendring:

MULTICONSULT

Forsøksdato:	Dybde, z (m):	Borpunkt nr.:	
22.03.2010	6.05	219	
Forsøk nr.:	Tegnet:	Kontrollert:	Godkjent:
3	EriS	rols	oaa
Oppdrag nr.:	Tegning nr.:	Prosedyre:	Programrevisjon:
413941	89	CAUa	13.10.2009



Konsolideringsspenninger:

$\sigma'_{ac} = 75.34$ kPa

$\sigma'_{rc} = 52.74$ kPa

Vanninnhold:

$w_i = 21.40$ %

Densitet:

$\rho_i = 2.09$ g/cm³

Volumtøyning i konsolideringsfase:

$\varepsilon_{vol} = \Delta V/V_0 = 2.48$ %

Flatanger kommune

Områdevurdering Lauvsnes

Treaksalforsøk. Tolkning av parametre. NGI-plott.

MULTICONSULT AS

Sluppenvegen 23,
7486 TRONDHEIM
Tlf.: 73 10 62 00
Faks: 73 10 62 30

Forsøksdato:

Dybde, z (m):

Borpunkt nr.:

22.03.2010

6.05

219

Forsøk nr.:

Tegnet:

Kontrollert:

kjt

rols

Oppdrag nr.:

Tegning nr.:

Godkjent:

413941

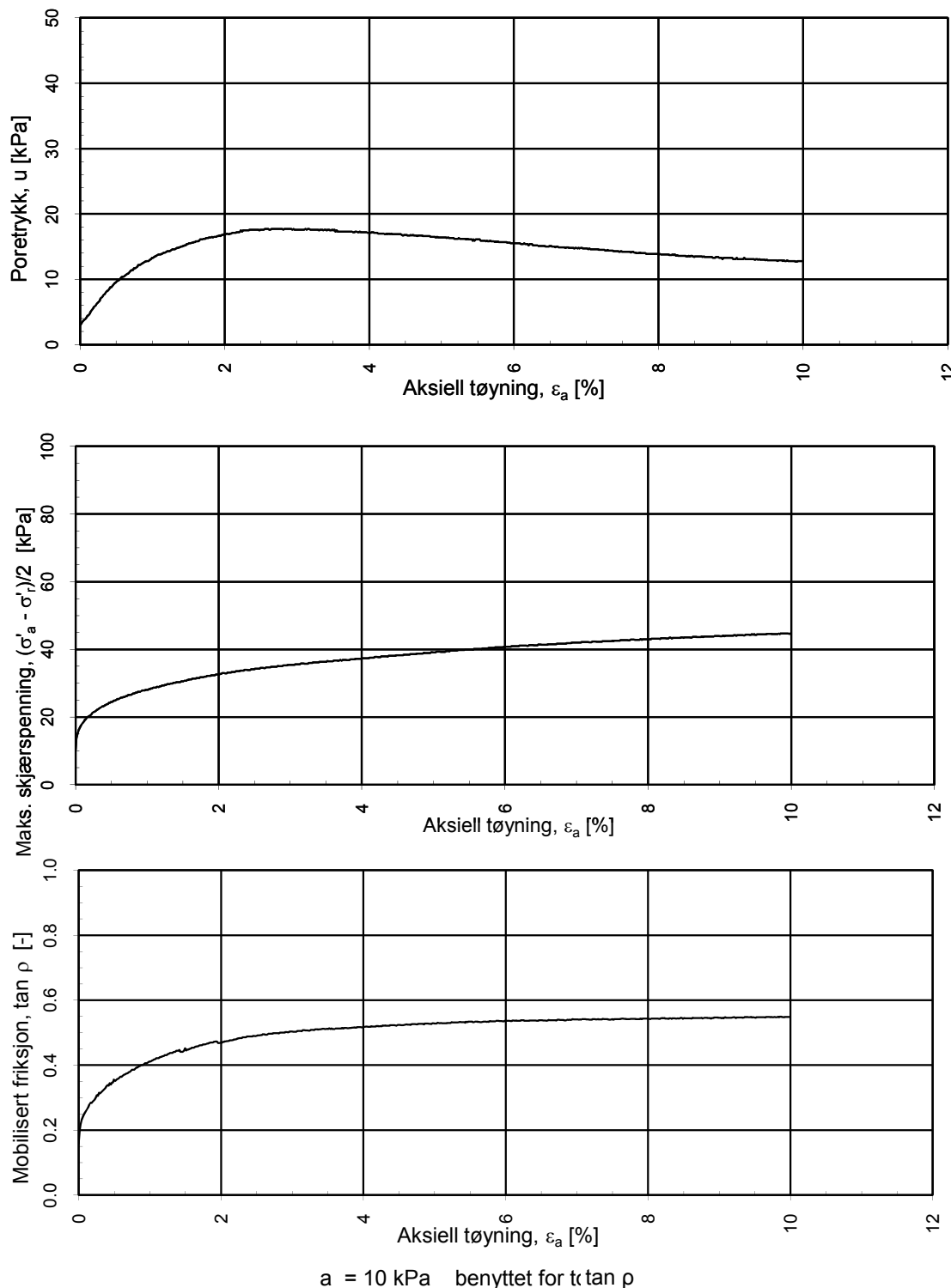
ero

90

CAUa

Programrevisjon:

13.10.2009



Flatanger kommune

Områdevurdering Lauvsnes

Treaksialforsøk. Poretrykks- og mobiliseringsforløp.

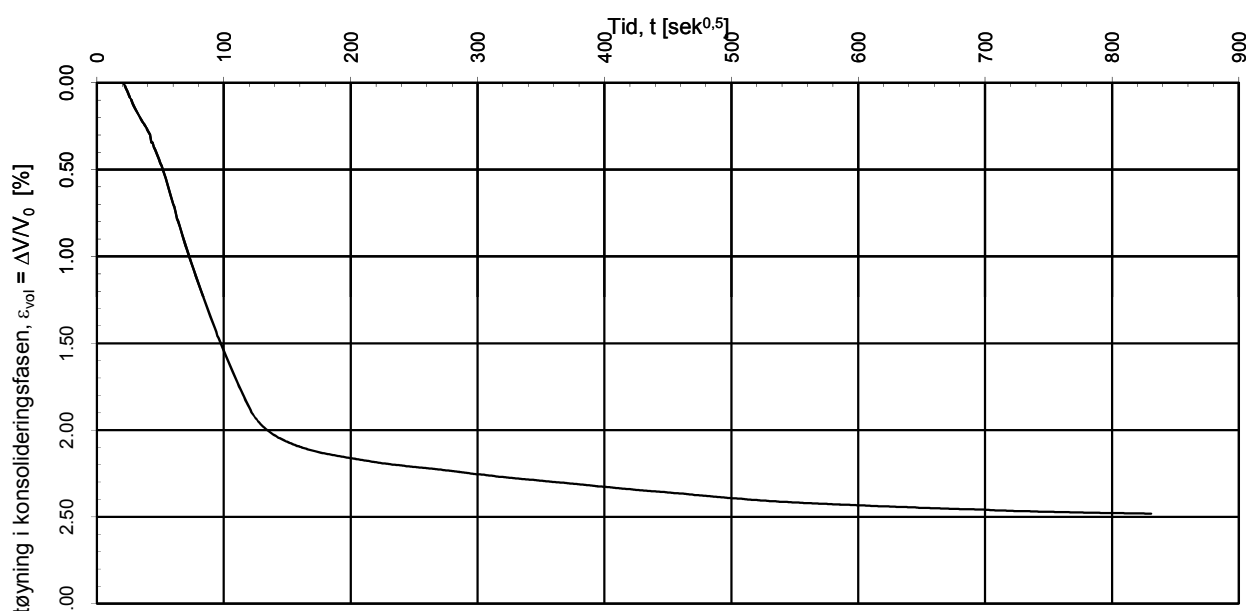
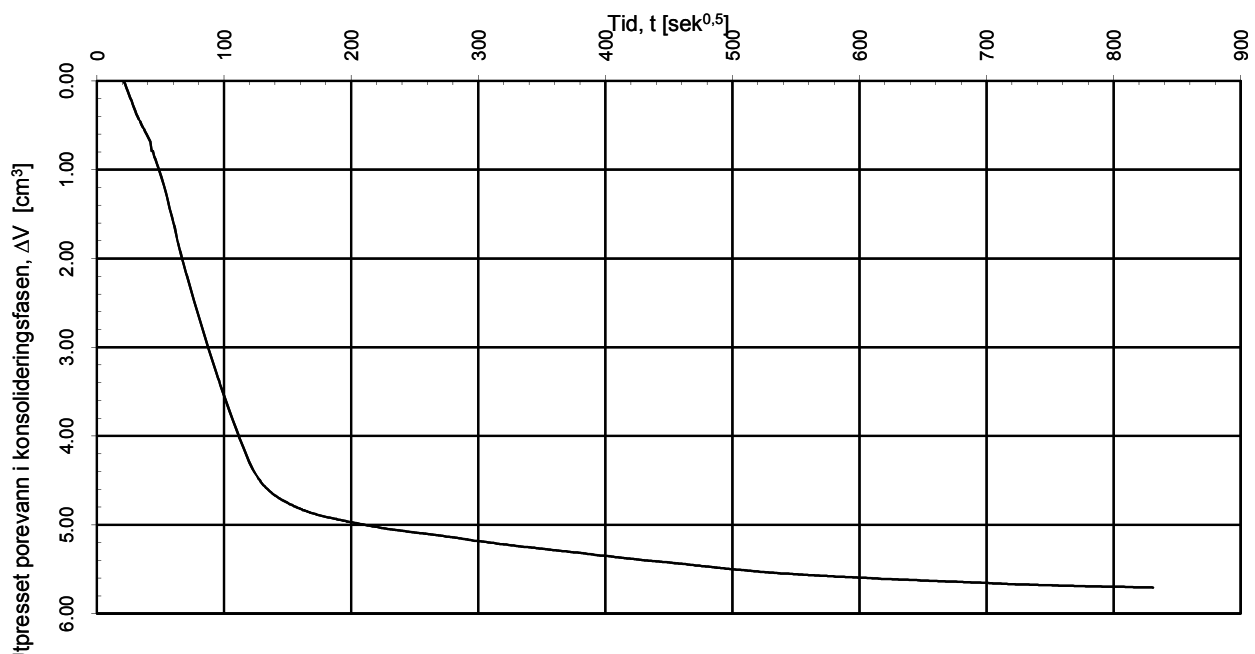
Tegningens filnavn:
H219, dybde 6,05 m.xlsx



MULTICONSULT AS

Sluppenvegen 23,
7486 TRONDHEIM
Tlf.: 73 10 62 00
Faks: 73 10 62 30

Forsøksdato:	22.03.2010	Dybde, z (m):	219
Forsøk nr.:	3	Tegnet:	kjt
Oppdrag nr.:	413941	Kontrollert:	rols
		Godkjent:	ero
		Programrevisjon:	13.10.2009



Konsolideringsspenninger: $\sigma'_{ac} = 75.34$ kPa

$\sigma'_{rc} = 52.74$ kPa

Vanninnhold: $w_i = 21.40$ %

Densitet: $\rho_i = 2.09$ g/cm³

Volumtøyning i konsolideringsfase: $\varepsilon_{vol} = \Delta V/V_0 = 2.48$ %

Flatanger kommune

Områdevurdering Lauvsnes

Treaksialforsøk. Vannutpressing - tid, konsolideringsfase.

Tegningens filnavn:
H219, dybde 6,05 m.xlsx



MULTICONSULT AS Sluppenvegen 23, 7486 TRONDHEIM Tlf.: 73 10 62 00 Faks: 73 10 62 30	Forsøksdato:	Dybde, z (m):	Borpunkt nr.:
	22.03.2010	6.05	219
	Forsøk nr.:	Tegnet:	Kontrollert:
	3	kjt	rols
	Oppdrag nr.:	Tegning nr.:	Godkjent:
	413941	92	ero
			Programrevisjon:
			13.10.2009